

MARINE BIOLOGICAL LABORATORY.

Received

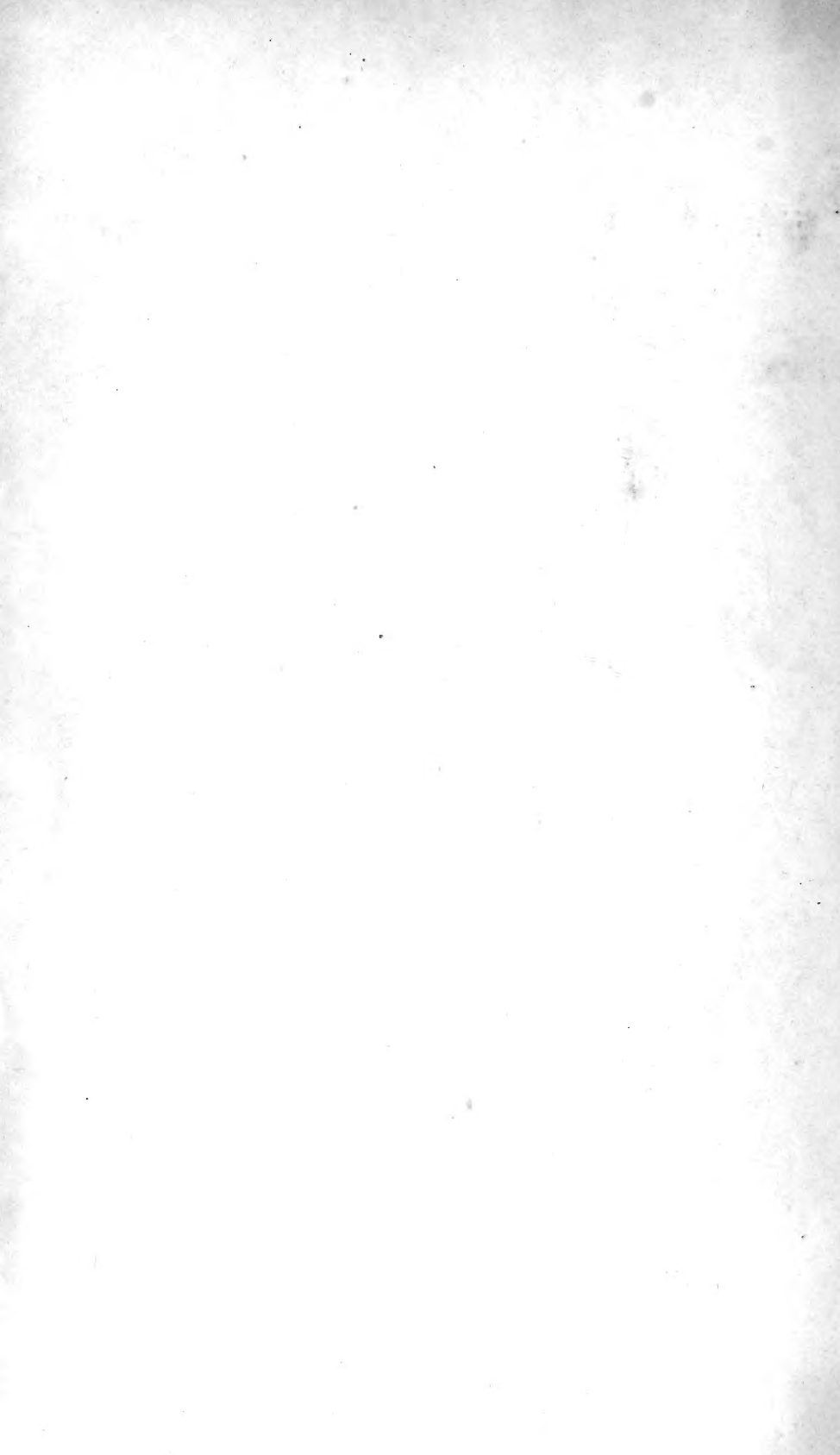
Accession No.

Given by

Place,

****No book or pamphlet is to be removed from the Laboratory without the permission of the Trustees.**





Archiv

für

Mikroskopische Anatomie

herausgegeben

von

O. Hertwig in Berlin,

v. la Valette St. George in Bonn

und

W. Waldeyer in Berlin.

~~~~~  
Fortsetzung von Max Schultze's Archiv für mikroskopische Anatomie.  
~~~~~

Namen- und Sachregister

zu Band XXXI—XXXX

bearbeitet von

Dr. med. **Ludwig Schirmeyer**

in Gelsenkirchen, Westf.

Bonn

Verlag von Friedrich Cohen

1893.

1438

Autoren-Verzeichniss.

- Arnold, Prof. Dr. Jul., Weitere Mittheilungen über Kern- und Zelltheilung in der Milz; zugleich ein Beitrag zur Kenntniss der von der typischen Mitose abweichenden Kerntheilungsvorgänge. XXXI, 541.
- Ballovitz, Dr. med. E., Untersuchungen über die Structur der Spermatozoen, zugleich ein Beitrag zur Lehre vom feineren Bau der contractilen Elemente. XXXII, 401.
- Untersuchungen über die Structur der Spermatozoen. XXXVI, 225.
- Ueber den feineren Bau der Muskelsubstanzen. 1) Die Muskelfasern der Cephalopoden. XXXIX, 291.
- Das Schmelzorgan der Edentaten, seine Ausbildung im Embryo und die Persistenz seines Keimrandes bei dem erwachsenen Thier. XXXX, 133.
- Barfurth, D., Versuche zur functionellen Anpassung. XXXVII, 392.
- Zur Regeneration der Gewebe. XXXVII, 406.
- Ueber Zellbrücken glatter Muskelfasern. XXXVIII, 38.
- Baum, Dr. S., Ueber granuläre Einschlüsse in den Geschwulstzellen. XXXIX, 137.
- Baumgartner, Dr. med., Beiträge zur Entwicklungsgeschichte der Gehörknöchelchen. XXXX, 512.
- Bannwarth, Dr., Untersuchungen über die Milz. 1) Die Milz der Katze. XXXVIII, 345.
- Behn, Dr., Studien über die Verhornung der menschlichen Oberhaut. XXXIX, 581.
- Biondi, Dr. B., Neue Methode der mikroskopischen Untersuchung des Blutes. XXXI, 105.
- Bizzozero, Dr. Giulio, Ueber die schlauchförmigen Drüsen des Magendarmcanals und die Beziehungen ihres Epithels zu dem Oberflächenepithel der Schleimhaut. XXXIII, 216.
- Desgl. XXXX, 325.
- Ueber die Atrophie der Fettzellen des Knochenmarks. XXXIII, 247.
- Neue Untersuchungen über den Bau des Knochenmarkes bei den Vögeln. XXXV, 424.
- Blumenau, Dr. L., Zur Entwicklungsgeschichte u. feineren Anatomie des Hirnbalkens. XXXVII, 1.
- Böhm, A. A., Ueber Reifung u. Befruchtung des Eies von Petromyzon Planeri. XXXII, 613.
- Born, Prof. G., Beiträge zur Entwicklung des Säugethierherzens. XXXIII, 284.
- Brunn, Dr. A. von, Beiträge zur Kenntniss der Zahnentwicklung. XXXVIII, 142.
- Beiträge zur mikroskopischen Anatomie der menschlichen Rachenhöhle. XXXIX, 632.
- Die Endigung der Olfactoriusfasern im Jacobson'schen Organ. XXXIX, 651.
- Burkhardt, Karl Rudolf, Histologische Untersuchungen am Rückenmark der Tritonen. XXXIV, 131.
- Carrière, Justus, Ueber Molluskenaugen. XXXIII, 378.
- Trichodina sp. (pediculus?) als Blut- und Lymphkörperchen fressender, gelegentlicher Schmarotzer im Seitenkanal von Cottus gobio. XXXIII, 402.
- Die Entwicklung der Mauer-

- biene (*Chalicodoma muraria* Fabr.) im Ei. XXXV, 141.
- Castronova, stud. med. A., Beitrag zur Kenntniss des Geruchsorgans des Hundes (mit Prof. Dr. Grassi). XXXIV, 385.
- Corning, H. C., Ueber die Entwicklung der Substantia gelatinosa Rolandi beim Kaninchen. XXXI, 593.
- Zur Frage der Blutbildung aus dem Entoderm. XXXVI, 516.
- Cox, W. H., Imprägnation des centralen Nervensystems mit Quecksilbersalzen. XXXVII, 16.
- Czerny, Dr. Adalbert, Das Giraldische Organ nach Untersuchungen an Kaninchen, Hunden u. Katzen. XXXIII, 445.
- Ueber Rückbildungsvorgänge an der Leber. XXXV, 87.
- Daae, Hans, Zur Kenntniss der Spinalganglienzellen beim Säugethier. XXXI, 223.
- Dewitz, Dr. J., Gestell für Objectträger bei Serienschnitten. XXXIII, 416.
- Disse, Dr. J., Ueber die Lymphbahnen der Säugethierleber. XXXVI, 203.
- Dogiel, A. S., Eine neue Injectionsmethode der Gewebe mittelst Methylenblau. XXXIII, 440.
- Methylenblautinctio der motorischen Nervenendigungen in den Muskeln der Amphibien und Reptilien. XXXV, 305.
- Zur Frage über das Epithel der Harnblase. XXXV, 389.
- Die Nervenendkörperchen (Endkolben, W. Krause) in der Cornea u. Conjunctiva bulbi des Menschen. XXXVII, 602.
- Ueber die nervösen Elemente in der Retina des Menschen. I. Mittheilung. XXXVIII, 317. Desgl. II. Mittheilung. XXXX, 29.
- , Prof. Joh., Zur Lehre über das Nervensystem des Herzens (mit stud. med. Tumänczew), XXXVI, 483.
- Ebner, V. von, Zur Spermatogenese bei den Säugethieren. XXXI, 236. Nachtrag dazu XXX, 424.
- Eisler, Dr. P., Zur Kenntniss der Histologie des Alligatormagens. XXXIV, 1.
- Endres, H., Anatomisch-entwicklungsgeschichtliche Studien über die formbildende Bedeutung des Blutgefäß-Apparates unter besonderer Berücksichtigung der damit verbundenen mechanischen Einflüsse. XXXX, 435.
- Flemming, W., Weitere Beobachtungen über die Entwicklung der Spermatozoen bei *Salamandra maculosa*. XXXI, 71.
- Amitotische Kerntheilung im Blasenepithel des Salamanders. XXXIV, 437.
- Ueber die Theilung in Pigmentzellen und Capillarwandzellen. Ungleichzeitigkeit der Kerntheilung und Zelltrennung. XXXV, 275.
- Ueber die Theilung und Kernformen der Leucocyten und über deren Attractionssphären. XXXVII, 249.
- Neue Beiträge zur Kenntniss der Zelle. II. Theil. XXXVII, 685.
- Frenzel, Prof. Joh., Untersuchungen über die mikroskopische Fauna Argentiniens. XXXVIII, 1.
- Leydonella cordubensis nov. gen. nov. spec. XXXVIII, 301.
- Die nucleoläre Kernhalbierung. Ein Beitrag zur Kenntniss des Zellkernes und der amitotischen Epithelregeneration. XXXIX, 1.
- Freund, Paul, Beiträge zur Entwicklungsgeschichte der Zahnanlagen bei den Säugethieren. XXXIX, 525.
- Fritsch, Gustav, Zur Anatomie der Bilharzia haematobia (Cobbold). XXXI, 192.
- Giovannini, Dr. Sébastien, De la régénération des poils après l'épilation. XXXVI, 528.
- Gmelin, Dr., Zur Morphologie der Papilla vallata u. foliata. XXXX, 1.
- Göppert, Dr. E. Kerntheilung durch indirekte Fragmentirung in der lymphatischen Randschicht der Salamandrinleber. XXXVIII, 375.
- Goldberg, Max, Ueber die Entwicklung der Ganglien beim Hühnchen. XXXVII, 587.
- Grassi, Prof. Dr. Battisti, Beitrag zur Kenntniss des Geruchsorgans des Hundes (mit stud. med. Castronova). XXXIV, 385.
- Griesbach, Dr. med. et phil. H., Beiträge zur Histologie des Blutes. XXXVII, 22.

- Gutmann, Dr. G. Ueber die Lymphbahnen der Cornea. XXXII, 593.
- Häcker, V., Ueber die Farben der Vogelfedern. XXXV, 68.
- Die Kerntheilungsvorgänge bei Mesoderm- und Entodermbildung von Cyclops. XXXIX, 556.
- Die Furchung des Eies von *Aequorea Forskalea*. Mit besonderer Berücksichtigung der kerngeschichtlichen Vorgänge. XXXX, 263.
- Hamburger, cand. med. Ernst, Beiträge zur Kenntniss der Zellen in den Magendrüsens. XXXIV, 225.
- Hermann, Dr. F., Beiträge zur Histologie des Hodens. XXXIV, 58.
- Die postfoetale Histiogenese des Hodens der Maus bis zur Pubertät. XXXIV, 429.
- Beitrag zur Lehre von der Entstehung der karyokinetischen Spindel. XXXVII, 569.
- Heidenhain, Martin, Beiträge zur Kenntniss der Topographie und Histologie der Kloake und ihrer drüsigen Adnexa bei den einheimischen Tritonen. XXXV, 173.
- Heinricius, Prof. F., Ueber die Entwicklung und Structur der Placenta bei Katzen. XXXVII, 357.
- Dr. G., Ueber die Entwicklung und Structur der Placenta beim Hunde. XXXIII, 419.
- Hertwig, Oskar, Vergleich der Ei- und Samenbildung der Nematoden. Eine Grundlage für celluläre Streitfragen. XXXVI, 1.
- Urmund u. Spina bifida. Eine vergleichend-morphologische, teratologische Studie an missgebildeten Froscheiern. XXXIX, 353.
- Herzfeld, Dr. J., Beiträge zur Anatomie des Schwellkörpers der Nasenschleimhaut. XXXIV, 197.
- Hoyer, cand. med. H., Beitrag zur Kenntniss der Lymphdrüse. XXXIV, 208.
- Prof. H., Ueber den Nachweis des Mucins in Geweben mittelst der Färbemethode. XXXVI, 310.
- Huber, Dr. G. Carl, Ueber das Verhalten der Kerne der Schwann'schen Scheide bei Nervendegeneration. XXXX, 409.
- Janošik, Prof. Dr. J., Berichtigung zu Nagel's Arbeit: Ueber die Entwicklung des Urogenitalsystems des Menschen. XXXV, 104.
- Karzandu, Dr. Julius, Ueber die Pigmentation der Uterinschleimhaut des Schafes. XXXVI, 507.
- Klebs, Prof. E., Zur vergleichenden Anatomie der Placenta. XXXVII, 335.
- Koch, P. D., Untersuchungen über den Ursprung und die Verbindungen des Nervus hypoglossus in der Medulla oblongata. XXXI, 51.
- Desgl. Verbesserungen. XXXI, 302.
- Kochs, Dr. W., Eine neue Beleuchtungsmethode mittelsteigentlich geformter Glaskörper. XXXII, 683.
- Korotneff, A., Beiträge zur Spermatologie. XXXI, 334.
- Korybutt-Dackiewicz, Rohdau, Wird der thätige Zustand des Centralnervensystems von mikroskopisch wahrzunehmenden Veränderungen begleitet? XXXIII, 51.
- Kostanecki, Kasimir v., Zur Kenntniss der Tubenmuskulatur u. ihrer Fascien. XXXII, 479.
- Krause, Rudolf, Entwicklungsgeschichte der häufigen Bogengänge. XXXV, 287.
- Kromayer, Dr. E., Die Protoplasmafasern der Epithelzellen. XXXIX, 141.
- Kultschitzky, Dr. med., Beitrag zur Frage über die Verbreitung der glatten Muskulatur in der Dünndarmschleimhaut. XXXI, 15.
- Die Befruchtungsvorgänge bei *Ascaris megalocephala*. XXXI, 567.
- Ueber die Eireifung u. Befruchtungsvorgänge bei *Ascaris megalocephala*. XXXII, 671.
- Kupffer, C., Die Entwicklung von *Petromyzon Planeri*. XXXV, 469.
- Lavdowsky, M., Vom Aufbau des Rückenmarkes. Histologisches über die Neuroglia und die Nervenstützsubstanz. XXXVIII, 264.
- Lenhossék, Dr. Michael von, Untersuchungen über die Entwicklung der Markscheiden und den Faserlauf im Rückenmark der Maus. XXXIII, 71.
- Ueber den Verlauf der Hinterwurzeln im Rückenmark. XXXIV, 157.
- Ursprung, Verlauf und Endigung der sensiblen Nervenfasern bei *Lumbricus*. XXXIX, 102.

- Leydig, F., Ueber *Argulus foliaceus*. XXXIII, 1.
- Liebreich, Oscar, Ist Keratin, speziell das Mark von *Hystrix*, ein Glutinbildner? XXXX, 320.
- Linstow, Dr. von, Beitrag zur Anatomie von *Phylline Hendorffii*. XXXIII, 163.
- Ueber die Entwicklungsgeschichte und die Anatomie von *Gordius tolosanus* Duj. = *G. subbifurcus* v. Siebold. XXXIV, 248.
- Bemerkungen über *Mermis*. Nachtrag zu: Ueber die Entwicklungsgeschichte und die Anatomie von *Gordius tolosanus*. XXXIV, 390.
- Ueber den Bau und die Entwicklung des *Distomum cylindraceum* Zed. XXXVI, 173.
- Weitere Beobachtungen an *Gordius tolosanus* u. *Mermis*. XXXVII, 239.
- Beobachtungen an Helminthenlarven. XXXIX, 325.
- Ueber *Mermis ingrescens* Duj. XXXX, 498.
- Löwit, Prof. Dr. M., Die Anordnung und Neubildung von Leucoblasten u. Erythroblasten in den blutbildenden Organen. XXXVIII, 524.
- Loewy, James, Beiträge zur Anatomie u. Physiologie der Oberhaut. XXXVII, 159.
- Lukjanow, Dr. S. M., Notizen über das Darmepithel bei *Ascaris mystax*. XXXI, 292.
- Ueber eine eigenthümliche Kolbenform des Kernkörperchens. XXXII, 474.
- Einige Bemerkungen über sexuelle Elemente beim Spulwurm des Hundes. XXXIV, 397.
- Maass, Dr. Fr., Zur Kenntniss des körnigen Pigmentes im menschlichen Körper. XXXIV, 452.
- Marchand, Prof. Dr. F., Ueber die Entwicklung des Balkens im menschlichen Gehirn. XXXVII, 255.
- Matschinsky, Dr. med. N., Ueber das normale Wachsthum der Röhrenknochen des Menschen, sowie einige Thatsachen, betreffend den normalen Bau des Knochengewebes. XXXIX, 151.
- Mayer, Dr. Sigmund, Beitrag zur Lehre vom Bau der Sinushaare. XXXV, 52.
- Martsching, A., Beiträge zur Histologie des Haares und Haarbalges. XXXI, 32.
- Meyer, Dr. Hans, Die Entwicklung der Urniere beim Menschen. XXXVI, 138.
- Michaelsen, W., Beiträge zur Kenntniss der deutschen Enchytraeiden-Fauna. XXXI, 483.
- Müller, Erik, Zur Kenntniss der Ausbreitung und Endigung der Magen-, Darm- und Pancreas-Nerven. XXXX, 390.
- Dr. med. Vitalis, Ueber die Entwicklungsgeschichte und feinere Anatomie der Bartholin'schen und Cowper'schen Drüsen des Menschen. XXXIX, 33.
- Nagel, Dr. med. W., Das menschliche Ei. XXXI, 342.
- Ueber die Entwicklung des Urogenitalsystems des Menschen. XXXIV, 269.
- Bemerkungen zu der Berichtigung des Prof. Dr. Janošik, XXXV, 107.
- Ueber die Entwicklung des Uterus und der Vagina beim Menschen. XXXVII, 620.
- Ueber die Entwicklung der Urethra und des Darmes beim Menschen. XXXX, 264.
- Nussbaum, M., Die Umstülpung der Polypen, Erklärung u. Bedeutung. XXXV, 111.
- Mechanik des Trembley'schen Umstülpungsversuches. XXXVII, 513.
- Oppel, Dr. Albert, Beiträge zur Anatomie des *Proteus anguineus*. XXXIV, 511.
- Ueber Vorderkopfsomiten und die Kopfhöhle von *Anguis fragilis*. XXXVI, 603.
- Die Befruchtung des Reptilieneies. XXXIX, 215.
- Oyarzun, Dr. A., Ueber den feineren Bau des Vorderhirnes der Amphibien. XXXV, 380.
- Paneth, Josef, Ueber die secernierenden Zellen des Dünndarmepithels. XXXI, 113.
- Paulsen, Dr. E., Ueber die Schleimhaut, besonders die Drüsen der Oberkieferhöhle. XXXII, 222.
- Peters, Dr. Albert, Ueber die Regeneration des Endothels der Cornea. XXXIII, 153.

- Beitrag zur Kenntniss der Har-
der'schen Drüsen. XXXVI, 192.
- Planner, R. von, Ueber das Vor-
kommen von Nerven-Endkörperchen
in der männl. Harnröhre. XXXI, 22.
- Platner, Gustav, Beiträge zur Kennt-
niss der Zellen u. ihrer Theilungs-
erscheinungen. I—III. XXXIII, 125.
- Beiträge zur Kenntniss der Zel-
len und ihrer Theilung. XXXIII, 180.
- IV. Die Entstehung und Bedeutung
der Nebenerne im Pancreas, ein
Beitrag zur Lehre von der Secre-
tion. XXXIII, 180.
- V. Samenbildung und Zelltheilung im
Hoden der Schmetterlinge. XXXIII,
192.
- VI. Die Bildung der ersten Rich-
tungsspindel im Ei von Aulostomum.
XXXIII, 204.
- Poljakoff, stud. med. P., Ueber eine
neue Art von fettbildenden Or-
ganen im lockeren Bindegewebe.
XXXII, 123.
- Popoff, L., Ueber die feinere Structur
des Geruchsorgans des Neun-
auges. XXXI, 1.
- Ueber die Haut des Neunauges.
XXXIV, 106.
- Rabl, cand. med. Hans, Die Ent-
wicklung und Structur der Nebeni-
niere bei den Vögeln. XXXVIII, 492.
- Rabl-Rückhard, Prof. H., Fettzellen
von eigenthümlicher Form. XXXII,
182.
- Einiges über das Gehirn der
Edentaten. XXXV, 165.
- Rath, Dr. O. von, Zur Kenntniss der
Spermatogenese von Gryllotalpa
vulg. Latr. Mit besonderer Berück-
sichtigung der Frage der Reducions-
theilung. XXXX, 102.
- Rawitz, Dr. Bernhard, Notiz über
die grüne Drüse des Flusskrebse.
XXXI, 98.
- Ueber den feineren Bau der hin-
teren Speicheldrüsen der Cephalo-
poden. XXXIX, 596.
- Ribbert, Prof. Dr., Ueber die Re-
generation der Mammilla nebst Be-
merkungen über ihre Entwicklung.
XXXVII, 139.
- Rose, Dr. Carl, Ueber die Entwick-
lung der Zähne des Menschen.
XXXVIII, 447.
- Rollett, Alexander, Ueber die Flossen-
muskeln des Seepferdchens (Hippo-
campus antiquorum) und über Mus-
kelstructur im Allgemeinen. XXXII,
233.
- Rollett, Ueber die Streifen N (Neben-
scheiben), das Sarcoplasma und die
Contraction der quergestreiften Mus-
kelfasern. XXXVII, 654.
- Samassa, Dr. phil. et med. Paul,
Untersuchungen über das centrale
Nervensystem der Cladoceren.
XXXVIII, 100.
- Zur Histologie der Ctenophoren.
XXXX, 157.
- Scarpattetti, Dr. med. J. von, Ueber
die eosinophilen Zellen des Kanin-
chenknochenmarkes. XXXVIII, 613.
- Seiller, Dr. Rudolf, Freiherr von,
Ueber die Zungendrüsen von Anguis,
Pseudopus und Lacerta. Ein Bei-
trag zur Kenntniss der einzelligen
Drüsen. XXXVIII, 177.
- Smirnow, Alexis, Die Structur der
Nervenzellen im Sympathicus der
Amphibien. XXXV, 407.
- Sobotta, Dr. J., Beiträge zur ver-
gleichenden Anatomie und Ent-
wicklungsgeschichte der Uterus-
muskulatur. XXXVIII, 52.
- Solger, Bernhard, Ueber Schrum-
pungserscheinungen am hyalinen
Knorpelgewebe des Menschen und
deren Beziehungen zu den Fibrillen.
XXXI, 303.
- Säugethier-Mitosen im histo-
logischen Kurs. XXXIII, 517.
- Ueber pericelluläre und inter-
celluläre Ablagerungen im Hyalin-
knorpel. XXXIV, 408.
- Zur Kenntniss der Wirkung des
Aethylalkohols auf die Gewebe
(Knorpel- u. Muskelgewebe). XXXIX,
343.
- Spuler, Dr. Arnold, Ueber die intra-
celluläre Entstehung rother Blut-
körperchen. XXXX, 530.
- Suchanek, Dr. Hermann, Beiträge
zur feineren Anatomie des mensch-
lichen Geruchsorgans. XXXVI, 375.
- Schaffer, Dr. Carl, Vergleichend-
anatomische Untersuchungen über
Rückenmarksfaserung. XXXVIII,
157.
- Beitrag zur Histologie der Am-
monshornformation. XXXIX, 611.
- Schaffer, Dr. Josef, Die Verknöche-
rung des Unterkiefers und die Meta-
plasie-Frage. XXXII, 266.
- Schaper, Dr. med. Alfred, Beiträge

- zur Histologie der Glandula carotica. XXXX, 287.
- Schiefferdecker, Dr. P., Nachtrag zu meiner Arbeit über den Bau der Nervenfasern. XXXI, 100.
- Schneider, Karl Camillo, Histologie von *Hydra fusca* mit besonderer Berücksichtigung des Nervensystems der Hydropolyten. XXXV, 321.
- Schottländer, Dr. J., Ueber Kern- und Zelltheilungsvorgänge in dem Endothel der entzündeten Hornhaut. Experimentelle Untersuchungen. XXXI, 426.
- Beitrag zur Kenntniss der Follikelatresie nebst einigen Bemerkungen über die unveränderten Follikel in dem Eierstock der Säugethiere. XXXVII, 192.
- Schultz, Dr. Paul, Ueber die Giftdrüsen der Kröten und Salamander. XXXIV, 11.
- Steiner, cand. med. Heinr., Ueber das Epithel der Ausführungsgänge der grösseren Drüsen des Menschen. XXXX, 484.
- Stieda, Ludwig, Ueber die Caruncula lacrimalis des Menschen. XXXVI, 291.
- Stöhr, Dr. Philipp, Ueber die Lymphknötchen des Darmes. XXXIII, 255.
- Stüve, R., Beitrag zur Kenntniss des Baues der Eileiterdrüse bei den Amphibien. XXXIV, 123.
- Tagucki, Prof. R., Ueber kalte Injection mit japanischer Tusche. XXXI, 565.
- Teichmann, cand. med. Max, Der Kropf der Taube. XXXIV, 235.
- Teuscher, Paul, Ueber Degeneration an normalen peripheren Nerven. XXXVI, 579.
- Thilenius, Dr. G., Ueber die linsenförmigen Gefässkörper im Auge einiger Cyprinoiden. XXXX, 418.
- Török, Dr. Ludwig, Die Theilung der rothen Blutzellen bei den Amphibien. XXXII, 603.
- Tumänzew, stud. med. u. Prof. Joh. Dogiel, Zur Lehre über das Nervensystem des Herzens. XXXVI, 483.
- Ucke, Dr. med. Alexander, Epithelreste am Optikus und auf der Retina. XXXVIII, 24.
- Vallette St. George, de la, Ueber eine Zwitterbildung beim Flusskrebs. XXXIX, 504.
- Vas, Dr. Friedrich, Studien über den Bau des Chromatins in den sympathischen Ganglienzellen. XXXX, 375.
- Vejdovsky, Prof. F., Zur Entwicklungsgeschichte des Nephridial-Apparates von *Megascolides australis*. XXXX, 552.
- Virchow, Hans, Das Dotterorgan der Wirbelthiere (Fortsetz.). XXXX, 39.
- Vosseler, Dr. Julius, Die Stinkdrüsen der Forficuliden. XXXVI, 565.
- Waldeyer, W., Ueber Karyokinese und ihre Beziehungen zu den Befruchtungsvorgängen. XXXII, 1.
- Bemerkungen über den Bau der Menschen- und Affen-Placenta. XXXV, 1.
- Weber, Prof. Max in Amsterdam, Ueber neue Hautsecrete bei Säugethieren. XXXI, 499.
- Weismann, August, Bemerkungen zu Ischikawa's Umkehrungsversuchen von *Hydra*. XXXVI, 627.
- Wiedersheim, R., Beiträge zur Entwicklungsgeschichte von *Proteus anguineus*. XXXV, 121.
- Ueber die Entwicklung des Urogenitalapparates bei Crocodilen und Schildkröten. XXXVI, 410.
- Beiträge zur Entwicklungsgeschichte von *Salamandra atra*. XXXVI, 469.
- Wolters, Dr. Max, Die Conjugation und Sporenbildung bei Gregarinen. XXXVII, 99.
- I. Zur Kenntniss der Grundsubstanz der Saftbahnen des Knorpels. XXXVII, 492.
- Desgl. II. XXXVIII, 618.
- Wyhe, J. W. van, Ueber die Mesodermsegmente des Rumpfes u. die Entwicklung des Excretionssystems bei Selachiern. XXXIII, 461.
- Ziegler, Dr. H. Ernst, Der Ursprung der mesenchymatischen Gewebe bei den Salachiern. XXXII, 378.
- Ernst, Dr. phil. Prof., Beiträge zur Entwicklungsgeschichte von *Torpedo* (im Verein mit Fr. Ziegler). XXXIX, 56.
- Friedrich, Beiträge zur Entwicklungsgeschichte von *Torpedo* (im Verein mit Prof. Dr. phil. Ernst Ziegler). XXXIX, 56.
- Zimmermann, Dr. K. W., Ueber die Theilung der Pigmentzellen, speziell der verästelten intraepithelialen. XXXVI, 404.

Sachregister.

- Aal**mutter — *Zoarces viviparus*.
Acanthocephala XXXIX, 330.
Acephala, Bemerkungen über das Gefäßsystem, Wasseraufnahme XXXVII, 88.
Acerina cernua, Spermatozoen, Geißel XXXVI, 238, Kopf 244.
Acinus der Harder'schen Drüsen, Epithel beim Chamaeleon, XXXVI, 194.
Acipenser sturio, Bau der Spermatozoen XXXVI, 235, Kopf, Verbindungsstück, Geißel 236.
Actinophrys XXXVIII, 14.
Adenosarcom, über granuläre Einschlüsse in Geschwulstzellen XXXIX, 140.
Adventicia der Gefäße der Milz, Verhalten XXXVIII, 374, 384, 385.
 — der Speicheldrüsen XXXIX, 607, des Hauptausführungsganges 608.
Aequorea forskalea, Furchung des Eies XL, 243, Auftreten 244, Eiablage und erste Entwicklungsvorgänge 245, gleichzeitiger Verlauf der Kerntheilung und gleiche Grösse der Blastomeren 248, pathologische Kerntheilungsformen, Veränderung der Eiform 249, Metanucleolus 251, Richtungskörper, Abschnürung 252, Vergleich mit der Paracopulationszelle der Daphniden 256, Chromosomen, über die Zahlen-gesetze, Zweier-, Dreier- und Combinationssystem 258.
Aethylalkohol, Wirkung auf die Gewebe XXXIX, 343, auf Epidermis 345.
Affe, Bau der Placenta XXXV, 1.
 — Harder'sche Drüse XXXVI, 199.
 — graue Substanz des Hirnbalkens XXXVII, 13.
 — anthropoider, Uterusmuskulatur XXXVIII, 79.
 Affe, nicht anthropoider, Uterusmuskulatur XXXVIII, 79.
After bei *Torpedo ocellata*, Anlage XXXIX, 86.
Afterbildung, Beziehung zur Urmundspalte XXXIX, 389.
Aftermembran XXXIX, 454.
Afterrinne, Beziehung zur Urmundspalte XXXIX, 403.
Agriion puella als Wirth für *Cysticus taeniae acanthorrhynchae*. XXXIX, 341.
Ahnenplasmatheorie von Weismann, Bedeutung des II. Richtungskörpers und die Parthenogenese XXXVI, 109, bei Eiern von *Asteracanthium* 113.
Alauda arvensis, Spermatozoen XXXII, 422.
Alcedo, Farbe der Federn, Eisvogeltypus XXXV, 78.
Aleyonella fungosa, zur Spermatologie XXXI, 334, Spermatogonien, Umwandlung zu Spermatocysten, Spermatiden 335, Nebenkern u. Kern 336, Eindringen in die Eizelle 338.
Allantois der weissen Ratte XXXVII, 348.
Allantoisgang beim Menschen XXXIX, 376, Anlage 381.
Allantoisstiel beim Menschen, Anlage XXXIV, 383.
Alligator, zur Histologie des Magens XXXIV, 1, Epithelzelle 2, Structur 3, Becherzelle 5, Vermehrung 10, Drüsen, Epithelzelle 2, 7, Hals und Fundus, Drüsenzellen 3, 7, Tunica propria, Kern 9, Submucosa 4 mit Wanderzellen 5, Muskulatur 4.
 — Drüsen des Zungengrundes, Ausführungsgänge XL, 22.
Alveolen, Verbindung mit dem Zahn beim Wachsthum XXXVIII, 146, an schmelzfreien u. schmelzbedeck-

- ten Stellen 147, bei Nagern 149, Beziehung zu Kronement 150.
- Alveolodentalperiost bei Nagern, Bedeutung XXXVIII, 149.
- Alveus des Cornu Ammonis, Bau XXXIX, 613, mit Fimbria, Nervenfasern, Neuroglia, Gliazellen 624.
- Alytes obstetricans, Spermatogonie XXXVI, 250.
- Ambos (Gehörknöchelchen), erste Anlage XL, 519.
- Amitosis der Leucocyten, Bedeutung XXXVII, 288.
- Ammocoetes, Andeutung einer Theilung des Geruchsorgans. XXXVIII, 3.
- Epithelreste am N. opticus und auf der Retina XXXVIII, 35, Borgmeister'sche Zapfen.
- Ammonshornformation, zur Histologie XXXIX, 611, Muldenblatt Alveus mit Fimbria, Nervenfasern, Stratum oriens, Nervenzellen 613, polymorphe Nervenzellen mit aufsteigendem Axencylinder 614; Schicht der Pyramidenzellen, Reihenspyramiden, Fortsätze 615, Axencylinder 616; Stratum radiatum, Verhalten der Spitzenfortsätze 617; Stratum lacunosum seu medullare medium; Stratum moleculare 619, Nervenzelle mit Fortsätzen; Lamina medullaris involuta (Kernblatt), Beziehung zur Fascia dentata; Fascia dentata 620, a. Hilus et Nucleus, Pyramidenzelle, polymorphe Nervenzelle mit Fortsätzen 621, spindelförmige Zellen; b. Stratum granulosum, Nervenzellen beim Kaninchen und Schwein 622, Fortsätze zur Rindenoberfläche, zu Hilus, Axencylinder beim Kaninchen und Schwein, Verhalten der Fortsätze zum Stratum lucidum Honegger's 623, zur Zona reticularis Honegger's 624.
- , Neuroglia im Alveus XXXIX, 624, Gliazellen 624, Fascia dentata, Gliazellen 625.
- Amnion der Ratte, Mitosen XXXIII, 517.
- der weissen Ratte XXXVII, 347, Zellen 348.
- Amniota, Müller'scher Gang, Entstehung XXXIII, 502.
- Amoeba guttula XXXVIII, 7.
- limax XXXVIII, 7.
- lobosa XXXVIII, 6.
- proteus XXXVIII, 7, 8.
- verrucosa XXXIII, 7.
- villosa XXXVIII, 7.
- Amoeben, beschaltete XXXVIII, 12.
- geisseltragende XXXVIII, 9.
- kernlose XXXVIII, 6.
- Amphibia, Theilung rother Blutzellen XXXII, 603.
- , Nebenkern im Pancreas XXXIII, 182.
- , zur Kenntniss des Baues der Eileiterdrüse XXXIV, 123, Secretion 127, Drüsenzellen, Colloidkugeln, Oeffnung 124, Flimmerzellen, Becherzellen 126, Blutkörperchen, rothe, Auswanderung im Eileiter 129.
- , Methylenblautinction der motorischen Nervenendigungen im Muskel XXXV, 305.
- , feinerer Bau des Vorderhirns XXXV, 380, Körnerschicht 383, keulenförmige Zellen, multipolare Zellen 384, Axencylinderfortsätze, Verhalten 385.
- , Nervenzellen im Sympathicus XXXV, 407, Material 407, Methode 408, umstrickendes Nervenetz 409, Spiralfaser, Bedeutung 410, Myelinscheide 412, Verlauf 413, Verbindungsfaden 411, gerade Fasern 412, Verlauf 413, Zellnester 416.
- , Mucingehalt der Hautdrüse XXXVI 354.
- , Epithelreste am Opticus und auf der Retina XXVIII, 29.
- , Neuroglia, Bau XXXVIII, 278, Gliazellen 279.
- , Dotterzellen, Beziehung zum Dotterentoderm von *Torpedo ocellata* XXXIX, 61.
- , terata mesodidyma und katedidyma XXXIX, 418.
- , Gastrulation XXXIX, 430, Concrescenztheorie 437.
- , Einfluss der Entwicklung der Blutgefässe auf die Entwicklung von Darm, Darmgekröse und Pancreas, hemmend XXXX, 440 und fördernd 447.
- Anura, Nebenkern des Pancreas XXXIII, 188.
- , Spermatozoen XXXVI, 250.
- Urodela, Spermatozoen XXXVI, 254.
- Amphioxus, Concrescenztheorie XXXIX, 437.
- Amphipoda, nucleoläre Kernhalbierung der Mitteldarmdrüse, Drüsenzellen mit Kern XXXIX, 25.
- Ampulis pompadora L. Farbe der Federn, Grünfärbung XXXV, 79.

- Anas*, Spermatozoen XXXII, 441, Kopf 449.
- Angiostomum macrostomum* in der Leber von *Anguis fragilis* XXXIX, 327.
- Anguis fragilis*, Spermatozoen XXXVI, 272, Kopf, Geißel 274, Axenfaden, fibrilläre Structur 280.
- — —, Vorderkopfsomiten und die Kopfhöhle XXXVI, 603, Litteratur, Methode 607, Verbindung zwischen Mesoderm und Entoderm, Prächordalplatte, Stiel 612, Veränderungen 616, Verhalten der Zelle, Hals- und Kopfhöhle 614, Muskelanlage, Augenmuskeln 617, *muscul. rectus ext.* 619, *muscul. obliquus* 621.
- — —, Rückenmark - Faserung XXXVIII, 157, weisse Substanz, Centralband; graue Substanz 159, Gangl. spinale, Beziehung zu Nervenwurzeln, *Ramus communic. ant. et post.*, Vergleich mit *Tropidonotus* 166, Vorderwurzeln, Vordercommissur 160, *fasciculus medullae inf. s. ventralis*, Hinterwurzeln, mediale und laterale Partie 162.
- — —, Zungendrüse XXXVIII, 181, Zungenpapille, Epithel, Cylinderzelle 182, 192, Plattenepithelzelle 182, 193, Flimmerzelle, Becherzelle 184, Stomata 185, Form 188, Gestalt, Kern 196, Inhalt 197, Verhalten nach Fütterung 199, Netzwerk, Bedeutung 202, 212.
- — —, Befruchtung der Eier XXXIX, 217, Keimscheibe, Bau 218, Delle 219, Kern 221, weiblicher Vorkern, Spermakern 223, Conjugation 224, Furchungskern 226, Theilung 229, Nebenspermakern 226.
- Anisolabis mauritanica*, Stinkdrüse XXXVI, 576.
- Anodonta cellencis*, Blut, XXXVII, 82.
- Anomia ephibbium*, Blut XXXVII, 85.
- Anpassung, functionelle, Versuche zur XXXVII, 392, Litteratur, Objecte 396, Versuche an Schwanzspitzen von *Rana fusca* 397, Regeneration.
- Anta — Tapir.
- Antennen von *Chalicodoma murania*, Anlage XXXV, 148, 154.
- von *Sida cristallina*, Nerven XXXVIII, 109.
- Antilope*, Gesichtsdrüsen XXXI, 514.
- Aorta, Anlage beim Kaninchen XXXIII, 324.
- Aphlebia*, Stinkdrüsen XXXVI, 576.
- Aquaeductus Sylvii* der Edentaten XXXV, 170, Ependym 171.
- Area Noae, Fächerauge XXXIII, 380, Pigment- und Sehzelle, Cuticula, Kern 382, Stützzelle 385, Ommatidium, Bau 384, Epithel- und Pigment-, kolbenförmige Zelle 387.
- — — Blut, Farbe und Reaction XXXVII, 43, farbige Blutkörperchen 83.
- — — tetragona, Blut, Farbe und Reaction, farbige Blutkörperchen XXXVII, 43 und Kern 49.
- — —, Blut XXXVII, 82, farbige Blutkörperchen.
- Archoplasma* der Spermatoocyten bei *Salamandra* XXXVII, 572.
- Argulus foliaceus* XXXIII, 1; Integument, Saugscheibe 3, Matrix, Zelle und Kern 5, Hautdrüsen, Contractilität 7, Pigment, Muskulatur 8, Nervensystem 9, feiner Bau 11 — peripheres 12; oberes Hirnganglion; lobus olfactorius 9; Commissuren, Bauchmark, Augenganglien 11, Nervenfasern, Bau, Schildnerv, Endverhalten 13, Sinnesorgane, Sinnesborsten 14, Nervenendigung 16, Riechkolben 17, 39, Stirnauge 18, Pigment bei den Larven 19, Seitenaugen, Cuticula, Krystallkegel 20, Pigment 21, Verdauungswerkzeuge, Mundspalte 22, Oberlippe, Unterlippe, Oberkiefer, Schlund 23, Magen 24, Darm, Zelle, Enddarm, Bluträume 25, Cuticula 27, Kreislauf des Blutes 28, Herz 29, Blutzelle 30, Schalendrüse 31; Fortpflanzungs-Werkzeuge, Eierstock, Hülle 32, Matrixzelle, Ausführungsgänge 33, Samentasche 34, Ductus seminalis 35, Hoden, Tastkörper, Zelle 36, Gliederung 37, Saugnapffüße 40, Umbildung des Integuments 41, Kieferfüße, Schwimmfüße 43, Schwanzflosse 45.
- Artemis exoleta*, Blut XXXVII, 82.
- Arteria hepatica, plica*, Anlage XL, 446, 469.
- hyaloidea, Verhalten der Capillaren zu dem linsenförmigen Gefäßkörper im Auge der Cyprinoiden XL, 424.
- mesenterica sup., Verhalten zur Vena mesenterica magna XL, 461.

Arteria mesogastrica, Verhalten XL, 450.

— *pulmonalis*, Anlage bei Kaninchen XXXIII, 324.

Arterien der Milz, Gefäßsscheiden XXXVIII, 350, Endigungen 371, Beziehung zu Keimlager 373, Uebergang in Pulpa 374, Verhalten der *Adventicia* 374, 385, zu den Malpighischen Körperchen 384.

— des Uterus, Verhalten zur Placenta XXXV, 17, 33.

Ascaris marginata, über Eireifung und Befruchtungsvorgänge XXXII, 671 Methode, Eizelle, Entwicklungsgang 672, Veränderung des Keimbläschens 673 und dessen Kernes 675, Copulation 674, Abstossung des Richtungskörperchens 675, Aequatorialplatte, Beziehung zum Eiprotoplasma 678, Pronucleus, Bildung, Zahl und Bau 678.

— —, sexuelle Elemente XXXIV, 396, Eizelle, Kern und Kernkörperchen 398, Dotterbildung, Karyosom 399, Bildung der Polarkörperchen 401, 403, Eindringen des Spermatozoids 401, safranophile Körnchen 402, Pronucleus 403, karyokinetische Erscheinungen 404.

— *megalocephala*, Befruchtungsvorgang XXXI, 567, Methode 570, Richtungskörperchen, Bildung 572, Spermatozoid, Verhalten 576, Pronuclei, Bildung 579, karyokinetische Veränderungen 582, Sphères attractives 585, Protoplasma, Theilung 588.

— —, Entwicklung d. Geschlechtsprodukte XXXVI, 2, Samenbildung 2, Hodenröhre 6, Keimzone 7, Inhalt, Rhachis 9, Rhachislamelle, Anordnung 10, Zellhäute 11, Ursamenzelle, Verhalten des Kernes, Unterschied bei univalens u. bivalens 12, Hodenzwischenkörperchen, Wesen 14, 22, Wachstumszone 7, Inhalt, Samenmutterzelle, Kern 18, Veränderung 21, Reifenzone 7, Inhalt, Vorstadien der I. Theilung bei univalens, Samenmutterzelle, Kern, Verhalten des Chromatins 23, Nucleolus 28, Polkörperchen 29, Vorstadien der I. Theilung bei bivalens 30, Samenzelle, Kern, Chromatin 30, Nucleolus, Polkörperchen 33, Verlauf der I. Theilung bei univalens, Samenmutterzelle, Kern, Inhalt 37, Theilung 39, Theilung der Samenmutterzelle b. bivalens 40, II. Thei-

lung 49 der Tochterzelle, Verhalten des Chromatin 40 und der Polkörperchen 44, Samenleiter, Inhalt, Samenzellenträger 47, Samenkörper, Bau 49, Ei und Eibildung 51, Eierstocksröhre, Ureier, Eimutterzelle, Rhachis, Keimzone, Inhalt 52, Zwischenkörperchen 53, Wachstumszone, Inhalt 55, Eileiter, Gebärmutter, Kern der Ureier 46, Richtungskörper 57.

— — *bivalens*, Vergleich mit der Ursamenzelle bei univalens XXXVI, 12, Vorstadien der I. Theilung der Samenmutterzelle, Samenzelle, Kern, Chromatin 30, Nucleolus, Polkörperchen 33, Verlauf der I. Theilung 40, Bau der Samenkörper 49.

— — *univalens*, Vergleich mit Ursamenzelle bei bivalens XXXVI, 12, Vorstadien der ersten Theilung der Samenmutterzelle, Kern, Verhalten des Chromatin 23, Nucleolus 28, Polkörperchen 29, Verlauf der I. Theilung, Kern 37, Verhalten 39, Samenkörper, Bau 49.

— — — Zwischenkörperchen der Eierstocksröhre XXXVI, 53.

— *mystax*, über das Darmepithel XXXI, 293, Methode, Zellen, Membrana propria 295, Fortsätze 296, Kern 297 mit Kernkörperchen, Karyosomen 298.

— *Pterostichi n. sp.* XXXIX, 325.

Asiphoniata, Blut, XXXVII, 82.

Astacus fluviatilis, Notiz über die grüne Drüse XXXI, 98 Kern, Gelbfärbung.

— —, quergestreifte Muskelfaser, Scheibenzerfall XXXVII, 668.

— —, Analogie der Blutzelle mit den eosinophilen Zellen des Knochenmarks vom Kaninchen XXXVIII, 617.

— —, innere Zwitterbildung XXXIX, 504, ruhende Spermatogonie 504, Follikelkerne 505, Eier im Hoden 506; Spermatogonie, Karyokinese 521.

— —, Reductionstheilung XL, 117.

Astarte fusca, Blut, Farbe u. Reaction XXXVII, 43.

— —, Blut, XXXVII, 82.

Asteracanthium, Eier, Parthenogenese XXXVI, 113.

Atrioventricularklappe des Herzens beim Kaninchen XXXIII, 340.

Attractionssphären der Leucocyten XXXVII, 249 und Centralkörper, Verhalten bei Kernfragmentierung 274.

Auge bei *Bythotrephes longimanus* XXXVIII, 119.

— der Cyprinoiden, linsenförmiger Gefässkörper XL, 418, Vorkommen 419, Topographie, Gefässverlauf bei Karpfen, Schleie 420, Verhalten der Capillaren der Art. hyaloidea 424, Sammelgefässe 625, Vergleich mit Verhalten in der Chorioidealdrüse, Wundernetzbildung 420, 426, venöser Theil 429, Bedeutung 432.

— der Mollusken XXXIII, 378, Fächerauge von *Arca Noae* 380, von *Pecten* 390, Stiel, Pigmentmantel bei *P. opercularis*, *Pellucida*, Epithel 391, Linse 392, Entwicklung 396, Septum 392, Retina, Stäbchenzelle 393, spindelförmige Zellen 395, Entwicklung 396, Seitennerv, Verbindung mit Nerv 394, 395, Seitennerv 395, Tapetum, Bedeutung 397.

— Fächer von *Arca Noae* XXXIII, 380, Pigment- und Sehzelle 382, Cuticula und Kern, Stützzelle 385, Epithelzelle, kolbenförmige Zelle 387.

— Seiten- von *Argulus foliaceus* XXXIII, 20, Cuticula, Krystallkegel, Pigment 21.

— unpaares, bei *Daphnia sima* XXXVIII, 115.

Augenblase bei *Petromyzon Planeri*, Anlage XXXV, 505, 510.

— sekundäre bei *Petromyzon Planeri* XXX, 537.

Augenlider, Bau der Oberhaut XXXVII, 172.

Aulostomum, Samenbildung, Centrosomen, Nebenkern XXXIII, 197.

— gulo, Bildung der ersten Richtungsspindel im Ei XXXIII, 204. Ei, Bau 204, Keimstock, Keimbläschen 205, Centrosoma 206, Verhalten bei Bildung der Richtungsspindel 207, der Dotterkörnchen 208, Veränderung der chromatischen Substanz, der Membran des Keimbläschens 209, Bau der fertigen Spindel 212.

Aurelia aurita, Metanucleolus bei Furchung des Eies XL, 255.

Auriculae cordis, Anlage bei *Kaninchen* XXXIII, 301.

Auricularia XXXVI, 568, 569, Ver-

gleich mit Nesselzellen der *Cnidarier* 573.

Ausführungsgang des Eierstocks bei *Argulus foliaceus* XXXIII, 33.

— der Giftdrüse von Kröte und Salamander XXXIV, 34, Verhalten zur Oberhaut.

— der Schleimdrüse von Kröte und Salamander, XXXIV, 49, Verhalten zur Oberhaut.

— der Drüsen des Kropfes der Taube XXXIV, 240.

— des Pancreas von *Proteus anguineus* XXXIV, 547.

— der Krause'schen Drüsen der *Caruncula lacrimalis* des Menschen, *Cylinderepithel* XXXVI, 303.

— der Mammilla, Verhalten bei Regeneration XXXVII, 140, Verhalten des Epithels 140, 149 zur Epidermis 150.

— der Cowper'schen Drüse beim Menschen XXXIX, 51.

— der Drüsen der *Regio olfactoria* beim Menschen, Epithel XXXIX, 645.

— der Drüsen der *Papilla vallata* bei *Cavia cobaya* u. *Hystrix* XL, 16.

— der Drüsen des Zungengrundes XL, 22 bei Reptilien, Alligator, Pferd.

— der grösseren Drüsen des Menschen, Epithel 40, 484.

— der *Micronephridien* von *Megascolides australis* XL, 556, Epithel 557.

Ausführungsschlauch der Speicheldrüse, Epithelzelle XXXIX, 605.

Auster — *Ostrea*.

Aves, Bau der Spermatozoen XXXII, 401.

—, über den Bau des Knochenmarks, neue Untersuchungen XXXV, 424, rothe Blutkörperchen, erste Entstehung 430, 440. Venencapillaren, Bedeutung als endovasculäres Organ 435, 463, Methode 437, Verhalten zum Parenchym 439, Zelle mit Stäbchen 444, mit Körnchen, kleine und grosse Leucocyten 445, Veränderungen des Markes nach Aderlass 446, Erweiterung der Venencapillaren, Verhalten des Parenchym, indirecte Theilung der Leucocyten 450, Mitosis der rothen Blutkörperchen 452, Erythroblasten, Färbung, Mitosis 454, Parenchym, Gefässnetz 460, Venencapillaren mit Leucocyten und rothen Blutkörperchen 461.

Aves, Harder'sche Drüsen, Bau XXXVI, 196.
 —, Entwicklung und Structur der Nebenniere XXXVIII, 471.
Avicula hirundo, Blut XXXVII, 84.
Axencylinder der Nervenfasern von Neunauge XXXI, 101.
 — der Epithelzelle des Rückenmarks von Triton XXXIV, 151.
 — peripherer Nerven, Veränderung bei Degeneration XXXVI, 590.
 — der polymorphen Nervenzellen des Cornu Ammonis XXXIX, 614.
 — der Pyramidenzelle des Cornu Ammonis XXXIX, 616.
 — des Stratum granulosum des Cornu Ammonis bei Kaninchen u. Schwein XXXIX, 623.
 — der Nervenfaserschicht der Retina des Menschen XL, 29.
Axencylinderfortsatz der multipolaren Zellen des Vorderhirns der Amphibien XXXV, 385.
 — der grossen, sternförmigen Zelle der inneren Körnerschicht der Retina des Menschen XXXVIII, 326, der kleinen, sternförmigen Zellen 329, der Zelle des Gangl. optici 336.
Axencylinderscheide des Rückenmarks XXXVIII, 291.
Axenfaden der Spermatozoen der Vögel XXXII, 413, mit Endknöpfchen und Elementar fibrillen 417, fibrilläre Structur 427, 443.
 — der Spermatozoen, fibrilläre Structur beim Hecht XXXVI, 242, Perca, Leuciscus 243.
 — der Spermatozoen der Amphibien, Bau XXXVI, 267, Randsaum, fibrilläre Structur 269.
 — der Spermatozoen bei Testudo, Lacerta, Psammodromus XXXVI, 275, fibrilläre Structur bei Lacerta, Anguis, Testudo mauritanica 280.
Axenorgane bei Petromyzon Planeri, Bildung XXXV, 483.
Axenstrang der Tentakel der Ctenophora XL, 190, Mittelstreifen, Muskelfaser, Auftreten 190 und Wachsthum 192, 195 bei Callianira und Hormiphora 196.
Axolemma d. Rückenmarks XXXVIII, 291.
Axolotl — Siredon pisciformis.
Axoplasma der Nervenfaserschicht beim Menschen XL, 29.

Bachforelle — Trutta fario.
Balkenbündel des Hirnbalkens, Auftreten beim Schwein XXXVII, 6.
Basalmembran der Haut von Petromyzon fluviatilis XXXIV, 109.
Bauch, Bau der Oberhaut XXXVII, 1, 6, 8, 16.
Bauchmark von Argulus foliaceus XXXIII, 10.
 — von Daphnia sima XXXVIII, 115, 116 Nerven.
 — von Leptodera hyalina XXXVIII, 128.
 — von Lumbricus, Beziehung zur sensiblen Nervenfasern der Haut XXXIX, 116, 120, Bau 120, Ganglion, Neurochordecylinder 121, Nervenzelle 122.
 — von Sida crystallina XXXVIII, 102, unterer Theil 112.
Bauchspeicheldrüse — Pancreas.
Bauchstrang von Gordius tolosanus Duj. XXXIV, 259 Männchen und Weibchen.
 — von Megascolides australis mit Ganglion XL, 553.
Baumläufer — Certhia.
Befruchtung, über die Bedeutung der — und die geschlechtliche Differenzirung XXXVI, 114.
 — von Ascaris marginata XXXII, 671.
 — von Distomum cylindraceum XXXVI, 185.
 — bei Eiern der Reptilien XXXIX, 215. Anguis fragilis 217, Tropidonotus natix 230.
 — bei Petromyzon Planeri XXXV, 469, 471.
Befruchtungsprozess bei Nematoden XXXVI, 100, Verhalten zwischen Ei- und Samenkern 100, Verhalten des Chromatin 103.
Befruchtungsvorgänge, Beziehung zur Karyokinese XXXII, 1.
 — bei Ascaris megalocephala XXXI, 567.
Begattung bei Distomum cylindraceum Zed. XXXVI, 184.
Begattungsscheide von Bilharzia haematobia XXXI, 211.
Beleuchtungsmethode neuer mittelst eigenthümlich geformter Glaskörper XXXII, 683.
Beroe, Epithel XL, 159, 161, Drüsenzellen, interstitielles Gewebe mit Kern im Magen 159, verästelte Zelle mit Kern 160, Drüsenzelle, Stadien

- der Entwicklung 161, Epithelborste der Wimperrinne 164, säbelförmige Cilien am Mundrand des Magens, Verhalten zum Epithel 165, Flimmerring, Flimmerzelle 167, Giftzelle 168.
- Beroe, Otolith mit Kern XL, 181, Epithelzelle der Wimperrinne 182.
- , zur Histologie, Ruderplättchen, Verbindungsfasern 196, Elemente der Gallerte, Muskulatur, Muskelfaser mit Sarcolemm 207, Verbindungen unter einander 208, Radiärmuskeln 209, Beziehung zum Magen 210, glatte Muskelfasern unter dem Epithel, Musculatur, Entwicklung u. Wachstum 211, Muskelzelle, erste Entstehung und Beziehung zu Bindegewebskörperchen 212 und embryonalen Mesodermzellen 213, Radiärfasern, Bildung 214, Bindegewebszelle, typische 215, Bindegewebe in der Gegend des Sinnespoles 215, Bindegewebsfaser unter dem Sinneskörper und Ruderplättchen 216.
- Bildungsgewebe bei *Torpedo ocellata* XXXII, 380, Zelle 383.
- Bilharzia haematobia (Cobbold), zur Anatomie XXXI, 192, Vorkommen und Verbindung, Benennung 195, copulirte Individuen 197, Organisation des Weibchens 200, Stachel, Darm 201, weiblicher Apparat 202, Bau 209, Schalendrüsenhöhle 203, Epithel 210, Cuticula 207, Muskelschlauch, Parenchym 208, Epithel des Darmes 209, Begattungsscheide 211, Ovarium 212, Centralnervensystem, Histologie 221, Organisation des männlichen Geschlechts 214, Hoden, Samenblase 218, Cuticula 220, Histologie, Cuticula mit Stachel, Muskulatur, Parenchym 219.
- Bindegewebe, Verhalten zur Haarpapille nach Epilation XXXVI, 537, 542.
- , Regeneration bei *Rana esculenta* XXXVII, 446, Mitose der fixen Bindegewebszelle.
- des Geruchsorgans von Neunaugen XXXVIII, 6.
- der Schleimhaut der Papilla vallata beim Pferd XL, 13 Ganglienzellen.
- der *Ctenophora*, Beroe XL, 215 in der Gegend des Sinnespoles, bei *Cestus* 220, *Callianira* 222.
- interstitielles der *Glandula ca-*
- rotica beim Menschen XL, 298, Zunahme 301.
- Bindegewebe, intertubuläres der Speicheldrüse XXXIX, 608.
- lockeres, eine neue Art von fettbildendem Organ im — XXXII, 123, kugelförmige Zelle der weissen Ratte 123, Bestimmung 145, Wachstum 124, Beziehung zu Gefässen 129, freie Kerne 136, Kerntheilung 137, Ranvier'sche Bindegewebszelle, Bedeutung 142, Atrophie 145, Leucocyten, Beziehung zur Fettbildung 150, Fettgewebe, functionelle Bedeutung 155, physiologische Bedeutung 160, — — Bedeutung 165, Verhalten zur Entzündung 168, Methode 174.
- — der Cutis von Kröte und Salamander XXXIV, 27.
- Bindegewebsfasern der *Ctenophora*, Beroe XL, 216, unter Sinneskörper und Ruderplättchen, — bei *Cestus* 221, *Callianira* 222.
- Bindegewebskapsel der Nervenendkörperchen in der Cornea und Conjunctiva des Menschen XXXVII, 606.
- Bindegewebskörperchen bei Beroe, Beziehung zur Entstehung der Muskelzellen XL, 212.
- Biomyxa vagans* XXXVIII, 11.
- Bisamsprutte — *Eledone moschata*.
- Blase von *Salamandra*, amitotische Kerntheilung im Epithel XXXIV, 437, durchlöchernte Kerne 438, Zelltheilung 445.
- contractile von *Gyrodactylus elegans* XXXIX, 335.
- Blastocoelblase von *Torpedo ocellata* XXXIX, 62.
- Blastocoelknopf bei *Torpedo ocellata* XXXIX, 80.
- Blastoderm von *Chalicodoma muraria* XXXV, 142, Umwandlung zum Epithel.
- von *Torpedo ocellata*, epitheliale Schicht XXXIX, 58.
- Blastodermbildung bei *Petromyzon Planeri* XXXV, 479.
- Blastomeren bei Furchung des Eies von *Aequorea forskalea*, Grössenverhältnisse XL, 248.
- Blastoporus von *Petromyzon Planeri* XXXV, 477, 480.
- Blattida, Stinkdrüse XXXVI, 576.
- Battkiemer — *Galeomma*.
- Blinddarm des Kaninchens, Epi-

- thelzelle XXXIII, 265, Gehalt an Leucocyten 266.
- Blindschleiche — *Anguis fragilis*. Blut, neue Methode der mikroskopischen Untersuchung XXXI, 103, Schnitte, Fixation der Elemente 102, in Osmiumsäure 104, Einbettung in Agar-Agar 105, Paraffin 108.
- bei *Stercutus niveus* n. sp. XXXI, 485.
- bei *Argulus foliaceus*, Kreislauf XXXIII, 28.
- Beiträge zur Histologie XXXVII, 22, bei den acephalen Mollusken, Historisches 22, Material 37, Methode 38, histochemische und histologische Beschaffenheit 43, chemisch-physikalisches Verhalten 43, Farbe und Reaction 43, bei *Poromya granulata*, *Solen legumen*, *Tellina planata*, *Capsa fragilis*, *Astarte fusca*, *Cardita aculeata*, *Arca tetragona* und *Noae*, *Pectunculus glycymeris* 44, spectroscopische Erscheinungen 45, Hämkristalle bei *Pectunculus* 46, farbige Blutkörperchen 47, bei *Solen legumen*, *Arca tetragona*, Kern 49, bei *Arca tetragona* 50, amöboide Zellen 52, Vacuolen, Pseudopodien 64, Plasmahaut, Bedeutung 67, Ursachen der Veränderung, Kern 72, Kernhöhle 74, Beziehung zw. Kern- und Zellmembran 75, — der Siphoniata, *Pholas dactylus*, *Tendo navalis*, *Thracia papyracea*, *Lyonsia corruscans*, *Mya arenaria*, *Corbula gibba*, *Poromya granulata* 79, *Solen vagina* und *siliqua*, *Solen legumen*, *Solecurtus strigillatus*, *Tellina planata* 80, *Tellina exigua*, *donacina* und *baltica* (Krystalle), *Psammobia vespertina*, *Capsa fragilis* (farbige Blutkörperchen), *Donax politus* und *trunculus*, *Macra stultorum* und *helvacea*, *Venus gallina* und *verrucosa*, *Tapes geographica*, *Cytherea chione* und *rudis* 81, *Artemis exochla*, *Circe minima*, *Cyclas cornea*, *Astarte fusca*, *Cardita oculata* (farbige Blutkörperchen), *Lucinia spinifera*, *Galeomma Turtoni*, *Solemya togata*, *Cardium tuberculatum* und *edule*; — bei Asiphoniata, *Unio pictorum*, *Anodonta cellensis*, *Arca tetragona* (farbige Blutkörperchen) 82, *Arca Noae* (farbige Blutkörperchen), *Pectunculus glycymeris* (farbige Blutkörperchen mit Kern, Leucocyten), *Nucula nucleus* 83, *Mytilus edulis* (gefärbte amöboide Zelle), *Modiola adriatica* und *barbata*, *Lithodomus dactylus*, *Dreysena polymorpha*, *Avicula hirundo*, *Pinna nobilis*, *Pecten varius* (Blutkörperchen, Krystalle), *Pecten Jacobaeus*, *opercularis* und *tectae* 84, *Lima hians*, *inflata* und *squamosa*, *Ostrea edulis*, *Anomia ephippium* 85.
- Blut zwischen Chorion und, Uterusschleimhaut bei Anlage der Placenta XXXVII, 368.
- von *Protopterus annectens*, Kernteilung durch indirecte Fragmentierung XXXVII, 389.
- Blutbahn der Milz, Beziehung zum Gerüstwerk ohne Wandung XXXVIII, 352.
- lacunäre der Milz XXXVIII, 358.
- Blutbildung aus dem Entoderm XXXVI, 516 bei *Tropidonotus natrix* 517, Zelle mit Kern 518, bei *Lacerta agilis* 523, Entodermzelle 524.
- Blutfarbstoff, Beziehung zur Pigmentbildung XXXIV, 482.
- Blutgehalt der Sinushaare beim Hund XXXV, 59.
- Blutgefäße der Rachentonsille XXXII, 210.
- , Beziehung zur Ossification des Unterkiefers XXXII, 297, zu Osteoblasten 328, Verhalten bei Untergang der Knorpelgrundsubstanz 354.
- des Uterus, Verhalten zur Placenta XXXV, 17, 33.
- der Carotisdrüse beim Menschen XL, 299. Neubildung 301.
- Blutgefäßapparat, anatomisch-entwicklungsgeschichtliche Studien über die formbildende Bedeutung XL, 435. Darm, Darmgekröse und Pancreas, Entwicklungsgeschichte 435, hemmender Einfluss der Blutgefäße, speziell der Venen bei der Entwicklung beim Frosch 440, bei Amphibien 441, fördernder 447, grosses Netz, Anlage und I. Entwicklung 445, *Plica arteriae hepaticae* 446, *Mesogastrium*, Verhalten 450, *Plica vaso-enterica* 451, *Nebopancreas*, Bedeutung und Ursprung 454, *Flexura coli hepatica*, Anlage 457, *Colon*, Anlage 457, *Plica duodeno-jejunalis*, Anlage 458, *Plica duodeno-mesocolica* 459, *Plica mesocolico-jejunalis*, *Plica jejunalis* 460. Art. mesent. sup., Verhalten zur Vena mesent. magna 461, *Mesogastrium* s. *Mesenterium gastroduo-*

- denale 462, Ductus lieno-pancreaticus 462, Ductus duodeno-pancreaticus 463, Darm, Factoren der Verlagerung 468, Gekröse, Faktoren der Verlagerung, Plica arter. hepaticae, Ursprung, Plica vaso-enterica, Ursprung, Plica duodeno mesocolica 469, Plica mesocolico jejunalis, Pancreas, Factoren der Umbildung 470, Nebenpancreas 472.
- Blutgefäßcapillaren der Leber, Rückbildung XXXV, 94.
- Blutkörperchen, Verhalten zum Epithel der Chorionzotten des Hundes XXXIII, 433.
- des Chorion der Katze XXXVII, 365, 366, 369.
- , Diapedese in der Milz XXXVIII, 357.
- farbige bei Mollusken, Solen legumen, Arca tetragona XXXVII, 47, Kern 49, bei Arca tetragona 50.
- rothe, Auswandern im Eileiter XXXIV, 129.
- , erste Entstehung im Knochenmark der Vögel XXXV, 430, 440, Mitosis 452, Vorkommen in den Venenapillaren 461.
- bei Capsa fragilis XXXVII, 81, Cardita aculeata, Arca tetragona 82, Arca Noae, Pectunculus glycymeris 83, Mytilus edulis, Pecten varius 84.
- Neubildung, Beziehung zu Erythroblasten XXXVIII, 578.
- , über intracelluläre Entstehung XL, 530, Litteratur, Methode 541, Kern 542 bei Kaninchen, Beziehung zu Capillaren 544, Zerfall rother Blutkörperchen in der Wachstumsspitze der Capillaren 546, cellulales vasoformatives, Bedeutung 547.
- gekernte, Vorkommen XXXVIII, 583.
- weisse, Neubildung XXXVIII, 590, in der Lymphe des Kaninchens 593.
- Bluthänfling — Fringilla cannabina.
- Blutplasma, Beziehung zur Hämoglobinbildung XXXVIII, 589.
- Bluträume von Argulus foliaceus XXXIII, 25, Cuticula 27.
- Bogengänge, häutige, zur Entwicklung XXXV, 287, Litteratur, bei Kaninchen 293, Methode 294, Labyrinthblase, Entwicklung und Veränderung 296.
- Bombinator igneus als Wirth für Trichosoma Bombinatoris n. sp. XXXIX, 327.
- Bombycilla, Farbe der Federn, Grünfärbung XXXV, 83.
- Borste bei Mesenchytraeus setosus n. sp. XXXI, 494.
- Borstenwürmer — Chaetopoda.
- Bourellet im Dünndarmepithel bei Maus und Tritonen XXXI, 140.
- Branchiopoda XXXVIII, 22.
- Branchipus stagnalis, Reductionstheilung XL, 117.
- Brust, Bau der Oberhaut XXXVII, 168.
- Brustbein von Chalicodoma muraria, Anlage XXXV, 149.
- Brusthöhle von Chalicodoma muraria, Anlage XXXV, 154.
- Brustsegment von Chalicodoma muraria, Anlage XXXV, 149.
- Buchfink — Fringilla coelebs.
- Bufo, Giftdrüse, Beziehung zur Haut XXXIV, 11, Vorkern 12, Methode 13.
- , Mucingehalt der Eileiter XXXVI, 351.
- Bythotrephes longimanus, centrales Nervensystem XXXVIII, 118, Sehganglion, Auge 119, Punktsubstanz, Sehfasern 120, Chiasma, Sehcommissuren 122, Centralkörper, retropharyngeales Ganglion 123.
- C**alamus, Reductionstheilung XL, 113.
- gracilis, Reductionstheilung XL, 117.
- Callianira, Epithel XL, 176, Pigmentfleck mit glatten Epithelzellen 177, Epithel der Magenwülste 177.
- , Otolith mit Kern XL, 181, Basalpolsterzelle 183.
- , zur Histologie, Ruderplättchen, Cilien XL, 184, Verbindungsfasern 185, Tentakel, Mittelstreifen bei Callianira 193, Axenstrang, Tentakel-epithel 197 aus Greifzellen und interstitiellem Gewebe 198, Elemente der Gallerte, Muskel, Bindegewebszelle 220, Bindegewebsfasern 222, Stützfasern 223, ectodermaler Nervenplexus 225.
- Calotragus melanotis, Drüse XXXI, 528.
- Calyptomena viridis Raff., Farbe der Federn, Beziehung der Schleimzellen zur Blaufärbung XXXV, 72, Grünfärbung 81.

- Canal der Epithelzellen der Harnblase XXXV, 394.
- Gartner'scher, Entwicklung beim Menschen XXXVII, 630.
- Havers'scher beim Menschen, Verhalten bei Färbung XXXIX, 157, 188, Resorption 193.
- Laurer'scher bei *Distomum cylindraceum* Zed. XXXVI, 183.
- bei *Phylline Hendorffii* XXXIII, 174.
- Volkmann'scher des Kaninchens, Verhalten XXXIX, 191.
- Canalis auricularis des Herzens von Kaninchen, Auftreten XXXIII, 295, Aenderung 320.
- neurentericus bei *Torpedo ocellata* XXXIX, 86.
- Canis domestica*, secernierende Zelle des Dünndarmepithels, Becherzellen, Inhalt der Theka XXXI, 129.
- —, Entwicklung und Structur der Placenta XXXIII, 419, Methode, Mucosa uteri, Bau, Drüsen und Krypten 421, Epithel 422, Veränderung durch Gravidität und Beziehung zur Placenta 423, Veränderung der Drüsen durch Gravidität 424, 428, Verhalten des foetalen Ectoderms zur Uterinschleimhaut 425, Chorionzotten, Auftreten und Verhalten zur Schleimhaut 426, zu Uterindrüsen 428, Veränderung und Wachsthum 435, Drüsenzellen, Beziehung zur Ernährung des Foetus 429, 434, Sinus lateralis 432, Verhalten zwischen Chorionepithel und Blutkörperchen 433.
- —, Giraldès Organ XXXIII, 445.
- —, zur Kenntniss der Lymphdrüsen XXXIV, 208, Litteratur, Reticulum 208, Methode 210, zellige Elemente 212, Zellen mit kleinem Protoplasma, mit grossem Protoplasma 214, Körnchen- oder granulierte Zellen 216, Körnchen, Structur, Natur, Vergleich mit eosinophilen Zellen 216, Leucocyten im Untergang 219, Phagocyten 220, Pinselzellen in der Halsdrüse 221, Blutkörperchen haltige Zellen in Mesenterialdrüsen 222.
- —, Beitrag zur Kenntniss des Geruchsorgans XXXIV, 385, Methode, Verhalten der Nervenfasern zu Geruchszellen 384, 386, Epithel der Grenzzone 388.
- —, sexuelle Elemente des Spulwurms XXXIV, 396.
- Canis domestica*, Bau der Sinushaare XXXV, 58, Blutgehalt 59.
- —, Capillarscheiden der Leber, Isolation XXXVI, 214.
- —, Mucingehalt in der Schleim-, Speichel- und Unterkieferdrüse. XXXVI, 342.
- —, Regeneration der Mammilla nebst Bemerkungen über ihre Entwicklung XXXVII, 139.
- —, Rectumdrüsen XL, 329, Protoplasma, Zelle 331, Schleimzelle 332, Mitose der Drüsenzelle 333, Schleimzelle, Zwillingszelle 334, Beziehung der Drüsenzelle zu dem Oberflächenepithel der Schleimhaut, 337.
- —, Duodenaldrüsen XL, 338, Protoplasma, Zelle 339, Schleimzelle, Kern 341, Mitose der Drüsenzellen 343.
- —, Bau des Chromatins der sympathischen Ganglienzellen XL, 378, Form der Chromatinkörner.
- Canthocamptus, Reductionstheilung XL, 117.
- Capillaren, Theilung der Wanderzellen XXXV, 275, 282, Beziehung zwischen Kern- und Zelltheilung bei Salamanderlarven.
- —, Regeneration bei *Siredon* XXXVII, 448.
- der Keimcentren der Milz, Verhalten XXXVIII, 391.
- —, Beziehung zur Schmelzpulpa XXXVIII, 459.
- der Carotisdrüse beim Menschen, Beziehung zu den Zellen der Zellenballen XL, 303.
- der Arteria hyaloidea, Verhalten zum linsenförmigen Gefässkörper im Auge der Cyprinoiden XL, 424.
- —, Beziehung zu rothen Blutkörperchen XL, 544, Zerfall in der Wachsthumsspitze der — 546.
- der Micronephridien von *Megascolides australis*, Beziehung zum Excretionsprozess XL, 557.
- Capillarröhren der Milz XXXVIII, 398.
- Capillarnetz der Carotisdrüse beim Menschen XL, 299.
- Capillarscheide der Leber der Säugethiere, Endothel XXXVI, 211, Isolation bei Katzen 212, sternförmige Zelle 213 mit Kern bei Hund und Katze 214, Isolation nicht gefüllter, Fibrillen, Kittsubstanz, Sternzelle 216, Beziehung zu Leberstroma 217,

- Nachweis an Schnitten beim Menschen 219, Beziehung zu Gallen-capillaren 221.
- Capillarscheide der Milz XXXVIII, 398, bei der Katze 403, Endothel 405, beim Menschen 420, Beziehung zu Venen, zur Pulpa 424.
- Caprimulgus europaeus, Spermatozoen XXXII, 431, Geißel 439, Axenfaden 442, 443.
- Capsa fragilis, Blut, Farbe und Reaction XXXVII, 43.
- — —, Blut, farbige Blutkörperchen XXXVII, 80.
- Carcinom, über granuläre Einschlüsse in den Geschwulstzellen, Fettumwandlung XXXIX, 139.
- Carcinus maenas, nucleoläre Kernteilung in der Mitteldarmdrüse XXXIX, 7, Fermentzellen, Kern und Secretblase 7, Zelle mit Doppelkern 9 und Kernkörperchen 10, fetthaltige Zelle mit Kern und Kernkörperchen 17, Theilung im Keim-epithel 22.
- Cardita aculeata, Blut, Farbe und Reaction XXXVII, 43, farbige Blutkörperchen 82.
- Cardium edule, Blut XXXVII, 82.
- tuberculatum, Blut XXXVII, 82.
- Carnivora, Uterusmuskulatur. XXXVIII, 72.
- Caruncula lacrimalis des Menschen XXXVI, 291, Litteratur, Krause'sche Drüse 301, Acinus, Wandung, Epithelzelle 302, Cylinderepithel des Ausführungsganges, Vergleich mit Moll'schen Drüsen 303, Epithel 304, Becherzelle 305, Bedeutung 307.
- Cassida equestris, quergestreifte Muskelfasern, Contractionswellen XXXVII, 678.
- Cavia cobaya, Substantia gelatinosa Rolandi XXXI, 609.
- — —, Hinterwurzeln des Rückenmarks, Längsbündel XXXIV, 174, 181, Zellen der substantia gelatinosa. 194.
- — —, Mucingehalt der Speicheldrüse XXXVI, 344.
- — —, Knorpelcement der Backzähne XXXVIII, 150.
- — —, zur Entwicklung der Zähne XXXIX, 547, Rudimentärzähnen, Zahnleiste.
- — —, papilla vallata XL, 11, Verhalten des Ausführungsganges 16.
- Cellules vasoformatives, Bedeutung XI, 547.
- Cement des Zahnes der Edentata erwachsen XL, 150.
- Centralkanal des Rückenmarks der Tritonen, Schluss XXXIV, 148.
- des Rückenmarkes, Beziehung des Epithels zu den Gliazellen XXXVIII, 277.
- Centralfaden der Tentakel der Ctenophoren XL, 199, Beziehung zum Spiralfaden.
- Centralkörper der Leucocyten XXXVII, 274, 281.
- Centralnervensystem, über mikroskopisch wahrnehmbare Veränderungen bei Thätigkeit des — XXXIII, 51, Untersuchungsmethode und Material 53.
- von Bilharzia haematobia XXXI, 214, 221.
- von Petromyzon Planeri, Anlage XXXV, 484, 490.
- Centrosoma des Eies von Aulostomum gulo XXXIII, 206, Verhalten zur Richtungsspindel 207.
- der Hodenzellen von Paludina vivipara u. Helix pomatia XXXIII, 134, 142.
- bei Samenbildung der Lepidoptera XXXIII, 196, bei Aulostomum 197, Veränderung in den Spermatoocyten 198, bei Sphinx euphorbiae und Pygaera 200.
- der Samenzellen von Salamander und Maus, Beziehung zum Nebenkern XXXIV, 88.
- der Spermatoocyten von Salamandra XXXVII, 572, Fibrillenbildung 576 bei Proteus anguineus 584.
- Cephalolophus doria, Gesichtsdrüsen XXXI, 526.
- dorsalis, Gesichtsdrüsen XXXI, 526.
- Macurelli, Gesichtsdrüsen XXXI, 526.
- natalensis, Gesichtsdrüsen XXXI, 526.
- niger, Gesichtsdrüsen XXXI, 526.
- Ogilbyi, Gesichtsdrüsen XXXI, 526.
- pygmaeus, XXXI, 507, Lage der Drüsen 511, beim Weibchen 513, tubulöse 515, Zelle 516, acinöse 517, Zellen; beim Männchen 518, tubulöse und acinöse 520.
- — —, Gesichtsdrüsen XXXI, 526.
- rufilatus, Gesichtsdrüsen XXXI, 526.
- Cephalopoda, Bau der Muskelfasern

- XXXIX, 291, Kern, Sarcolemm, Methode 292.
- Cephalopoda, Bau der hinteren Speicheldrüse XXXIX, 596.
- Cercaria Limnaeae trunculatae n. sp. in Limnaea trunculata XXXIX, 331.
- Cercopithecus, Uterusmuskulatur XXXVIII, 79, Corpus uteri 80, Collum 81.
- fuliginosus, Harder'sche Drüse, XXXVI, 700.
- Certhia, Spermatozoen XXXII, 422.
- Cestoda XXXIX, 332.
- Cestus, Epithel XL, 169, Drüsenzellen, interstitielles Gewebe, Körnchen, Fluoreszenzzelle, Bedeutung 169, vacuolenhaltige Zellen, Epithel an der Spitze der Tastpapillen 171.
- , zur Histologie XL, 184, Cilien der Ruderplättchen 185, Elemente der Gallerte, Muskulatur, Muskelfasern unter dem Epithel 218, Beziehung zu Epithel und Ectoderm 219, mesodermale Muskelfasern, Bindegewebe, Bindegewebszelle 220, Bindegewebsfasern 221.
- Chaetopoda XXXVIII, 21.
- Chalarothoraka XXXVIII, 16.
- Chalicodoma muraria Falv., Entwicklung im Ei XXXV, 141, Blastoderm, Umwandlung zu Epithel 142, Urhöhle 143, Mitteldarmepithel, Anlage, Entodermkeim 144, Ectoderm, Anlage 145, Vorderende 147, Vorderkiefersegment 148, 154, Antennen, Anlage 148, 154, Schlundrohr, Oberlippe, Schlundnervensystem 148, Ganglienanlage, Rachenanlage, Stigmenanlage, Brustbein, Brustsegment 149, Tracheen 151, Speichel- oder Spinnndrüse 152, Tentorium 153, Brustfüsse 154, Vorderdarm 155, Malpighi'sche Gefäße, Enddarm 156, Mitteldarm, Entwicklung 157, Eihüllen 159.
- Chamaeleon, Harder'sche Drüsen XXXVI, 194, Epithel der Acini.
- Chelidon urbica, Spermatozoen XXXII, 422, Bewegung 452.
- Chelidura acanthopygia Géné, Stinkdrüse XXXVI, 571, 576.
- allipermis Meg., Stinkdrüse XXXVI, 571, 576.
- Chelonia midas, Harder'sche Drüsen XXXVI, 196.
- , Entwicklung des Urogenitalsystems XXXVI, 410, Vorniere und Urniere, Glomus, Bildung des Glomerulus, Drüsenschläuche 437, Peritonealtrichter 438, bleibende Niere 450, Beziehung zur Urniere, Ureter 451, Müller'scher Gang, Anlage 458.
- Chelonii, Entwicklung des Urogenitalsystems XXXVI, 410.
- Zellenstränge der subgerminalen Hülle des Dotterorgans XL, 62.
- Chiasma nervi optici bei Bythotrephes longimanus XXXVIII, 122.
- Chimpanse — Simia troglodytes.
- Chironomus leniopagon Meig. als Wirth für Mermis crassa XXXIX, 328.
- plumosus als Wirth für Mermis crassa XXXVII, 244; XXXIX, 328.
- Choanoflagellatae XXXVIII, 18.
- Chondrolyse, Bedeutung XXXII, 354.
- Chorda von Torpedo ocellata, Anlage XXXIX, 67, 69.
- , dorsalis von Petromyzon Planeri XXXV, 485, 487, Chordazellen 487.
- und Knorpelstab, Regeneration XXXVII, 430, Verhalten zwischen Epithel und Chordazelle, Verhalten der Chordascheide, des Epithels 431, Beziehung zu Knorpelstab 435, Regeneration bei Triton cristatus-Larven 937, Verhalten der Chordazellen bei Triton taeniatus 438, hyaline Umwandlung der Chordazellen 442.
- Chordacanal XXXIX, 462.
- Chordascheide, Verhalten bei Regeneration der Chorda dorsalis XXXVII, 431.
- Chorion der Katzen, Verhalten der Zotten bei Entwicklung der Placenta XXXVII, 359, bei der I. Anlage der Placenta 366, Epithelzellen mit Blutkörperchen 365, 366, 369, Blut zwischen Schleimhaut und Chorion 368.
- Chorionzotten beim Hund, Auftreten und Verhalten zur Uterinschleimhaut XXXIII, 427, zu Uterindrüsen 428, Veränderung u. Wachstum 435, Epithel, Verhalten zu Sinus laterales 433.
- bei Katzen, Verhalten bei Entwicklung der Placenta XXXVII, 359 bei der I. Anlage der Placenta 361, 366.
- der weissen Ratte XXXVII, 346.
- Chromatin des Kernes der Spermatischen von Salamandra maculosa, Verhalten XXXI, 81.
- des Kernes der Membrana Desce-

- metii bei Entzündung, Verhalten bei Theilung XXXI, 445.
- Chromatin des Kernes der rothen Blutzellen bei Salamandra XXXII, 606.
- des Eies von *Aulostomum gulo* XXXIII, 209, Veränderung.
- Verhalten bei der Theilung der Samenmutterzelle, in den Vorstadien bei *Ascaris megaloccephala univalens* XXXVI, 23 und *bivalens* 30, bei der II. Theilung 43.
- Verhalten bei Befruchtung der Nematoden im Ei- und Samenkern XXXVI, 103.
- des Keimbläschens, Verhalten bei Follikelatresie XXXVII, 205.
- der ringförmigen Kerne der lymphatischen Randschicht der Salamandrinleber, Verhalten bei Theilung XXXVII, 387.
- der fixen Zellen der Blutzellenbildenden Organe XXXVIII, 540.
- der Ursamenzelle von *Grylotalpa vulg. Latr.*, Verhalten bei Theilung XL, 107.
- der sympathischen Ganglienzellen, Bau XL, 375, Methode und Material, beim Hund, Form der Chromatinkörner 378, beim Kaninchen, Pferd, Gehalt an Pigmentkörnern, beim Menschen nach der Entwicklung 380, Gehalt an gelbem Pigment 381, Zerfall mit dem Alter 384, Veränderung bei Ruhe oder Reizung 388.
- Chromatolyse im Pancreas XXXIII, 189.
- bei Follikelatresie XXXVII, 216.
- Chromosomen, Bedeutung XXXII, 17, 27.
- , Individualitätshypothese XXXVI, 104.
- in den Gewebszellen des Salamanders, Längsspaltung XXXVII, 722.
- der Samenmutterzelle von *Grylotalpa vulg. Latr.*, Verhalten bei Theilung XL, 110.
- bei Furchung des Eies von *Aequorea Forskalea*, Zahlenverhältniss XL, 258.
- Ciliata XXXVIII, 19.
- Cilien des Geruchsorgans von Neunaugen XXXVIII, 6.
- der Ruderplättchen bei *Callianira* und *Cestus* XL, 184.
- , sichelförmige am Mundrand des Magens von *Beroe*, Verhalten zum Epithel XL, 165.
- Circe minima*, Blut XXXVII, 82.
- Circulation des Schwellkörpers der Nasenschleimhaut des Menschen XXXIV, 205.
- Cirrus bei *Distomum cylindraceum* Zed. XXXVI, 181.
- bei *Phylline Hendorffii* XXXIII, 171.
- Cladocera, centrales Nervensystem XXXVIII, 100.
- Clathrulina elegans XXXVIII, 17.
- Clepsidine Blattarum, Conjugation und Sporenbildung XXXVII, 115, Cuticula 116, Kern und Kernkörperchen 117, geflammter Kern, Bedeutung 118, Sporen 121, Epithelzellen 122.
- Cloake der Selachier, Beziehung zum Pronephrosgang XXXIII, 486.
- beim Menschen, Epithel XXXIV, 276.
- , Beziehung zur Entwicklung der Urniere des Menschen XXXVI, 153.
- beim Menschen, Veränderungen des vordern Theiles LX, 268, des mittleren und hinteren Theiles 273, Beziehung des Epithels zur Dammbildung 279.
- Cloeon dipterum* L. als Wirth für *Gordius tolosanus* Duj. XXXIX, 329.
- Clupea harengus*, Spermatozoen, Kopf XXXVI, 248.
- Cnidocil von *Hydra fusca* XXXV, 334.
- Cobitis barbatula*, Fettzellen eigenthümlicher Form XXXII, 182, Beziehung zu Bindegewebszellen 182.
- als Wirth für *Echinorhynchus Proteus* XXXIX, 331.
- Coelajenyx paca*, papilla vallata XL, 11.
- Coelomtheorie XXXIX, 459.
- Coleoptera, quergestreifte Muskelfasern, Scheibenzerfall XXXVII, 663.
- Colloidkugeln der Eileiterdrüse der Amphibien XXXIV, 124.
- Collum Uteri beim Affen XXXVIII, 81.
- Colon, Anlage XL, 457.
- Coluber, Spermatozoen, Geißel XXXVI, 276.
- Columba, Nervus hypoglossus, Commissur, Fasern in der Medulla oblongata XXXI, 62.
- , Spermatozoen XXXII, 446, Kopf 449.
- , Kropf XXXIV, 235, Litteratur 236, Drüse, Methode 238, zusammengesetzte, schlauchförmige Drüse, Epithelzelle 239, Ausführungsgang, To-

- pographie 240, Bedeutung 241, Kropfmilch, Bedeutung 246.
- Columba, Zelle der Nebenniere XXXVIII, 514.
- , Spaltsystem im Knochenmark XXXVIII, 568.
- Columbinae, Spermatozoen XXXII, 439.
- Commissura mollis des Gehirns beim Menschen, Anlage XXXVII, 310.
- Commissur, hintere des Rückenmarks, Beziehung zu den Vorderhörnern XXXIV, 172, bei Katzen 173, Kaninchen, Meerschweinchen 174, Maus 175, 184.
- des Rückenmarks bei Tropicodonotus natrix XXXVIII, 165.
- vordere des Rückenmarks bei der Maus XXXIII, 96.
- des Rückenmarks, Beziehung zu Vorderhörnern XXXIV, 171.
- des Grosshirns bei Edentaten XXXV, 165.
- des Rückenmarks bei Anguis fragilis XXXVIII, 160.
- Commissurfasern der Kerne des Nervus hypoglossus bei Kalb XXXI, 60, Katze, Taube, Ente 62, 63, Mensch 63.
- Concrescenztheorie XXXIX, 432 bei Amphioxus und Amphibien 437, bei meroblastischen Eiern 442.
- Conjugation u. Sporenbildung der Gregarinen XXXVII, 99.
- bei Anguis fragilis zwischen Spermakern und weiblichem Vorkern XXXIX, 224.
- bei Tropicodonotus natrix XXXIX, 255, 259.
- Conjunctiva des Menschen, Nervenendkörperchen XXXVII, 602, Gestalt, Grösse, Lage 605, Bau, Bindegewebekapsel 606, Innenkolben, Nervenendigung 607 in Endplättchen 613.
- Conus arteriosus des Herzens beim Kaninchen XXXIII, 339.
- Copepoda, heterotypische Theilung XXXIX, 575, Theilung der A-zelle 576.
- , Ovogenese XXXIX, 576.
- , Reductionstheilung XL, 113, 117.
- Copulation bei Ascaris marginata XXXII, 674.
- bei Gordius tolosanus Duj. XXXVII, 243.
- Coracias garrula, Farbe der Federn, Blaurackentypus XXXV, 78.
- Corbula gibba, Blut XXXVII, 79.
- Corium der Haut bei Kröte und Salamander XXXIV, 28.
- der Haut bei Petromyzon fluviatilis XXXIV, 109.
- der Haut, Verhalten der Papillen bei der Verhornung XXXIX, 593.
- Cornea, über Kern- und Zelltheilungsvorgänge in dem Endothel der entzündeten — XXXI, 426, atypische Kerntheilung, Litteratur 429, Object, Methode 435, Membrana Descemetii 441, Veränderung des Kernes 444, Chromatingerüst 445, Phasen der Theilung, Knäuelstadium 450, Mutterstern 451, Umordnung, Tochterstern 452, Tochterknäuel 453, atypische Kerntheilung 456, mehrfache 458, indirekte Fragmentirung 475.
- , über die Lymphbahnen XXXII, 593, Litteratur, Material, Methode 595 bei Mensch, Schwein, Kaninchen, Rind 596, Beziehung zu intracellulären Lücken und Epithelzelle 600.
- , Regeneration des Endothels XXXIII, 153, Litteratur, Methode 155 bei Fröschen, Membrana Descemetii, Verhalten von Zelle u. Kern 159 Beziehung zur indirecten Kerntheilung 161.
- des Menschen, Nervenendkörperchen XXXVII, 602, Gestalt, Grösse, Lagerung 605, Bau, Bindegewebekapsel 606, Innenkolben, Nervenendigung 607 in Endplättchen 613.
- Corona glandis, Bau der Oberhaut XXXVII, 166.
- Corpus cavernosum, Beziehung zu Bartholin'schen Drüsen beim Menschen XXXIX, 42.
- Uteri beim Affen XXXVIII, 80.
- Corvus, Spermatozoen XXXII, 429, Kopf 438.
- frugilegus, Spermatozoen XXXII, 430, fibrilläre Structur.
- Corydia, Stinkdrüse XXXVI, 577.
- Cotinga cayana Geoffr., Farbe der Federn, Beziehung der Schleimzelle zur Blaufärbung XXXV, 72, Eisvogeltypus 78.
- Cottus gobio als Wirth für Trichodina sp. XXXIII, 402.
- als Wirth für Echinorhynchus Proteus XXXIX, 331.
- Craniota, Excretionsvorgang, Vergleich mit den Selachiern XXXIII,

- 501, Pronephros und Gang 501, Ur-geschichte des Excretionsorgans 506.
- Cricetus*, *Papilla vallata* XL, 11.
- *fumarius*, zur Entwicklung der Zähne XXXIX, 848, Rudimentärzähnen.
- Crocodylus*, Entwicklung des Urogenitalapparates XXXVI, 410.
- *biporcatus*, Entwicklung des Urogenitalapparates XXXVI, 410, Vorniere 411 und Urniere 416, 421, Gefässknäuel des glomus 421, Anlage 423, Veränderungen 430, Umbildung zu Glomerus 432, Rückbildung 436, Peritonealtrichter, Anlage 421, 426, II. Ordnung 430, Drüsenepithel 424, Epithel des Vornierenganges 425, bleibende Niere 442, 445, Nierengang, Anlage, Ureter 445, Harnblase 449, Ostium abdominale tubae 556, Müller'scher Gang 456.
- Crustacea*, Vergleich mit den Muskeln des Seepferdchens XXXII, 241.
- , Reductionstheilung XL, 119.
- Crypten* der *Regio olfactoria* beim Menschen 39, 647, Flimmerepithel.
- Lieberkühn'sche im Dünndarmepithel XXXI, 173, Epithel bei Maus, Vergleich mit Zottenepithel 173, Körnchenzelle 177, Einfluss von Reagentien 178, Bedeutung der Körnchen 180, Kern 181, Ursprung und Schicksal 182, beim Menschen 184.
- Ctenophora*, zur Histologie XL, 157, Epithel 160, 178, Drüsenzellen, verschiedene Stadien 179, Ruderplättchen, Cilien 184, Verbindung unter einander durch Flimmerstreifen, Basalpolsterzelle, Verbindungsfasern 185, Bedeutung 187, Tentakel 188, Basis 189, Veränderung, Nebententakel 196, Bildung, Axenstrang, Muskelfasern, Auftreten 190 und Wachsthum 191, Mittelstreifen 189, Muskelanlage 193, Seitenstreifen, Epithel, Drüsenzelle 194, Mittelfasern der Tentakel, Perimysium, Axenstrang 195, Tentakelepithel 197 und Greifzelle der interstitiellen Gewebe, Spiralfaden 198 und Centralfaden, gegenseitige Beziehung 199, Veränderung der Drüsenzellen 200 und der Nebententakel, Kern, Bildung des Spiralfaden 201, Greifzelle, Bedeutung 202, Elemente der Gallerte 203, Muskulatur, Muskelfasern mit Sarcolemm 207, Verbindungen 208, Radiärmuskeln 209, Beziehung zum Magen 210, glatte Muskelfasern unter dem Epithel, Entwicklung der Muskulatur 211 und Wachsthum, Muskelzelle, erste Entstehung und Beziehung zu den Bindegewebskörperchen 212 und den embryonalen Mesodermzellen 213, Bildung der Radiärfasern 214, typische Bindegewebszelle, Bindegewebe in der Gegend des Sinnespoles 215, Bindegewebsfasern (Stützfasern) unter dem Sinneskörper der Ruderplättchen 216, Muskelfasern unter dem Epithel 218, Beziehung zu Epithel, zu Ectoderm 219, mesodermale Muskelfaser 220, Nervensystem 224, ectodermaler Nervencplexus 225; zur Phylogenie und Systematik 231.
- Cuculus canorus*, Spermatozoen, XXXII, 440, Axenfaden 443, Kopf 449, Spitzenstück 455.
- Cuticula* bei *Bilharzia haematobia* XXXI, 207, 219 mit Stachel.
- der Bluträume von *Argulus foliaceus* XXXIII, 27.
- bei *Clepsidine Blattarum* XXXVII, 116.
- der Epithelzelle der Haut von *Petromyzon fluviatilis* XXXIV, 110.
- des Haares nach Epilation XXXVI, 543.
- von *Hydra fusca* XXXV, 328.
- von *Leidyonella cordubensis* XXXVIII, 307, mit Stäbchen 308.
- von *Lumbricus*, Beziehung zu Schleimzellen der Epidermis XXXIX, 108.
- von *Mermis crassa* XXXIV, 393.
- von *Phylline Hendorffii* XXXIII, 164.
- der Samenblase von *Bilharzia haematobia* XXXI, 220.
- des Seitenmagens von *Argulus foliaceus* XXXIII, 20.
- der Sehzelle des Fächerauges von *Arca Noe* XXXIII, 382.
- Cutis* von Kröte und Salamander, oberer Saum XXXIV, 27, lockeres Bindegewebe 27, Pigment, Vertheilung, tiefe Lagen 28.
- von *Gordius tolosanus* Duj. XXXIV, 253.
- Regeneration bei *Rana esculenta* XXXVII, 446, Cutislamelle 447, 448.
- Cutislamelle* bei Regeneration der *Cutis* von *Rana esculenta* XXXVII, 447, 448.

Cyclas cornea, Blut XXXVII, 82.

Cyclops, Kerntheilungsvorgänge bei der Mesoderm- und Entodermbildung XXXIX, 556, Urmesodermzelle, I. Theilung 557, Stammzelle 559, II. heterotypische Theilung der A-zelle 561, Reductionstheilung 564, Genitalzelle, Urogenitalzelle, normale Mitose der B-zelle, primäre Urmesodermzelle 565, sekundäre 567, Gastrulationsprozess, Beginn 566, Mesodermstreifen, Bedeutung 569, Beziehung der Polzelle 570, Entodermbildung 569, II. Richtungskörper, Schicksal 573, Beziehung zur A-zelle 574.

— *signatus*, Ovogenese XXXIX, 576.

Cyprinoidea, linsenförmiger Gefäßkörper im Auge XL, 418, Vorkommen 419, Topographie 420, Gefäßverlauf 420, Verhalten der Capillaren der Arteria hyaloidea 424, Sammelgefäß 425, Vergleich mit dem Verhalten in der Chorioidealdrüse 426. Wundernetzbildung 420, 430, venöser Theil des Gefäßkörperchens 429, Bedeutung 432.

Cyprinus carpio, Spermatozoen, Kopf XXXVI, 244.

— — —, linsenförmiger Gefäßkörper im Auge, Gefäßverlauf XL, 420.

Cysten des Hodens von *Salamandra maculosa*, Anordnung der Spermatiden XXXI, 86.

— vielkernige bei Spermatogenese der Säuger, Bedeutung XXXI, 248.

Cystenwand der Spermatiden von *Salamandra maculosa* XXXI, 87.

Cysticus in *Gammarus pulex* XXXIX, 336.

— *lacerta* in *Lacerta agilis* XXXIX, 342.

— *taeniae acanthorrhynchae* Wedl in *Agrion puella* XXXIX, 341.

— — — *bifurcae Hamanni* XXXIX, 340.

— — — *Hamanni Mrazek* XXXIX, 339.

— — — *integrae Hamanni* XXXIX, 338.

— — — *pachyacantha* XXXIX, 340.

— — — *semirostris* XXXIX, 338.

— — — *sinuosae* Zed. XXXIX, 339.

Cytherea chione, Blut XXXVII, 81.

— *rudis*, Blut XXXVII, 81.

D *actylosphaera* XXXVIII, 9.

Dacypus novemcinctus Aut., Schmelzorgan, Ausbildung im Embryo und Persistenz seines Keimrandes beim erwachsenen Thier XL, 133.

— *peba* Dsm. — *D. novemcinctus*.

— *setosus* Wild — *D. sexcinctus* L.

— *sexcinctus* L., Schmelzorgan, Ausbildung im Embryo und Persistenz seines Keimrandes beim erwachsenen Thier XL, 133, 137.

Damm, zur Entwicklung beim Menschen XL, 264, Beziehung des Epithels der Cloake zum — 279.

Daphnia sima, centrales Nervensystem XXXVIII, 114, Sehganglion 114, unpaares Auge, Riechnerv 115, Schlundnervenkommissur, Entwicklung, Bauchmark, Nerven 216.

Daphnidae, Paracopulationszelle, Vergleich mit dem Metanucleolus bei *Aequorea Forskalea* XL, 256.

Darm, über Lymphknötchen XXXIII, 255, Geschichte, Kritik 269, Epithel 258, Zelle, Kern, Entwicklung 259 bei Vogel, Katze, Kaninchen, Antheil der Leucocyten 260, Rückbildung bei Erwachsenen, Durchwanderung 263, Verhalten der Leucocyten 264 und der Epithelzelle 265 im Blinddarm des Kaninchens, Leucocyten in Epithelzellen 266.

—, Nervenendigung XL, 390, in Muskulatur und Schleimhaut.

—, Entwicklungsgeschichte, hemmender Einfluss der Entwicklung der Blutgefäße beim Menschen XL, 440, Amphibien 441, fördernder Einfluss 447, Factoren der Verlagerung 469.

— von *Argulus foliaceus* XXXIII, 25, Zellen.

— von *Ascaris mystax*, Epithel XXXI, 293, Methode, Zelle, Membrana propria 295, Fortsätze 296, Kern 297 mit Kernkörperchen, Karyosomen 298.

— von *Bilharzia haematobia* Cobbold XXXI, 201, Epithel 209.

— von *Distomum cylindraceum* Zed. XXXVI, 175.

— der Katze, Zellbrücken, glatte Muskelfaser XXXVIII, 43.

- Darm von Phylline Hendorffii XXXIII, 167.
 — von Stercutus niveus n. sp. XXXI, 486.
- Darmkanal, Mucingehalt der Becherzelle XXXVI, 334, Bildung 340.
 — von Torpedo ocellata, Anlage XXXIX, 68, 80.
- Darmgekröse, hemmender Einfluss der Blutgefäße auf die Entwicklung beim Menschen XL, 440, Amphibien 441, fördernder Einfluss 447, Factoren der Verlagerung 469.
- Darmwand, Nerven der Muskulatur und Schleimhaut XL, 390, Litteratur, Anastomose zwischen Auerbach's und Meissner's Plexus, Verbindung zwischen Muskel und Nervenfasern 369, Nerven, Verhalten in der Schleimhaut 399, Auerbach's und Meissner's Plexus, Verhalten 399, Nerven der Zellen 403, Beziehung zu Epithelzellen 404.
- Decidua, Entstehung XXXV, 47.
- Degeneration peripherer Nerven XXXVI, 579, Litteratur, Methode 585, Veränderungen der Markscheide, des Axencylinders 590, Kernes 591.
- Delle der Keimscheibe bei Anguis fragilis XXXIX, 218.
 — der Keimscheibe von Tropidonotus natrix XXXIX, 231.
- Dentin der Edentata am Schmelzorgan XL, 142, am Zahn des erwachsenen Thieres 150.
 — beim Menschen XXXVIII, 461.
- Dentinbildung der Edentaten, Beziehung zum Schmelzorgan XL, 155.
- Deutoplasma des menschlichen Eies XXXI, 386, Ursprung 389, Aufnahme in das Ei 390, 405.
- Diapedese der Blutkörperchen der Milz XXXVIII, 357.
- Differenzierung, geschlechtliche und Befruchtung, über die Bedeutung XXXVI, 114.
- Discus urogenitalis beim Menschen XXXIV, 275.
- Distomum cylindraceum Zed., über Bau und Entwicklung XXXVI, 173, Hautschicht 174, Muskel, Subcuticularschicht, Zelle, Parenchymmuskeln, Zelle 175, Drüsenzelle, Saugnapf 176, Schlundkopf, Speicheldrüse 177, Darm, Excretionsgefäß 178, Nervensystem, Geschlechtsorgan 179, Geschlechtsöffnungen, Hoden 180, vas deferens, Cirrusbeutel, Samenblase, Cirrus, Keimstock 181, Dotterstöcke, Schalendrüse, Eibildungsraum, Uterus 182, Vagina, Laurer'scher Kanal 183, Begattung 184, Befruchtung 185, Eibildung und Schalenbildung 187, Entwicklung im Embryo, Keimschlauch, Cercarien, Wirth Limnaea ovata, Larve in Ilybius fuliginosus 188.
- Distomum echinatum Zed. in Pisidium fossarium Classen und Limnaea ovata XXXIX, 334.
 — endolobium Duj. in Limnophilus rhombicus XXXIX, 332.
 — pulicis in Gammarus pulex XXXIX, 333.
 — Sialidis in Sialis lutaria XXXIX, 334.
- Donax politus, Blut XXXVII, 81.
 — trunculus, Blut XXXVII, 81.
- Dotter des menschlichen Eies XXXI, 405.
 —, Veränderungen bei Follikelatrepsie XXXVII, 306, Körnerbildung.
 — von Rana temporaria, Untheilbarkeit XXXIX, 358, Vacuolen.
 — des Dotterorgans von Lacerta, Dotterzelle XL, 75.
- Dotterbildung in der Eizelle des Spulwurmes vom Hund XXXIV, 399.
- Dotterelemente von Phylline Hendorffii XXXIII, 173.
- Dotterentoderm von Torpedo ocellata XXXIX, 59, 64, Beziehung zur Dotterzelle bei Amphibien 61.
- Dotterhaut bei Tropidonotus natrix, Verhalten bei Befruchtung XXXIX, 245.
- Dotterkörnchen des Eies von Aulostomum gulo, Verhalten zu Centrosom XXXIII, 208.
 —, Verhalten zu Neuroblasten des Rückenmarks der Tritonen XXXIV, 137.
 — des Dotterorgans von Lacerta, Verhalten zum Randwulst XL, 51.
- Dottermasse bei Lacerta, innere und Dotterzelle XL, 80.
- Dotterorgan der Wirbelthiere XL, 39, Dottersackentoblast, Entwicklung bei Lacerta.
- I. Zweiblättriger Keim mit fortgehender Furchung 39, 1) subgerminaler Spalt 40, 2) Merocyten der Bodenschicht, 3) fortgehende Furchung der Bodenschicht 42, Verhalten der Zellen 43, des Ectoderm 45.

- II. Beginnende Gastrula 46, 1) Lecithoderm, proximaler Wulst, 2) Zwischenzone 49, 3) Randwulst 50, Verhalten der Zelle und der Dotterkörner, 4) Merocyten, protoplasmaarme 51 und 5) protoplasmareiche, 6) Protoplasma, peripherisches 52, 60, 7) oberflächliches 53, 60, 8) Randsaum 54.
- III. Ausgebildete Gastrula 56, 1) Lecithoderm unter dem Kopf, 2) in der unteren Wand des Urdarmes, 3) Lecithodermwulst, proximaler 57, 4) Lecithoderm, Zwischenzone, 5) Randwulst 58, 6) Randsäume, 7) Merocyten in dem mittleren Theile der Bodenschicht 59, 8) im Rande 60.
- IV. Umwachsung des Dotters fast vollendet 69, Zelle im Dotter, Bildung 71, Ursprung im Lecithoderm 73.
- V. Dotterzelle in der oberflächlichen Schicht des Dotters, 1) streifig geronnene Massen im Boden der subgerminalen Höhle, 2) Mundepithel 74, 3) Polster des distalen Poles, 4) Dotter und Dotterzelle 75.
- VI. Der perilecithale Spalt und seine Umgebung 76, runde, dotterfreie Zellen 77 mit Kern 78, glatte, dotterfreie Zelle 77.
- VII. Dotterzelle im ganzen Dotter 79, 1) Dottersackepithel und Wandschicht, a) am Dach der subgerminalen Höhle, b) im Bereich des perilecithalen Spaltes, c) distalwärts.
- 2) die innere Dottermasse und Dotterzellen, a) proximale 80, b) äquatoriale, c) centrale, d) distale 81.
- 3) der perilecithale Spalt, a) proximale, b) distale Dotterzelle 82, Herkunft 83, dotterfreie Zelle, Bedeutung, Herkunft 84 und Beziehung zu Merocyten 85.
- Dottersack bei *Lacerta*, Epithel XL, 80 am Dach der subgerminalen Höhle, im Bereich des perilecithalen Spaltes, distal.
- Dottersackentoblast der Wirbeltiere XL, 39.
- Dotterstock bei *Distomum cylindraceum* Zed. XXXVI, 182.
- bei *Phylline Hendorffii* XXXIII, 172.
- Dreysena polymorpha*, Blut XXXVII, 84.
- Drüsen, acinöse von *Cephalolophus pygmaeus*, Weibchen XXXI, 517, Zellen 518, Männchen 520.
- Drüsen, Bartholin'sche, Entwicklungsgeschichte und feinere Anatomie beim Menschen XXXIX, 33, erste Anlage 36, Zelle 37, Anlage der Drüsenendkammer 38, Epithel, Schleimzelle 39, Beziehung zu corpus cavernosum vestibuli und musculus bulbo-cavernosus 42.
- — beim Menschen, Anlage XL, 284.
- Bowman'sche der Regio olfactoria XXXVII, 645, Pigmentirung 648.
- Carotis-, zur Histologie XL, 287, Vorkommen bei *Lutra vulg.* 290, *Phocaena commun.*, Vana 291, Topographie und makroskopische Anatomie, Lage und Form 294, bei Mensch, Säuger, Kalb, Schaf, Katze, Kaninchen Pferd, *Phocaena c.*, *Lutra vulg.* 295, Histologie beim Menschen 296, Kapsel 298, Blutgefäße und Nerven 299, 301, Capillarnetz 299, interstitielles Bindegewebe 298, Zunahme, Gefäßumbildung 301, Drüsengewebe 302, Zellballen mit Zellen, Anordnung, Verhalten zu Capillaren 303, Bau der Zellen 306, reticulirtes Zwischengewebe 308, Beziehung zu Zellen 309, 313, Protoplasma, Kern 309, 313, Protoplasma, Kern 312, Zellgrenzen 313, bei Katzen 314.
- — von *Cephalolophus pygmaeus*, Beziehung zu Hautsecreten XXXI, 511 bei Weibchen, Männchen 518.
- Cervical- beim Menschen, I. Anlage XXXVII, 649.
- Chorioideal-, Vergleich mit dem linsenförmigen Gefäßkörper im Auge der Cyprinoiden XL, 426.
- Colon- des Kaninchens, Beziehung des Epithels zum Epithel der Schleimhaut XXXIII, 233, Oberflächenepithel 234, Becherzelle, Epithelzelle 235, Mitose 236, Schleim- (chromatophile) und helle Zellen 237, 240, Beziehungen, Umwandlung 237, Beziehung zur Mastdarmdrüse 238.
- Cowper'sche beim Menschen, Entwicklung und Anatomie XXXIX, 46, I. Anlage 47, Umwandlung der Epithelzelle zur Schleimzelle, Giannucci'sche Halbmonde 48, Ausführungsgang 51.
- der Cuticula bei *Phylline Hendorffii* XXXIII, 166.
- Duodenal-, beim Hund XL, 338,

- Protoplasmazelle 339, Schleimzelle mit dem Kern 341, Mitose der Drüsenzelle 343; — bei Maus 345, Protoplasmazelle, Kern, Protoplasma 348, Schleimzelle 349, Verhalten des Schleimes 350, Paneth'sche Zelle, Beziehung zur Schleimzelle 351.
- Drüsen der Eileiter der Amphibien XXXIV, 123, Secretion 127, Drüsenzelle, Colloidkugeln, Oeffnung 124, Flimmerzelle, Becherzelle 126, Auswandern rother Blutkörperchen 129.
- Eiweiss-, der Oberkieferhöhle XXXII, 227.
- — der Papilla vallata XL, 15.
- des Enddarmes von *Proteus anguineus* XXXIV, 545.
- des Geruchsorgans des Menschen mit Drüsenzelle bei Neugeborenen XXXVI, 390, Erwachsene 392.
- — vom Neunauge XXXVIII, 3, 11, becherförmige Zellen 11 mit Kern, Bedeutung 12.
- Gesichts- bei *Cephalolophus pygmaeus*, Pallas, Maxurelli, rufilatus, natalensis, niger, dorsalis, Ogilbyi, doria XXXI, 526, *Grimmia ocularis* 526, madagna, mergens, grimmia, *Nanotragus spinigerus* 527.
- Gift- der Kröten und Salamander XXXIV, 11, Vorkommen 12, Methode 13, Epidermis, Schleimschicht, Zelle 14, Fortsätze 15, Hornschicht, Zellen 16, Becherzellen 19, Kern, Bedeutung 22, Neubildung 24, Häutungsschicht 17, Cutis, oberer Saum, lockeres Bindegewebe 27, Pigment, Vertheilung, tiefe Lage (*Corium*, Lederhaut) 28, Hautdrüse 29, Schleimdrüse im Gegensatz zur Giftdrüse, Bau 30, 49, Ausführungsgang, Verhalten zur Oberhaut 49, Schleimzelle im Gegensatz zur Giftzelle 31, 50, Bedeutung 32, Bau der —, Ausführungsgang, Verhalten der Epidermis 34, Drüsen, contractile Fasern 37 und Spindelzelle 38, *Membrana propria*, Faltung 39, Epithel 40, Zelle mit Kern 44, 47, Riesenzelle 47, Vermehrung durch indirecte Kerntheilung 45, Giftkörper, Bedeutung 46.
- grössere beim Menschen, Epithel der Ausführungsgänge XL, 484.
- grüne des Flusskrebes XXXI, 98, Kern, Gelbfärbung.
- Hals- des Hundes, Pigmentzelle XXXIV, 221.
- Harder'sche, Beitrag zur Kenntniss XXXVI, 192; Litteratur, Bau bei *Chamaeleon*, Epithel der Acini 194, bei *Testudo graeca*, Vergleich mit Thränenrüsen 195, desgl. bei *Chelonia midas*, Bau bei Vögeln, bei Kaninchen 196, Ratte, Ochs, Vergleich mit Thränenrüsen 198, beim Schwein 197, Affe, *Inuus cynomolgus* 199 und *Cercopithecus fuliginosus* 200.
- Drüsen, Haut-, von *Halmaturus rufus* XXXI, 503.
- — von *Argulus foliaceus* XXXIII, 7.
- — von Kröte und Salamander XXXIV, 29.
- — der Amphibien, Mucin-gehalt XXXVI, 354.
- Keim-, Anlage beim Menschen XXXIV, 274, Stroma 275.
- Krause'sche der *Caruncula lacrimalis* des Menschen XXXVI, 301, Acinus, Wandung, Epithelzelle 302, Cylinderepithel des Ausführungsganges, Vergleich mit Moll'schen Drüsen 303.
- Lieberkühn'sche, Verhalten zur *Muscularis mucosae* des Dünndarms XXXI, 19.
- Lymph-, zur Kenntniss XXXIV, 208 beim Hund, Litteratur, *Reticulum* 208, Methode 210, zellige Elemente 212, Zellen mit kleinem Protoplasma, mit grossem Protoplasma 214, Körnchen- oder granulirte Zellen 215, Körnchen, Natur, Vergleich mit den eosinophilen Zellen 216, Leucocyten im Untergang 219, Phagocyten 220.
- des Magens vom Alligator XXXIV, 2, Epithelzelle 2, 7, Drüsenzelle 3, 7, *Tunica propria* 4, Kern 9.
- —, zur Kenntniss der Zellen XXXIV, 225, Einfluss der Ehrlich-Biondi'schen Flüssigkeit auf Belegzellen, auf Haupt- und Pyloruszellen 226, Stäbchenzellen, Bedeutung 228, Nussbaum'sche Zelle 229, Zelle des Fundus, Vacuolenbildung, Bedeutung 230.
- — von *Proteus anguineus*, im Fundus XXXIV, 536.
- Mesenterial- des Hundes, blutkörperchenhaltige Zelle XXXIV, 222.
- des Mitteldarmes von *Proteus anguineus* XXXIV, 539.
- — von *Carcinus maenas*, nucleoläre Kernhalbierung XXXIX, 7, Fermentzelle, Kern und Secretblase, Verhalten 7, Zelle mit Doppelkern 9

- und Kernkörperchen 10, fetthaltige Zelle mit Kern und Kernkörperchen 17.
- Drüsen des Mitteldarmes von *Idotea tricuspidata*, nucleoläre Kernhalbierung XXXIX, 22, Drüsenzelle mit Kern und Kernkörperchen 23.
- der Amphipoden, nucleoläre Kernhalbierung, Drüsenzelle mit Kern XXXIX, 25.
- Moll'sche, Vergleich mit der Krause'schen Drüse der *Caruncula lacrimalis* des Menschen XXXVI, 303.
- der Oberkieferhöhle XXXII, 222.
- des Oesophagus von *Proteus anguineus* XXXIV, 533.
- der *Papilla vallata* XL, 15, Verhalten der Ausführungsgänge bei *Cavia cobaya*, *Hystrix* 16.
- Parotis-, Epithel des Ductus Stenonianus, Cylinderzelle XL, 488.
- Rectum-, bei Kaninchen, Verhalten des Epithels zum Epithel der Schleimhaut XXXIII, 217, Epithel der Oberfläche 217, Kern, amöboide Zelle 218, Epithelzelle der Drüsen 219, Schleimzelle, helle Zelle 220, Veränderung 223, Umwandlung zu Faserzellen 224, Beziehung zur Schleimzelle 229, Einwirkung von *Pilocarpin* 230.
- der Maus XL, 325, Protoplasmazelle, Protoplasma 326, Schleimzelle 327, Verhalten des Schleimes, Mitose der Drüsenzelle 328; — des Hundes 329, Protoplasmazelle 331, Schleimzelle 332, Mitose der Drüsenzelle 333, der Schleimzelle, Zwillingszelle 334, Beziehung der Drüsenzelle zum Oberflächenepithel der Schleimhaut 337.
- der *Regio olfactoria* des Menschen XXXIX, 644, Epithel des Ausführungsganges 645, Drüsenepithelzelle 646.
- Schalen- von *Argulus foliaceus* XXXIII, 31.
- bei *Distomum cylindraceum* Zed. XXXVI, 182.
- bei *Phylline Hendorffii* XXXIII, 172.
- Schild- von *Proteus anguineus* XXXIV, 529.
- , schlauchförmige des Magendarmkanals und die Beziehungen ihres Epithels zu dem Oberflächenepithel der Schleimhaut XXXIII, 216.
- des Magendarmkanals und die Beziehungen des Epithels zum Oberflächenepithel der Schleimhaut XL, 325.
- Drüsen, Schleim-, Mucingehalt XXXVI, 341.
- von Kröte und Salamander XXXIV, 30, 49, Bau und Vergleich mit Giftdrüsen, Ausführungsgang, Verhalten zur Oberhaut 49, Schleimzelle im Gegensatz zur Giftzelle 31, 50, Bedeutung 32.
- des Pharynx, Mucingehalt XXXVI, 347.
- Speichelspeichel-, Mucingehalt bei Hund und Katze XXXVI, 342.
- Septal- bei *Pachydrilus sphagnetorum* Vejdovsky var. *glandulosus* XXXI, 492.
- bei *Stercutus niveus* n. sp. XXXI, 487.
- seröse, Mucingehalt XXXVI, 341.
- der *Papilla foliata* XL, 20.
- Sexual- beim Menschen, Anlage XXXIV, 279, weibliche 299, 305, Trennung der Geschlechter, männliche 303, 328.
- beim Schwein, Anlage XXXIV, 317.
- Speichel- von *Chalicodoma muraria*, Anlage XXXV, 152.
- von *Distomum cylindraceum* Zed. XXXVI, 177.
- , Mucingehalt bei Meerschweinchen, Maus, Ratte, Mensch XXXVI, 344, Form des Secretes 346.
- bei Cephalopoden, Bau der hinteren — XXXIX, 596, bei *Eledone moschata* und *Octopus vulg.* 598, Epithel des Drüsenschlauches, Zelle 599, Lumen 601, Eiweisszelle und Mucinzelle 602, Kern 603, ausführender Schlauch, Epithelzelle 605, tunica propria, intima, adventicia 607, muscularis, intertubuläres Bindegewebe, Hauptausführungsgang, intima, adventicia und muscularis 608, Epithelzelle 609.
- beim Menschen, Epithel des Ausführungsganges XL, 485.
- Spinn-, von *Chalicodoma muraria* XXXV, 152.
- Stink- der Forficuliden XXXVI, 565, bei *Forficula auricularia* 567, Epithel- und Drüsenzelle 568, 569, Wurzelblase 570, bei *Chelidura acanthopygia* Géné und *allipernus* Meg. 571, Röhrchen, Vergleich mit

- der Drüse der Cnidarier mit Nesselzelle 573, Muskelfaser 574, dgl. bei *Labidna riparia*, *Anisolebis mauritanica* und *Corydia*, *Phyllodromia germanica* 577.
- Thränen-, Vergleich mit der Harder'schen Drüse bei *Testudo graeca* XXXVI, 195, Ochs 198.
- tubulöse von *Cephalolophus pygmaeus* beim Weibchen XXXI, 515, Zelle 516, Männchen 520.
- Typhon'sche beim Menschen, Anlage XL, 272.
- Unterkiefer-, Mucingehalt bei Hund und Katze XXXVI, 342, Igel 344.
- —, Epithel des Ductus Whartonianus, Cylinderzelle XL, 487.
- Unterzungen-, Epithel des Ductus Bartholinianus, Cylinderzelle XL, 486.
- des Uterus der weissen Ratte, Verhalten zur Placenta XXXVII, 344.
- — — — — beim Hund XXXIII, 421, Veränderung durch Gravidität 424, 428, Beziehung zu Chorionzotten 428, Drüsenzelle, Beziehung zur Ernährung des Foetus 429, 434, Epithel 422.
- Zungen-, über — von *Anguis*, *Pseudopus* und *Lacerta* XXXVIII, 177; — bei *Anguis fragilis* 181, Zungenpapille, Epithel, Plattenepithelzelle 192, 193, Becherzelle 184, Stomata 185, Flimmerzelle 184, Form 188, Gestalt, Kern 196, Inhalt 197, Verhalten nach Fütterung 199, Netzwerk, Bedeutung 202, 212, bei *Pseudopus Pallasii* 203, Zungenpapille 203, Becherzelle, Aenderung, Bau 204, Körnchen 205, Bedeutung, Secretbildung 209, Verhalten zum Netzwerk 212, interpapilläre Räume, Bedeutung 215, Litteratur 216, Becherzelle, Veränderung nach intensiverer Secretion 224 unter Anwendung von *Pilocarpin*, Veränderungen des Kernes 226, Vacuolenbildung, Auftreten runder Zellen 229, Becherzelle, Zusammenfassung 247.
- des Zungengrundes XL, 22, Verhalten des Ausführungsganges bei Reptilien, Alligator, Pferd, Beziehung zur Papilla foliata und vallata 23, beim Iltis 26.
- zusammengesetzt-schlauchförmige im Kropf der Taube XXXIX, 238, Epithelzelle 239, Ausführungsgang 240.
- Zwitter-, von *Limax agrestis*, Zelltheilung und Samenbildung XXXIII, 125, Methode 126, Nebenkern, Verhalten 127, Hauptstrahlen 130, Spermatogenese, Spermatide, Bildung 131, Spitzenknopf, Beziehung zum Nebenkern 132.
- Drüsenwandkammern der Bartholin'schen Drüsen des Menschen XXXIX, 38.
- Drüsenfeld der Mammilla, Anlage XXXVII, 154.
- Drüsengang der Schnauzenspitze von *Proteus anguineus* XXXIV, 526.
- Drüsengewebe der Glandula carotis beim Menschen XL, 302.
- Drüsenleiste der unbehaarten Haut, Bau XXXVII, 162.
- Drüsenöffnungen der Schleimhaut der Papilla vallata des Pferdes XL, 12.
- Drüenschläuche der Vorniere von *Chelonia midas* XXXVI, 437.
- Ductus Bartholinianus, Epithel, Cylinderzelle XL, 486.
- choledochus, Epithel, Cylinderzelle XL, 491, 492.
- Cuvieri beim Kaninchen XXXIII, 303, 317, zur Entwicklung.
- duodenopancreaticus, Anlage XL, 465.
- lienopancreaticus, Anlage XL, 464.
- seminalis von *Argulus foliaceus* XXXIII, 35.
- Stenonianus, Epithel, Cylinderzelle XL, 488.
- Whartonianus, Epithel, Cylinderzelle XL, 487.
- Wirsungianus, Epithel, Cylinderzelle XL, 493.
- Dünndarm, Schleimhaut, Verbindung der glatten Muskulatur XXXI, 15, Litteratur 15, Methode 17, Muscularis mucosae 18, Verhalten zu Lieberkühn'schen Drüsen, zu Zotten, zu Epithel 19.
- , über die secernierenden Zellen des Epithels XXXI, 113, Objecte, Untersuchungsmethode 113, Metachromasie 114, Safranin, Becherzelle bei Maus 121 und Triton, Einfluss der Ernährung 122, Theka 123 mit Secret, Protoplasma und Kern 124, Vergleich mit Cylinderzelle 126, Inhalt der Theka 127, bei Maus

und Triton 128, Mensch, Hund 129, Gerüst 130, Uebergang aus Epithelzelle bei Maus und Triton 132, schmale Zelle, Bedeutung 133, Bourrellet 138, Streifung bei Triton und Maus 140, Protoplasma der Epithelzelle, Wanderzelle im Epithel 142 bei Maus und Triton, Epithel, Verbindung zu Stroma 144, Fehlender Grenzmembran 145, Litteratur und Vergleich 146, Lieberkühn'sche Crypten, Litteratur, Epithel bei Maus, Vergleich mit Zottenepithel 173, Körnchenzelle 177, Einfluss von Reagentien 178, Bedeutung der Körnchen 180, Kern 181, Ursprung und Schicksal 182, beim Frosch 184.

Dytiscus marginalis, directe Kerntheilung in den Malpighi'schen Gefässen XXXIII, 145, Zellen, Nucleolus 146.

— —, Nebenkern in den Malpighi'schen Gefässen XXXIII, 182.

— —, Reductionstheilung XL, 117.

Echidna, zur Entwicklung des Herzens, Valvula foraminis ovalis XXXIII, 360.

Echinorrhynchus polymorphus Bremer in *Gammarus pulex* XXXIX, 330.

— *Proteus* in *Phoxinus laevis*, *Gobio fluviatilis*, *Cottus gobio*, *Cobitis barbatula*, *Gasterosteus aculeatus* XXXIX, 331.

Ectoderm, foetales, beim Hund, Verhalten zur Uterinschleimhaut XXXIII, 425.

— der Selachier, Beziehung zum Pronephrosengang XXXIII, 485 bei *Scyllium catulus* und *canicula*, Raja 485.

— von *Chalicodoma muraria*, Anlage XXXV, 145.

— von *Hydra fusca* XXXV, 325.

— vom Menschen, Verhalten zum Urnierengang XXXVI, 155.

—, Verhalten zu den Zellen der Bodenschicht des Dotterorgans der Wirbelthiere XL, 45.

— bei Beroe, Beziehung zu Muskelfasern XL, 219.

Ectoderm, gastrales bei *Torpedo ocellata* XXXIX, 59.

Edentata, Gehirn XXXV, 165, Grosshirnrinde, Commissur 165, Aqueductus Sylvii 170, Ependym 171.

—, Schmelzorgan, Ausbildung im Embryo und die Persistenz seines Keimrandes beim erwachsenen Thier XL, 133, Kieferanlage, Zahnrinne, Zahnanlage 138, Zahnpapille, Epithel 139, inneres Schmelzepithel, Stratum intermedium 140, äusseres Schmelzepithel, Rückbildung des Schmelzorgans 141, Dentin 142, Keimrand des Schmelzorgans 144, 153, Veränderung des Schmelzepithels 143, Zahn des erwachsenen Thieres 149, Secret, Dentin 150, Persistenz des Keimrandes durch Epithelring, Zelle, Verhalten zur Pulpazelle 153, Beziehung der Dentinbildung zum Schmelzorgan 155.

Egelschnecke — *Limax*.

Ei, Veränderungen bei Follikelatrete XXXVII, 206, bei vorhandenem Richtungskörper 208, hyaline Degeneration 213.

— von *Aequorea Forskalea*, Furchung XL, 243, Eiablage und I. Entwicklungsvorgänge 245, gleichzeitiger Verlauf der Kerntheilung und gleiche Grösse der Blastomeren 248, Veränderung der Eiform bei pathologischen Kerntheilungsformen 249, Metanucleolus 251, Vergleich mit der Paracopulationszelle der Daphniden 256, I. Richtungskörper, Abschnürung 252, Chromosomen, Zahlengesetz der — nach Zweier-, Dreier- und Combinationssystem 258.

— von *Ascaris marginata*, Reifung und Befruchtung XXXII, 671, Methode 971, Eizelle, Entwicklung 672, Veränderung des Keimbläschens 673 und dessen Kern 675, Copulation 674, Richtungskörper, Ausstossung 675, Aequatorialplatte, Beziehung zum Eiprotoplasma 678, Pronucleus, Bildung, Zahl und Form 679.

— und Eibildung von *Ascaris megalcephala*, Bau XXXVI, 51.

— von *Asteracanthium*, Parthenogenese XXXVI, 113.

— von *Aulostomum gulo*, erste Richtungsspindel XXXIII, 204, Bau, Keimstock, Keimbläschen 205, Centrosomen 206, Verhalten 207, Veränderung der Dotterkörnchen 208, Veränderung der chromatischen

- Substanz, der Membran und des Keimbläschens 209, Bau der fertigen Richtungsspindel 212.
- Ei von *Chalicodoma muraria* Fabr. Entwicklung XXXV, 141, Blastoderm, Umwandlung zu Epithel 142, Urhöhle 143, Mitteldarmepithel, Anlage, Entodermkeim 144, Ectoderm, Anlage 145, Vorderende 147, Vorderkiefergegend 148, 154, Antennen, Anlage 148, 154, Schlundrohr, Oberlippe, Schlundnervensystem 148, Ganglienanlage, Kieferanlage, Stigmenanlage, Brustbein, Brustsegment 149, Tracheen 151, Speichel- oder Thränendrüse 152, Tentorium 153, Brusthöhle 154, Vorderdarm 153, Malpighi'sche Gefäße, Enddarm 156, Mitteldarm 157, Eihüllen 159.
- von *Astacus fluviatilis* im Hoden XXXIX, 509.
- von der Katze, Anlagerung im Uterus XXXVII, 359.
- des Menschen XXXI, 342, Literatur 343, Material und Methode 355, Primordialei 359, Keimbläschen, Protoplasma 361, Kerngerüst, Kernkörperchen 362, Primärfollikel 364, Entstehung 368, Wachstum 376, Liquorbildung 382, Membrana propria 384, Nährzelle 378, Follikelepithel 364, Entstehung 269, Primordialei, Entstehung 366, Vermehrung 372, Wachstum 376, 384, Deutoplasma 386, Ursprung 389, Aufnahme in das Ei 390, Bau des fertigen — 396, Eiepithel 399, Zona pellucida 400, perivitelliner Spaltraum 403, Dotter, Deutoplasma 405, Keimbläschen, Kerngerüst 406, Veränderung im reifenden Ei 409, Keimstock, Bewegungen 407, Cilienzelle 409, Richtungskörper 410, Ovarien Neugeborener 412.
- von *Mermis ingrescens* Duj. XI, 508.
- von *Petromyzon Planeri*, Reifung und Befruchtung XXXII, 613, Streifung, Litteratur 614, zur Zeit der Metamorphose, Eihaut mit Granulosazelle 623, 625, Keimbläschen mit Deckel 624, Protoplasma, Bildung, Befruchtung, Litteratur 626, Methode 634, Veränderung des Protoplasmas 635, 637, 642, 644, Bildung 653, Membranbildung 635, Richtungskörper, I. Bildung 636, Dotterheerd 637, III. Auftreten 638 und Vorkommen 642, 644, Sperma-
- kopf mit Strahlung 640, Umwandlung, Spermatomeriten 641, Omeriten 644, provisorischer Furchungskern, Deutung 645, Microsomen der Meriten 646, definitiver Furchungskern 647, Karyomerit 648, Deckel, Bedeutung 652.
- von *Petromyzon Planeri*, Befruchtung XXXII, 613, 626.
- — — — —, Plasma nach Befruchtung XXXV, 473.
- von *Phylline Hendorffii*, Bau XXXIII, 173.
- von *Rana temporaria*, monströse Entwicklung mit theilweiser Untheilbarkeit des Dotters XXXIX, 358, Vacuolen im Dotter.
- der Reptilien, Befruchtung XXXIX, 215, — bei *Anguis fragilis* 217, Keimscheibe, Bau 218, Dotter 219, Kern 221, weiblicher Vorkern, Spermakern 223, Conjugation 224, Furchungskern, Nebenspermakern 226, Theilung 229, — bei *Tropidonotus natrix* 230, Keimscheibe mit Dotter 231, Furchungskern, Bildung, Nebenspermakern 234, Protoplasma, Theilung 235, Gruben der Keimscheibe mit Kern 237, Kern mit Strahlung 239, Verhalten der Dotterhaut 245, — männlicher und weiblicher Vorkern, Spermakern, Bedeutung 250, Bildung aus Spermatozoenkopf 254, Conjugation, Furchungskern 255, 259, Nebenspermakern, Ursprung aus Spermatozoen 256, Grube der Keimscheibe, Ursprung 267, Polyspermie 271, Nebenspermakern, späteres Schicksal 274, bei *Lacerta viridis*, Keimscheibe 275, Litteratur 279.
- , meroblastisches, Concrenzenztheorie XXXIX, 442.
- Eiablage bei *Aequorea Forskalea* XL, 245.
- Eibildung bei *Ascaris megalocephala* XXXVI, 51.
- bei *Distomum cylindraceum* Zed. XXXVI, 187.
- bei *Gordius tolosanus* Duj. XXXIV, 265.
- bei Nematoden, Vergleich mit Samenbildung XXXVI, 1, 58, Keimzone 58, Wachstumszone 60, Theilzone 61.
- Eibildungsraum bei *Distomum cylindraceum* Zed. XXXVI, 182.
- Eichhörnchen — *Sciurus*.
- Eidechse — *Lacerta et Saurii*.

- Eiderente — *Somateria mollissima*.
 Eierstock von *Argulus foliaceus*,
 Hüllen XXXIII, 32, Matrixzelle,
 Ausführungsgang 33.
 — von *Gordius tolosanus* Duj.
 XXXIV, 260.
 — beim Menschen, Anlage XXXIV,
 330.
 Eierstocksröhre bei *Ascaris megaloccephala* XXXVI, 51, Ureier,
 Eimutterzelle, Rhachis, Keimzone,
 Inhalt 52, Zwischenkörperchen bei
Univalens 53, Wachstumszone, In-
 halt 55.
 Eihaut bei *Petromyzon Planeri*
 XXXII, 632, mit Granulosazellen
 623, 625 Veränderung.
 — der weissen Ratte XXXVII, 347.
 Eihülle bei *Chalicodoma muraria*
 XXXV, 159.
 Eikern der Nematoden, Verhalten
 zum Samenkern bei Befruchtung
 XXXVI, 100.
 Eileiter, Mucingehalt bei Frosch
 und Kröte. XXXVI, 351, Drüsen-
 zelle 352.
 — der Amphibien, Drüsen XXXIV,
 123, Secretion 127, Drüsenzelle,
 Colloidkugeln, Oeffnung 125,
 Flimmerzelle, Becherzelle 126, Aus-
 wandern rother Blutkörperchen 129.
 — bei *Ascaris megaloccephala* XXXVI,
 56.
 — bei *Gordius tolosanus* Duj. XXXIV,
 265.
 Eintagsfliege — *Ephemera*.
 Eisvogel — *Alcedo*.
 Eledonemoschata, Rindensubstanz
 der Muskelfasern.
 — —, Bau der hinteren Speichel-
 drüse XXXIX, 596.
 Elemente nervöse, der Retina des
 Menschen XXXVIII, 317.
 — sexuelle, des Spulwurmes vom
 Hund XXXIV, 396.
Emberiza citrinella, Spermato-
 zoen XXXII, 424, Geissel 426, Be-
 wegung 452.
 Embryonalschild bei *Petromyzon*
Planeri XXXV, 480.
 — bei *Torpedo ocellata* XXXIX, 63.
Emys caspica, Nervensystem des
 Herzens, Verlauf der Nerven XXXVI,
 499, Vertheilung der Nervenzellen
 501.
 Enchyträiden-Fauna, zur Kennt-
 niss der deutschen — XXXI, 483.
 Enddarm von *Argulus foliaceus*
 XXXIII, 25.
 Enddarm von *Chalicodoma muraria*,
 Anlage XXXV, 156.
 — von *Enternus inquilinus*, Wohn-
 ort für *Leidyonella cordubensis* n.
 g. n. sp. XXXVIII, 301.
 — von *Petromyzon Planeri* mit
 Dotterzelle XXXV, 483.
 — von *Proteus anguineus*, Drüsen
 XXXIV, 545.
 Endocardium racemosum L., hi-
 stologische Elemente XXXV, 366.
 Endigungen arterielle, der Milz,
 Beziehung zum Keimlager XXXVIII,
 373, Uebergang in Pulpa 374.
 Endkolben Krause'scher, in der
 männlichen Harnröhre XXXI, 29.
 — — in Cornea und Conjunctiva
 des Menschen XXXVII, 602.
 Endothel der Capillarscheiden der
 Leber der Säuger XXXVI, 211.
 — der Capillarscheiden der Milz
 XXXVIII, 405.
 — der Hornhaut bei Entzündung,
 über Kern- und Zelltheilungsvor-
 gänge XXXI, 426.
 — —, Regeneration XXXIII,
 153, Litteratur, Methode 155, bei
 Fröschen, *Membrana Descemetii* 159.
 — der Kapsel der Spinalganglien-
 zelle beim Pferd XXXI, 227.
 — der Venen der Milz XXXVIII,
 363.
 Engmaul — *Angiostomum*.
 Ente — *Anas*.
Enternus inquilinus als Wirth für
Leidyonella cordubensis XXXVIII,
 301.
 Entoderm, Beziehung zur Blutbil-
 dung XXXVI, 516, bei *Torpidonotus*
natrix 517, Entodermzellen 518 mit
 Kern, bei *Lacerta agilis* 523, Ento-
 dermzelle 524.
 — von *Anguis fragilis*, Verbindung
 mit Mesoderm XXXVI, 610.
 — von *Hydra fusca* XXXV, 351,
 Epithelzellen, Muskelzellen 352,
 Drüsenzelle 354, Sinneszelle 356,
 Nährzellen mit Nesselkapsel 387,
 subepitheliale Zelle, Ganglienzelle
 358, indifferente Zelle, Stützlamelle
 359.
 Entodermbildung bei *Cyclops*,
 Kerntheilungsvorgänge XXXIX, 556,
 569.
 Entodermkeim von *Chalicodoma*
muraria XXXV, 144.
 Entodermstrang des Schwanzes
 XXXIX, 457.

Entodermtasche, vordere bei *Petromyzon Planeri* XXXV, 497.

Entoplasma mit Vacuolen bei *Trichodina* sp. XXXIII, 405.

Ependym des Aquaeductus Sylvii der *Edentata* XXXV, 171.

Ephemera vulgata als Wirth für *Filaria Ephemeridarum* XXXIX, 326.

Epidermis, zur Anatomie und Physiologie XXXVII, 159, unbehaarte Haut, Drüsenleiste, Falten, Functionsfalten; der Lippe 162, Pars glabra 163, Pars villosa; der äusseren Geschlechtsorgane 164, Scrotum, Penis, Praeputium 165, Corona glandis, Geschlechtsorgan beim Weib 166; behaarte Haut 167, Hals, Brust, Bauch, Rücken 168, Extremitäten, Handrücken, Fussrücken 169, Finger, Kopfhaut 171, Gesicht 171, Augenlider, Nase 172; Spaltbarkeitsrichtung, Oberhautföderung 173.

—, Einwirkung von Aethylalkohol XXXIX, 345.

— eines Epithelioms, Protoplasma-faserung XXXIX, 145.

— bei Kröten und Salamandern XXXIV, 14, Schleimschicht, Zelle 14 mit Fortsätzen 15, Hornschicht, Zelle 16, Becherzelle 19, Kern, Bedeutung 22 und Neubildung 24, Häutungsschicht 17, Beziehung zum Ausführungsgang der Schleimdrüsen 49, Verhalten zum Ausführungsgang der Giftdrüsen 34.

— von *Lumbricus*, Zelle XXXIX, 104, Stützzelle, Schleimzelle, Sternzelle 105, 109, Beziehung zur Cuticula 108, Verlauf sensibler Nervenfasern 116.

— der Mammilla, Verhalten bei Regeneration XXXVII, 143, Beziehung zum Epithel der Ausführungsgänge 150, Verhalten der Kerntheilungsfiguren 148 bei der Entwicklung 135.

— der Schwanzspitze der Froschlaren, Regeneration XXXVII, 409, bei *Triton taeniatus* 412, Verhalten der Epithelzellen 413, indirekte Kerntheilung 417, bei *Triton cristatus*, *Siredon pisciformis* 417, Verhalten der Wanderzellen 421.

— bei *Trichodina* sp., Aufnahme von Lymphzellen XXXIII, 407.

Epiphysenknorpel, Schrumpfungserscheinungen XXXI, 315.

Epithel, Verhalten bei Entwicklung von Uterus und Vagina beim Menschen XXXVII, 645.

— des Ausführungsganges der Mammilla, Verhalten bei Regeneration XXXVII, 140, 149, Beziehung zu Epidermis 150, bei der Entwicklung 155.

— — — der Drüsen der Region olfactoria beim Menschen XXXVII, 645.

— — — der grösseren Drüsen des Menschen XL, 484, der Speicheldrüsen, der *Glandula sublingualis* 485, Cylinderzelle des *Ductus Bartholinianus* 486, der *Glandula submaxillaris*, Cylinderzelle des *Ductus Whartonianus* 487, der *Glandula parotis*, Cylinderzelle des *Ductus Stenonianus* 488, der Leber, Gallenblase, Cylinderzelle 489, *Ductus choledochus* 491, Cylinderzelle, *Pancreas* 492, *Ductus Wirsungianus*, Cylinderzelle 493, *Vas deferens* 494.

— — — der Micronephridien von *Megascolides australis* XL, 557.

— der Blase von *Salamandra*, mitotische Kerntheilung XXXIV, 437, durchlöcherter Kern 438, Zelltheilung 445.

— Bildungs-, des Müller'schen Ganges beim Menschen XXXIV, 343.

— der *Caruncula lacrimalis* des Menschen XXXVI, 304.

— des Centralkanales, Beziehung zu Gliazellen des Rückenmarks. XXXVIII, 277.

— von *Chalicodoma muraria*, Umwandlung aus Blastoderm XXXV, 142.

— der Chorda, Verhalten bei Regeneration XXXVII, 431.

— der Chorionzotten vom Hund, Beziehung zu Sinus laterales XXXIII, 433, Beziehung zu Blutkörperchen.

— der Cloake beim Menschen XXXIV, 276.

— — —, Beziehung zur Damm-bildung beim Menschen XI, 279.

— Coelom-, Beziehung zur Anlage der Urniere beim Menschen XXXVIII, 501.

— der Lieberkühn'schen Crypten im Dünndarm XXXI, 173.

— der *Ctenophora* XL, 157, bei *Beroë*, Drüsenzelle 159, 161 interstitielles Gewebe mit Kern 159 im Magen, verästelte Zellen 160, Drüsenzelle, Stadium der Entwicke-

- lung 161, Epithelborste der Wimperinne 164, säbelförmige Cilien im Mundrand des Magens, Verhalten zum Epithel 165, Flimmerring, Flimmerzelle 167, Giftzelle 168; bei Cestus, Drüsenzelle, interstitielles Gewebe, Körnchen, Fluorescenzzelle, Bedeutung 169, vacuolenhaltige Zelle, Epithel an der Spitze der Tastpapillen 171; bei Euehlora, Drüsenzellen 172 im Magen; bei Hormiphora, Drüsenzelle, Körnchenbildung 173, an den Ruderplättchen 175, in der Trichterebene 176; bei Callianira 176, Pigmentflecke mit glatter Epithelzelle in den Magenwülsten 177; bei Euehlora, Drüsenzelle 178.
- bei Beroe, Beziehung zu glatten Muskelfasern XL, 211, bei Cestus 218, 219.
- Cylinder- der Ausführungsgänge der Krause'schen Drüse der *Caruncula lacrimalis* des Menschen XXXVI, 303.
- des Darmes von *Ascaris mystax* XXXI, 293, Methode, Zelle, Membrana propria 295, Fortsätze 296, Kern 297, mit Kernkörperchen, Karyosoma 298.
- von *Bilharzia haematobia* XXXI, 209.
- der Bartholini'schen Drüsen des Menschen XXXIX, 39.
- der Cowper'schen Drüsen des Menschen, Umwandlung zu Schleimzellen XXXIX, 48.
- der Giftdrüsen bei Kröten und Salamandern XXXIV, 40.
- der Harder'schen Drüsen beim Chamaeleon XXXVI, 194.
- der schlauchförmigen Drüsen des Magendarmkanales, Beziehung zum Epithel der Schleimhaut XXXIII, 216.
- — — — —, Beziehung zum Oberflächenepithel der Schleimhaut XL, 325.
- Drüsen- der Urniere bei *Crocodilus bitorquatus* XXXVI, 424.
- des Uterus vom Hund, XXXIII, 422.
- des Drüsenschlauches der Speicheldrüsen, Zelle XXXIX, 599, Lumen 601.
- des Dünndarmes, Verhalten zur *Muscularis mucosae* XXXI, 20.
- — — — —, secernierende Zellen XXXI, 113, Objecte, Methode 113, Metachromasie 114, Safranin, Becherzellen bei Maus 121 und Triton, Einflüsse der Ernährung 122, Theka mit Secret 123, Protoplasma mit Kern 124, Vergleich mit Cylinderzellen 126, Inhalt der Theka 127 bei Maus, Triton 128, Mensch, Hund 129, Gerüst 130, Uebergang aus Epithelzelle bei Maus und Triton 132, schmale Zelle, Bedeutung 133, Bourrelet, Streifung 138 bei Triton und Maus 140, Protoplasma der Epithelzellen, Wanderzelle im Epithel 142 bei Maus und Triton, Epithel, Verbindung mit Stroma 144, Fehlen der Grenzmembran 145, Literatur und Vergleich 146, Lieberkühn'sche Crypten, Epithel 173 bei Maus, Vergleich mit Zottenepithel 175, Körnchenzelle 177, Einfluss von Reagentien 178, Bedeutung der Körnchen 180, Kern 181, Ursprung und Schicksal 182 beim Menschen 184.
- der Dünndarmzotten, Vergleich mit Lieberkühn'schen Crypten XXXI, 173.
- des Eies beim Menschen XXXI, 399.
- Flimmer-, der Crypta der *Regio olfactoria* beim Menschen XXXIX, 647.
- foetales, der weissen Ratte XXXVII, 345.
- Follikel-, des menschlichen Eies XXXI, 364, Entstehung 369.
- — — — —, Veränderung bei Atresie XXXVII, 222.
- der Grenzzone des Geruchsorgans beim Hund XXXIV, 388.
- des Geruchsorgans von Neunaugen in den Falten XXXVIII, 4.
- des Geschlechtsstranges beim Menschen, Entwicklung XXXVII, 634.
- des Giralde'schen Organs, Neubildung XXXIII, 457.
- der Harnblase XXXV, 389, Literatur 389, Methode 391, Epithelzelle der oberen Schicht 392, Canäle 394, Kern 393, körnige Klümpchen, Bedeutung 399, gigantische, vielkernige Epithelzelle 397, indirekte Theilung 398; Zellen der zweiten Schicht 400, Fortsätze 401 bei Nagern, Mäusen, Ratten 402, Zellen der III. und IV. Schicht 403.
- des Hodens der Maus, histologische Beschaffenheit XXXIV, 74.

- von Gordius tolosanus Duj. XXXIV, 262, Spindelzellen.
- Keim-, von Carcinus maenas, nucleoläre Kernteilung XXXIX, 22.
- des Magens von Proteus anguineus XXXIV, 535.
- des Mitteldarmes von Proteus anguineus XXXIV, 539.
- von Chalicodoma muraria XXXV, 144.
- der Mundhöhle von Proteus anguineus XXXIV, 518, Epithelzelle 518, Becherzelle 519, Wanderzelle mit Einschlüssen 523, 524.
- des Oesophagus von Proteus anguineus XXXIV, 532.
- der Pellucida des Auges von Pecten XXXIII, 391.
- Peritoneal-, des Menschen, Beziehung zur Entwicklung der Urniere XXXVI, 164.
- —, Beziehung zur Anlage der Nebenniere beim Huhn XXXVIII, 502, zur Anlage der Keimdrüse 506.
- Pflaster-, des Vestibulum vaginae beim Menschen XXXIX, 41.
- des Präputium des Menschen, Anlage XL, 271 mit Zelle.
- Riech-, Ausdehnung beim Menschen XXXIX, 633, Methode 634, Verhalten zu Nervus olfactorius 637.
- der Schalendrüsen von Bilharzia haematobia XXXI, 210.
- der Schleimhaut des Magendarmkanals, Beziehung zum Epithel der schlauchförmigen Drüsen. XXXIII, 216.
- — des Magendarmkanals, Beziehung zu den Drüsenzellen der Rectumdrüse beim Hund XL, 337.
- — des Magendarmkanals beim Triton XL, 357, der Kiemen und Fornices 360.
- — der Oberkieferhöhle XXXII, 227.
- — des Uterus beim Schaf, Beziehung zur Färbung XXXVI, 511.
- Schmelz-, Verhalten zum Knochenmark bei Kaninchen XXXVIII, 154.
- — der Edentata, inneres und äusseres XL, 140, 141, Veränderung 143.
- — äusseres beim Menschen XXXVIII, 458.
- Tentakel- der Ctenophora XL, 194, bei Callianira und Hormiphora 197, aus Greifzellen und interstitiellem Gewebe 198, Veränderung bei Hormiphora 202.
- der Urniere beim Menschen XXXIV, 273.
- der Urnierencanälchen beim Menschen XXXIV, 296.
- des Urnierenganges bei Crocodilus biporcatus XXXVI, 425.
- des Uterus von Salamandra atra, Bau, Wimperzelle und Leucocyten XXXVI, 473, rothe Blutzelle 474, als Sauerstoffträger 477.
- Wander-, des Dotterorgans bei Lacerta XL, 74.
- der Zahnpapille der Edentata XL, 139.
- der Zotten der Placenta XXXV, 34, 41.
- der Zungenpapille von Anguis fragilis XXXVIII, 182.
- Epithelborste der Wimperrinne bei Beroe XL, 164.
- Epithelialschicht der Haut vom Neunauge, kolbenförmige Zelle XXXVIII, 9.
- Epithelium, Protoplasmafasierung der Epidermis XXXIX, 145.
- Epithelreste am Opticus und auf der Retina XXXVIII, 24, 35, Litteratur, bei Forellenembryonen, Trutta fario 27, Borgmeister'scher Zapfen, bei Amphibien, Triton taeniatus 29, Borgmeister'scher Zapfen, bei Hühnerembryonen 30, Säugern 32, subpialer Lymphraum, bei Ammocoetes, Borgmeister'scher Zapfen 35.
- Epithelscheide bei Zahntwicklung von Mus musculus XXXVIII, 144, beim Menschen in der Jugend 145.
- Epithelschicht der Haut von Petromyzon fluviatilis XXXIV, 109, Epithelzelle mit Kern, Cuticula 110.
- Equus caballus, Spinalganglienzelle XXXI, 223, unipolarer Faserknäuel 225, 228, Ursprungsfasern 225, Grösse, Form und Färbung 226, Kapsel, Beziehung zur Henle'schen Scheide, Endothel 227, Verhalten der Ausläufer bei Zellen mit einfachen und zusammengesetzten Ausläufern 228.
- —, Papilla vallata, Schleimhaut mit Drüsenöffnungen XL, 12, Bindegewebe mit Ganglienzelle 13.
- —, Papilla foliata XL, 19.
- —, Drüsen des Zungengrundes, Ausführungsgänge XL, 22.
- —, Epithelzelle in den Tonsillen, XL, 23.

- —, Glandula carotica, Lage und Form XL, 295.
- —, Bau des Chromatins der sympathischen Ganglienzelle, Gehalt an Pigmentkörnchen XL, 380.
- Erdsänger — Sylvia.
- Erinaceus, Mucingehalt der Unterkieferdrüse XXXVI, 344.
- , Papilla foliata XL, 18.
- Ersatzleiste beim Menschen, Keim XXXVIII, 463.
- Erythroblasten im Knochenmark der Vögel XXXV, 430, 440, Färbung 454, Mitosis.
- der Milz, Existenz XXXVIII, 433.
- und Leucoblasten, Anordnung und Neubildung in den Blutzellen bildenden Organen XXXVIII, 524.
- , Beziehung zu fixen Zellen XXXVIII, 547, 549, Bau, Kern 552, Neubildung durch Mitose 553.
- , Neubildung XXXVIII, 575, Beziehung zu rothen Blutkörperchen 578, Hämoglobinbildung 588.
- Erythrocyten der Milz XXXVIII, 441, Granula 441, Bedeutung, Kern 443.
- Esox lucius, Spermatozoen, Plasma-saum XXXVI, 241, Axenfaden, fibrilläre Structur 242, Kopf 244.
- Eucharis, Epithel XL, 178, Drüsenzelle.
- Eucheta, Reductionstheilung XL, 113, 117.
- Euchlora, Epithel, Drüsenzelle XL, 172, im Magen 173.
- , zur Histologie XL, 184, Ruder-plättchen, Verbindungsfasern 186.
- Eule — Strix.
- Eurylaimus javanicus Horst, Farbe der Federn, Grünfärbung XXXV, 79.
- Excretionsschicht bei Distomum cylindraceum Zed. XXXVI, 178.
- Excretionsorgan der Cranioten, Vergleich mit den Selachiern XXXIII, 501, Urgeschichte 506.
- Excretionssystem der Selachier, Entwicklung und die Mesoderm-segmente des Rumpfes XXXIII, 461, Vergleich mit den übrigen Cranioten 501.
- Exoderm bei Petromyzon Planeri XXXV, 483.
- Extremitäten, Bau der Oberhaut XXXVII, 169.
- hintere der Maus, Beziehung der sensitiven Nerven zum Goll'schen Strang des Rückenmarkes XXXIII, 119.

Extremitätenleiste von Torpedo ocellata, Bildung XXXII, 388.

— von Torpedo ocellata XXXIX, 91.

Eyrostomus afer, Farbe der Federn, Blaurackentypus XXXV, 79.

Fadenwürmer — Nematodes.

Fascia dentata, Beziehung zur Lamina medullaris involuta des Cornu Ammonis XXXIX, 620, Hilus et Nucleus, Pyramidenzelle, polymorphe Nervenzelle mit Fortsätzen 621, spindelförmige Zellen 622, Neuroglia, Gliazelle 625.

Fascien, Bedeutung XXXII, 538.

— des Halses, Beziehung zur Fascie der Tube XXXII, 550.

— der Tube XXXII, 479, 537, Beziehung zur Halsfascie 550.

Fasciculus inferior s. ventralis des Rückenmarkes bei Anguis fragilis XXXVIII, 162.

Fasciolae cinereae des Hirnbalkens XXXVII, 12.

Fasern, contractile der Giftdrüse bei Kröte und Salamander XXXIV, 37, Beziehung zu Spindelzellen 38.

—, elastische des Schwellkörpers der Nasenschleimhaut des Menschen XXXIV, 22.

— des Hyalinknorpels XXXIV, 414, körnige Degeneration 416.

—, Sharpey'sche des Knochens beim Menschen, Verhalten bei Färbung XXXIX, 174.

—, varicöse des Rückenmarkes XXXVIII, 288, Bedeutung 291.

Faserschicht des Haarbalges XXXI, 36.

Fauna deutscher Enchyträiden XXXI, 483.

— Argentinien, mikroskopische XXXVIII, 1.

Federn der Vögel, über Farben XXXV, 68, Körnchengehalt des braunen Pigments und Beziehung zu Pigmentzellen beim Hühnchen, Gallinula chloropus, Scolopax major 70, Schirmzelle, Beziehung zur Blaufärbung 71, bei Cotinga cayana Geoffr. 72, Calyptomena viridis Raffl. 73, Pitta cyanoptera 73, 75, 77, Bedeutung des Luftgehaltes der Zellen 74, bei Hühnern 75, Platycercus Pennantii 76, Irenetypus 76 bei Irene malayensis Horst., Halcyon semicoerulea, Malurus supulus 77, Blaukehlchentypus 79, bei Parus

- coeruleus, *Sialis*, Eisvogeltypus bei Eisvogel, *Cotinga cayana* Geoffr., Blaurackentypus bei *Coracias garrula*, *Palaeornis haematodus* 78, *Eyrystomus afer*, Grünfärbung bei *Ampelis pompodora* L., *Eurylaemus javanicus* Horst. 79, *Somateria mollissima* 80, *Phasianus pictus* 80, 83, *Motacilla flava* 81, 82, *Calypotomena viridis* Raffl. *Tanagra lutea* 81, *Fringilla carduelis* 82, *Parus coeruleus* und *cyaneus*, *Oriolus regens* Gaimard, *Bombycilla* 83.
- Feldlerche — *Alauda arvensis*.
- Felis domestica*, Nervus hypoglossus, Commissurfasern in der Medulla oblongata XXXI, 62.
- — —, Lymphknötchen des Darmes XXXIII, 260, Rückbildung 263.
- — —, Giralde'sches Organ XXXIII, 445.
- — —, Hinterwurzeln des Rückenmarkes XXXIV, 173, Längsbündel 180, Zellen des Stratum gelatinosum 194.
- — —, Bau der Sinushaare XXXV, 58.
- — —, Isolation gefüllter Capillarscheiden der Leber XXXVI, 212, sternförmige Zelle 213, mit Kern 214.
- — —, Mucingehalt in der Schleimspeicheldrüse und Unterkieferdrüse XXXVI, 342.
- — —, Placenta, Entwicklung und Structur XXXVII, 357, Veränderungen der Uterusschleimhaut 358 und Verhalten der Chorionzotten, Anlagerung des Eies 359, Drüsenzelle, Veränderung 360, 363, erste Anlage 361, Verhalten der Chorionzotten 361, 366, Syncytium, Bildung 363, Bedeutung 370, Epithelzelle des Chorion mit Blutkörperchen 365, 366, 369, Uterinmilch, Wesen 367, Blut zwischen Chorion und Uterinschleimhaut 368, Gefäße des Uterus, Verhalten zur — 369.
- — —, Zellbrücken glatter Muskelfasern im Darm XXXVIII, 43.
- — —, Uterusmuskulatur XXXVIII, 72, Verbindungsfasern zwischen Ring- und Längsmuskeln.
- — —, Rückenmarksfaserung XXXVIII, 170.
- — —, Untersuchungen über die Milz XXXVIII, 345.
- — —, Capillarscheiden der Milz XXXVIII, 403.
- — —, Papilla foliata XL, 17, 19.
- — —, Glandula carotica, Lage und Form XL, 295, Zellbalken 314.
- — —, *pardus*, Papilla foliata XL, 17.
- — —, *tigris*, Substantia gelatinosa Rolandi, Entwicklung XXXI, 608.
- Fett, Beziehung zur Pigmentbildung XXXIV, 482.
- Fettbildung im lockeren Bindegewebe der weissen Ratte, Beziehung zu Leucocyten XXXII, 150.
- Fettgewebe, functionelle XXXII, 155 und physiologische Bedeutung 160.
- Fettkörper von *Argulus foliaceus*, Zelle XXXIII, 36.
- von *Mermis ingrescens* Duj. XL, 501.
- Fibrae propriae nervi hypoglossi beim Kalb XXXI, 60, Mensch 67.
- Fibrillen der Capillarscheide der Leber der Säuger XXXVI, 216.
- des hyalinen Knorpels beim Menschen, Beziehung zu Schrumpfungerscheinungen XXXI, 203.
- der Nervenfaserschicht der Retina des Menschen XL, 29.
- der Oberhaut des Menschen, Verhalten bei der Verhornung XXXIX, 593.
- bei *Petromyzon Planeri*, Anlage XXXV, 525.
- der Spiralfasern bei *Octopus* und *Sepia* XXXIX, 402.
- Fibrillenbildung aus Centrosomen der Spermatoocyten bei *Salamandra* XXXVII, 576.
- Fibrocartilago basilaris, Beziehung zum Skelett der Tube XXXII, 484.
- Filaria Ephemeridarum* XXXIX, 326.
- *Gammari n. sp.* XXXIX, 325, 326.
- Fimbria des Cornu Ammonis XXXIX, 613.
- Finger, Bau der Oberhaut XXXVII, 170.
- Fische — Pisces.
- Fischotter — *Lutra vulgaris*.
- Fissura transversalis des Darmes beim Menschen, Bedeutung XL, 283.
- Fledermaus — *Vespertilio*.
- Fleischfresser — Carnivora.
- Flexura coli hepatica, Anlage XL, 457.
- Fliege — Musca.

Fliegenschnäpper, grauer — *Muscicapa grisola*.

Flimmerring bei *Beroe* XL, 167.

Flimmerstreifen der Ruderplättchen der *Ctenophora* XL, 185.

Flohkrebs — *Gammarus pulex*.

— — *Amphipoda*.

Flosse des Seepferdchens, Bau des Muskels XXXVII, 682.

Flossensaum der Spermatozoen von *Salamandra* XXXIV, 61.

Flügelqualle — *Callianira*.

Flussbarsch — *Perca fluviatilis*.

Flusskrebs — *Astacus fluviatilis*.
Follikel des menschlichen Eies, Epithel XXXI, 364, Entstehung 369.

Follikelatresie, zur Kenntniss XXXVII, 192, Litteratur, Granulosa-Zellen 203, Veränderungen 206, Verhalten des Keimbläschens 205, 215, des Chromatins 205, des Eies 206, bei vorhandenem Richtungskörper 208, Dotter, Veränderung, Körnerbildung 206, Nagelzelle, Veränderung 212, Ei, hyaline Degeneration 213, Chromatolyse 216, Ablagerung von Fett 220, Epithel, Veränderung 222, Theka, Verhalten 223, Gefässneubildung 224.

Follikelkern bei *Astacus fluviatilis* XXXIX, 505.

Foramen Monroi beim Menschen, Anlage XXXVII, 311.

— ovale des Herzens vom Kaninchen XXXIII, 312.

Forelle — *Trutta fario*.

Forficula auricularia, Stinkdrüse XXXVI, 567, Epithel- und Drüsenzelle 568, 569, Vergleich mit Nesselzelle der Cnidarier 573.

Forficulidae, Stinkdrüse XXXVI, 565.

Formatio gelatinosa des Rückenmarkes der Maus XXXIII, 74.

— Rolandi des Rückenmarkes der Maus XXXIII, 76, Zelle 78.

Fortpflanzung, ungeschlechtliche bei *Eyrodactylus elegans* XXXIX, 335.

Fortpflanzungsorgane bei *Argulus foliaceus* XXXIII, 32.

Fortsätze der Ganglienzelle von *Hydra fusca* XXXV, 340.

— der Nervenzelle des Rückenmarkes XXXVIII, 281.

— der subepithelialen Nervenzelle der Körnerschicht der Retina des Menschen, äussere XXXVIII, 320, innere 321.

— äussere der grossen, sternförmigen Zelle der inneren Körnerschicht der Retina des Menschen XXXVIII, 325, der kleinen, sternförmigen Zelle 328, der bipolaren Zelle 332.

— innere der grossen, sternförmigen Zellen der inneren Körnerschicht der Retina beim Menschen XXXVIII, 326, der kleinen, sternförmigen Zelle 329, der bipolaren Zellen 332.

Fossa navicularis ant. beim Menschen XL, 276.

— scaphoidea, Beziehung zum Skelett der Tube XXXII, 484.

Fovea centralis der Retina des Menschen, Beziehung zur Nervenfaserschicht XL, 31.

Fragmentierung, amitotische, des Kerns mit nachfolgender Abschnürung der Zelle XXXVII, 714.

—, direkte der Leucocyten XXXVII, 274, Beziehung zu ringförmigen Kernen 285.

—, indirekte der Kerne der entzündeten Hornhaut XXXI, 475.

— in den lymphoiden Zellen der Milz der weissen Maus XXXI, 552.

— in der lymphatischen Randschicht der Salamandrinleber XXXVII, 375, im Blute von *Protopterus annectens* 389.

Frenulum beim Menschen, Anlage XL, 271.

Fringilla caelebs, Spermatozoen, Geissel XXXII, 408, Spiralsaum 410, Axenfaden 413, mit Endkörperchen und Elementarfibrille 417.

—, Spermatozoen, Kopf XXXII, 435, Bewegung 452.

— *Cannabina*, Spermatozoen XXXII, 422, Kopf 438.

— *cardualis*, Farbe der Federn, Graufärbung XXXV, 82.

Frosch — *Rana*.

— Kröten — *Pelobates fuscus*.

— Wasser- — *Rana esculenta*.

Froschlärven, Regeneration der Epidermis der Schwanzspitze XXXVII, 409.

—, Regeneration des Rückenmarkes XXXVII, 424.

Furchung bei *Petromyzon Planeri* XXXV, 469, 471.

Furchungskern bei *Anguis fragilis* XXXIX, 236, Theilung 239.

— bei *Petromyzon Planeri*, provisorischer, Bedeutung XXXII, 645, definitiver 447.

— von *Tropidonotus natrix*, Bildung XXXIX, 234, Theilung 235, 255, 259.

Furchungsprozess bei *Rana temporaria*, Störungen XXXIX, 356.

Fuss von *Hydra grisea*, Neubildung nach Trembley'schem Umstülpungsversuch XXXVII, 546.

— der Weinbergschnecke, Gehalt an Mucin XXXVI, 331.

Fussrücken, Bau der Oberhaut XXXVII, 169.

Gabelschwanz — Milvus.

Galeomma Turtoni, Blut XXXVII, 82.

Gallenblase, Epithel der Ausführungsgänge, Cylinderzelle XL, 489.

Gallencapillaren von *Proteus anguineus* XXXIV, 555.

—, Beziehung zu den Capillarscheiden der Leber der Säuger XXXVI, 221.

Gallengänge bei *Proteus anguineus* XXXIV, 555.

— der Leber, Verhalten bei Rückbildung XXXV, 100.

Gallerte der *Ctenophora*, Elemente XL, 203, bei *Beroë* 207, *Cestus* 218, *Callianira* 222, *Hormiphora* 223.

Gallertgewebe des Nabelstranges, Einfluss von Thionin XXXVI, 355.

Gallertröhren von *Proteus anguineus* XXXIV, 521.

Gallina, Atrophie der Fettzellen des Knochenmarkes der Tibia XXXIII, 249.

—, Farbe der Federn, Körnchengehalt des braunen Pigments und Beziehung zu Pigmentzellen XXXV, 70.

—, Bau des Knochenmarkes, Venencapillaren XXXV, 439.

—, Entwicklung der Ganglien XXXVII, 587, erste Anlage 588, Beziehung zu Epithelzellen 589, zu Mesodermzellen 590, Ganglien des Kopfes 592, Ganglion petrosum, jugulare und nodosum 594, Ganglion geniculi, Ganglion Gasseri 595, Ganglion ciliare 596, sympathische Ganglien 597.

—, Epithelreste am Nervus opticus

und auf der Retina beim Embryo XXXVIII, 29.

—, Entwicklung und Structur der Nebenniere XXXVIII, 499, erstes Auftreten 499, Beziehung zum Coelomepithel 501, zum Peritonealepithel 502, zum rudimentären, distalen Abschnitt der Pronephros 503, Bildung der Marksubstanz 507, Beziehung zum Sympathicus, den sympathischen Nervenzellen, zu embryonalen Ganglienzellen, Verwandtschaft mit Markzellen 511, Structur 512, Lage, Kapsel, Färbung durch Fetttropfen 513, Zelle der Hauptstränge 514, Kern 515, Zellvermehrung 515, Blasenzone 516, Zelle der Zwischenkörper 517, Markzelle, Ganglienzelle, Uebergangszelle 518.

Gallinacea, Spermatozoen XXXII, 439, 442.

Gallinula chloropus, Farbe der Federn, Körnchengehalt des braunen Pigments und Beziehung zu Pigmentzellen XXXV, 70.

Gallus domesticus, Spermatozoen, Axenfaden XXXII, 444, Kopf 449, Bewegung 455.

Gammarus pulex als Wirth für *Filaria gammari* XXXIX, 325, 326, für *Nematodum gammari* n. sp. 327, für *Mermis gammari* 329, für *Echinorhynchus polymorphus* Brem. 330, für *Distomum pulicis* 333, für *Cysticus* 336.

Gang, Müller'scher der Selachier, Umbildung aus Pronephrosgang XXXIII, 487.

— der Amnioten, Entstehung XXXIII, 502.

— beim Menschen, Entwicklung XXXIV, 274, 278, 333, Bildungsepithel 334.

— —, Anlage bei Crocodilen und Schildkröten XXXVI, 452, Literatur, bei *Crocodilus biporcatus*, *Ostium abdominale tubae* 456, bei *Chelonina midas* 458.

—, Entwicklung beim Menschen XXXVII, 627, Cylinderzelle.

— Wolff'scher beim Menschen XXXIV, 273, 277, 286, 346.

— — beim Menschen, Beziehung zur Entwicklung der Urniere XXXVI, 150, 154, Genese 157.

—, Entwicklung beim Menschen XXXVII, 638, Cylinderepithelzelle 639, Rückbildung 636, Ver-

- halten bei männlichen Individuen. 641.
- Ganglien, Entwicklung beim Hühnchen XXXVII, 587, erste Anlage, Beziehung zu Epithelzellen 589 und Mesodermalzelle 590.
- Augen-, von *Argulus foliaceus* XXXIII, 21,
- des Bauchmarkes von *Lumbricus* XXXIX, 121.
- des Bauchstranges von *Megascolides australis* XL, 553.
- von *Bythotrephes longimanus* XXXVIII, 118.
- von *Chalicodoma muraria*, Anlage XXXV, 149.
- Facialis- von *Petromyzon Planeri*, Entwicklung XXXV, 524.
- Hirn-, oberes bei *Argulus foliaceus* XXXIII, 9.
- Kopf- bei *Petromyzon Planeri*, Anlage XXXV, 487.
- — beim Hühnchen XXXVII, 592.
- Mandibel- bei *Sida cristallina* XXXVIII, 110.
- der Mucosa der Pars pendula urethrae XXXI, 30.
- des Nervus vagus bei *Petromyzon Planeri*, Entwicklung XXXV, 525, 545.
- Oberlippen- von *Sida cristallina* XXXVIII, 110.
- von *Petromyzon Planeri*, Anlage XXXV, 510.
- retroöophageale bei *Sida cristallina* XXXVIII, 110, 113.
- retropharyngeale bei *Bythotrephes longimanus* XXXVIII, 123.
- — von *Daphnia sima* XXXVIII, 114.
- — der *Leptodera hyalina* XXXVIII, 124.
- Seh- bei *Sida cristallina*, Punktsubstanz XXXVIII, 103.
- Spinal-, Regeneration XXXVII, 428.
- — bei *Anguis fragilis*, Beziehung zu Nervenwurzeln XXXVIII, 159.
- sympathische, Entwicklung beim Huhn XXXVII, 507.
- —, chromophobe und chromophile Zellen XL, 379.
- des Trigemini bei *Petromyzon Planeri*, Anlage XXXV, 519.
- Ganglienknotten der Haut von *Petromyzon fluviatilis* XXXIV, 117.
- Ganglienleiste bei *Petromyzon Planeri*, Anlage XXXV, 486.
- Ganglienwurzel des Trigemini von *Petromyzon Planeri* XXXV, 539.
- Ganglion ciliare, Entwicklung beim Hühnchen XXXVII, 596.
- epibranchiale von *Petromyzon Planeri* XXXV, 542.
- Gasseri, Entwicklung beim Huhn XXXVII, 595.
- geniculi, Entwicklung beim Huhn XXXVII, 595.
- jugulare, Entwicklung beim Huhn XXXVII, 594.
- nodosum, Entwicklung beim Huhn XXXV, 594.
- opticum, beim Menschen XXXVIII, 333, Zelle mit Protoplasmafortsätzen 334 und Axencylinderfortsatz 336.
- petrosus, Entwicklung beim Huhn XXXVII, 594.
- retinae beim Menschen XXXVIII, 322.
- Ganoidea, Bau der Spermatozoen XXXVI, 235.
- Gartenrothschwänzchen — *Rubicilla phaenicurus*.
- Gastropoda, Beziehung der Niere zu Conjugation und Sporenbildung der Gregarinen XXXVII, 124 Nierenzelle.
- Gasterosteus aculeatus* als Wirth für *Echinorrhynchus Proteus* XXXIX, 331, für *Gyrodactylus elegans* 336.
- Gastrula bei *Lacerta* im Beginn XL, 46, ausgebildet 56.
- Gastrulation bei *Petromyzon Planeri* XXXV, 479.
- bei *Torpedo ocellata* XXXIX, 57.
- , Beziehung zum Urmund XXXIX, 467, bei Knochenfischen 468.
- Gastrulationsprozess bei *Cyclops*, Beginn XXXIX, 566, Bedeutung 569, Beziehung zur Polzelle 570.
- bei *Rana temporaria*, Störungen mit mangelhaftem Verschluss des Urmundes XXXIX, 363.
- Gaumenaponeurose, Bedeutung XXXII, 524, Beziehung zum Tensor tympani 530, mittleres Blatt, Beziehung zur membranösen Tube 560, äusseres Blatt, Beziehung zum *Musculus buccinator* 580, inneres Blatt 554.
- Gebärmutter bei *Ascaris megalocephala* XXXVI, 56.
- Geburtshelferkröte — *Alytes obstetricans*.
- Gefäße, Regeneration XXXVII, 446.

- , Zusammenhang mit Gliazellen des Rückenmarks XXXVIII, 276.
- des lockeren Bindegewebes der weissen Ratte, Beziehung zu kugelförmigen Zellen XXXII, 129.
- Dotter- bei *Torpedo ocellata* XXXIX, 91.
- Malpighi'sche, Nebenkern bei *Dytiscus marginalis*, *Hydrophilus piceus*, *Salamandra* XXXIII, 182.
- der Insecten, direkte Kernteilung XXXIII, 145 bei *Dytiscus marginalis*, Form der Zellen, Nucleolus 146.
- bei *Chalicodoma muraria*, Anlage XXXV, 156.
- der Pronephros der Selachier XXXIII, 181.
- des Uterus, Verhalten zur Placenta XXXVII, 369.
- Gefässbildung an der Ossificationsgrenze und provisorische Verkalkung XXXII, 219.
- Gefässkörper, linsenförmiger im Auge der Cyprinoiden XL, 418, Vorkommen 419, Topographie, Gefässverlauf bei Karpfen, Schleie 420, Verhalten der Capillaren der Arteria hyaloidea 424, Sammelgefäss 425, Vergleich mit Chorioidealdrüsen 426, Wundernetzbildung 420, venöser Theil 429, Bedeutung 432.
- Gefässnetz im Parenchym des Knochenmarks der Vögel XXXV, 460.
- Gefässneubildung bei Follikelatresie XXXVII, 224.
- Gefässcheiden der Arterien und Venen der Milz XXXVIII, 350.
- Gefässschicht des Uterus beim Menschen, Entwicklung XXXVIII, 89.
- Gefässsystem der Acephalen, Bemerkungen über — XXXVII, 88, Wasseraufnahme.
- von *Phylline Hendorfii* XXXIII, 168.
- Gefässverlauf im linsenförmigen Körper des Auges bei Karpfen und Schleie XL, 420.
- Gehirn der Edentaten XXXV, 165, Grosshirn, vordere Commissur 165, bei *Xenopus gymnotus* 166, *Aqueductus Sylvii* 170, Ependym 171.
- des Menschen, Entwicklung des Balkens XXXVII, 289, Litteratur, Methode 304, Commissura mollis, Anlage 310, Foramen Monroi 311, Furchenbildung 312, Schlussplatte, Veränderung 315, erste Anlage des Balkens 317, Septum pellucidum, Höhle, Anlage 318.
- von *Mermis ingrescens* Duj. XL, 506.
- von *Petromyzon Planeri*, Entwicklung XXXV, 531, weisse Substanz 531, Mitose 533.
- von *Phylline Hendorfii* XXXIII, 168.
- von *Sida cristallina*, Markballen XXXVIII, 106.
- Gehörbläschen von *Petromyzon Planeri*, Anlage XXXV, 523, 542.
- Gehörknöchelchen, zur Entwicklungsgeschichte XL, 512, Meckel'scher Knorpel, Anlage 517, Reichert'scher Knorpel, Hammer, erste Anlage 518, Ambos, Steigbügel 519, Beziehung zum Meckel'schen Knorpel 520, zur Labyrinthkapsel 521, zum Reichert'schen Knorpel 523.
- Geissel der Spermatozoen der Vögel XXXII, 408, 439.
- der Spermatozoen bei Fischen, *Raja clavata* XXXVI, 233, Ganoidei, Stör 236, Teleostei, *Acerina cernua*, Perca, *Leuciscus* 239.
- der Spermatozoen bei *Pelobates fuscus* XXXVI, 254.
- der Spermatozoen der Amphibien XXXVI, 260, Nebenfaden bei *Triton helveticus* 261, undulierende Membran beim Salamander, Triton, Axolotl 263, Steuersaum, Kielsaum 264, feiner Bau 265.
- der Spermatozoen bei Reptilien, *Psammodromus*, *Anguis*, *Testudo*, *Lacerta* XXXVI, 274, Ophidiern, *Vipera*, *Coluber*, 276, *Vipera berus* 279.
- Gelenke des Unterkiefers, erste Anlage XXXII, 294, beim Schaf, weitere Entwicklung beim Embryo von $5\frac{1}{2}$ cm 302.
- Gelenkfortsatz des Unterkiefers, Auftreten der Knorpelkerne XXXII, 309, weitere Entwicklung 310, Verknöcherung 339.
- Genitalien, äussere beim Menschen, Anlage XXXIV, 375.
- Geruchsorgan des Hundes, zur Kenntniss XXXIV, 385, Methode, Verhalten der Nervenfasern zu Geruchszellen 386, Epithel der Grenzzone 388.
- des Menschen, feiner Bau XXXVI, 375, Litteratur, Methode 382, 386, Kern der Riech- und Stützzellen,

- verschiedenes Verhalten gegen chemisch-thermische Einflüsse und Farbstoffe 383, Riechzelle, Ersatzzelle 388, Drüse mit Drüsenzellen bei Neugeborenen 390, Erwachsenen 392, Pigmentzellen 390, Glockenzellen 392.
- des Neunauges, feinere Structur XXXI, 1, Methode, Lage, Zahl 2, Drüsen, Andeutung einer Theilung bei *Ammocoetes* 3, Epithel der Falten 4, Flimmerzelle 5, Bindegewebe Stützzellen, Cilien 6, becherförmige Zellen, Neuroepithelzelle 7, Verbindung mit Nervenfasern, Stäbchen 8, cylinderförmige Neuroepithelzelle 9, Drüsen, becherförmige Zelle 11, Kern, Bedeutung als Schleimdrüsen, Nervus et lobus olfactorius, Structur, bipolare Zellen im Verlauf 12, Lobus anterior, beerenförmige Zellen 13, Nervenfasern 14.
- von *Petromyzon Planeri*, Entwicklung XXXV, 536.
- Gerüstwerk der Milz XXXVIII, 349, grobes 349, feines 352.
- Geschlechtsanlage bei *Mermis crassa* XXXIV, 396.
- Geschlechtshöcker beim Menschen, Anlage XXXIV, 378.
- beim Menschen XL, 266.
- Geschlechtsöffnungen bei *Distomum cylindraceum* Zed. XXXVI, 180.
- Geschlechtsorgan bei *Distomum cylindraceum* Zed. XXXVI, 179.
- bei *Gordius tolosanus* Duj. XXXIV, 259, männlich 259, weiblich 260 bei Geschlechtsreife, Männchen 262, Weibchen 264.
- von *Gordius tolosanus* Duj., Verbindung mit Rückencanal XXXVII, 243.
- bei *Mesenchytraeus setosus* n. sp. XXXI, 497.
- bei *Pachydrilus sphagnetorum* Vejdovsky var. *glandulosus* XXXI, 492.
- bei *Stercutus niveus* n. sp. XXXI, 489.
- , äusseres, Bau der Oberhaut XXXVII, 164, beim Weib 166.
- Geschlechtsproducte bei *Ascaris megaloccephala*, Entwicklung XXXVI, 2.
- Geschlechtsstrang, Entwicklung beim Menschen, proximaler Abschnitt, Epithel XXXVII, 634 distales Ende, Epithelzelle 634.
- beim Menschen, erste Anlage XL, 267.
- Gesicht, Bau der Oberhaut XXXVII, 171.
- Gestell für Objectträger bei Serienschnitten XXXIII, 416.
- Gewebe, Imprägnationsmethode mit Methylenblau XXXIII, 440.
- , zur Regeneration XXXVII, 406.
- , Einwirkung von Aethylalkohol XXXIX, 343.
- , interstitielles der *Ctenophora*, Kern XL, 159 im Magen bei *Beroë* 159, *Cestus* 169.
- der Tentakel der *Ctenophora* XL, 198.
- mesenchymatisches der *Selachier*, Bildung XXXII, 378, bei *Torpedo ocellata* 382.
- reticuläres der Milz XXXVIII, 392.
- , Leucoblasten und Erythroblasten XXXVIII, 566.
- thierische, Nachweis von Mucin durch Färbemethode XXXVI, 310.
- Giftkörner der Giftdrüse von Kröte und Salamander XXXIV, 46.
- Glandulae — Drüsen.
- Glans, Anlage beim Menschen XL, 270, Verhalten bei weiblichen Embryonen, Schwellkörper, Anlage 273.
- Glashaut des Haares XXXI, 36, Schichtung, Verhalten zu Epithelzellen der Wurzelscheide 37, Kern 39.
- Glockenthierchen — Vorticella.
- Glomerulus bei Entwicklung des Urogenitalsystems vom Menschen XXXIV, 273, 289, Harncanälchen 270, 277.
- , Anlage beim Menschen XXXIV, 280.
- der Urniere beim Menschen XXXVI, 162.
- der Niere bei *Crocodilus bitorcatus*, Entwicklung aus Glomerulus der Vorniere XXXVI, 432, desgl. bei *Chelonia midas* 439.
- Glomerulus des *Pronephros* der *Selachier* XXXIII, 480.
- der Vorniere bei *Crocodilus bitorcatus* XXXVI, 421, Anlage 423, Veränderungen 430, Umbildung zu Glomerulus 432, Rückbildung 436; desgl. bei *Chelonia midas* 437.
- Gnathostoma, Sichel der —, Vergleich mit dem Teloblast bei *Petromyzon Planeri* XXXV, 469.
- Gobio fluviatilis als Wirth für

- Echinorrhynchus Proteus* XXXIX, 331.
- Goldammer — *Emberiza citrinella*.
 Goldfasan — *Phasianus pictus*.
Gordiacea XXXIX, 329.
Gordius subbifurcus von Siebold
 — *Gordius tolosanus* Duj.
 — *tolosanus* Duj., über Entwickelungsgeschichte und Anatomie XXXIV, 248, Anatomie der Larven, Cutis 253, Hypodermis 254, Muskel, Muskelzellen 256, Zellkörper, Leibeshöhle 257, Verdauungstractus, Zellen, Nervensystem 258, Bauchstrang bei Männchen und Weibchen, Geschlechtsorgane, männlich 260, weiblich, Eierstock, Uterus 260, Anatomie der geschlechtsreifen Thiere, Ocellen, Geschlechtsorgan, männlich, Hoden, Spindelzelleneptithel 262, Spermatogenese, Bildung der samenbildenden Zelle, Samenkörperchen 263, Geschlechtsorgan, Bildung 264, Ovarien 265, Eibildung, Eileiter.
- , Beobachtungen XXXVII, 239 in *Pterostichus niger*, weisse Larven 241, Rücken canal, Verbindung mit Geschlechtsorganen, Copulation 243, Embryo 244.
- in *Sialis lutaria* und *Cloëon dipterum* L. XXXIX, 329.
- Grallatores, Spermatozoen XXXII, 439.
- Granula der eosinophilen Zellen der Milz, Bedeutung als Hämoglobin XXXVIII, 438.
- der Erythroblasten der Milz XXXVIII, 443.
- Grasfrosch — *Rana temporaria*.
- Gregarinen, Conjugation und Sporenbildung XXXVII, 99, Litteratur, Untersuchungsmethode 131, bei *Lumbricus agricola* 105, *Monocystis magna* und *agilis*, Kern 106, Kernkörperchen 107, Bedeutung der Körner, Beziehung zur Conjugation 108, Richtungskörper, Bildung und Ausstossung 110, Sporogonien 112, Sporocyste, mitotische Theilung 113, Sporophor, Sporen 114, bei *Clepsidina Blattarum* 115, Cuticula 116, bei *Periplaneta orientalis*, Kern und Kernkörperchen 117, geflammte Kerne, Bedeutung 118, Sporen 121 in Epithelzellen 122, in der Schneckeniere 124, *Klossia*, Anfangsstadien, Kern in der Nierenzelle 124, 127, Kerntheilung 128, Sporogonien, Sporocysten 129, Sporophor, Sporen 130.
- Grimmia grimmia*, Gesichtsdüse XXXI, 527.
- *madagna*, Gesichtsdüse XXXI, 527.
- *mergens*, Gesichtsdüse XXXI, 527.
- *ocularis*, Gesichtsdüse XXXI, 526.
- Grosshirn der Edentata, vordere Commissur XXXV, 165.
- Growing cells der Maus, Veränderung XXXIV, 75.
- Gründling — *Gobio fluviatilis*.
- Grundsubstanz des Meckel'schen Knorpels im Unterkiefer XXXII, 296, Entstehung 296, Untergang 353, Verhalten der Gefässe 354.
- des Knorpels, zur Kenntniss XXXVII, 492.
- Gryllotalpa vulgaris* Latr., zur Kenntniss der Spermatogenese XL, 102, Methode, Ursamenzelle, Samennutterzelle, Samentrichterzelle, Samenfasern, Wortbedeutung, Idant und Ide, Bedeutung 105, Reductionstheilung, Wortbedeutung; I. Periode der Theilung der Ursamenzelle (Spermatogenie) 106, Verhalten des Chromatin 107, II. Periode der Ruhe und des Wachstums der Samennutterzelle 109, III. Periode der Reifung und der letzten Theilung, Verhalten der Chromosomen 110, Reductionstheilung 112, IV. Periode der Umwandlung der Spermatide in Spermatozoen 114, amitotische Theilung im Hoden, Zelle und Kern, Bedeutung 115.
- Gürtelthier — *Xennurus gym-murus*.
- Gyrodactylus elegans* von Nord XXXIX, 334, Mund, contractile Blase, ungeschlechtliche Fortpflanzung 336, in *Gasterosteus aculeatus* 336.
- H**aar und Haarbalg, Beiträge zur Histologie XXXI, 32, Litteratur 32, Methode 34, Haarbalg, Faserschichten, Glashaut 36, Schichtung, Papillen, Verhalten zu Epithelzellen der Wurzelscheide 37, Wurzeln 38, Kern der Glashaut, Vergleich mit Schleimdrüsen 39, äussere Haarwurzelscheide, Epithel 41, Verhalten zum Bulbus pili 42, Marksubstanz

- des Haares, Litteratur 43, Haarpapille, Basalzelle 45, Markzelle, Bedeutung 46, Rindensubstanz, Oberhäutchen, innere Wurzelscheide, Henle'sche Schicht 47, Bedeutung 48.
- , Neubildung nach Epilation XXXVI, 528, Vorbereitung, Mitose der Follikelzellen 533 (période pré-germinale), Bindegewebszelle 534, Anlage des Haarschaftes 535, der neuen Haarpapille 537, Verhalten des Bindegewebes zur alten Papille 537, 542, Entwicklung 538, Matrix 539, Henle'sche Schicht, Anlage 540, Körnerschicht 548, Zona lucida 544, äussere Wurzelscheide 541, innere Wurzelscheide 543, 549, Cuticula 543, Huxley'sche Schicht 544, Verhornung 545, Zona fusca 548, Pigmentkörner 549, Pigmentirung und Muskelbildung 551.
- , erste Anlage XL, 518, Beziehung zum Meckel'schen Knorpel 520.
- von *Halmaturus rufus* XXXI, 502.
- Haarbalg, Beitrag zur Histologie XXXI, 32, 36, Litteratur 32, Methode 34, Faserschicht, Glashaut 36, Papille 37.
- , Bau XXXI, 37, 45, Basalzelle 45, Markzelle, Bedeutung 46.
- Haarpapille, neue Anlage nach Epilation XXXVI, 537, Verhalten des Bindegewebes 537, 542.
- Haarschicht nach Epilation, Anlage XXXVI, 535, Entwicklung 538.
- Hackwürmer — *Acanthocephali*.
- Häher, Farbe der Federn, Beziehung der Schleimzelle zur Blaufärbung XXXV, 75.
- Häminkristalle des Blutes bei Mollusken, *Pectunculus* XXXVII, 46, bei *Pellina baltica* 81, *Pecten varius* 84.
- Hämoglobinbildung der Erythroblasten XXXVIII, 588, Beziehung zum Blutplasma 589.
- Häring — *Clupea harengus*.
- Halbaffen, Uterusmuskulatur XXXVIII, 78.
- Halbmonde, Gianucci'sche der Schleimzellen der Cowper'schen Drüsen des Menschen XXXIX, 48.
- Halcyon semicoerulea, Farbe der Federn, Irenetypus XXXV, 77.
- Halmaturus giganteus, Papilla foliata, Schleimhautfurchen XL, 18.
- rufus, rothes Hautsecret XXXI, 500, Haare 502, Drüsen 503.
- Hals, Bau der Oberhaut XXXVII, 168, 167.
- Hammel, Nasenknorpel, über pericelluläre und intracelluläre Ablagerungen XXXIV, 409.
- Hamster — *Cricetus*.
- Handrücken, Bau der Oberhaut XXXVII, 169.
- Harnblase, Epithel XXXV, 389, Litteratur, Methode.
- , Anlage bei *Crocodilus biporcatus* XXXVI, 449.
- , erste Anlage beim Menschen, Verhalten im intrauterinen Leben XXXVII, 644.
- Harnnähen, Anlage beim Menschen XXXIV, 276, 363, Entwicklung 365.
- Harnröhre, männliche, über das Vorkommen von Nerven-Endkörperchen XXXI, 22, Untersuchungsmethode 24, Nervenverlauf, Verbindungen verschiedener Nervenfasern 25, Lage der Körperchen 26, Anzahl, Form, Grösse, Verbindung mit Nerv 27, Verhalten der Henle'schen Scheide, Kapsel 28, Bedeutung als Krause'sche Endkolben 29, Nervenendigung, Ganglien in der Mucosa der Pars pendula urethrae 30.
- Hase — *Lepus*.
- Häutungsschicht der Epidermis bei Kröte und Salamander XXXIV, 17.
- Hauptausführungsgang der Speicheldrüse, intima, adventicia, muscularis XXXIX, 608, Epithelzelle 609.
- Haushahn — *Gallus domesticus*.
- Haut, Protoplasmafaserung der Cylinderzellen XXXIX, 145.
- von *Lumbricus*, Beziehung zu sensiblen Nervenfasern XXXIX, 127, Vergleich mit Vertebraten 128, 133.
- von Neunauge, kolbenförmige Zellen der Epithelschicht XXXVIII, 9.
- von *Petromyzon fluviatilis* XXXIV, 106, Methode 107, Basalmembran, Corium, Epithelschicht, Epithelzelle 109, mit Kern, Fortsatz, Cuticula, Ersatzzelle, Nervenzelle 110, Kolbenzelle, Bedeutung als Nervenelemente 112, Endothelzelle 114, Hautnerven mit Ganglienknoten 117, Körnerzelle 118, Bedeutung, Fortsätze 119, Hautgrübchen 120, Zelle, Bedeutung 122.

- behaarte, Bau der Oberhaut XXXVII, 167.
- unbehaarte, Verhalten der Oberhaut XXXVII, 162, Drüsenleiste, Falten, Functionsfalten.
- Hautgrübchen von *Petromyzon fluviatilis* XXXIV, 120, Zellen 122.
- Hautschicht bei *Distomum cylindraceum* Zed. XXXVI, 173.
- von *Mermis ingrescens* Duj. XL, 498.
- Hautsecrete, neue bei Säugern XXXI, 499, rothes bei *Halmaturus rufus* 500, Haare 502, Drüsen 503, bei *Cephalophus pygmaeus* 507, Lage der Drüse 511, beim Weibchen 513, tubulöse 515, Zellen 516, acinöse 517, Zellen, beim Männchen 518, tubulöse und acinöse 520, Drüsen bei *Nasotragus moschatus*, *Pediotragus tragulus*, *rufescens*, *Scopophorus scoparius*, *montanus* 527, *Calotragus melanotis*, *Neotragus hemiprichianus*, *Tetraceras quadricornis* 528, Bedeutung 532, Ursprung 538.
- Hecht — *Esox lucius*.
- Helioamoebae* XXXVIII, 12.
- Heliozoa* XXXVIII, 12.
- beschaltete XXXVIII, 16.
- Helix hortensis*, Nervenzelle, Borstenbesatz XXXVII, 126.
- *nemoralis*, Nervenzelle, Borstenbesatz XXXVII, 126.
- *pomatia*, Zelltheilung und Samenbildung XXXIII, 134.
- —, Mucingehalt des Fusses XXXVI, 331.
- —, Reductionstheilung XL, 118.
- Helminthenlarven, Beobachtungen XXXIX, 325.
- Herz, zur Lehre über das Nervensystem XXXVI, 483, Litteratur, Methode 486, Nerven beim Frosch, Bidder'scher Knoten 491, Nervenzelle, Remak'scher Knoten, Ludwig'scher Knoten 493, Beziehung zu Nerven 494, Structur, Form, Kern 495, Fortsätze 496, Richtung 498, Nervensystem bei *Emys caspica*, Verlauf der Nerven 499, Vertheilung der Nervenzellen, desgl. bei Eidechse, *Phrynocephalus helioscopus*, Tritonen, *Triton cristatus* 501.
- von *Argulus foliaceus* XXXIII, 29.
- des Menschen, körniges Pigment XXXIV, 463.
- der Säuger, zur Entwicklungsgeschichte XXXIII, 284, Material und Methode bei *Lepus cuniculus* 288, jüngster Embryo, äussere Form 291, Inneres 293, Ostium interventriculare 295, 319, Veränderung bei Eintritt der Nackenbeuge, *Canalis auricularis*, Auftreten 295, Veränderungen 320, Vorhofsack 296, Lungengekröse 294, 296, 313, *Sinus venosus* 297, 302, 304, 314; von Nackenbeuge bis Kopflänge von 6 Mill. 298, *Auriculae cordis*, Anlage 301, *Ductus Cuvieri* 303, 317, *Valvula venosa dextra et sinistra* 305, *Septum spurium* 306, 312, *Spatium interseptale s. intervalculare* 307, *Septum spurium* 306, 308, *Ostium atrioventriculare* 309, *Ostium secundum* 311, *Foramen ovale* 312, *Vena omphalomesenterica*, Beziehung zum Lebergewebe 315, *Vena hepatica* 316, *Trabeculae carneaе*, Entstehung 322, *Arteria pulmonalis* und *Aorta*, Bildung 324, definitive Ausbildung 325, *Septum spurium* 327, *Valvula Eustachii* 329 et *Thebesii* 329, 332, *Isthmus Vieusensii* 331, *Musculi pectinati*, Lungenvenen, Einmündung bei Nagern und Mensch 334, Ventrikel, definitive Ausbildung in den Arterien 336, *Conus arteriosus* 339, *Atrioventricularklappe* 340, beim Menschen 442, Litteratur und Kritik 344, *Valvula foraminis ovalis* bei *Ornithorhynchus*, *Echidna* 360, *Myrmeiophaga tridactyla* 361, Physiologie 365, foetaler Kreislauf 368.
- von *Torpedo ocellata*, I. Anlage XXXIX, 80.
- Herzkörper von *Stercutus niveus* n. sp. XXXI, 485.
- Herzmuschel — *Cardium edule*.
- Heteroscope salinus*, Reductionstheilung XL, 117.
- Heterophrys marina* XXXVIII, 15.
- Hilus fasciae dentatae Cornu Ammonis* XXXIX, 620.
- Hinterhorn des Rückenmarks der Maus, solitäre Nervenzellen XXXIII, 87.
- des Rückenmarks, Bau XXXIV, 182.
- Hinterstrang des Rückenmarks der Maus XXXIII, 111.
- Hinterwurzeln des Rückenmarkes

- der Maus XXXIII, 108, in der medialen 109 und lateralen Partie 110.
- des Rückenmarkes, Verlauf XXXIV, 157, Material, Litteratur 159, mediale Gruppe 163, 165, Einstrahlungszone 165, 166, mittlere Gruppe, laterale Gruppe 163, Burdach'sche Stränge, Verlauf 165, Eintheilung und Beziehung zu Gliasepten und Markscheidentwicklung 166, Zeit 172, Endigung in Vorderhörnern 168, Beziehung zu Clarke'schen Säulen 169 und deren Zellen 170, Beziehung zur vorderen Commissur 171, zur hinteren 172, bei Katze 173, Kaninchen, Meerschweinchen 174, Maus, Mensch, Längsbündel 175, Verlauf und Zusammensetzung 177, bei Katzen 180, Kaninchen und Meerschweinchen 181, Hinterhörner, Bau 182, hintere Commissur 184, bei Maus 185, Stützgewebe 189, Substantia gelatinosa, Zelle 191, bei Hund, Katze, Meerschweinchen 194, Maus 195.
- des Rückenmarkes bei *Anguis fragilis*, mediale und laterale Partie XXXVIII, 162.
- des Rückenmarkes bei *Tropidonotus natrix*, mediale, mittlere und laterale Partie XXXVIII, 164.
- des Rückenmarkes höherer Vertebraten, Beziehung zum Vorderstrang XXXVIII, 171.
- Hippocampus**, Flossenmuskel, Bau XXXII, 223, Methode 235, Muskelsäulchen 238, Kern 239, Querschnitte, Sarcoplasma, Anordnung und Vergleich mit Muskeln der Fliegen 239 und Crustaceen, *Maja squinado* 241, Vergleich mit den übrigen Muskeln 242, Längsschnitte 243, Untersuchung im polarisirten Licht 249, Litteratur 250.
- , Flossenmuskel, Bau XXXVII, 682.
- Hirn** bei *Petromyzon Planeri*, Anlage XXXV, 487, 491.
- Hirnbalken**, zur Entwicklung und feineren Anatomie XXXVII, 1, Litteratur, beim Schwein, Balkenbündel, Auftreten 6, Verhalten der subepithelialen Zellschicht 7, beim Menschen 9, Antheilnahme der Hemisphärenschichten an der Bildung 10, Pyramidenzellen, Vorkommen 11, *Fasciolae cinereae* 12, graue Substanz, Aenderung 11, bei Affe, Schwein, Kaninchen, untere Fläche 13, graue Substanz 14.
- , Entwicklung beim Menschen XXXVII, 289, erste Anlage 317.
- Hirundo**, Spermatozoen XXXII, 424.
- *rustica*, Spermatozoen XXXII, 424.
- Hoden**, Beiträge zur Histologie, Methode XXXIV, 58 bei *Salamandra*, Entwicklung des Mittelstückes und des Flossensaumes der Spermatozoen 61, Verhalten des Kernes, Nebenkörper, Bau und Bedeutung 62, Schwanzfaden, Bedeutung und Ursprung 66, Ursprung des Nebenkörpers 67, Maus, der Kern der v. Ebner'schen Spermatoblasten 69, Kernkörperchen, Bau 71, — der Maus, histologische Beschaffenheit der Drüsenepithelien, Spermato gonien, Bau und Bedeutung 74, Spermatoocyten, Bau und Bedeutung 75, Nebenkern 76, Theilungsmodus, Verhalten des Kernes 79, Heterotypie, Polkörperchen und achromatische Spindel, Bedeutung 78, Growing cells, Bau und Bedeutung, Veränderung 75, achromatische Spindel, Bedeutung 78, Spermatide oder Samenzelle mit Kern und Nebenkern 79, Spermato gonien, Bedeutung 80, Spermatide, Verwandlung in Spermatozoen, Verhalten des Nucleus und Nucleolus 81, Kopfkappe, Bildung, Spitzenknopf und Schwanzkappe 82, Verhalten des Nebenkernes 83, Beziehung zu Schwanzfaden 84, Schwanzscheide 86, Nebenkern in der Samenzelle des Salamanders und der Maus, Ursprung 87, Beziehung zum Kern, Vergleich mit Centrosom 88, Schicksal 89, von *Salamandra*, Process der Regeneration 89, Inhalt der Hodencanälchen, Primordial-eier, Follikelzelle, Nucleus und Nucleolus 91, indifferente Kernzelle, Bedeutung, polymorphe Kerne, Bedeutung 92, Bildung der Spermato gonien (Ursamenzelle) 95, Stellung der Spermatozoen in den Hodencanälchen, Degeneration 99, Verhalten des Kernes der Spermatoocyten 100.
- von *Argulus foliaceus* XXXIII, 36.
- von *Astacus fluviatilis*, Vorkommen von Eiern XXXIX, 506.
- von *Bilharzia haematobia* XXXI, 215.

— von *Distomum cylindraceum* Zed. XXXVI, 180.

— von *Gordius tolosanus* Duj. XXXIV, 262, Spindelzellenepithel 262.

— von *Gryllotalpa vulg.* Latr., amitotische Theilung XL, 115, Zelle und Kern, Bedeutung.

— von Lepidopteren, Samenbildung und Zelltheilung XXXIII, 192, Spermatoocyten, Theilung 193, Richtungsspindel, Theilung 194, Richtungskörperchen, Bildung 195, Centrosom, Lage 196, Nebenkern, Bedeutung 197, Veränderung der Spermatoocyten 198.

— der Maus, postfoetale Histiogenese bis zur Pubertät XXXIV, 429, Litteratur 431, Follikelzelle 432, Kern und Karyokinese, Spermatozoen 433, Veränderung bei Eintritt der Pubertät 434, 435, Sporenbildung 435, Auftreten der Spermatiden 436.

— beim Menschen, Anlage XXXIV, 329.

— — — — —, körniges Pigment XXXIV, 468.

— bei *Phylline Hendorffii* XXXIII, 170, Zellen, Mutter- und Tochterzelle.

Hodencanälchen vom Salamander, Inhalt XXXIV, 91, Stellung der Spermatozoen 99.

Hodenröhre bei *Ascaris megalocephala* XXXVI, 6, Keimzone 6, Inhalt, Rhachis 9, Rhachislamelle, Anordnung 11, Zellsäulen 11, Ursamenzelle, Verhalten der Kerne, Unterschied zwischen *Ascaris univalens* und *bivalens* 12, Hodenzwischenkörperchen, Wesen 14, 22, Wachstumszone 7, Inhalt, Samenmutterzelle, Kern 18, Veränderung 21, Reifezone 7, Inhalt, Vorstadien der I. Theilung der Samenmutterzelle bei *univalens*, Kern, Verhalten des Chromatins 23, Nucleolus 28, Polkörperchen 29, desgl. bei *A. bivalens*, Samenzelle, Kern, Chromatin 30, Nucleolus, Polkörperchen 33, Verlauf der I. Theilung bei *A. univalens*, Samenmutterzelle, Kern 37, Theilung 39, desgl. bei *A. bivalens*, Theilung der Samenmutterzelle 40, III. Theilung der Tochterzelle, Verhalten des Chromatins 43, der Polkörperchen 44.

Hodenzwischenkörperchen

bei *Ascaris megalocephala*, Wesen XXXVI, 14, 22.

Höhle, subgerminale des Dotterorgans, Zellenstränge bei Schlangen XL, 61, Schildkröten 62.

— — — im Dotterorgan von *Lacerta*, streifig geronnene Massen XL, 74. Höhlenente — *Tadona vulpanser*. Hornhaut — Cornea.

Hormiphora, Epithel, Drüsenzelle, Körnchen XL, 173, an den Ruderplättchen 175, in der Trichterebene 176.

—, Otolith mit Kern XL, 181, Epithelzelle der Wimperrinne 183.

—, zur Histologie XL, 184, Ruderplättchen, Verbindungsfasern 186, Basis der Tentakel 189, Axenstrang 196, Tentakel epithel 197, Veränderungen 202, Elemente der Gallerte, circuläre Muskeln 223.

Hornschicht der Epidermis von Kröte und Salamander, Zelle XXXIV, 16, Becherzelle 19, Kern, Bedeutung 22 und Neubildung 24.

Hühnervogel — Gallinacea.

Hufthiere, Uterusmuskulatur XXXVIII, 74.

Huhn — Gallina.

Hund — *Canis domesticus*.

—, fliegender — *Pteropus*.

Hundshai — *Scyllium canicula*.

Hyaline cellaria, als Wirth von *Mermis Hyalinae* XXXVII, 245.

Hydra, Umkehrungsversuche XXXVI, 627, intermediäre Zelle, Bedeutung 635, Regeneration 637.

— *fusca*, zur Histologie mit besonderer Berücksichtigung der Hydropolypen XXXV, 321, Methode 322, Ectoderm 325, Epithelzelle, Epithelmuskelzelle 326, Secretion, Kern 327, Deckzelle 328, Theilung 329, Cuticula 328, Secretzelle 330, Nesselzelle, Nesselkapsel, 332, Cnidozil 334, Muskel 335, Stützlamelle 336, Lagerung 337, subepitheliale Zelle, Ganglienzelle 339, Kern und Fortsatz 340, Beziehung zur Muskelzelle 341, Bildungsformen 349, Spermazelle 343, Bildungsform 350, indifferente Zelle und Umbildung 344, Nesselkapselbildungszelle 345, Entoderm 351, Epithelzelle, Nähr- und Muskelzelle 352, Drüsenzelle 354, Sinneszelle 356, Nährzelle mit Nesselkapsel 357, subepitheliale Zelle, Ganglienzelle 358, indifferente Zelle, Stützlamelle 359, Allgemeines 368,

- Beziehung zwischen Deck- und Nesselzelle 371, Sinneszelle des Ectoderm (?) 373.
- *grisea*, Mechanik des Trembley'schen Umstülpungsversuches XXXVII, 546, Mund- und Fussumbildung 546.
- Hydrophilus piceus*, Nebenkern in den Malpighi'schen Gefäßen XXXIII, 182.
- —, Reductionstheilung XL, 117.
- Hypodolypen*, zur Histologie XXXV, 321.
- Hymen*, erste Anlage beim Menschen XXXIX, 651.
- Hypodermis* von *Gordius tolosanus* Duj. XXXIV, 254.
- Hypomer* der *Selachier*, Bedeutung XXXIII, 464.
- Hypophysengang*, Beziehung zum *Recessus pharyngeus medius* XXXII, 193.
- Hystrix*, Mark als Glutinbildner XL, 320.
- *cristata*, *Papilla vallata* XI, 11, Verhalten des Ausführungsganges 16.
- I** *Idant*, Bedeutung für Spermatogenese XL, 105.
- Ide*, Bedeutung für Spermatogenese XL, 105.
- Idotea tricuspidata*, nucleoläre Kernhalbierung in der Mitteldrüse XXXIX, 22, Drüsenzelle mit Kern und Kernkörperchen 23.
- Igel* — *Erinaceus*.
- Ilitis* — *Lutra vulgaris*.
- Ilybius fuliginosus* mit Larve von *Distomum cylindraceum* Zed. XXXVI, 188.
- Imprägnationsmethode*, neue der Gewebe mit Methylenblau XXXIII, 440.
- Injection*, kalte mit chinesischer Tusche XXXI, 565.
- Injectionstechnik*, über XXXVIII, 411.
- Innenkolben* der Nervenendkörperchen in der Cornea und Conjunctiva des Menschen XXXVII, 607.
- Insecta*, Malpighi'sche Gefäße, directe Kerntheilung XXXIII, 145.
- , Mitteldarm, nucleoläre Kernhalbierung XXXIX, 21.
- Integument* von *Argulus foliaceus* XXXIII, 1, 3, Matrix, Zelle und Kern 5, Drüsen 7, Contractilität, Pigment 8.
- von *Argulus foliaceus*, Umbildung XXXIII, 41.
- von *Lumbricus* XXXIX, 103.
- Intercellularsubstanz* des Hyalinnorpels, Beziehung zu Knorpelzellen XXXIV, 421.
- Intima* der Speicheldrüsen XXXIX, 607, des Hauptausführungsganges 608.
- Inuus cynomolgus*, Harder'sche Drüsen XXXVI, 199.
- *nemestrinus*, Bau der Placenta, Gehalt an mütterlichem Blut in den intervillösen Räumen XXXV, 13, 49.
- Invaginate Eye*, Bedeutung XXXIII, 386.
- Irene malayensis*, Farbe der Federn, *Irenetypus* XXXV, 77.
- Isthmus Vieussenii* des Herzens beim Kaninchen XXXIII, 331.
- K**äfer — *Coleoptera*.
- Känguruh — *Halmaturus*.
- Riesen- — — *giganteus*.
- Kalb, *Nervus hypoglossus*, Ursprung und Verlauf in der *Medulla oblongata* XXXI, 56, Kern, Zelle, Wurzelfaser 57, Kranzfaser 58, accessorischer Kern 59, Verbindungsfasern (*fibrae propriae N. hypoglossi*), Commissurfasern der beiden Kerne 60.
- , Uterusmuskulatur, Verhalten der Tube XXXVIII, 75, subseröse Muskelschicht 76.
- , *Glandula carotica*, Lage und Form XL, 295.
- Kernmuschel — *Pecten*.
- Kaninchen — *Lepus cuniculus*.
- Kapsel der *Gland. carotica* beim Menschen XL, 298.
- der Milz XXXVIII, 349.
- der Nervenendkörperchen der männlichen Harnröhre XXXI, 28.
- der Spinalganglienzelle beim Pferd XXXI, 227, Endothel, Beziehung zur Henle'schen Scheide.
- der Urniere beim Huhn XXXVIII, 513.
- Malpighi'sche, Beziehung zu Urnierencanälchen beim Menschen XXXVI, 164.
- Karpfen — *Cyprinida*, *Cyprinus carpio*.

- Karpfenlaus — Argulus.
 Karunkeln der Schleimhaut des Uterus beim Schaf, Pigmentation 36, 510.
 Karyokinesis des Pronucleus von *Ascaris megaloccephala* bei Befruchtung XXXI, 582.
 — und ihre Beziehungen zu den Befruchtungsvorgängen XXXII, 1, 6, 60, Kerngerüst, Verhalten zur Regeneration 9, Kernkörperchen 10, Kernsaft 11, Kernhöhle 12, Theorie der Zelle 13, Chromosomen, Bedeutung, Kernspindel, Bedeutung 27, Polarstrahlungen, Sphères attractives 31, Kernsaft, Verhalten 34 amitotische Theilungen 38, Verhalten der lymphoiden Zellen 41, Beziehung zwischen direkter und indirekter Theilung 44, Zelltheilung 51, Richtungkörperchen, Bildung 70, Pronucleus, Bildung 78.
 — der Knorpelzellen an der Ossificationsgrenze XXXII, 217.
 — der Knochenbildungszelle bei Ossification des Unterkiefers XXXII, 298.
 — des Pronucleus der Eizellen des Spulwurmes vom Hund XXXIV, 404.
 — der Spermatogonien von *Astacus fluviatilis* XXXIX, 521.
 Karyomerit des Eies von *Petromyzon Planeri* XXXII, 648.
 Karyosom der Epithelzelle des Darmes von *Ascaris mystax* XXXI, 298.
 — der Eizelle des Spulwurmes vom Hund XXXIV, 399.
 Katze — *Felis domestica*.
 Katzenhai — *Scyllium catulus*.
 Kaulbarsch — *Acerrina cernua*.
 Kaulkopf — *Cottus gobio*.
 Keim der Ersatzzähne beim Menschen XXXVIII, 463.
 Keimbläschen des menschlichen Eies XXXI, 361, Kerngerüst, Kernkörperchen 362, bei Reife 406.
 — des Eies von *Aulostomum gulo* XXXII, 205, Veränderung der Membran 209.
 — des Eies von *Petromyzon Planeri* XXXII, 624.
 — bei *Ascaris marginata*, Veränderung bei Reifung XXXII, 673, Verhalten des Kernes 675.
 — Verhalten bei Follikelatresie des Chromatins XXXVII, 205, 215.
 Keimblatt, mittleres, Entstehung, Beziehung zur Urmundtheorie XXXIX, 429.
 Keimcentren der Milz, Verhalten der Capillaren XXXVIII, 391.
 Keimepithelwulst beim Menschen XXXIV, 279.
 Keimfleck des menschlichen Eies, Bewegungen XXXI, 407.
 — des Eies von *Aulostomum gulo* XXXIII, 205.
 Keimlager der Milz, Beziehung zu arteriellen Endigungen XXXVIII, 273, Malpighi'sche Körperchen 276, Bildung, Verhalten der Arterien, der Adventicia 384 und Pulpa 389, Capillaren der Keimcentren 391, des reticulären Gewebes 392, Saftlücken und Lymphgefäße 394, Vorkommen bei der Spitzmaus 396.
 Keimnetz bei Spermatogenese der Säuger XXXI, 253, 256.
 Keimplasmatheorie von Weismann XXXVI, 86.
 Keimscheibe bei *Anguis fragilis*, Bau XXXIX, 218, Dotter 219, Kern 221.
 — von *Lacerta viridis* XXXIX, 275.
 — von *Tropidonotus natrix*, Dotter XXXIX, 231, Gruben, Ursprung 267.
 Keimschlauch von *Distomum cylindraceum* Zed. XXXVI, 188.
 Keimstock bei *Distomum cylindraceum* Zed. XXXVI, 181.
 Keratin, ein Glutinbildner XL, 320.
 Kerbthiere — Insecta.
 Kern, Verhalten bei Befruchtung XXXII, 9, zu Reagentien 9.
 —, amitotische Fragmentierung mit nachfolgender Abschnürung der Zelle XXXVII, 7, 14.
 — accessorischer des Nervus hypoglossus beim Kalb XXXI, 59, Commissurfasern 60, beim Menschen 64.
 — des Accessorius vagus, Beziehung zum Kern des Nervus hypoglossus beim Menschen XXXI, 68.
 — farbiger Blutkörperchen bei Mollusken XXXVII, 49, *Arca tetragona* 50.
 — rother Blutkörperchen bei *Pectunculus glycimeris* XXXVII, 83.
 — — — bei Kaninchen XL, 542.
 — der grünen Drüse des Flusskrebsses XXXI, 98.
 — der Mucindrüsen der Speicheldrüsen XXXIX, 603.
 —, durchlöcherthe im Blasenepithel von *Salamandra* XXXIV, 438.

- der Erythroblasten XXXVIII, 532.
- der Erythrocyten der Milz XXXVIII, 443.
- geflammter bei *Periplaneta orientalis*, Bedeutung XXXVII, 118.
- des interstitiellen Gewebes der *Ctenophora*, Beroe XL, 159.
- der Glashaut des Haares XXXI, 39.
- der Gregarinen bei Conjugation und Sporenbildung bei *Monocystis magna* und *agilis* XXXVII, 106, Kernkörperchen 107, Beziehung zur Conjugation 108, bei *Periplaneta orientalis* 117, Klossia 127.
- der Keimscheibe bei *Anguis fragilis* XXXIX, 222.
- des Keimbläschens von *Ascaris marginata*, Veränderung bei Reifung XXXII, 675.
- der Keimscheibe von *Tropidonotus natrix* XXXIX, 237.
- von *Leidyonella cordubensis* XXXVIII, 211.
- der Leucoblasten, Verhalten gegen Platinchlorid XXXVIII, 555.
- der Leucocyten beim Salamander, mitotische Theilung XXXVII, 257.
- der Membrana Descemetii, Veränderung bei Theilung und Entzündung XXXI, 444, Chromatingerüst 445.
- der Membrana propria bei Spermatogenese der Säuger XXXI, 254.
- der Muskelfasern der Cephalopoden XXXIX, 293.
- der Muskelsäulen der Muskeln des Seepferdchens XXXII, 239.
- des Nervus hypoglossus in der Medulla oblongata beim Kalb XXXI, 57, Zelle 57, Commissurfasern 60.
- polymorphe im Hoden von Salamandra, Bedeutung XXXIV, 92.
- ringförmige der Leucocyten, Beziehung zur direkten Fragmentierung XXXVII, 277, 285.
- der peripheren Nerven, Veränderung bei Regeneration XXXVI, 591.
- der Otolithen der *Ctenophora* XL, 184. Beroe, Hormiphora, Callianira 181.
- , Theilung durch indirekte Fragmentierung in der lymphatischen Randschicht der Salamandrienleber XXXVII, 375, 381, Theilungsvorgang 388, Verhalten des Chromatins 387.
- des Rückenmarkes der Tritonen XXXIV, 150.
- der Schwann'schen Scheide, Verhalten bei Nervendegeneration beim Kaninchen XL, 409, Methode 412, Mitosis 414.
- der Spermatiden von *Alcyonella fungosa* XXXI, 336.
- — — — der Maus XXXIV, 79, 81.
- — — — von *Salamandra maculosa*, Verhalten XXXI, 79, Chromatin, Verhalten der Kernmembran 81, Mittelstück 83.
- der Spermatoblasten der Maus XXXIV, 69, Kernkörperchen 71.
- der Spermatocyten der Maus, Theilung XXXIV, 77, Verhalten bei Degeneration 100.
- — — — von *Salamandra* XXXVII, 571, *Proteus anguineus* 584.
- der Spermatozoen von *Salamandra* XXXIV, 62.
- von *Trichodina* sp. XXXIII, 404.
- der Ureier von *Ascaris megalocephala* XXXVI, 56.
- , vacuolärer in den Zellen der Mammilla bei der Entwicklung XXXVII, 156.
- amöboider Zellen im Blute der Mollusken XXXVII, 72 mit Kernhöhle 74, Beziehung zwischen Kern- und Zellmembran 75.
- der Becherzellen der Zungenpapillen von *Anguis fragilis* XXXVIII, 196.
- — — — der Zungenpapillen von *Pseudopus Pallasii*, Veränderungen bei intensiver Secretion XXXVIII, 226, Vacuolenbildung.
- — — — des Dünndarmepithels XXXI, 124.
- — — — der Hornschicht der Epidermis von Kröte und Salamander XXXIV, 19.
- der becherförmigen Zellen der Drüsen des Geruchsorgans bei Neunaugen XXXVIII, 12.
- rother Blutzellen bei *Salamandra maculata* bei Theilung XXXII, 605, Chromatin 606, loser und enger Knäuel 607, Sternfigur, Längsspaltung 608.
- Doppel- der Zellen der Mitteldarmdrüsen von *Carcinus maenas* XXXIX, 9.

- der Drüsenzellen der Drüsen des Magens von Alligator XXXIV, 9.
- — — der Mitteldarmdrüsen von *Idotea tricuspidata* XXXIX, 23.
- — — der Mitteldarmdrüsen der Amphipoda XXXIX, 25.
- — — der Nebententakel der Ctenophora XL, 201.
- der Eizelle des Spulwurmes vom Hund XXXIV, 398, Kernkörperchen.
- der Epithelzelle des Darmes von *Ascaris mystax* XXXI, 297 mit Kernkörperchen, Karyosom 298.
- — — des Darmes XXXIII, 259.
- — — der Giftdrüsen bei Kröte und Salamander XXXIV, 44.
- — — der Haut von *Petro-myzon fluviatilis* XXXIV, 110.
- — — der Schleimhaut des Rectum bei Kaninchen XXXIII, 218.
- — — der Harnblase XXXV, 393.
- — —, Mitosis und Protoplasmafaserung XXXIX, 148.
- der Epithelmuskelzellen von *Hydra fusca* XXXV, 327.
- der Fermentzellen der Mitteldarmdrüsen von *Carcinus maenas* XXXIX, 7.
- der fetthaltigen Zelle der Mitteldarmdrüsen von *Carcinus maenas* XXXIX, 17.
- der fixen Zellen der Blutzellenbildenden Organe XXXVIII, 538, 542.
- der Follikelzelle im Hoden der Maus XXXIV, 433.
- der Ganglienzellen von *Hydra fusca* XXXV, 340.
- der sympathischen Ganglienzellen, Veränderung je nach Ruhe oder Reizung XL, 388.
- der Zellen der Glandula carotica beim Menschen XL, 312.
- der Hodenzellen von *Paludina vivipara* und *Helix pomatia* XXXIII, 134, 142.
- — — von *Gryllotalpa vulg.* Labr., amitotische Theilung, Bedeutung XL, 115.
- der Zellen des Integumentes von *Argulus foliaceus* XXXIII, 5.
- der Körnchenzelle im Dünndarmepithel XXXI, 181.
- der Knochenbildungszellen des Unterkiefers XXXII, 338.
- der Knorpelzellen an der Ossificationsgrenze, Veränderungen XXXII, 218.
- der Leberzellen, Vermehrung bei Rückbildung XXXV, 95.
- der Lymphzellen des Kaninchens, Einfluss von Platinchlorid XXXVIII, 524.
- der Markzellen der Blutzellenbildenden Organe XXXVIII, 562.
- der Zellen der Membrana Descemetii beim Frosch, Verhalten bei Theilung XXXIII, 159.
- der Nervenzelle des Herzens beim Frosch XXXVI, 495.
- — — des Rückenmarkes XXXVIII, 281.
- der Zelle des Ovariums bei *Phylline Hendorffii* XXXIII, 172.
- der Pigmentzellen von Salamander, Theilung XXXV, 281.
- der Protoplasmazellen der Duodenaldrüsen bei der Maus XL, 348.
- der Riechzellen des Geruchsorganes beim Menschen XXXVI, 383, Verhalten gegen chemische und thermische Einflüsse und Farbstoffe.
- der Samennutterzellen der Hodenröhre bei *Ascaris megalocephala* XXXVI, 18, Veränderung 21, Vorstadien der I. Theilung bei A. univalens 23 und bivalens 30, Verhalten des Chromatins 23, 30, des Nucleolus 28, 33, des Polkörperchens 29, 33, Verhalten bei der I. Theilung 37, 39, bei bivalens 40.
- der Samenzellen von Salamander und Maus, Beziehung zum Nebenkern XXXIV, 88.
- der Schleimzellen der Schleimhaut des Magendarmcanales bei Triton, Mitosis XL, 365.
- der Sehzellen des Fächerauges von *Arca Noae* XXXIII, 382.
- der Sertolischen Zelle XXXI, 254.
- — —, Veränderungen XXXI, 272, bei Spermatogenese der Säuger.
- der sternförmigen Zellen der Capillarscheiden der Leber der Katze XXXVI, 214.
- der kleinen, sternförmigen Zellen der inneren Körnerschicht der Retina des Menschen XXXVIII, 328.
- der Stützzellen des Geruchsorganes des Menschen, Verhalten gegen chemische und thermische Einflüsse und Farbstoffe XXXVI, 383.

- der Zelle der Urniere beim Hühnchen XXXVIII, 515.
- der verästelten Zelle des Epithels von Beroe XL, 160.
- Kernform der Leucocyten XXXVII, 249.
- Kernfragmentierung bei Leucocyten XXXVII, 274.
- Kerngerüst des menschlichen Keimbläschens XXXI, 362 bei Reifung 406.
- bei Befruchtung XXXII, 6.
- Kernhalbierung, nucleoläre XXXIX, 1, in der Mitteldarmdrüse von *Carcinus maenas*, Fermentzelle, Kern, Secretblase, Verhalten 7, Zelle mit Doppelkern 9, mit Kern und Kernkörperchen 10, fetthaltige Zelle mit Kern und Kernkörperchen 17, im Keimnepithel, im Mitteldarm der Insekten 21, der Mitteldarmdrüse von *Idotea tricuspidata* 23, Drüsenzelle mit Kern und Kernkörperchen 23, Mitteldarmdrüse der Amphipoden, Drüsenzelle mit Kern 25.
- Kernhöhle, Beziehung zur Befruchtung XXXII, 12.
- der Kerne amöboider Zellen im Blute der Mollusken XXXVII, 74.
- Kernkörperchen des Kernes der Epithelzelle des Darmes von *Ascaris mystax* XXXI, 298.
- des menschlichen Keimbläschens XXXI, 362.
- , Verhalten bei der Befruchtung XXXII, 10.
- , über eine eigenthümliche Kolbenform XXXII, 474 (Nucleoli claviformes) in der Magenschleimhaut von *Salamandra maculata*.
- der Spermatoblasten der Maus XXXIV, 71.
- der Eizelle des Spulwurmes XXXIV, 398.
- der Follikelzelle im Hoden der Maus XXXIV, 433.
- der Gregarinen bei Conjugation und Sporenbildung bei *Monocystis magna* und *agilis* XXXVII, 107, Bedeutung 108, bei *Periplaneta orientalis* 117.
- der Zellen mit Doppelkern der Mitteldarmdrüse von *Carcinus maenas* XXXIX, 10.
- der fetthaltigen Zellen der Mitteldarmdrüse von *Carcinus maenas* XXXIX, 17.
- der Drüsenzellen der Mitteldarmdrüse von *Idotea tricuspidata* XXXIX, 23.
- Kernmembran der Spermatide von *Salamandra maculosa* XXXI, 81, Verhalten zum Mittelstück 83.
- der lymphoiden Zellen der Milz, Verhalten bei Theilung XXXI, 554, bei der weissen Maus.
- des Kernes amöboider Zellen im Blute der Mollusken, Beziehung zur Zellmembran XXXVII, 75.
- , Verhalten bei Zelltheilung XXXVII, 724 bei Spermatocyten von *Salamandra* 731, 739.
- Kernsaft, Verhalten bei Befruchtung XXXII, 11, 34.
- , Bedeutung bei Zelltheilung XXXVII, 733.
- Kernspindel, Bedeutung XXXII, 21.
- , zur Entstehung in Gewebszellen des Salamanders XXXVII, 715, 1. Anlage und Entwicklung 722, Spaltung der Chromosomen.
- Kernsprössung, Beziehung zur Entstehung des Nebenkernes im *Pancreas* XXXIII, 184, 189.
- Kerntheilung im Endothel der entzündeten Hornhaut XXXI, 426, atypische Kernteilung 429, Objecte, Methode 435, in der Membrana Descemetii 441, Veränderung des Kernes 444, Chromatingerüst 445, Phasen der Theilung 450.
- der Milz XXXI, 541, Methode 543, bei der weissen Maus 541.
- im lockeren Bindegewebe der weissen Ratte XXXII, 137.
- der Wanderzellen der Capillaren bei Salamanderlarven XXXV, 275.
- der Pigmentzellen von Salamander XXXV, 279, 281.
- der verästelten, intraepithelialen Pigmentzellen bei *Salamandra maculata* XXXVI, 404, 407, Verhalten des Pigmentes 408.
- bei *Klossia* XXXVII, 128.
- durch indirekte Fragmentierung in der lymphatischen Randschicht der Salamandrinenleber XXXVII, 375, Literatur, Ringform des Kernes 381, Theilungsvorgang 383, Verhalten des Chromatins 387, im Blute von *Pteropus annectens* 389.
- bei Furchung des Eies von *Aequorea Forskalea* XI, 248, pathologische — und Beziehung zur Eiform 249.
- amitotische im Blasenepithel des Salamanders XXXIV, 437.
- — XXXIX, 19.

- atypische in der entzündeten Hornhaut XXXI, 429, 456.
- direkte, Beziehung zur indirekten XXXII, 44.
- — in den Malpighi'schen Gefässen der Insecten XXXIII, 145 bei *Dytiscus marginalis*, Zelle, Form, Nucleolus 146.
- — amitotische bei Spermatogenese der Säuger XXXI, 262 bei Zellen der Wandschicht 264.
- indirekte, Beziehung zur direkten XXXII, 44.
- — in der Membrana Descemetii beim Frosch XXXIII, 161.
- — der Epithelzelle bei Regeneration der Epidermis der Schwanzspitzen der Froschlarven XXXVII, 417.
- —, amitotische bei Spermatogenese der Säuger XXXI, 258 in der Zelle der Wandschicht 258 und Henle'schen Zelle 259.
- mehrfache in der entzündeten Hornhaut XXXI, 458.
- mitotische bei Regeneration des Rückenmarkes bei Frosch und Tritonenlarven XXXVII, 427.
- — bei Regeneration der Muskelfasern XXXVII, 477.
- — XXXIX, 19.
- Kerntheilungsfiguren der Epidermis der Mammilla, Verhalten bei Regeneration XXXVII, 148.
- Kerntheilungsvorgang bei der Mesoderm- und Entodermbildung von *Cyclops* XXXIX, 556.
- Kiebitz — *Vanellus cristatus*.
- Kiefer von *Chalicodoma muraria*, Anlage XXXV, 149.
- Kieferanlage der Edentata XL, 138.
- Kieferfüsse bei *Argulus foliaceus* XXXIII, 43.
- Kieferwall beim Menschen, Anlage XXXVIII, 453.
- Kiemenspalte, Durchbruch bei *Torpedo ocellata* XXXIX, 91.
- Kiementasche von *Petromyzon Planeri*, Anlage XXXV, 514.
- Kittsubstanz der Capillarscheiden der Leber bei Säugern XXXVI, 216.
- glatter Muskelfasern XXXVIII, 43.
- Klettervogel — Scansores.
- Kloake und die drüsigen Adnexa bei einheimischen Tritonen, zur Topographie und Histologie XXXV, 172, Material und Methode 175, Kloakenspalt, äusserer 180 bei Weibchen und Männchen, Kloakenlippe 180, fadenförmige Papillen 182, Bedeutung 183, Kloakenkammer 187, Kloakenröhre 189, Kloakendrüse 179, 194, Lage, Mündung 195, Histologie 206, Bedeutung 207, Zelle 244.
- Klossia, Conjugation und Sporenbildung XXXVII, 127, Kern, Kerntheilung 128, Sporogonien, Sporocysten 129, Sporophor, Sporen 130.
- Knochen, chondroide, Bedeutung XXXII, 300.
- Knochenbildung, neoplastische bei Ossification des Unterkiefers. XXXII, 326.
- Knochenanälchen, Bildung XXXIX, 198.
- Knochencement bei Zahnentwicklung XXXVIII, 150, 153 beim Kaninchen, Verhalten des Schmelzepithels 154.
- Knochenfische — Teleostei.
- Knochenfortsatz des Unterkiefers, I. Anlage beim Frosch XXXII, 294.
- Knochengewebe des Menschen, über das Wachsthum und den normalen Bau XXXIX, 151, 197.
- Knochengrundsubstanz des Unterkiefers, Bildung XXXII, 338.
- Knochenlamelle, Verhalten zu Anilinfarben und salpetersaurem Silber XXXIX, 201.
- Knochenmark, Atrophie der Fettzellen XXXII, 247 in der Tibia des Huhnes 249, bei Säugern 252.
- der Vögel, Bau XXXV, 424, rothe Blutkörperchen, erste Entstehung 430, 440, Venencapillaren, Bedeutung als endovasculäres Organ 435, 462, Methode 437 beim Huhn, Verhalten zum Parenchym 439, Zellen mit Stäbchen in den Venencapillaren 444 mit Körnchen, kleine und grosse Leucocyten 445, Veränderungen nach Aderlass 446, Erweiterung der Venencapillaren, Verhalten des Parenchym, indirekte Theilung der Leucocyten 450, Mitosis der rothen Blutkörperchen 452, Erythroblasten, Färbung, Mitosis 454, Parenchym, Gefässnetz 460, Venencapillaren mit Leucocyten und rothen Blutkörperchen 461.
- , fixe Zellen XXXVIII, 545.
- , Markzellen XXXVIII, 563.
- der Taube, Spaltsystem XXXVIII, 568.
- des Kaninchens, eosinophile Zel-

- len XXXVIII, 613, Methode, Analogie mit Granulationen der Blutzellen des Krebses 617.
- Knochenmarkcanal** beim Menschen, Bildung XXXIX, 178, Resorption 184.
- Knochenrinde**, Appositions- und Resorptionserscheinungen XXXIX, 187.
- Knorpel** des Unterkiefers, Resorption bei Ossification XXXII, 328.
- , zur Kenntniss der Grundsubstanz und der Saftbahnen XXXVII, 492, Material und Methode, Literatur 497, Verhalten der Knorpelzellen 503.
- hyaliner, über pericelluläre und intercelluläre Ablagerungen XXXIV, 408, an dem Nasenknorpel des Hammels 409, Halbmonde, Bedeutung 413, intermediäre Zone 410, elastische Fasern 414, körnige Degeneration 416, Litteratur 417, Knorpelzellen, Betheiligung an der Bildung der Intercellularsubstanz 421, Körner, Bedeutung 416, 422.
- , Einfluss von Thionin XXXVI, 355.
- , intermediärer, Beziehung zum Längenwachstum des Knochens XXXIX, 178, 181.
- Meckel'scher des Unterkiefers beim Schaf, Anlage XXXII, 294, Grundsubstanz, Entstehung 296, Verhalten zur Knochenbildungszelle, Aufnahme der Kalksalze, Beziehung der Gefässe zu der Ossification 297, Karyokinese 298.
- , Anlage XL, 517, Beziehung zur Hammeranlage 520.
- osteoider, Bedeutung XXXII, 312.
- Reichert'scher, Anlage XL, 518, Beziehung zur Steigbügelanlage 523.
- Knorpelcanal**, Bildung und Bedeutung bei Ossification des Unterkiefers XXXII, 313.
- Knorpelgewebe**, hyalines des Menschen, über Schrumpfungerscheinungen und deren Beziehungen zu den Fibrillen XXXI, 303, makroskopische Veränderung 306, Alcohollstructur 310, Beziehung zur Knorpelhöhle 313, Verhalten am Rippenknorpel 315 und Epiphysenknorpel 317, Untersuchungsmethode 318, Saftcanälchen 324, Litteraturübersicht und Kritik 325.
- Knorpelhöhle**, Beziehung zu Schrumpfungerscheinungen des hyalinen Knorpels XXXI, 313.
- Knorpelkern** im Unterkiefer, erstes Auftreten im Gelenkfortsatz XXXII, 309, im Kronenfortsatz 315, weitere Entwicklung 318.
- Knorpelstab**, Regeneration XXXVII, 430, Beziehung zur Chorda 435.
- Knoten**, Bidder'scher des Herzens beim Frosch XXXVI, 491.
- Ludwig'scher des Herzens beim Frosch XXXVI, 493.
- Remak'scher des Herzens beim Frosch XXXVI, 493.
- Körnchen** der Becherzellen der Zungenpapillen von *Pseudopus Pallasii* XXXVIII, 205, Bedeutung 209.
- des interstitiellen Gewebes bei *Cestus* XL, 169, *Hormiphora* 173.
- safranophile der Eizelle des Spulwurmes beim Hund XXXIV, 402.
- Körner**, freie im lockeren Bindegewebe der weissen Ratte, Vorkommen XXXII, 136.
- des Hyalinknorpels, Bedeutung XXXIV, 416, 422.
- des *Pancreas* von *Proteus anguineus* XXXIV, 546.
- der Gregarinen, *Monocystis magna* und *agilis*, Bedeutung XXXVII, 108.
- der Muskelfasern von *Sepiola Rondaletii* XXXIX, 309.
- Körnerballen** von *Trichodina* sp. XXXIII, 409.
- Körnerschicht** des Vorderhirns der Amphibien XXXV, 383.
- des Haares nach Epilation XXXVI, 544.
- innere der Retina des Menschen XXXVIII, 322, grosse, sternförmige Zelle 324 mit äusserem Fortsatz 325, innerer Fortsatz und Axencylinder 326, kleine, sternförmige Zelle mit Kern, äusserer Fortsatz, Ganglion retinae beim Menschen 322, 328, innerer Fortsatz und Axencylinderfortsatz 329, bipolare Zelle mit äusserem 330 und innerem Fortsatz 331.
- Körper**, Wolff'scher beim Menschen, Entwicklung XXXIV, 273, 277, Epithel 279, 281.
- der Selachier, Umbildung aus *Pronephros*gang XXXIII, 487.
- Körperchen**, Malpighische des Giralde'schen Organs XXXIII, 455, Inhalt 457.

- — beim Menschen, Anlage XXXIV, 369.
- — bei Entwicklung der Urniere des Menschen XXXVI, 160, Beziehung zur Malpighi'schen Kapsel 164.
- — der Milz, Bildung XXXVIII, 376, Verhalten der Arterien 384, Pulpa 389.
- Kolben der Haut von *Petromyzon fluviatilis*, Bedeutung XXXIV, 112, Endothelzelle 114, Kolbenzelle 115.
- Kolbenhaar im Gegensatz zu Papillenhaar XXXV, 60.
- Kopf der Spermatozoen von *Salamandra maculosa*, Bildung XXXI, 78, Verhalten zu Safranin 85.
- — — der Vögel XXXII, 435, 448.
- — — bei Fischen, *Raja clavata* XXXVI, 230, Stör 235, *Perca*, *Acerrina*, Hecht, Karpfen, *Zoarces* 244, *Clupea harengus* 248.
- — — von *Pelobates fuscus* XXXVI, 253.
- — — der Amphibien, *Triton maculosus* XXXVI, 255, *Triton cristatus* 257, 258.
- — — der Reptilien XXXVI, 272, *Vipera berus*, *Anguis fragilis*.
- — — von *Tropidonotus matrix*, Beziehung zur Bildung des Spermakernes XXXIX, 254.
- — — von *Torpedo ocellata*, Anlage der Organe XXXIX, 91.
- Kopffüßer — *Cephalopoda*.
- Kopfhaut, Bau der Oberhaut XXXVII, 170.
- Kopfhöhle von *Anguis fragilis*, Vorderkopfsomiten XXXVI, 603, Litteratur, Methode 607, Hals 614.
- Kopporus bei *Mesenchytraeus setosus* nov. sp. XXXI, 495.
- Kopfscheibe von *Phylline Hendorffii* XXXIII, 163.
- Korallenthier — Polyp.
- Krähe, Saat- — *Corvus frugilegus*.
- Kranzfasern des Nervus hypoglossus beim Kalb XXXI, 58.
- Krebs — *Astacus fluviatilis*.
- Krebsflöhe — *Copepoda*.
- Kreislauf des Blutes von *Argulus foliaceus* XXXIII, 28.
- foetaler XXXIII, 368.
- Kreuzotter — *Vipera berus*.
- Kriechthiere — *Reptilia*.
- Kroncement, Verbindung mit Alveolen XXXVIII, 150.
- Kronenfortsatz des Unterkiefers, Anlage der Knorpelkerne XXXII 315, Verknöcherung 325.
- Kropf der Taube XXXIV, 235, Litteratur 236, Drüsen, Methode 238, zusammengesetzte, schlauchförmige Drüsen, Epithelzelle 239, Ausführungsgang, Topographie 240, Bedeutung 241, Kropfmilch, Bedeutung 246.
- Kropfmilch, Bedeutung bei der Taube XXXIV, 246.
- Kröte — *Bufo*.
- Krustenthier — *Crustacea*.
- Krypten der Schleimhaut des Uterus vom Hund XXXIII, 421.
- Krystallkegel der Seitenaugen von *Argulus foliaceus* XXXIII, 21.
- Küchenschabe — *Periplaneta orientalis*.
- Kukuk — *Cuculus canorus*.
- L**abyrinthblase, Entwicklung und Veränderung bei *Lepus cuniculus* XXXV, 269.
- Labyrinthgrube bei *Petromyzon Planeri* XXXV, 515.
- Labyrinthkapsel, Beziehung zur Anlage des Steigbügels XL, 521.
- Lacerta**, Spermatozoen, Geißel XXXVI, 274, Axenfaden 275.
- , Dotterorgan XL, 39 Dottersackentoblast, Entwicklung, Stufen; zweiblättriger Keim mit fortgehender Furchung 39, subgerminaler Spalt 40, Merocyten der Bodenschicht, fortgehende Furchung der Bodenschicht 42, Verhalten der Zellen 43, Verhalten des Ectoderm 45; beginnende Gastrula 46, Lecithoderm, proximaler Wulst, Zwischenzone 49, Randwulst, Verhalten der Zellen, der Dotterkörner 50, Merocyten, protoplasmaarme 51, protoplasmareiche, Protoplasma, peripherisches 52, 60, oberflächliches 53, 60; Randsaum 54; ausgebildete Gastrula 56, Lecithoderm unter dem Knopf an der unteren Wand des Urdarmes, Lecithodermwulst, proximaler 57, Zwischenzone, Randwulst 58, Randsaum, Merocyten in den mittleren Theilen der Bodenschicht 59, des Randes 60; Umwachsung des Dotters, fast vollendet 69, Zellen im Dotter, Bildung 71, Ursprung vom Lecithoderm 73; Dotterzellen in der oberflächlichen Schicht

- des Dotters, streifig geronnene Massen am Boden der subgerminalen Höhle, Wandepithel 74, Polster des distalen Poles, Dotter und Dotterzellen 75; der perilicethale Spalt und seine Umgebung 76, runde, dotterfreie Zellen, glatte Zellen 77; Kern der dotterfreien Zellen 78; Dotterzelle im ganzen Dotter 79, Dottersackepithel und Wandschicht am Dach der subgerminalen Höhle, im Bereich des perilicethalen Spaltes, distal, die innere Dottermasse und die Dotterzellen, proximal 80, äquatorial, central, distal 81, der perilicethale Spalt, proximal, distal, Dotterzellen 82, Herkunft 83, dotterfreie Zellen 82, Herkunft, Bedeutung und Beziehung zu Merocyten 84.
- *agilis*, Methylenblautinction der motorischen Nervenendigungen im Muskel XXXV, 317.
- —, Blutbildung aus dem Entoderm XXXVI, 523, Entodermzellen 524.
- — als Wirth für *Cysticus Lacertae* XXXIX, 342.
- *viridis*, Methylenblautinction der motorischen Nervenendigungen im Muskel XXXV, 317.
- —, Nebenspermakern, Schicksal XXXIX, 275 Keimscheibe.
- Lachmöve — *Larus ridibundus*.
- Lamina medullaris involuta des Cornu Ammonis, Beziehung zur Fascia dentata XXXIX, 620.
- Landnatter — *Coluber*.
- Lanius, Spermatozoen XXXII, 429, Bildung des Spiralsaumes 433, Kopf 438, Bewegung 452.
- *collurio*, Spermatozoen, Bewegung XXXII, 452. 455.
- Lanzettfisch — *Amphioxus*.
- Larida, Spermatozoen, Kopf XXXII, 448.
- Larus, Spermatozoen XXXII, 440, Kopf 448.
- *ridibundus*, Spermatozoen, Form XXXII, 451.
- Larve, weisse von *Gordius tolosanus* Duj. XXXVII, 241.
- Larynx von *Proteus anguineus* XXXIV, 561, Epithel 562, Muskel 563.
- Leber, Beziehung des Gewebes zu den Venae omphalomeserae. XXXIII, 315.
- , über Rückbildungsvorgänge XXXV, 87, der häutige Anhang bei Kaninchen und Ratte 88, 100 im Ligamentum suspensorium hepatis 89, Verhalten der Blutgefäßcapillaren, Veränderung der Leberzellen 94, Vermehrung der Kerne 95, Gallengänge, Verhalten 99, Leberzellenschläuche der Ratte, Bedeutung 100.
- , Bildung der Blutzellen in der embryonalen — XXXVIII, 576.
- , Epithel der Ausführungsgänge, Cylinderzellen XL, 489.
- von *Anguis fragilis*, als Wirth für *Angiostomum macrostomum* XXXIX, 462.
- des Menschen, körniges Pigment XXXIV, 462.
- von *Proteus anguineus* XXXIV, 548, Lymphsystem und Leberzellen 550, 555, Lymphzellen 551, Pigmentzelle 552, Gallencapillaren und Gallengänge 555.
- der Säugethiere, Lymphbahnen XXXVI, 203, Litteratur 205, Methode 208, Beziehung zu Lebervenen 209, Epithel der Capillarscheiden 211, Isolation der Capillarscheiden, gefüllt bei Katze 212, sternförmige Zelle 213 mit Kern bei Hund und Katze 214, Isolation leerer Capillarscheiden 216, fibrilläre Kittsubstanz, Sternzelle, Beziehung zum Leberstroma 217, Capillarscheiden, Nachweis an Schnitten beim Menschen 219, Beziehung zu Gallencapillaren 221.
- der Salamandrin, Kerntheilung durch indirekte Fragmentierung in der lymphatischen Randschicht XXXVII, 375, Litteratur, Ringform der Kerne 381, Theilungsvorgang 383, Verhalten des Chromatin 387.
- Leberstroma, Beziehung zu den Sternzellen der Capillarscheiden der Leber der Säuger XXXVI, 217.
- Leberzellenschläuche bei der Ratte, Bedeutung XXXV, 100.
- Lecithoderm des Dotterorgans bei *Lacerta* bei beginnender Gastrula XL, 49, proximaler Wulst; — unter dem Knopf bei ausgebildeter Gastrula 57, an der unteren Wand des Urdarmes 58; — wulst, proximaler 57; Zwischenzone, Randwulst 58, Beziehung zur Bildung der Dotterzellen 73.
- Lecithodermwulst, proximaler des Dotterorgans bei *Lacerta* XL, 57.

Leibeshöhle von *Gordius tolosanus* Duj. XXXIV, 257.

Leidyonella cordubensis nov. gen. nov. sp. XXXVIII, 301 eine neue Trichonymphide im Enddarm von *Euternus inquilinus* 303, äussere Gestalt, Bewegungserscheinungen 304, Grösse, Wimperbusch 305, Hinterende, Schwanzanhang 306, Cuticula 307 mit Stäbchen 308, Plasma 309, Nahrungsaufnahme, Kern 311, Metamorphose 314.

Lemus rubrifrons, Uterusmuskulatur XXXVIII, 78.

Lepidoptera, Samenbildung und Zelltheilung im Hoden XXXIII, 192, Spermatoocyten, Theilung 193, Richtungsspindel, Theilung 194, Richtungskörperchen, Bedeutung 195, Centrosoma, Lage 196, Nebenkern, Bedeutung 197, Zymbblast, Centrosomen, Veränderung in den Spermatoocyten 198, Spermatogenese, Mitosen. Bedeutung 199, Spermatide, Lage und Bau, Centrosoma und Mitosen 200, Verhalten zwischen Kernraum und Spermatozom 201.

Leptodera hyalina, centrales Nervensystem XXXVIII, 124, Ganglion opticum 124, Punktsubstanz 125, grosse Ganglienzelle mit Vacuolen 126, Bauchmark 128.

Lepus, Papilla vallata, Lymphsinus, Lymphknoten XL, 13.

— cuniculus, Substantia gelatinosa Rolandi, Entwicklung XXXI, 594.

— —, Epithel der Rectumdrüse, Beziehung zum Epithel der Schleimhaut XXXIII, 217, Epithel der Oberfläche 217, Kern, amöboide Zelle 218, Epithelzelle der Drüsen in Mitosis 219, Schleimzelle, helle Zelle 220, Veränderung 223, Umwandlung zu Becherzellen 224, Beziehung zu Schleimzellen 229, Einfluss von Pilocarpin 230.

— —, Colondrüse, Beziehung des Epithels zum Epithel der Schleimhaut XXXIII, 233, Oberflächenepithel 234, Becherzelle, Epithelzelle der Drüse 235, Mitosis 236, chromophile (Schleim) 236, 240 und helle Zellen, Beziehung und Umwandlung 237, Vergleich mit Mastdarmdrüsen 238.

— —, Mastdarmdrüsen, Vergleich mit Colondrüsen XXXIII, 238.

— —, Lymphknötchen des Darmes XXXIII, 260, 261, Antheil der Leucocyten 260 im Blinddarm 266.

— —, zur Entwicklung des Herzens XXXIII, 285.

— —, Giralde'sches Organ XXXIII, 445.

— —, Lymphbahnen der Hornhaut XXXIII, 596.

— —, Hinterwurzeln des Rückenmarkes XXXIV, 174, Längsbündel 181.

— —, Bau der Sinushaare XXXV, 59, 60.

— —, zur Entwicklung der häutigen Bogengänge XXXV, 295, Methode, Labyrinthblase 296.

— —, häutiger Anhang der Leber XXXV, 88, 100.

— —, Harder'sche Drüse XXXVI, 196.

— —, graue Substanz des Hirnbalkens XXXVII, 13, Aenderung.

— —, Regeneration der Mammilla nebst Bemerkungen über ihre Entwicklung XXXVII, 139.

— —, Bau der Uterusmuskulatur XXXVIII, 52, 66.

— —, Knochencement der Zähne, Verhalten zum Schmelzepithel XXXVIII, 154.

— —, Rückenmarksfaserung XXXVIII, 170.

— —, Einfluss von Platinchlorid auf die Zellkerne in der Lymph XXXVIII, 524, weisse Blutkörperchen 593.

— —, Knochenmark, eosinophile Zellen XXXVIII, 613, Methode, Analogie mit Granulationen der Blutzelle des Krebses 617.

— —, zur Entwicklung der Zähne XXXIX, 532, Incisivus, Anlage 533, Rudimentärzähnen im Unterkiefer 534, Zahnleiste 535, Schmelzorgan 536, Zwischenkiefer 538, Zahnleiste im Oberkiefer 539, Epitheldrüse, Backenzahnanlage 542.

— —, Stratum granulosum des Cornu Ammonis, Nervenzellen XXXIX, 622, Axencylinder 623.

— —, Glandula carotica, Lage und Form XL, 295.

— —, Bau des Chromatins der sympathischen Ganglienzellen XL, 379.

— —, Kern der Schwann'schen Scheide, Verhalten bei Nervendegeneration XL, 409, 414.

- —, Kern rother Blutkörperchen XL, 542.
- Leuciscus*, Spermatozoen, Geißel XXXVI, 239, Axenfaden 243.
- Leucoblasten* der Milz XXXVIII, 433, indirekte Theilung 434.
- und Erythroblasten, Anordnung und Neubildung in den Blutzellenbildenden Organen XXXVIII, 524, Methode, Verhalten von Platinchlorid 524 in der Lymphe des Kaninchens 528, im Krebsblut und Tritonenmilz 529, Verhalten gegen Platinchlorid 555, amitotische Neubildung 557, Beziehung zu mehrkernigen Leucocyten 558, 559, Anordnung 566.
- Leucocyten* bei Spermatogenese der Säuger XXXI, 263.
- im lockeren Bindegewebe der weissen Ratte, Beziehung zur Fettbildung XXXII, 150.
- , Beziehung zu Lymphknötchen des Darmes bei Kaninchen XXXIII, 260, 264 im Blinddarm, Epithelzelle 266.
- der Lymphdrüsen des Hundes, Uebergang XXXIV, 219.
- der Venencapillaren des Knochenmarkes der Vögel, grosse und kleine XXXV, 445, 461, indirekte Theilung 460.
- im Epithel des Uterus von *Salamandra atra* XXXVI, 473.
- des Blutes von *Pectunculus glycymeris* XXXVII, 83.
- , Bemerkungen über den Formenwechsel XXXVII, 85.
- , Theilung, Kernformen und über Attractionssphären XXXVII, 249, mitotische Theilung 249 bei *Salamandra* 253, Kern 257, Beziehung zu Bindegewebszellen 261; über Attractionssphären und Centralkörper und ihr Verhalten bei Kernfragmentierung, direkte Fragmentierung 274, ringförmige Kerne 277, Beziehung zu Fragmentierung 285, Centralkörper 281, Amitose, Bedeutung 288.
- , Attractionssphären und Centralkörper XXXVII, 701, beim *Salamander* 709.
- der Milz XXXVIII, 432, Schicksal 436.
- mehrkernige XXXVIII, 558, Beziehung zu Leucoblasten 559.
- Ligamentum laterale pharyngis* XXXII, 552.
- *latum*, Beziehung zur Uterusmuskulatur der Maus XXXVIII, 65.
- *occipitopharyngeum*, Beziehung zum Recessus pharyngeus medius XXXII, 200.
- *salpingopalatinum* ant., post. et medium XXXII, 499, Beziehung zu Muskeln 502.
- *salpingopharyngeum*, Bedeutung XXXII, 497.
- *suspensorium hepatis* XXXV, 89.
- Ligurinus chloris*, Spermatozoen XXXII, 422, Kopf 438, Bewegung 452.
- Lima*, Klebzelle der Tentakel XXXIII, 399.
- *hians*, Blut XXXVII, 85.
- *inflata*, Blut XXXVII, 85.
- *squamosa*, Blut XXXVII, 85.
- Limax agrestis*, Zelltheilung und Samenbildung in der Zwitterdrüse XXXIII, 125, Methode 126, Nebenkern, Verhalten 127, Spermatogenese, Spermatide 131, Spitzenknopf, Beziehung zu Nebenkern 132.
- *cinereoniger*, Reductionstheilung XL, 117, 118.
- Limitans interna*, Verhalten zur Stützsubstanz des Rückenmarkes der Tritonen XXXIV, 140.
- Limnaea ovata*, Wirth von *Distomum cylindraceum* Zed. XXXVI, 188.
- , als Wirth für *Distomum echinatum* XXXIX, 134.
- *trunculata*, als Wirth für *Cercaria Limnaeae trunculatae* XXXIX, 331.
- Limnophilus rhombicus* als Wirth für *Distomum endolobum* Duj. XXXIX 332.
- Linse* des Auges von *Pecten* XXXIII, 392, Entwicklung 396.
- von *Petromyzon Planeri*, Entwicklung XXXV, 537.
- Lippe*, Bau der Oberhaut XXXVII, 162, Pars glabra 163 et Pars villosa 164.
- Lippenfurchenleiste* beim Menschen XXXVIII, 453.
- Lippenwall* beim Menschen, Anlage XXXVIII, 453.
- Liquor* des menschlichen Eies, Bildung XXXI, 382.
- Lithodomus dactylus*, Blut XXXVII, 84.
- Lobus olfactorius* von *Argulus foliaceus* XXXIII, 9.
- von Neunauge, Structur

- XXXVIII, 12, Lobus ant., beerenförmige Zelle 13, Nervenfasern 14.
- Lucinia spinifera*, Blut XXXVII, 82.
- Lumbricus*, sensible Nervenfasern, Ursprung, Verlauf und Endigung XXXIX, 102, Integument 103, Epidermis, Zelle 104, Stützzelle, Schleimzelle 105, 109, Beziehung zur Cuticula 108, Nervenzellen 105, 109, Formen 110, Fortsätze 111, Bedeutung 113, Nervenfortsatz 115, Nervenfasern, Verlauf in der Epidermis bis zum Bauchstrang 116, centraler Verlauf und Endigung 120, Theilung 122, Bauchmark, Bau 120, Ganglien, Neurochordcylinder 121, Nervenzellen 122, Beziehung der Nervenfasern zur Haut 127, Vergleich mit Wirbelthieren 128, 133.
- *agricola*, Beziehung zu Gregarinen bei Copulation und Sporenbildung XXXVII, 105.
- Lunge von *Proteus anguineus* XXXIV, 556, Epithelzellen 558.
- Lungengekröse von Kaninchen, zur Entwicklung XXXIII, 294, 296, 313.
- Lurche — Amphibia.
- Lutra vulgaris*, Epithelzelle in den Tonsillen XL, 23.
- —, Beziehung zwischen Papilla vallata und foliata und Drüsen des Zungengrundes XL, 26.
- —, Glandula carotica, Vorkommen XL, 287, 290, Lage und Form 295.
- Lympe, Verhalten in der Milz XXXVIII, 352, Ableitung durch Venen 356, Injection, Endothel 363.
- des Kaninchens, Einfluss von Platinchlorid auf den Zellkern XXXVIII, 524, Vorkommen weisser Blutkörperchen 593.
- Lymphbahnen der Cornea XXXII, 593, Litteratur, Material 595, Methode bei Mensch, Schwein, Kaninchen, Rind 596, Beziehung zu intercellulären Lücken und Epithelzellen 600.
- der Säugethierleber XXXVI, 203, Litteratur 205, Methode 208, Beziehung zu Lebervenen 209, Endothel der Capillarscheiden 211, Isolation gefüllter Capillarscheiden bei der Katze 212, sternförmige Zelle 213 mit Kern bei Hund und Katze 214, Isolation ungefüllter Scheiden, Fibrillen, Kittsubstanz, Sternzellen 216, Beziehung zu Leberstroma 217, Nachweis der Capillarscheiden an Schnitten beim Menschen 219, Beziehung zu Gallencapillaren 221.
- Lymphgefäße, Beziehung zu fixen Zellen XXXVIII, 544.
- der Milz XXXVIII, 394 bei der Spitzmaus 396.
- der Rachentonsillen, Verhalten XXXII, 210.
- Lymphknötchen des Darmes XXXIII, 255, Geschichtliches 255, Kritik 269, Epithel 258, Zelle mit Kern, Entwicklung 259 bei neugeborener Katze, Kaninchen von $2\frac{1}{2}$ Tag 260, von 5 Tagen 261, Antheil der Leucocyten, Rückbildung bei Erwachsenen, Katze, Durchwanderung 263, Verhalten der Leucocyten 264 und der Epithelzellen 265 im Blinddarm des Kaninchens, Leucocyten in Epithelzelle 266.
- der Papilla vallata beim Hasen XL, 13.
- Lymphraum, glatte Muskelfasern XXXVIII, 46.
- , subpialer der Retina der Säuger XXXVIII, 35.
- Lymphsinus der Papilla vallata beim Hasen XL, 13.
- Lymphsystem und Leberzellen, Beziehung bei *Proteus anguineus* XXXIV, 550, 555.
- Lyonsia corruscans*, Blut XXXVII, 79.
- M**acacus, Uterusmuskulatur XXXVIII, 79.
- Mactra helvacea*, Blut XXXVII, 81.
- *stultorum*, Blut XXXVII, 81.
- Magen, Zellen der Drüsen des — XXXIV, 225, Einfluss der Ehrlich-Biondi'schen Flüssigkeit auf Belegzellen, Hauptzelle, Pyloruszelle 226, Störh'sche Zelle 228, Nussbaum'sche Zelle 229, Belegzelle des Fundus, Vacuolenbildung 230.
- , Nervenendigung XL, 390.
- des Alligators, zur Histologie XXXIV, 1, Epithelzelle 1, Structur, Becherzelle 5, Vermehrung 10, Drüsen, Hals mit Epithelzelle 2, 7, Fundus 3, Drüsenzelle 3, 7, Tunica propria 4, Kern 9, Submucosa, Muskulatur 4, Wanderzelle 5.
- von *Argulus foliaceus* XXXIII, 24.

- von Beroe, Kern des interstitiellen Gewebes XL, 159, säbelförmige Cilien am Mundrand, Verhalten zu Epithelzelle 165.
- von Beroe, Beziehung zu Radiärmuskeln XL, 210.
- von Euchlora, Drüsenzelle XL, 173.
- von *Proteus anguineus* XXXIV, 534, Muskularis, Epithel 535, Becherzelle, Fundusdrüse 536, Schleim- und Belegzelle 537.
- von *Salamandra maculata*, kolbenförmige Kernkörperchen der Schleimhaut XXXII, 474.
- Magenmarkanal, schlauchförmige Drüsen und Beziehung des Epithels zu dem Oberflächenepithel der Schleimhaut XXXIII, 216.
- , schlauchförmige Drüsen und die Beziehungen des Epithels zum Oberflächenepithel der Schleimhaut XL, 325, Rectumdrüse der Maus, Protoplasmazellen 325, Protoplasma 326, Schleimzellen 327, Verhalten des Schleimes, Mitose der Drüsenzelle 328 beim Hund 329, Protoplasmazelle 331, Schleimzelle 322, Mitose der Drüsenzelle 334, Beziehung der Drüsenzelle zum Oberflächenepithel der Schleimhaut 337; Duodenaldrüse beim Hund 338, Protoplasmazelle 339, Schleimzelle, Kern 341, Mitose der Drüsenzelle 343 bei der grauen Maus 345, Protoplasmazelle, Kern, Protoplasma 348, Schleimzelle 349, Verhalten des Schleimes, Paneth'sche Zellen 350, Beziehung zu Schleimzellen 351; Verhalten der Schleimhaut bei Fehlen der Drüsen bei Triton 357, Epithel, Protoplasmazelle und Becherzelle 359, Epithel der Kämme und Fornices 360, Verhalten der Schleimzelle, des Schleimes 361, Mitosen der Kerne 365, Ersatzzelle 366 mit Bildung subepithelialer Sprossen, Beziehung zu Schleimzelle 368, Mitose 369.
- Magenwulst bei *Callianira*, Epithelzelle mit Pigmentfleck XL, 177.
- Maja squinado, Vergleich mit Muskeln des Seepferdchens XXXII, 241.
- Makako — *Inuus cynomolgus*.
- Malermuschel — *Unio pictorum*.
- Malurus supulus, Farbe der Federn, Irenetypus XXXV, 77.
- Mammalia, zur Kenntniss der Spinalganglienzelle XXXI, 223.
- , zur Spermatogenese XXXI, 236, Litteratur und Synonymik, Sertolische Zellen 240, Litteratur und Bedeutung, Zelle der Wandschicht 242, Henle'sche Zelle, Samenzelle Köllikers 243, Spermatoblast, Bedeutung, Beziehung zur Sertolischen Zelle 244, Material, Methode 246, Litteratur 250, vielkernige Cysten, Bedeutung 248, Keimnetze 253, 256, Theilungserscheinungen der Spermatoblasten 253, Kerne der Membrana propria und der Sertolischen Zellen 254, indirekte, mitotische Kerntheilungen an den Zellen der Wandschicht 258 und Henle'sche Zellen 259, direkte, amitotische 262, 264, Leucocyten 263, Spermatoblasten, körnige Ausscheidungen 266, Bildung 270, Sertolische Zelle, Fettaufnahme 268, Copulation mit Samenzelle 270, 279, Veränderungen des Kernes 272, Stoffwanderung 272, Bedeutung, Bildung der Schwanzfäden 276, Spermatozoid, Kopfbildung 278, Verlauf in Samencanälchen 282.
- , zur Spermatogenese, Nachtrag XXXI, 424.
- , über neue Hautsecrete XXXI, 499.
- , Atrophie der Fettzellen des Knochenmarkes XXXIII, 252.
- , zur Entwicklung des Herzens XXXIII, 284, 285.
- , Lymphbahnen der Leber XXXVI, 203, Litteratur 205, Methode 208, Beziehung zu Lebervenen, Endothel der Capillarscheiden 211, Isolation gefüllter Capillarscheiden 212, sternförmige Zelle 213 mit Kern 214, Isolation leerer Capillarscheiden, Fibrillen, Kittsubstanz, Sternzelle 216, Beziehung zu Leberstroma 217, Nachweis an Schnitten 219, Beziehung zu Gallencapillaren 221.
- , Epithelreste am Opticus und auf der Retina XXXVIII, 32, subpialer Lymphraum 35.
- , Glandula carotica, Lage und Form XL, 295.
- Mammilla, Regeneration nebst Bemerkungen über ihre Entwicklung XXXVII, 139 bei Kaninchen und Hund, Verhalten der Ausführungsgänge, der Epithelien 140, 149, der Epidermis 143, Kerntheilungsfiguren 148, Beziehung zum Epithel 150, Verhalten der Drüsenzelle 151 Ent-

- wickelung, Drüsenhals, Anlage 154, Beziehung zwischen Epidermis und Epithel der Ausführungsgänge 155, Zelle mit vacuolärem Kern 156.
- Mandelkrähe — *Coracias garrula*.
 Mark von *Hystrix*, Glutimbildner XL, 320.
 — des Haares nach Epilation XXXVI, 551.
- Markballen des Gehirns von *Sida cristallina* XXXVIII, 106.
- Markhöhle des Unterkiefers, Bildung XXXII, 326.
- Markscheide des Rückenmarks, Entwicklung und Faserverlauf bei der Maus XXXIII, 71.
 — des Rückenmarks, Entwicklung XXXIV, 166, 172, Beziehung zu Burdach'schen Strängen.
 — peripherer Nerven, Veränderungen bei Degeneration XXXVI, 590.
- Marks substanz des Haares XXXI, 43 Litteratur.
 — der Muskelfasern der Cephalopoden XXXIX, 307.
 — der Nebenniere beim Huhn, Bedeutung XXXVIII, 507.
- Mastigamoeba Schultzei XXXVIII, 11.
- Mastigophora Argentinensis XXXVIII, 5.
 — XXXVIII, 18.
- Matrix des Integumentes von *Argulus foliaceus* XXXIII, 3.
- Mauerbiene — *Chalicodoma muraria* Fabr.
- Maulwurfsgrille — *Gryllotalpa vulgaris*.
- Maus — *Mus musculus*.
- Mechanik des Trembley'schen Umstülpungsversuches der Polypen, Methode XXXVII, 513, 536 bei *Hydra grisea*, Mund- und Fussneubildung 546.
- Medulla oblongata, Ursprung und Verlauf des Nervus hypoglossus XXXI, 54 beim Kalb, Kern, Zelle, Wurzelfasern 57, Kranzfasern 58, accessorischer Kern 50, Verbindungsfasern (*Fibrae propriae hypoglossi*), Commissur der beiden Kerne 60, bei Katze, Taube, Ente 62, Commissurfasern beim Menschen 63, Beziehung zur Olive, accessorischer Kern 64, Kreuzung 66, *Fibrae propriae* 67, Beziehung zum Accessorius-Vagus kern.
- Medullarplatte von *Torpedo ocellata* XXXIX, 67, Weiterbildung 74.
- Medullarrohr, Verhalten bei Regeneration des Rückenmarkes bei Frosch- und Tritonenlarven XXXVII, 425.
 — von *Torpedo ocellata*, Schluss XXXIX, 80.
- Meerdattell — *Pholas dactylus*.
- Meerkatze — *Cercopithecus*.
- Meerschwein — *Phocaena communis*.
- Meerschweinchen — *Cavia cobaya*.
- Meerspinne — *Maja squinado*.
- Megascolides australis, Entwicklungsgeschichte des Nephridialapparates XL, 552, Bauchstrang mit Ganglien 553, Micronephridien, Entstehung, Zellen 554, Ausführungsgang 556, Epithel, Beziehung der Capillaren zum Excretionsprozess 557, Trichteranlage 558, Degeneration 559, Bedeutung 560.
- Meise, Blau- — *Parus coerules*.
 — Lasur- — *Parus cyaneus*.
- Meleagris gallopavo, Spermatozoen XXXII, 440, Axenfaden 443, Spitzenstück 451.
- Membrana Descemetii, Kern- und Zelltheilungsvorgänge bei Entzündung XXXI, 441, Veränderung des Kernes 444, Chromatingerüst 445, Phasen der Theilung, Knäuelstadium 450, Mutterstern 451, Umordnung, Tochterstern 452, Tochterknäuel 453.
 — beim Frosch, Regeneration des Endothels XXXIII, 159, Verhalten von Zelle und Kern, Beziehung zur indirekten Kernteilung.
 — des Eies von *Petromyzon Planeri*, Bildung nach Befruchtung XXXII, 635.
 — des Keimbläschens von *Aulostomum gulo* XXXIII, 209.
 — limitans der Nasenhöhle des Menschen XXXIX, 639.
 — praeformativa bei Zahnentwicklung von *Mus musculus* XXXVIII, 144.
 — propria bei Spermatogenese der Säuger, Kern XXXI, 254.
 — der Zellen des Darmepithels von *Ascaris mystax* XXXI, 295.
 — des Primärfollikels beim Menschen XXXI, 384.
 — der Giftdrüse bei Kröten und Salamandern XXXIV, 39.
- Mensch, Nervus hypoglossus in der Medulla oblongata XXXI, 63, Beziehung zur Olive, accessorischer

- Kern 64, Kreuzung 66, Fibrae propriae 67, Beziehung zum Vagus-Accessoriuskern 68.
- , secundäre Zellen des Dünndarm-epithels, Becherzelle, Inhalt der Theka XXXI, 129, Körnchenzelle, Ursprung und Schicksal 184.
- , über Schrumpfungerscheinungen des hyalinen Knorpelgewebes und deren Beziehung zu den Fibrillen XXXI, 303, macroscopische Veränderung 306, Alcoholstructur 310, Beziehung zur Knorpelhöhle 313, Verhalten am Rippenknorpel 315 und Epiphysenknorpel 317, Methode 318, Saltcanälchen 324, Litteratur und Kritik 325.
- , Bau des Eies XXXI, 342, Litteratur 343, Material und Methode 355, Primordialei 359, Keimbläschen, Protoplasma 361, Kerengerüst, Kernkörperchen 362, Primärfollikel 364, Entstehung 368, Wachstum 376, Membrana propria 384, Liquorbildung 382, Nährzelle 378, Follikel-epithel 364, Entstehung 369; Primordialei 359, Entstehung 366, Vermehrung 372, Wachstum 376, Deutoplasma 386, Ursprung 389, Aufnahme in das Ei 390, fertiges Ei, Bau 396, Eiepithel 399, Zona pellucida 400, perivittelinare Spaltraum 403, Dotter, Deutoplasma 405, Kernbläschen 406, Veränderungen im ruhenden Ei 409, Kerengerüst 406, Keimstock, Bewegung 407, Luteinzelle 409, Richtungskörper 410, Ovarien Neugeborener 412.
- , Lymphbahnen der Hornhaut XXXII, 596.
- , zur Entwicklung des Herzens, Einmündung der Lungenvenen XXXIII, 334, 342, Litteratur und Kritik.
- , Hinterwurzeln des Rückenmarkes XXXIV, 175.
- , Schwellkörper der Nasenschleimhaut XXXIV, 197, Regio respiratoria, Muskulatur 199, elastische Fasern 202, Venen 204, Circulation 205.
- , Entwicklung des Urogenitalsystems XXXIV, 269, Methode 271, Urniere 273, 277, 286, Rückbildung 209, Sexualtheil 294, Wolff'scher Körper 273, 277, Epithel 279, Litteratur 281, Glomeruli 273, 289, Querkänälehen 273, 277, Wolff'scher Gang 273, 277, 286, 346, Epithel der Urniere 273, Müller'scher Gang 274, 278, Entwicklung 333, Bildungsepithel 343, Keimdrüsenanlage 274, Stroma 275, Keimepithelzelle 274, 305, Plicae urogenitales 275, 279, Sinus urogenitalis 275, Allantoisgang, Epithel 276, Nierenanlage 276, 280, Glomerulusanlage 280, Nierenbecken, Harnkanälchen 276, Nierengang 277, 280, Sexualdrüsen 279, 328, weiblich 299, männlich 309, Trennung der Geschlechter 305, Keimepithelwulst 279, Urnierenleiste 286, Urnierenkanälchen 287, 290, Epithel 296, Nebenhoden, Anlage 294, Mesovarium, Anlage 295, Sexualzelle, weiblich 305, männlich 310, Zwischensubstanzzelle 312, 330, Samenkanälchen 321, Nebeneileiter 350, Hoden 329, Eierstock, Primordial-eier 330 und Ursamenzelle, Identität 331, Geschlechtszelle 344, Entwicklung der Niere 361, erste Anlage 361 des Nierenbeckens, der Harnkanälchen 363 und Entwicklung 365, Nierenkapsel 367, Malpighi'sche Körperchen 369, äussere Genitalien 375, Geschlechtshöcker, Anlage 378, Allantoisgang 381, Allantoisstiel 383.
- , zur Kenntniss des körnigen Pigmentes im Körper XXXIV, 452, Abhängigkeit der Pigmentation vom Alter, Methode bei Nieren 460, Leber 462, Herz 463, Nebenniere 465, Samenbläschen 466, Nebenhoden, Hoden 468, Bedeutung, ob physiologisch oder pathologisch 469, Ort der Bildung 470, Entstehung aus Fett oder Blutfarbstoff 482, Identität der einzelnen Pigmente 502.
- , Bau der Placenta XXXV, 1.
- , über die Entwicklung des Urogenitalsystems, Berichtigung XXXV, 104 von Prof. Jenošik.
- , desgl. Bemerkungen von Nagel XXXV, 107.
- , die Entwicklung der Urniere XXXVI, 138, Litteratur 145, Urnierenleiste, Wolff'scher Gang 150, Vena cardinalis 151, Urnierengänge 152, Sinus urogenitalis, Cloake 153, Nierengang, Wolff'scher Gang 154, Genese 157, Verhalten des Ectoderm zum Urnierengang 155, Urnierenkanälchen und Malpighi'sche Körperchen 160, Malpighische Kapsel, Beziehung zu Urnierenkanälchen 161, Glomerulus 162, Urnierenblastem oder intermediäre Zellmaschen 166,

- Bedeutung des Peritonealepithels 164, Lacunenbildung 168.
- , Capillarscheiden der Leber, Nachweis XXXVI, 219.
- , Caruncula lacrimalis XXXVI, 291, Litteratur, Krause'sche Drüse 301, Acinus, Wanderung, Epithelzelle 302, Cyliinderepithelzelle des Ausführungsganges, Vergleich mit Moll'scher Drüse 303, Epithel 304, Becherzellen 305, Bedeutung 307.
- , Mucingehalt der Speicheldrüsen XXXVI, 344, Form des Secretes 346, der Nasenschleimhaut 348.
- , Beiträge zur feineren normalen Anatomie des Geruchsorganes XXXVI, 375, Litteratur, Methode 382, 386, Kern der Riech- und Stützellen, verschiedenes Verhalten gegen chemische, thierische Einflüsse und Farbstoffe 383, Riechzelle, Ersatzzelle 388, Drüsen mit Drüsenzelle bei Neugeborenen 390, Pigmentzelle, bei Erwachsenen, Glockenzelle 392.
- , Entwicklung des Hirnbalkens, subepitheliale Zellschicht XXXVII, 1, 7, 9, zur feineren Anatomie, Antheilnahme der Hemisphärenschichten 10.
- , Entwicklung des Hirnbalkens XXXVII, 289, Litteratur, Methode 304, Commissura mollis, Anlage 310, Foramen Monroi 311, Furchenbildung 312, Schlussplatte 315, Veränderung 317, Septum pellucidum, Anlage 318.
- , Nervenendkörperchen in der Cornea und Conjunctiva bulbi XXXVII, 602, Nervenendknäuel 604, Gestalt, Grösse, Bewegung 605, Bau, Bindegewebskapsel 606, Innenkolben, Nervenendigung 607 in Endplättchen 613.
- , Entwicklung des Uterus und der Vagina XXXVII, 620, Litteratur, Müller'scher Gang, Cylinderzellen 627, Verbindung zum Sinus urogenitalis, Wolff'scher Gang 628, Cyliinderepithelzellen 629, Trigonum Lieutaudii, Gartner'scher Kanal 630, Geschlechtsstrang, proximaler Abschnitt, Epithel, distales Ende, Epithelzelle 634, Orificium vestibulare 635, Wolff'scher Gang, Rückbildung 630, Verhalten bei männlichen Individuen, Samenbläschen, erste Anlage 641, Prostata, erste Anlage 642, Harnblase, intrauterines Verhalten 644, Trennung von Uterus und Vagina, Verhalten des Epithels 645, hintere Muttermundslippe, Anlage 648, Cervicaldrüse, Anlage 649, Collum uteri, Unterschied vom Corpus 650, Vagina, Hymen, Anlage 651.
- , Uterusmuskulatur, Bau XXXVIII, 85, Entwicklung 86, Anlage der Muskelfasern 87, Gefässschicht 89.
- , zur Zahnentwicklung, Epithelscheide in der Jugend XXXVIII, 145.
- , nervöse Elemente der Retina XXXVIII, 317, Neuroepithelschicht (Schicht der Sehzellen), Stäbchen, Zapfen 319, subepitheliale Nervenzelle mit äusserem 320 und innerem Fortsatz 321, innere Körnerschicht 322, Ganglion retinae, grosse, sternförmige Zelle 324, mit äusserem 325, innerem Fortsatz und Axencylinderfortsatz 326 (terminales Nervenetz 325), kleine, sternförmige Zelle mit Kern, äusserem Fortsatz 328, innerem Fortsatz und Axencylinderfortsatz 329, bipolare Zelle mit äusserem 330 und innerem Fortsatz 332, Ganglion optici 333, Zelle mit Protoplasmafortsatz 334 und Axencylinderfortsatz 336, Spongioblastenschicht (mittlere, gangliöse Schicht) 337, grosse Nervenzelle 338 mit Nervenplexus, kleine Nervenzelle 339.
- , Capillarscheiden der Milz XXXVIII, 420.
- , Entwicklung der Zähne XXXVIII, 447, Material, Methode 448, Schmelzleiste und Zahnleiste 451, erste Anlage, Kieferwall und Lippenwall, Lippenfurchenleiste 453, Zahnpapille, Einstülpung 454, Zahnfurchen 455, Abschnüren der Milchzähne, Sternzelle, Schmelzpulpe 456, Verbindungsbrücken 457, Zahnfurchen, äusseres Schmelzepithel 458, Eindringen 459, Dentin 461, Ersatzzähne, Keim 463, Histogenese der Zähne, Bildungszelle 469, Zahnbein, Beziehung zur Schmelzmembran 471, Schmelz, Verhalten zur Sternzelle der Pulpa 472, Litteratur 474.
- , Entwicklungsgeschichte und feinere Anatomie des Bartholinischen und Cowper'schen Drüsen XXXIX, 33, Bartholin'sche Drüse, erste Anlage 36, Zelle 37, Anlage der Drüsencammern 38, Epithel, Schleimzellen 39, Vestibulum vaginae, Pflasterepithel 41, Beziehung

- zwischen Corpus cavernosum vestibuli und Muskulus bulbo cavernosus 42, Cowper'sche Drüse 46, Anlage 47, Umwandlung des Epithels zu Schleimzellen, Gianuccische Halbmonde 48, Ausführungsgang 51.
- , über das normale Wachsthum der Röhrenknochen, sowie einige Thatsachen betreffend den normalen Bau des Knochengewebes XXXIX, 151, 197, Methode 155, Verhalten des Havers'schen Systems bei Färbung 157, der Sharpey'schen Fasern 174, allgemeine Resultate 177, Dickenwachsthum durch Apposition von Seiten des Periost 178, 181, Längenwachsthum durch Apposition von Seiten des intermediären Knorpels 178, 181, Resorption der äusseren Knochenfläche 181, Sulcus intertubercularis, Bildung 183, Knochenmarkcanal, Bildung durch Resorption 178, 184, Knochenrinde, Appositions- und Resorptionserscheinungen 187, Haversian spaces und Havers'sches System, Verhalten 188, Resorption 193, Resorption des alten Knochens, Volkmann'sche Canäle, Verhalten 191, interstitielles Wachsthum 194, Bildung der Knochenkanälchen 198, Verhalten der Knochenlamelle zu Anilinfarbe und salpetersauren Salzen 201.
- , Studien über Verhornung der Oberhaut XXXIX, 581, Methode, Verhalten des Stratum lucidum et corneum 587, Einwirkung der Verdauung 588, Verhalten des Stratum corneum, Stratum lucidum 591, der Fibrillen, der Coriumpapillen 593.
- , zur mikroskopischen Anatomie der Nasenhöhle XXXIX, 632, Ausdehnung des typischen Riechepithels 633, Methode 634, Riechepithel, Verhalten zum Nervus olfactorius 637, Riechhäärchen 638, Membrana limitans 639, Glockenzelle 641, Endigung der Olfactoriusfibrillen in den Riechzellen, Schleimhaut der Regio olfactoria 643, Drüsen 644, Epithel des Ausführungsganges, Blase der Bowman'schen Drüsen 645, Drüsenepithelzelle 646, Crypten, als Drüsenöffnung mit Flimmerepithel 647, Pigmentirung der Bowman'schen Drüsen 648.
- , die nervösen Elemente der Retina, II. Mittheilung XI, 29, Nervenfaserschicht, Bau der Axencylinder aus Fibrillen und Axoplasma 29, Beziehung zur Fovea centralis 31, Methode 34, subepitheliale Nervenzelle, Verhalten 37.
- , zur Entwicklung der Urethra und des Dammes XL, 264, Geschlechtshöcker, Anlage 266, Geschlechtsstrang, erste Anlage 267, Cloake, Veränderungen des vorderen Theiles 268, des mittleren und hinteren Theiles 273, Anlage der Glans 270, Praeputium, Frenulum, Epithel mit Epithelperlen, Epithelzelle 271, Tyson'sche Drüse, Anlage 272, Schwellkörper der Glans, Anlage, Glans, Verhalten beim weiblichen Embryo 273, Fossa navicularis anterior 276, Dammbildung durch Epithelverdickung der Cloakenwandung 279, Fissura transversalis, Bedeutung 283, Bartholinische Drüse, Anlage 284.
- , Glandula carotica, Lage und Form XL, 295, Histologie 296, Kapsel 298, Blutgefässe und Nerven 299, 301, Capillarnetz 299, interstitielles Bindegewebe 298, Zunahme, Gefässneubildung 301, Drüsengewebe 302, Zellballen mit Zellen, Anordnung und Verhalten zu Capillaren 303, Bau der Zelle 306, reticulirtes Zwischengewebe 308 und Beziehung zu Zellen 309, 313, Kern 312, Zellgrenze 313.
- , Bau des Chromatins der sympathischen Ganglienzellen nach der Entwicklung XL, 380, Gehalt an gelbem Pigment 381, Zerfall mit dem Alter 384.
- , Einfluss der Entwicklung der Blutgefässe auf die Entwicklung von Darm, Darmgekröse und Pancreas, hemmend XL, 440, fördernd 447.
- , Epithel der Ausführungsgänge der grösseren Drüsen XL, 484, Speicheldrüsen 485, Glandula sublingualis 485, Ductus Bartholinianus, Cylinderepithelzelle 486; Glandula submaxillaris, Ductus Whartonianus, Cylinderzelle 487; Glandula Parotis, Ductus Stenonianus, Cylinderzelle 488, Leber, Gallenblase, Cylinderzelle 489, Ductus choledochus 491, Cylinderzelle 492, Pancreas 492, Ductus Wirsungianus, Cylinderzelle 493, Vas deferens 494.
- Mermis, Bemerkungen über — XXXIV, 390.
- contorta XXXIV, 391.

- *crassa* XXXIV, 392, Litteratur, Längswülste 393, Muskulatur, Nervensystem 394, Oesophagus, Zellkörper 395, Geschlechtsanlage 396.
- , Bau XXXVII, 244, Wirth von *Chironomus plumosus*.
- in *Chironomus plumosus* und *Chironomus leucopaga* Meig. XXXIX, 328.
- *Gammari n. sp.* in *Gammarus pulex* XXXIX, 329.
- *Hyalinae* in *Hyalina cellaria* XXXVII, 245.
- *ingrescens* Duj. XL, 498, Kopfeinde 499, Hautschicht, Oesophagus 500, Muskelfelder, Fettkörper 501, Tastorgan, Gehirn, Beziehung zwischen Nerv und Muskel 506, Ovarium, Uterus, Vagina, Eier 508.
- *Sialidis* in *Sialis lutaria* XXXIX, 329.
- Mermithen XXXIX, 328.
- Merocyten des Dotterorganes bei *Lacerta* an der Bodenschicht XL, 42; protoplasmaarme 51 und protoplasmareiche 52 in dem mittleren Theile der Bodenschicht 59; — des Randes 60, Beziehung zur Bildung der Dotterzellen 85.
- Mesenchytraeus setosus n. sp.* XXXI, 494, Borsten 494, Kopfporus 495, Schlundnervensystem 496, Geschlechtsorgan 497.
- Mesenterium gastroduodenale*, Ursprung XL, 462.
- Mesoderm* von *Anguis fragilis*, Verbindung mit Entoderm XXXVI, 610, Stiel 612, Veränderung 616.
- von *Petromyzon Planeri* XXXV, 500, Bildung der Segmentalplatte 500, dorsale Kantenzelle 513.
- von *Torpedo ocellata*, Entstehung XXXIX, 63, 65, Vergleich mit Vertebraten 75, Differentiation 76.
- Mesodermbildung* bei *Cyclops*, Kerntheilungsvorgänge XXXIX, 556.
- Mesodermbildungsrinne* von *Torpedo ocellata* XXXIX, 66, 69, Ausbildung 67.
- Mesodermsegmente* des Rumpfes der Selachier und die Entwicklung des Excretionssystems XXXIII, 461.
- Mesodermstreifen* bei *Cyclops* XXXIX, 569.
- Mesogastrium*, Ursprung XL, 462.
- Mesomer* der Selachier, Bedeutung XXXIII, 464.
- Mesonephros* der Selachier XXXIII, 458, Beziehung zur Abschnürung der Myotome 490, bei *Pristiurus* 491, Vergleich mit anderen Cranioten 504, mit *Pronephros* 505.
- Mesovarium*, Anlage beim Menschen XXXIV, 295.
- Messerscheide, gemeine — Solen vagina.
- Metakinesis, Bedeutung XXXII, 610.
- Metamorphose bei *Leidyonella cordubensis* XXXVIII, 314.
- Metanucleolus bei Furchung des Eies von *Aequorea Forskalea* XL, 251 und *Aurelia aurita* 255, Vergleich mit Paracopulationszelle der Daphniden 256.
- Methylenblautinction der motorischen Nervenendigungen in den Muskeln der Amphibien und Reptilien XXXV, 305, bei *Rana* 312, Beziehung der Nerven zu den Muskelspindeln oder Muskelknospen 316 bei Reptilien (*Lacerta agilis* und *viridis*) 317.
- Micronephridien von *Megascolides australis*, Entstehung XL, 554, Zelle 554, Ausführungsgänge 556, Epithel, Beziehung der Capillaren zum Excretionsprozess 557, Trichteranlage 558, Degeneration 559.
- Microsoma* des Eies von *Petromyzon Planeri* XXXII, 646.
- Miessmuschel — *Mytilus edulis*.
- Milvus*, Spermatozoen, Kopf XXXII, 448.
- Milz, weitere Mittheilung über Kern- und Zelltheilungen XXXI, 541, Methode 543 bei der weissen Maus 541, kleine, lymphoide Zellen 545, grosse 548, indirekte Fragmentierung 552, Verhalten der Kernmembran 554.
- , Untersuchungen über die — XXXVIII, 345, bei Katzen, grobes Gerüstwerk 349, Kapsel, Gefässcheiden für Arterien und Venen 350, feineres Gerüstwerk, Beziehung zur Blutbahn ohne Wandung 352, Verhalten der Lymphe, Ableitung durch Venen 356, Diapedese der Blutkörperchen 357, intermediäre, lacunäre Blutbahn 358, Venen, Injection 363, Endothel, Vortäuschung des direkten Ueberganges zwischen Arterien und Venen 369, arterielle Endigungen 371, Uebergang in Pulpa 374, Verhalten der Adventicia 374, 385, Keimlager, Malpighi'sche Körperchen 376, Bil-

- dung, Verhalten der Arterien, der Adventicia 384, der Pulpa 389, Capillaren der Keimcentren, Verhalten 391, des reticulären Gewebes 392, Keimlager, Saftlücken und Lymphgefäße 394, Vorkommen bei der Spitzmaus 396, Capillarlüsen oder Capillarscheiden 398, Litteratur 400, eigener Befund bei Katzen, Unterschied nach Alter 403, Endothel 405, Blutfüllung und Bedeutung 406, 417, Injection 409, Vorkommen 417 beim Menschen 420, Bedeutung und Funktion 421, Beziehung zu Venen 424, zur Bildung der Pulpa 425, Leucocyten 432, Schicksal 436, Leucoblasten 433, indirekte Theilung 434, Erythroblasten 433, eosinophile Zellen, Granula, Bedeutung als Hämoglobin 438, Erythrocyten, Granula 441, Bedeutung, Kern 443.
- , fixe Zellen XXXVIII, 545.
- Mitosis der Epithelzellen der Rectumdrüsen beim Kaninchen XXXIII, 219, der Colondrüsen 236.
- bei Säugethieren XXXIII, 517, im Amnion der Ratten 517.
- im Rückenmark der Tritonen XXXIV, 133.
- der rothen Blutkörperchen des Knochenmarkes der Vögel XXXV, 452.
- der Erythroblasten XXXV, 454.
- des Gehirns von Petromyzon Planeri XXXV, 533.
- der Follikelzellen des Haares nach Epilation XXXVI, 533.
- der fixen Bindegewebszellen bei Regeneration des Bindegewebes von *Rana esculenta* XXXVII, 446.
- , Veränderung des Zellkörpers XXXVII, 695.
- des Kernes, Verhalten der Proto-plasmafasern der Epithelzellen XXXIX, 198.
- , normale der B-zelle bei Cyclops XXXIX, 565.
- der Drüsenzelle der Rectumdrüse der Maus XL, 328, des Hundes 333, der Schleimzelle 334, der Duodenaldrüse beim Hund 343, Schleimzelle beim Triton 369.
- der Kerne der Schwann'schen Scheide bei Nervendegeneration XL, 414.
- Mitosomen bei Spermatogenese der Lepidopteren, Beziehung zu Centrosomen XXXIII, 199, 200.
- Mitteldarm von *Proteus anguineus* XXXIV, 538, Epithel, Drüsen 539, Wanderzellen 540 mit Einschlüssen 541, Pigmentzellen 542.
- der Insecten, nucleoläre Kernhalbierung XXXIX, 21.
- von *Chalicodoma muraria*, Anlage XXXV, 157, Epithel 144.
- Modiola adriatica*, Blut XXXVII, 84.
- *barbata*, Blut XXXVII, 84.
- Möven — Larida.
- Mollusken, Auge XXXIII, 378.
- , Reductionstheilung XL, 118.
- acephale, zur Histologie des Blutes XXXVII, 22, Historisches, Material 37, Methode 38, histiochemische und histologische Beschaffenheit, chemisch-physikalisches Verhalten, Farbe, Reaction 43, spectroscopische Erscheinungen 45, Hämkristalle 46, farbige Blutkörperchen 47, amöboide Zellen 52, Vacuolen, Pseudopodien 64, Plasmahaut, Bedeutung 67, Ursache der Veränderung, Kern 72, Kernhöhle 74, Beziehung zwischen Kern- und Zellmembran 75.
- Monocystis agilis*, Conjugation und Sporenbildung XXXVII, 105, Kern 106, Kernkörperchen 107, Bedeutung der Körner 108, Richtungskörper, Bildung und Ausstossung 110, Sporogonien 112, mitotische Theilung, Sporocysten 113, Sporophor, Sporen 114.
- magna, Conjugation und Sporenbildung XXXVII, 105, Kern 106 und Kernkörperchen 107, Bedeutung der Körner 108, Richtungskörper, Bildung und Ausstossung 110, Sporogonien 112, Sporocysten 113, Sporophor, Sporen 114.
- Moschus javanicus*, Papilla vallata XL, 11.
- Motacilla flava*, Spermatozoen, fibrilläre Bildung des Axenfadens XXXII, 427.
- , Farbe der Federn, Grünfärbung XXXV, 81, 82.
- Mucin, Nachweis im Gewebe mittelst der Färbemethode XXXVI, 310, durch basische Theerfarbstoffe 311, Thionin o. Lauth'sches Violett 314 (Metachromasie), Methylenblau 320, Methode 321 im Fusse der Weinbergschnecke 331, Becherzelle 333, Darmcanal 334, Entstehung 340, in Schleim- und serösen Drüsen 341, Schleimspeicheldrüse und Unter-

- kieferdrüse bei Hund und Katze 342, Speicheldrüse von Meerschweinchen, Maus und Ratte, Unterkieferdrüse bei Igel, Speicheldrüse beim Menschen 344, Form des Secretes 346, Schleimdrüse des Pharynx, der Nasenschleimhaut des Menschen 348, Eileiter bei Fröschen und Kröten 351, Drüsenzelle 352, in Hautdrüsen der Amphibien 354, chemische Natur 359, Litteratur 362.
- Mucosa der Urethra, Ganglien der Pars pendula XXXI, 30.
- Mund von *Pyrodictylus elegans* Nord. XXXIX, 335.
- von *Hydra grisea*, Neubildung nach Trembley'scher Umstülpung XXXVII, 546.
- von *Phylline Hendorffii* XXXIII, 167.
- von *Trichodina* sp. XXXIII, 403.
- Mundhöhle von *Proteus anguineus* XXXIV, 516, Epithel, Epithelzelle 518, Becherzelle 519, Wanderzelle mit Einschlüssen 523, 524.
- Mundspalte von *Argulus foliaceus* XXXIII, 22, Oberlippe und Unterlippe 23.
- Mus decumanus*, zur Entwicklung der Zähne, Rudimentärzähnen XXXIX, 548.
- *musculus*, secernierende Zelle des Dünndarmepithels XXXI, 113, Becherzelle 121, Inhalt der Theka 127, Uebergang aus Epithelzelle 132, Bourrelet, Bedeutung, Streifung 140, Wanderzelle im Epithel 142, Epithel der Lieberkühn'schen Crypten, Vergleich mit Zottenepithel 173.
- —, Substantia gelatinosa Rolandi, Entwicklung XXXI, 609.
- —, Rückenmark, Entwicklung und Faserverlauf der Markscheiden XXXIII, 71, graue Substanz und gelatinöse Formation 74, Rolando'sche Formation, Bedeutung 76, Zelle 78, Nervenzellengruppe und Faser-netz 80, Myeloidörner 80, 88 der Vorderhörner 81, Centralgruppe 83, Clarke'sche Säule 85, solitäre Nervenzelle der Hinterhörner 87, weisse Substanz im Allgemeinen, Faserkaliber, Grossfaserbündel 89, Vorderwurzel 94, Vorkommen von Wurzelfasern, vordere Commissur 96, Vorderstrang 98, Seitenstrang 102, Hinterwurzeln 108, mediale 109 und laterale Partie 110, Hinterstrang, Burdach'scher Strang 111, Goll'scher Strang und hintere Commissur 113, vordere 114, Beziehung zu sensitiven Nerven der hinteren Extremität 119, Pyramidenbahn, Praemedulla 120, Nuclei funiculi gracilis et cuneati 121.
- —, zur Histologie des Hodens XXXIV, 58, Kern der v. Ebner'schen Spermatoblasten 69, Kernkörperchen, Bau 71, histologische Beschaffenheit der Drüsenepithelien, Spermatogonien, Bau und Bedeutung 74, Spermatoeyten 75, Nebenkern 76, Theilungsmodus, Verhalten des Kernes 77 nach Heterotypie, Polarkörperchen und achromatische Spindel, Bedeutung 78, Spermatide und Samenzelle 79 mit Kern und Nebenkern, Spermatogonien, Bedeutung 80, Umwandlung zu Spermatozoen 81, Kopfkappe, Bildung, Spitzenknopf und Schwanzkappe 82, Verhalten des Nebenkernes 83, Beziehung zu Schwanzfaden 84, Schwanzscheide 86, Nebenkern in der Samenzelle, Ursprung 87, Beziehung zum Kern, Vergleich mit Centrosomen 88, Schicksal 89.
- —, Hinterwurzeln des Rückenmarkes XXXIV, 175, hintere Commissur 185, Zelle der Substantia gelatinosa 195.
- —, die postfoetale Histiogenese des Hodens bis zur Pubertät XXXIV, 429 Litteratur 431, Follikelzelle 432, Kern mit Nucleolus, Spermatogonien 433, Veränderung der Follikelzelle bei Eintritt der Pubertät 434, 435, Spirembildung 435, Spermatide, Auftreten 436.
- —, Epithel der Harnblase XXXV, 402.
- —, Mucingehalt der Speicheldrüsen XXXVI, 344.
- —, Bau der Uterusmuskulatur XXXVIII, 61, 65, Beziehung zum Ligamentum latum 65 und Peritoneum 66, Ringmuskeln 65, 68, Längsmuskeln 65, Verhalten an der Tubenöffnung 66, Submucosa, Existenz 70.
- —, Zahnentwicklung XXXVIII, 142, Epithelscheide, Membrana praeformativa 144.
- —, zur Entwicklung der Zähne XXXIX, 548, Rudimentärzähnen.
- —, Papilla vallata XL, 11.
- —, Rectumdrüsen XL, 325, Protoplasmazellen 325, Protoplasma

- 326, Schleimzelle 327, Verhalten des Schleimes, Mitose der Drüsenzellen 328.
- , Duodenaldrüse XL, 345, Protoplasmazelle, Kern, Protoplasma 348, Schleimzelle 349, Verhalten des Schleimes 350, Paneth'sche Zelle, Beziehung zur Schleimzelle 351.
- , weisse, über Kern- und Zelltheilung in der Milz XXXI, 541, kleine, lymphoide Zelle 545, grosse 548, indirekte Fragmentierung 552, Verhalten der Kernmembran 554.
- *rattus*, Mitosis im Amnion XXXIII, 517.
- , häutiger Anhang der Leber XXXV, 88, 100 Leberzellenschläuche.
- , Epithel der Harnblase XXXV, 402.
- , Hardersche Drüsen XXXVI, 198.
- , Mucingehalt der Speicheldrüsen XXXVI, 344.
- , Papilla vallata XL, 11.
- , weisse, kugelförmige Zellen im lockeren Bindegewebe XXXII, 123, Wachsthum 124, Beziehung zu Gefässen 129, Atrophie, Bedeutung 145, freie Kerne, Vorkommen 136, Kerntheilung 137, Ranvier'sche Bindegewebszellen, Bedeutung 142, Leucocyten, Beziehung zur Fettbildung 150, Fettgewebe, functionelle 155 und physiologische Bedeutung 160, Bedeutung des lockeren Bindegewebes 165, Verhalten zur Entzündung 168.
- , zur vergleichenden Anatomie der Placenta XXXVII, 335, 338, Muskelspindelzelle 341, Decidualzelle, Monstrezelle 342, Verhalten der Uterindrüsen 344, foetales Epithel 345, Chorionzotten 346, Eihäute 347, Amnios 347, 348, Zellen 348, Zellen der serösen Membran 347, Allantois 348, Placentarherz, Bedeutung 351, intervillöse Scheide, Subplacenta 352, subglanduläre Zone 353.
- Musca, Vergleich der Muskeln mit Seepferdchen XXXII, 239.
- Muscicapa grisola, Spermatozoen XXXIII, 422, 423, Entwicklung, Bildung des Spiralsaumes 433, Kopf 438.
- Muscularis des Magens von Proteus anguineus XXXIV, 535.
- des Oesophagus von Proteus anguineus XXXIV, 534.
- der Speicheldrüse XXXIX, 608, Hauptausführungsgang 608.
- mucosae des Dünndarmes XXXVIII, 18, Verhalten zu Lieberkühn'schen Drüsen, Zelle 19, Epithel 20.
- Musculus buccinator, Beziehung zur Gaumenaponeurose XXXII, 580.
- bulbo cavernosus, Beziehung zu Bartholin'schen Drüsen des Menschen XXXIX, 42.
- obliquus superior, Anlage bei Anguis fragilis XXXVI, 521.
- palatopharyngeus XXXII, 492.
- palatosalpingopharyngeus XXXII, 492.
- pectinatus des Herzens von Kaninchen XXXIII, 334.
- petrosalpingostaphylinus, Ursprung, Insertion XXXII, 503.
- rectus externus, Anlage bei Anguis fragilis XXXVI, 519.
- sphenosalpingostaphylinus, Ursprung, Insertion XXXII, 514, 515, Verlauf 522.
- Muskeln der Amphibien und Reptilien, motorische Nervenendigungen XXXV, 305 bei Rana 312, Beziehung der Nerven zu Muskelspindeln und Muskelknospen 316 bei Reptilien, Lacerta agilis und viridis 317.
- von Distomum cylindraceum Zed. XXXVI, 175.
- von Gordius tolosanus Duj. XXXIV, 256.
- von Hydra fusca XXXV, 335, Lagerung 337.
- des Kehlkopfes von Proteus anguineus XXXIV, 563.
- von Mermis ingrescens Duj., Beziehung zu Nerven XL, 506.
- von Phylline Hendorffii XXXIII, 164, der Rindenschicht, des Parenchyms 166.
- der Taube XXXII, 491, Beziehung zum Ligamentum salpingopalatinum 502.
- Augen- bei Anguis fragilis, Anlage XXXVI, 617.
- circuläre bei Hormiphora XL, 223.
- Flossen- des Seepferdchens und über Muskelstructur im Allgemeinen XXXII, 233, Methode 235, Muskelsäulchen 238, Kern 239, Querschnitte und Sarcoplasma, Anordnung, Vergleich mit Muskeln der Fliege 239, bei Crustaceen, Maja

- squinando 241, Vergleich mit den anderen Muskeln des Seepferdchens 242, Längsschnitte 243, Untersuchung im polarisirten Lichte 249, Literatur 250.
- des Seepferdchens, Bau XXXVII, 682.
- , Parenchym bei *Distomum cylindraceum* Zed. XXXVI, 175, Zelle.
- Radiär- der Ctenophoren, Beroe XL, 209, Beziehung zum Magen 210, Bildung 214.
- Muskelanlage bei *Anguis fragilis* XXXVI, 617.
- Muskelfasern der Stinkdrüse der Forficulidae XXXVI, 574.
- , Regeneration XXXVII, 452, 454, Umwandlung aus Sarcoblast 455 bei *Siredon*, blasige Entartung 462, Spaltung der —, Bedeutung 468, Knospung 452, 471.
- des Uterus beim Menschen, Entwicklung XXXVIII, 87.
- der Cephalopoden XXXIX, 291, Methode 292, Kern, Sarcoplasma 293, Rindensubstanz 294 im Muskel von *Sepiola Rondaletii*, Spiralforn 295 bei *Eledone moschata* 299, Spiralfasern bei *Octopus* und *Sepia* 301, Zusammensetzung aus Fibrillen 302, Körnchenstructur, interfibräre Zwischensubstanz, Bedeutung 303, Sarcoplasma 305 und Sarcosomen 306, Marksubstanz, Structur 307, Körner, besonders bei *Sepiola Rondaletii* 309, Literatur 311.
- der Tentakel der Ctenophora XL, 190, Auftreten und Wachsthum 191, 193, 195, Perimysium 195.
- der Ctenophora, Beroe XL, 207, Sarcolemma, Verbindungen unter einander 208, unter dem Epithel 218, Beziehung zwischen Epithel und Ectoderm 219.
- glatte, über Zellbrücken XXXVIII, 38, Methode, Muskelleisten 39 in dem Darm der Katze, Verhalten zur Kittsubstanz 43, Bedeutung 45, Lymphräume 46.
- bei Beroe unter dem Epithel XL, 211.
- mesodermale bei *Cestus* XL, 220.
- quergestreifte, über Nebenscheiben, Sarcoplasma und Contraction XXXVII, 654, Untersuchung mit Polarisationsapparat 660, Scheibenzerfall in Alcohol 663 bei Käfern, *Scarabaeus laticollis* 665, *Astacus fluviatilis* 668, fixirte Contractions- welle 671, arimetable und metatable Schichten 675, Ruhestadium, Uebergangsstadium, Combinationsstadium 677, Contractions- welle von *Cassida equestris* 678, Einfluss starker Säuren 679, intercolumnare Spalträume, Flossenmuskeln des Seepferdchens 382.
- Muskelfelder von *Mermis ingrescens* Duj. XL, 501.
- Muskelfibrille, Regeneration und Bildung XXXVII, 458.
- Muskelnknospen bei *Rana*, Beziehung zu Nerven XXXV, 316.
- Muskelleisten XXXVIII, 39.
- Muskelsäulchen des Flossenmuskels vom Seepferdchen XXXII, 238, Kern 239.
- Muskelschicht, subseröse des Uterus bei Kalb und Schaf XXXVIII, 76.
- Muskelschlauch bei *Bilharzia haematobia* XXXI, 208.
- Muskelsegmente, Bildung bei Regeneration XXXVII, 458.
- Muskelspindel bei *Rana*, Beziehung zu Nerven XXXV, 316.
- Muskelsubstanz, feiner Bau XXXIX, 291.
- Muskelzellenschlauch, Bedeutung bei Regeneration XXXVII, 462.
- Muskulatur von *Argulus foliaceus* XXXIII, 8.
- von *Bilharzia haematobia* XXXI, 219, 220.
- von Ctenophora, Beroe XL, 207, Entwicklung und Wachsthum 211, Cestus 218, Callianira, Hormiphora 223.
- des Darmes, Nerven XL, 390.
- des Magens von Alligator XXXIV, 4.
- von *Mermis crassa* XXXIV, 394.
- des Schwellkörpers der Nasenschleimhaut XXXIV, 199.
- des Tuben und ihrer Fascien XXXII, 479, Methode 480.
- des Uterus, zur vergleichenden Anatomie und Entwicklungsgeschichte XXXVIII, 52, Literatur, Methode 61 bei Nagern, Kaninchen 60, Maus, Beziehung zum Ligamentum latum 65, Peritoneum 66, Ringmuskulatur 65, 68, Längsmuskulatur 65, Verhalten an der Tubenöffnung 66, Submucosa, Existenz 70 bei Carnivoren, Katze, Verbindungsfasern zwischen Ring- und Längsmuskulatur 72 bei Hufthieren,

- Schwein 74, Kalb, Schaf, Verhalten der Tuben 75, subseröse Muskelschicht 76, Halbaffen, Lemur rubrifrons, Fledermaus, Pteropus 78, Affen, anthropoide und nicht anthropoide, Macacus, Cercopithecus 79, Corpus uteri 80, Collum 81, Chimpanse 83, Mensch 85, Entwicklung 86, Ursprung der Muskelfasern 87, Gefässschicht, Entwicklung 89.
- glatte in der Schleimhaut des Dünndarmes XXXI, 15, Litteratur 15, Methode 17, Muscularis mucosae 18, Verhalten zu Lieberkühn'schen Drüsen, Zellen 19, Epithel 20.
- Längs- des Uterus der Maus XXXVIII, 65, Verhalten an der Tubenöffnung 66, Verbindungsfaser mit Ringmuskulatur bei Katzen 72.
- quergestreifte, Regeneration XXXVII, 449 bei Siredon 456.
- Ring- des Uterus bei der Maus XXXVIII, 65, 68, Verhalten an der Tubenöffnung 66, Verbindungsfasern mit Längsmuskulatur bei der Katze 72.
- Muttermundlippe, hintere, Anlage beim Menschen XXXVII, 647.
- Mya arenaria, Blut XXXVII, 79.
- Myelinscheide der Nervenzelle des Sympathicus der Amphibien XXXV, 412, Verlauf 413.
- Myeloidkörner des Rückenmarkes der Maus XXXIII, 80, der Vorderhörner 81, Centralgruppe 83.
- Myocyten bei Petromyzon Planeri, Bildung XXXV, 502, Verbindung mit Neurocyten 529.
- Myomacophaga tridactyla, zur Entwicklung des Herzens, Valvula foraminis ovalis XXXIII, 361.
- Myopotamus coypus, Papilla valvata XL, 11.
- Myotom der Selachier, Beziehung zu Mesonephros XXXIII, 490.
- Mytilus edulis, Blut, gefärbte, amöboide Zellen XXXVII, 84.
- Nabelstrang, Einfluss des Thionins auf das Gallertgewebe des — XXXVI, 355.
- Nagelrochen — Raja clavata.
- Nager — Rodentia.
- Nahrungsaufnahme bei Leidyonella cordubensis XXXVIII, 311.
- Nahrungsvacuolen bei Trichodina sp. XXXIII, 410.
- Nanotragus spinigerus, Gesichtsdrüsen XXXI, 527.
- Nase, Schwellkörper der Schleimhaut XXXIV, 197, beim Menschen, Regio respiratoria, Muskulatur 199, elastische Fasern 202, Venen 204, Circulation 205.
- , Bau der Oberhaut XXXVII, 177.
- Nasenhöhle, zur Anatomie beim Menschen XXXIX, 632.
- Nasenknorpel des Hammels, über pericelluläre und intracelluläre Einlagerungen XXXIV, 409.
- Nasenschleimhaut des Menschen, Mucinegehalt XXXVI, 348.
- Natatores, Spermatozoen XXXII, 439.
- Nebeneileiter beim Menschen XXXIV, 350.
- Nebenhoden, Anlage beim Menschen XXXIV, 294.
- beim Menschen, körniges Pigment XXXIV, 468.
- Nebenkern der Spermatide von Alcyonella fungosa XXXI, 336.
- der Zwitterdrüse von Limax agrestis, Verhalten bei Zelltheilung XXXIII, 127 zum Spitzenknopf der Spermatide 132.
- der Hodenzelle von Paludina vivipara und Helix pomatia XXXIII, 134, 140.
- des Pancreas, Entstehung und Bedingung, ein Beitrag zur Lehre von der Secretion XXXIII, 180, Entstehung durch Kernsprossung 184, 189, Bedeutung 188 im Pancreas von Salamandra maculata 185, Form und Anzahl bei Anuren und Reptilien 188.
- bei Samenbildung der Lepidoptera XXXIII, 197.
- der Spermatoocyten der Maus XXXIV, 76.
- der Samenzellen von Salamander und Maus XXXIV, 87, Ursprung, Beziehung zum Kern, Vergleich mit Centrosom 88, Schicksal 89.
- der Spermatide der Maus XXXIV, 79, 81, Beziehung zu Schwanzfaden.
- Nebenkörper der Spermatozoen von Salamandra, Bau und Bedeutung, XXXIV, 62, 67.
- Nebenniere der Selachier XXXIII 498 Pristiurus 498, Verhalten der Spinalnerven 499.
- des Menschen, körniges Pigment XXXIV, 465.

- bei Vögeln, Entwicklung und Structur XXXVIII, 492, Litteratur, beim Huhn, erstes Auftreten 499, Beziehung zum Coelomepithel 501, Peritonealepithel 502, zum rudimentären, distalen Abschnitt des Pronephros 503, Bildung der Marksubstanz 507, Beziehung zum Sympathicus, den sympathischen Nervenzellen 508 und embryonalen Ganglienzellen 509, Verwandtschaft mit Markzellen 511, Structur 512, Länge und Lage, Kapsel, Färbung durch Fetttröpfchen 513, Zellen der Hauptstränge bei Tauben 514, Kern, Zellvermehrung 515, Blasenzone 516, Zwischenstränge 517, Markzelle, Ganglienzelle, Uebergangszelle 518.
- Nebenpancreas, Bedeutung und Ursprung XL, 454, Factoren der Umbildung 472.
- Nebententakel der Ctenophora XL, 190, Bildung 196, Drüsenzelle, Veränderung 200, Kern 201.
- Nebenscheibe der quergestreiften Muskelfasern XXXVII, 654.
- Nebenspermakern von *Anguis fragilis* XXXIX, 226.
- von *Tropidonotus natrix* XXXIX, 234, Ursprung aus Spermatozoen 262, Schicksal 274.
- von *Lacerta viridis* XXXIX, 275.
- Nematoden, Vergleich der Ei- und Samenbildung XXXVI, 1, 58, Keimzone 58, Wachstumszone 69, Theilzone 61.
- , Befruchtungsprozess XXXVI, 100, Verhalten zwischen Ei- und Samenkern 100, Verhalten des Chromatins 103.
- , XXXIX, 325.
- Nematodum Gammari* n. sp. in *Gammarus colleoptratorum* XXXIX, 327.
- Neotragus hemiprichianus*, Drüsen XXXI, 528.
- Nephridialapparat von *Megascolides australis*, Entwicklungsgeschichte XL, 552, Bedeutung 560.
- Nephrotom der Selachier, Vermehrung XXXIII, 493 und Entwicklung 496.
- Nerv, Verlauf in der Haut der Epithelialschicht der Haut von Neunaugen XXXVIII, 10.
- der Antennen von *Sida crystallina* XXXVIII, 109.
- Brust- bei *Sida crystallina* XXXVIII, 113.
- von *Daphnia sima* XXXVIII, 115, 116.
- der *Glandula carotica* beim Menschen XL, 299, 301.
- Haut- von *Petromyzon fluviatilis* XXXIV, 117.
- des Herzens beim Frosch XXXVI, 491, 494, Beziehung zur Nervenzelle 494, bei *Emys caspica*, Verlauf 499.
- Hirn- bei *Petromyzon Planeri*, Anlage XXXV, 505, 510.
- von *Mermis ingrescens* Duj., Beziehung zu Muskeln XL, 506.
- der Muskeln von *Rana*, Verhalten zu Muskelspindeln und Muskelknospen XXXV, 316.
- des *Pancreas* XL, 405, Nervenplexus, Nervenfasern, Beziehung zu Zellen 406, sympathischen Ganglienzellen 407.
- von *Pecten*, Verbindung mit Stäbchen XXXIII, 395.
- Riech- von *Daphnia sima* XXXVIII, 115.
- Schild- von *Argulus foliaceus*, Endverhalten XXXIII, 13.
- der Schleimhaut des Darmes, Verhalten XL, 399.
- Seiten- des Auges von *Pecten* XXXIII, 395.
- Spinal-, Verhalten der Nebenniere der Selachier XXXIII, 499.
- von *Petromyzon Planeri*, Entwicklung XXXV, 547.
- der Zotten des Darmes XL, 403, Beziehung zu Epithelzelle 407.
- periphere, über Degeneration XXXVI, 579, Litteratur, Methode 585, Veränderungen der Markscheide und des Axencylinders 590, des Kernes 591.
- sensitive der hinteren Extremitäten der Maus, Beziehung zum Goll'schen Strang des Rückenmarkes XXXIII, 119.
- Nervenendigung in der männlichen Harnröhre XXXI, 30.
- in den Sinnesborsten von *Argulus foliaceus* XXXIII, 16.
- in den Nervenendkörperchen der Cornea und Conjunctiva des Menschen XXXVII, 607, in Endplättchen 613.
- im Magen, Darm und *Pancreas* XL, 390.
- motorische in den Muskeln der Amphibien und Reptilien, Methylenblautinction XXXV, 305, bei

- Rana 312, Beziehung der Nerven zu Muskelspindeln und Muskelknospen 316 bei Reptilien, *Lacerta agilis et viridis* 317.
- Nervenendknäuel, Bedeutung XXXVII, 604.
- Nervenendkörperchen in der männlichen Harnröhre, Vorkommen XXXI, 22, Methode 29, Nervenverlauf, Verbindungen verschiedener Nervenfasern 25, Lage der Körperchen 26, Anzahl, Form, Grösse, Verbindung mit Nerven 27, Verhalten der Henle'schen Scheide, Kapsel 28, Bedeutung als Krause'sche Endkolben 29, Endigung, Ganglien in der Mucosa der Pars pendula 30.
- (Endkolben W. Krause's) in der Cornea und Conjunctiva des Menschen XXXVII, 602, Nervenendknäuel 604, Gestalt, Grösse, Lagerung 605, Bau, Bindegewebskapsel 606, Innenkolben, Nervenendigung 607 in Endplättchen 613.
- Nervenfasern, Verlauf in der männlichen Harnröhre XXXI, 25, Verbindungen unter einander 25, mit Nervenendkörperchen 27, Verhalten der Henle'schen Scheide 28.
- , über den Bau XXXI, 100 beim Neunauge, Axencylinder, Mauthner'sche Scheide 101.
- des Geruchsorganes des Hundes, Verhalten zu Geruchszelle XXXIV, 386.
- von *Argulus foliaceus*, Bau XXXIII, 13.
- , Regeneration XXXVII, 429.
- des Geruchsorganes vom Neunauge, Verbindung mit Neuroepithelzellen XXXVIII, 8.
- des Lobus olfactorius vom Neunauge XXXVIII, 14.
- des Rückenmarkes, Beziehung zu Nervenzellen XXXVIII, 280, 283.
- des Alveus XXXIX, 613.
- des Darmes, Verbindung mit Muskelzellen XL, 396.
- des Pancreas XL, 405, Beziehung zu Zellen 406.
- sensible bei *Lumbricus*, Ursprung, Verlauf und Endigung XXXIX, 102, Verlauf von der Epidermis bis zum Bauchstrang 116, centraler Verlauf und Endigung 120, Theilung 122, Beziehung zur Haut 127, 133. Vergleich mit Vertebraten 128, Nervenfaserschicht der Retina des Menschen, Bau der Axencylinder, Fibrillen, Axoplasma XL, 29, Beziehung zur Fovea centralis 31.
- Nervenfortsatz der Nervenzellen der Epidermis von *Lumbricus* XXXIX, 105.
- Nervengewebe des Rückenmarkes, grauer und weisser Theil XXXVIII, 284.
- Nervenhöhle von *Distomum cylindraceum* Zed. XXXVI, 179.
- Nervennetz graues des Rückenmarkes, Bildung XXXVIII, 288.
- terminales der Retina des Menschen XXXVIII, 325.
- umstrickendes der Nervenzellen des Sympathicus der Amphibien XXXV, 409.
- Nervenplexus der Spongioblastenschicht der Retina des Menschen XXXVIII, 339.
- im Pancreas XL, 405.
- ectodermaler bei *Callianira* XL, 225.
- Nervensubstanz des Rückenmarkes, über Aufbau XXXVIII, 264.
- Nervensystem, Beziehung zur Urmundspalte XXXIX, 372.
- von *Argulus foliaceus* XXXIII, 9, feinerer Bau 11.
- der *Ctenophora* XL, 224.
- von *Gordius tolosanus* Duj. XXXIV, 258.
- des Herzens, zur Lehre XXXVI, 483, Litteratur, Methode 486, beim Frosch 491, *Emys caspica* 499, Eidechse, *Phrynocephalus helioscopus*, Tritonen, *Triton cristatus* 501.
- von *Mermis crassa* XXXIV, 394.
- centrales, Imprägnation mit Quecksilbersalzen XXXVII, 16.
- der Cladoceren XXXVIII, 100, *Sida cristallina* 101, Bauchmark 102, Opticus, Sehganglien, Punktsubstanz 103, Sehcommissuren 104, Umhüllungsmembran 105, Gehirn, Markballen 106, Schlundcommissuren, Centralkörper 107, Bedeutung 108, Riechcentren, Schlundcommissuren, Nerven der Antennen 109, retroösophageales Ganglion 110, 113, Oberlippenganglion 110, Mandibelganglion 111, Bauchmark, unterer Theil, Brustnerven 112; bei *Daphnia sima*, Sehganglion 114, unpaares Auge, Verhalten, Riechnerv 115, Schlundcommissuren, Entwicklung des Bauchmarkes, Nerven; bei *Bythotrephes longimanus* 118, Sehganglion, Augen 119, Punktsubstanz,

- Sehfasern 120, Chiasma, Sehcommissuren 122, Centrialkörper, Schlundcommissuren, retropharyngeales Ganglion 123; bei *Leptodera hyalina*, Ganglion opticum 124, Punktsubstanz 125, grosse Ganglienzelle mit Vacuolen 126, Bauchmark 128, Litteratur 129.
- peripheres von *Argulus foliaceus* XXXIII, 12.
- von *Petromyzon Planeri*, Entwicklung XXXV, 538.
- Nervenzurzeln bei *Anguis fragilis*, Beziehung zum Ganglion spinale XXXVIII, 159.
- Nervenzellengruppe des Rückenmarkes der Maus XXXIII, 80.
- Nervus accessorius-vagus, Beziehung zum Kern des Nervus hypoglossus beim Menschen XXXI, 68, Kern.
- acusticofacialis bei *Petromyzon Planeri* XXXV, 515, 522, 541.
- bronchiogastricus von *Petromyzon Planeri* XXXV, 544.
- hypoglossus, Ursprung und Verbindungen in der Medulla oblongata XXXI, 54, Litteratur 54 beim Kalb 56, Kern, Zelle, Wurzelfasern 57, Kranzfasern 58, accessorischer Kern 59, Verbindungsfasern, Fibræ propriae, Commissur der beiden Kerne 60 bei Katze, Taube, Ente 62, Commissurfasern beim Menschen 63, Beziehung zur Olive, accessorischer Kern 64, Kreuzung 66, Fibræ propriae 67, Beziehung zum Accessorius-Vagus 68.
- lateralis bei *Petromyzon Planeri* XXXV, 546.
- olfactorius von Neunaugen XXXVIII, 12, bipolare Zelle im Verlauf.
- —, Verhalten zum Rieche-epithel XXXIX, 639 beim Menschen, Endigung der Fibrillen, Riechzelle 643.
- — beim Schaf, Endigung der Fasern im Jacobson'schen Organ XXXIX, 651.
- opticus, Epithelreste XXXVIII, 24, Litteratur bei Corallenembryo 27, Amphibien, Triton taeniatus 29, Hühnerembryonen 30, Säugern 32, *Ammocoetes* 35.
- von *Sida cristallina* XXXVIII, 103.
- pneumogastricus von *Petromyzon Planeri* XXXV, 546.
- sympathicus, Beziehung zur Anlage der Urdiere beim Huhn XXXVIII, 508.
- — der Amphibien, Nervenzelle XXXV, 407, Material 407 und Methode 408, umstrickendes Nervennetz 409, Spiralfasern, Bedeutung 410, Myelinscheide 412, Verlauf 413, Verbindungsfaden 411, gerade Fasern 412, Verlauf 413, Zellenmasse 416.
- trigeminus bei *Petromyzon Planeri*, Anlage XXXV, 513, Ganglien 519, Entwicklung 538, Ganglienzelle 539.
- vagus bei *Petromyzon Planeri*, Anlage XXXV, 517, Entwicklung 544, Ganglien 545.
- Nesotragus moschatus*, Drüsen XXXI, 527.
- Nesselkapsel bei *Hydra fusca* XXXV, 332.
- der Nährzelle von *Hydra fusca* XXXV, 357.
- Netz, grosses, Anlage und erste Entwicklung XL, 445.
- Netzhaut — Retina.
- Neunauge — *Petromyzon fluviatilis*.
- Neuntödter — *Lanius collurio*.
- Neuralstrang bei *Petromyzon Planeri* XXXV, 498, Zelle 499.
- Neuroblasten des Rückenmarkes der Tritonen XXXIV, 136, Verhalten zu Dotterkörnern 137, Vacuolenbildung 138.
- Neurochordcylinder des Bauchstranges von *Lumbricus* XXXIX, 122.
- Neurocyten von *Petromyzon Planeri*, Verbindung mit Myocyten XXXV, 529.
- Neuroglia des Rückenmarkes XXXVIII, 264, Neurogliastützgerüst, Neuroglia substanz, Structur 271 bei Amphibien 278.
- des Cornu Ammonis im Alveus XXXIX, 624 und Fascia dentata, Gliazelle 625.
- Neuromeren bei *Petromyzon Planeri* XXXV, 500.
- Niere beim Menschen, Anlage XXXIV, 276, 280, Glomerulus.
- beim Menschen, Anlage und Entwicklung II XXXIV, 361.
- beim Menschen, körniges Pigment XXXIV, 460.
- der Schnecken, Beziehung zu Conjugation und Sporenbildung der Gregarinen XXXVII, 124, Nierenzelle.

- bleibende, Entwicklung bei Crocodilen und Schildkröten, Literatur XXXVI, 442, *Crocodylus biporcatus*, Nierengang, Ureter 445, *Chelonia midas* 450, Beziehung zur Urniere, Ureter 451.
- Nierenbecken, Anlage beim Menschen XXXIV, 276.
- beim Menschen, Anlage II. XXXIV, 363.
- Nierengang beim Menschen XXXIV, 277, 280.
- beim Menschen, zur Entwicklung der Urniere XXXVI, 154.
- , Anlage bei *Crocodylus biporcatus* XXXVI, 445.
- Nierenkapsel beim Menschen, Anlage XXXIV, 367.
- Nucleolus der Zellen der Malpighischen Gefäße von *Dytiscus marginalis* bei Theilung XXXIII, 146.
- der Primordialeier bei Salamander XXXIV, 91.
- der Follikelzelle im Hoden vom Salamander XXXIV, 91.
- der Samenmutterzelle bei *Ascaris megalocephala*, Verhalten bei der Theilung, Vorstadien XXXVI, 28 bei *Ascaris univalens* 28 und *bivalens* 30.
- *claviformis* in der Magenschleimhaut von *Salamandra maculata* XXXII, 474.
- Nucleus fasciae dentatae Cornu Ammonis* XXXIX, 620.
- der Follikelzellen im Hoden vom Salamander XXXIV, 91.
- *funiculi cuneati* des Rückenmarkes der Maus XXXIII, 121.
- *gracilis* des Rückenmarkes der Maus XXXIII, 121.
- der Primordialeier vom Salamander XXXIV, 91.
- Nucula nucleus*, Blut XXXVII, 83.
- O**berhaut — Epidermis.
- Oberhautfelderung XXXVII, 133.
- Oberhäutchen des Haares XXXI, 47.
- Oberkiefer von *Argulus foliaceus* XXXIII, 23.
- Oberkieferhöhle, Schleimhaut, besonders die Drüsen XXXII, 222, Methode und Material 222, Becherzelle 223, Faltenbildung 224, 225, Bedeutung als Eiweißdrüsen, Epithel 227.
- Oberlippe von *Argulus foliaceus* XXXIII, 23.
- von *Chalicodoma muraria*, Anlage XXXV, 148.
- Ocellen von *Gordius tolosanus* Duj. XXXIV, 262.
- von *Phylline Hendorffii* XXXIII, 168.
- Ochs, Harder'sche Drüse, Vergleich mit Thränendrüse XXXVI, 198.
- Octopus, Spiralfasern XXXIX, 301.
- *vulgaris*, Bau der hinteren Speicheldrüse XXXIX, 596.
- Oehrlinge — Forficulidae.
- Oesophagus von *Mermis crassa* XXXIV, 395.
- von *Mermis ingrescens* Duj. XL, 500.
- von *Proteus anguineus* XXXIV, 530, Epithel, Becherzelle 532, Drüse, secernierende Zelle 533, Muscularis 534.
- von *Torpedo ocellata* XXXIX, 92.
- Oligoneuria rhenana, als Wirth für *Filaria Ephemeridarum* XXXIX, 326.
- Olive beim Menschen, Beziehung zum Kern des Nervus hypoglossus XXXI, 64.
- Olm — *Proteus*.
- Ommatidium, Bau XXXIII, 384.
- Ootyp von *Phylline Hendorffii* XXXIII, 172.
- Ophidii, Spermatozoen, Geißel XXXIII, 276.
- , Zellenstränge der subgerminalen Höhle des Dotterorganes XL, 61.
- Organ, Blutzellenbildendes, Anordnung und Neubildung von Leucoblasten und Erythroblasten XXXVIII, 524.
- , fettbildendes im lockeren Bindegewebe, neue Art XXXII, 123.
- Giraldé's nach Untersuchungen von Kaninchen, Hunden, Katzen XXXIII, 445, Rückbildungsprozess 447, Dauer und Lage des Organes 450, Methode 452, Flimmerepithelzelle 454, Malpighi'sche Körperchen 455, Rückbildung des Epithels, Inhalt 457, Riesenzelle 458.
- Jacobson'sches des Schafes, Endigung der Olfactoriusfasern XXXIX, 651.
- interrenales der Selachier XXXIII, 500.
- des Kopfes, Anlage bei *Torpedo ocellata* XXXIX, 91.

- lymphatisches, Bedeutung der Secundärknötchen XXXVIII, 573.
- Orificium vestibulare, Entwicklung beim Menschen XXXIX, 635.
- Ornithorrhynchus, Entwicklung des Herzens, Valvula foraminis ovalis XXXIII, 360.
- Oriolus, Spermatozoen XXXII, 429, Bildung des Spiralsaumes 443, Kopf 438, Bewegung 452.
- regens Gaimard, Farbe der Federn, Graufärbung XXXV, 83.
- Ossificationsgrenze, über histologische Vorgänge mit besonderer Berücksichtigung des Verhaltens der Knorpelzelle XXXII, 214, Methode 216, Karyokinese 217, Zellsäulen, Kern, Veränderung 218, provisorische Verkalkung und Gefäßbildung 219.
- Ossificationslinie, Auftreten im Unterkiefer XXXII, 320, 350.
- Osteoblasten, Auftreten bei Ossification des Unterkiefers XXXII, 313, Structur und Thätigkeit 338.
- Osteoklasten des Unterkiefers, Beziehung zu Gefäßen XXXII, 327, Ursprung 328.
- Ostium abdominale des Pronephros der Selachier XXXIII, 478, Scyllium, Raja, Pristiurus 479.
- tubae, Anlage bei Crocodilus biporcatus XXXVI, 456.
- atrioventriculare des Herzens beim Kaninchen, XXXIII, 307.
- interventriculare des Herzens beim Kaninchen XXXIII, 295, 319.
- Ostrea edulis, Blut XXXVII, 85.
- Otolithen der Ctenophora XL, 181 mit Kern bei Beroe, Hormiphora, Callianira.
- Ovarium von Bilharzia haematobia XXXI, 212.
- von Gordius tolosanus Duj. XXXIV, 265.
- von Mermis ingrescens Duj. XL, 508.
- Neugeborener, Bau XXXI, 412.
- von Phylline Hendorffii XXXIII, 173, Zelle 172.
- Ovis aries, Verknöcherung des Unterkiefers und die Metaplasiefrage XXXII, 266, 270, 290.
- , Pigmentation der Uterinschleimhaut XXXVI, 507, Litteratur, Karunkeln, Färbung 510, Beziehung zum Epithel 511.
- , Uterusmuskulatur XXXVIII, 75.
- , Endigung der Olfactoriusfasern im Jacobson'schen Organ XXXIX, 651.
- , Epithelzellen in den Tonsillen XL, 23.
- , Glandula carotica, Lage und Form XL, 295.
- Ovogenese der Copepoden XXXIX, 576, Cyclops signatus.
- Ovomeriten von Petromyzon Plancheri XXXII, 644.
- P**achydrilus sphagnetorum Vejdowsky var. glandulosus XXXI, 490, Segmentalorgan, Zelle 491, Septaldrüse, Geschlechtsorgan 492, Samentasche 493.
- Palacornis haematodus, Farbe der Federn, Blaurackentypus XXXV, 78.
- Paludina vivipara, Zelltheilung und Samenbildung XXXIII, 134.
- Pancreas, Entstehung und Bedeutung der Nebenkerne, ein Beitrag zur Lehre von der Secretion XXXIII, 180, Methode, Material, bei Amphibien und Reptilien, in den Malpighischen Gefäßen von Dytiscus marginalis, Hydrophilus piceus, Salamandra, Zelle 182 im Hungerzustande, Secretion, Bildung der Secrettropfen 183, Nebenkern, Entstehung durch Kernsprossung 184, 189, Bedeutung bei Salamandra maculata 188, Form und Anzahl bei Anuren und Reptilien, Chromatolyse 189, erschöpfte Drüsenzelle 186.
- von Proteus anguineus XXXIV, 545, Körner 546, Ausführungsgang 547.
- , Nerven XL, 405, Nervenplexus, Nervenfasern, Beziehung zu Zellen 406, sympathische Ganglienzellen 407.
- , hemmender Einfluss der Blutgefäße auf die Entwicklung beim Menschen XL, 440, bei Amphibien 441; fördernder Einfluss 447, Factoren der Umbildung 470.
- , Epithel des Ductus Wirsungianus, Cylinderzellen XL, 493.
- Panther — Felis pardus.
- Paraplasma von Petromyzon Plancheri, Bedeutung XXXV, 474.
- Parenchym von Bilharzia haematobia XXXI, 208, 219.

- von *Phylline Hendorffii* XXXIII, 170, Muskeln 166.
- des Knochenmarkes der Vögel, Verhalten zu Venen capillaren XXXV, 439, Verhalten nach Aderlass 450, Gefäßnetz 460.
- Parthenogenese und Bedeutung des II. Richtungkörpers XXXVI, 109 bei Eiern von *Asteracanthium* 113.
- Parus Ammon, Spermatozoen XXXII, 424.
- *coeruleus*, Farbe der Federn, Blaukehltypus 78, Grünfärbung 83.
- *cyaneus*, Farbe der Federn, Grünfärbung XXXV, 83.
- Passer, Bau der Spermatozoen XXXII, 408.
- *domestica*, Spermatozoen XXXII, 424, Geißel 426.
- Pecten, Auge XXXIII, 390, Stiel, Pigmentmantel, Pellucida, Epithel 391, Linse 392, Entwicklung 396, Septum 392, Retina 393, Entwicklung 396, Stäbchenzelle 393, spindelförmige Zelle, Stäbchen, Verbindung mit Nerv, Seiten nerv 395, Tapetum 397.
- *Jacobaeus*, Blut XXXVII, 84.
- *opercularis*, Auge, Pigmentmantel XXXIII, 391.
- —, Blut XXXVII, 84.
- *tectae*, Blut XXXVII, 84.
- *varius*, Blut, Blutkörperchen, Hämkristalle XXXVII, 84.
- Pectunculus glyceris, Blut, Farbe und Reaction XXXVII, 43, Hämkristalle 46.
- —, Blut, Leucocyten, farbige Blutkörperchen mit Kern XXXVII, 83.
- Pediotragus rufescens, Drüsen XXXI, 527.
- *tragulus*, Drüsen XXXI, 527.
- Pelobates fuscus, Spermatozoen XXXVI, 250, Kopf 253, Geißel 254.
- Penis, Bau der Oberhaut XXXVII, 165.
- Perca fluviatilis, Spermatozoen, Geißel XXXVI, 239, Axenfaden 243, Kopf 244.
- Perimysium der Muskelfasern der Tentakel der Ctenophora XL, 195.
- Periost, Beziehung zum Dickenwachstum des Knochens XXXIX, 178, 181.
- Periplaneta orientalis, Beziehung zu Conjugation und Sporenbildung der Gregarinen XXXVII, 117.
- Peritonealtrichter bei Entwicklung der Niere von *Crocodilus baporcatus*, Anlage XXXVI, 421, 426, 430, *Chelonia midas* 438.
- Peritoneum des Menschen, Beziehung des Epithels zur Entwicklung der Urniere XXXVI, 164.
- , Beziehung zur Uterusmuskulatur bei der Maus XXXVIII, 65.
- Petroceras quadricornus, Drüsen XXXI, 528.
- Petromyzon fluviatilis, feinere Structur des Geruchsorganes XXXI, 1, Methode, Lage, Höhle 2, Anwesenheit von Drüsen 3, Epithel, Falten des Geruchsorganes 4, Flimmerzelle 5, Bindegewebe, Stützzelle, Cilien 6, becherförmige Zelle, Neuroepithelzelle 7, cylinderförmige 9, Verbindung mit Nervenfasern, Stäbchen 8, Drüsen, becherförmige Zelle 11, Kern, Bedeutung als Schleimdrüsen, Nervus et Lobus olfactorius, Structur, bipolare Zellen im Verlauf — 12, Lobus anterior, beerenförmige Zelle 13, Nervenfasern 14.
- —, Bau der Nervenfasern XXXI, 100, 101, Axencylinder, Mauthner'sche Scheide.
- —, über die Haut XXXIV, 106, Methode 107, Basalmembran, Corium, Epithelschicht, Epithelzelle 109 mit Kern, Fortsetzung und Cuticula, Ersatzzelle, Nervenzelle 110, Kolbenzelle, Bedeutung 112, Endothelzelle 114, Hautnerv mit Ganglienknoten 117, Körnerzelle 118, Bedeutung, Fortsätze 119, Hautgrübchen 120, Zelle, Bedeutung 122.
- —, Lobus olfactorius, Lobus anterior XXXVIII, 13.
- *Planeri*, Reifung und Befruchtung des Eies XXXII, 613, Reifung, Litteratur 614, zur Zeit der Metamorphose, Eihaut mit Granulosa zelle 623, 625, Keimbläschen mit Deckel 625, Polplasma, Befruchtung, Litteratur 626, Methode 634, Veränderung des Polplasmas, Membranbildung 635, Richtungkörperchen 636, Dotterherd, Aenderung des Polplasmas 637, 642, 644, Bedeutung 653, II. Richtungkörperchen, Auftreten 638 und Vorkommen 642, 644, Spermakopf mit Strahlung 640, Umwandlung 641 (Spermatome-

- riten), Ovomeriten 644, provisorischer Furchungskern, Bedeutung 645, Microsoma 646, definitiver Furchungskern 647, Karyomeriten 648, Deckel, Bedeutung 652.
- , Entwicklung XXXV, 469, Befruchtung und Furchung 471, Plasma des befruchteten Eies 473, Protoplasma und Paraplasma 474, Blastodermbildung und Gastrulation 479, Embryonalschild 480, Blastoporus 479, 480, Urdarm 481, Teloblast 482, Centralnervensystem 484, Anlage 490, Chorda dorsalis 485, 487, Chordazelle 487, Keil, Bedeutung und Veränderung 485, Ganglienleiste 486, Kopfganglien, Hirn 487, Teloblast 492, Telocyten 493, Vergleich mit der Sichel der Gnathostomen 494, vordere Enddarmtasche 497, Neuralstrang 498, Zellen 499, Neuromeren, Chordazellen, Mesoderm, Segmentalplatte, Bildung 500, Segmentation, Muskelzelle, Bildung, Myocyten 502, Nervensystem und Sinnesorgane, Anlage 505, Hirnnerven, Augenblase 505, 510, Ganglien 510, dorsale Kantenzelle des Mesoderm, Trigeminus 513, Labyrinthgrube 515, Acusticofacialis 515, 522, Kiementasche 514, Vagus 517, Riechorgan 518, Trigeminusganglien 519, Gehörbläschen, Fibrillen 523, Facialisganglien 524, Vagusganglien 525, Verbindung zwischen Myocyten und Neurocyten 529, Hirn, Entwicklung, weisse Substanz 531, Mitose 533, Geruchsorgan 536, Linsen und secundäre Augenblasen 537, peripheres Nervensystem, Trigeminus 538, Ganglienwurzeln 539, Acusticofacialis 541, Ganglion epibranchiale, Gehörbläschen 542, Vagus 544, Nervus lateralis, pneumogastricus 546, Ganglien 545.
- Pferd — *Equus caballus*.
- Pfille — *Phoxinus laevis*.
- Phagocyten der Lymphdrüsen des Hundes XXXIV, 220.
- Phasianus pictus, Farber der Federn, Grünfärbung XXXV, 80, 83.
- Phocaena communis, Glandula carotica, Vorkommen XL, 287, 291, Lage und Form 295.
- Pholas dactylus, Blut XXXVII, 79.
- Phoxinus laevis als Wirth für Echinorrhynchus Proteus XXXIX, 331.
- Phrynocephalus helioscopus, Nervensystem des Herzens XXXVI, 501.
- Phylline Hendorffii, zur Anatomie XXXIII, 163, Kopfscheiben 163, Cuticula und Muskeln 164, Hackenpaare 165 und Sehnen, Drüsen, Muskeln der Rindenschicht, Parenchymmuskeln 166, Mund, Darm 167, Gefässsystem, Gehirn 168, Ocellen 169, Parenchym, Hoden, Zellen, Mutter- und Tochterzellen 170, Vas deferens, Samenblasen, Vas efferens, Zelle, Cirrus 171, Ovarien, Zelle mit Kern, Dotterstöcke, Dotterelemente 172, Receptaculum seminis, Ootyp, Schalendrüsen, Eier, Bau 173, Fehlen des Laurer'schen Canales 174, Entwicklung 177.
- Phyllodromia germanica, Stinkdrüsen XXXVI, 577.
- Phylopneste hypolais, Spermatozoen XXXII, 422, Bewegung 452.
- sibilatrix, Spermatozoen XXXII, 425, Kopf 438.
- Pia mater, Zusammenhang mit den Gliazellen des Rückenmarkes XXXVIII, 277.
- Picus, Spermatozoen XXXII, 442, Kopf 449, Spitzenstück 451.
- Pigment der Cutis von Kröte und Salamander XXXIV, 28.
- des Integumentes von Argulus foliaceus XXXIII, 8.
- des Stirnauges von Argulus foliaceus XXXIII, 19, der Seitenaugen 31.
- der verästelten, intraepithelialen Pigmentzellen bei Salamandra maculata, Verhalten bei Kertheilung XXXVI, 408.
- gelbes in den sympathischen Ganglienzellen des Menschen XL, 38.
- körniges im Körper des Menschen XXXIV, 452, Abhängigkeit der Pigmentation von Alter und Beginn, Methode bei der Niere 460, Leber 462, Herz 463, Nebenniere 465, Samenbläschen 466, Nebenhoden, Hoden 468, Bedeutung 469, Ort der Bildung 470, Entstehung aus Fett- und Blutfarbstoff 482, Identität der einzelnen Pigmente 502.
- Pigmentation der Schleimbaut des Uterus beim Schaf XXXVI, 507.
- Pigmentfleck im Epithel von Calhanira XL, 176, mit glatten Epithelzellen 177.

- Pigmentierung des Haares nach Epilation XXXVI, 551.
- der Bowman'schen Drüsen der Regio olfactoria beim Menschen XXXIX, 648.
- Pigmentkörner des Haares nach Epilation XXXVI, 549.
- der sympathischen Ganglienzellen beim Pferd XL, 380.
- Pigmentmantel des Auges von Pecten XXXIII, 391, Pecten opercularis 391.
- Pilgermuschel — Pecten Jacobaeus. Pinna nobilis, Blut XXXVII, 84.
- Pirol — Oriolus.
- Pisces, Bau der Spermatogonien XXXVI, 225, 226.
- Pisidium fossarium Clasen als Wirth für Distomum echinatum Zed. XXXIX, 334.
- Pitta cyanoptera, Farbe der Federn, Beziehung der Schleimzelle zur Blaufärbung XXXV, 73, 75, 77.
- Placenta des Hundes, Entwicklung und Structur XXXIII, 419, Beziehung zur Uterinschleimhaut 423.
- bei Mensch und Affe, Bau XXXV, 1, über Gehalt an mütterlichem Blut in den intervillösen Räumen 1, Methode 13, bei Inuus nemestrinus 15, Verhalten der Blutgefäße des Uterus zur — 17, der Arterien und Venen 33, Begrenzung der placentaren Räume, Zottenepithel 34, Begrenzung der placentaren Räume 44, Decidua, Entstehung 47.
- , zur vergleichenden Anatomie XXXVII, 335 bei der weissen Ratte 338, Muskelspindelzelle 341, Decidualzelle, Monsterzelle 342, Verhalten der Uterindrüsen 344, foetales Epithel 345, Chorionzotten 346, Eihaut, Amnios 347, 348, Zellen 348, Zellen der serösen Membran 347, Allantois 348, Placentarherz, Bedeutung 351, intervillöse Scheidewände, Subplacenta 352, subglanduläre Zone 353.
- bei der Katze, Entwicklung und Structur XXXVII, 357, Veränderungen der Uterusschleimhaut 358 und Verhalten der Chorionzotten, Anlagerung des Eies 359, Drüsenzellen, Veränderung 360, 363, erste Anlage 361, Chorionzotten, Verhalten 361, 366, Syncytium, Bildung 363, Bedeutung 370, Epithelzelle des Chorion mit Blutkörperchen 365, 366, 369, Uterinmilch, Wesen 367, Blut zwischen Chorion und Uterinschleimhaut 368, Gefäße des Uterus, Verhalten zur — 369.
- Placentarherz der weissen Ratte, Bedeutung XXXVII, 351.
- Plaques, Peyer'sche, fixe Zelle XXXVIII, 544.
- Plasma des befruchteten Eies von Petromyzon Planeri XXXV, 473.
- von Leidyonella cordubensis XXXVIII, 309.
- Plasmahaut amöboider Zellen im Blut der Mollusken XXXVII, 67, Bedeutung.
- Plasmasaum der Spermatozoen bei Fischen, Raja clavata XXXVI, 232, Teleostei 240, Hecht 541.
- Platyercus Pennantii, Farbe der Federn, Beziehung der Schleimzellen zur Blaufärbung XXXV, 76.
- Plexus Auerbachs der Darmwand, Anastomose mit Meissner'schem Plexus XL, 396, 399.
- Meissner'scher des Darmes, Anastomose mit Auerbach'schem Plexus XL, 396, 399.
- Plica arteriae hepaticae, Anlage XL, 446, 469.
- duodenojejunalis, Anlage XL, 458.
- duodenomesocolica, Anlage XL, 459, Ursprung 469.
- jejunalis, Anlage XL, 460.
- mesocolicojejunalis, Anlage XL, 460, Ursprung 469.
- urogenitalis beim Menschen XXXIV, 275, 279.
- vasoenterica, Anlage XL, 451, Ursprung 469.
- Polarkörperchen der Spermato-genese der Maus XXXIV, 78.
- der Eizelle des Spulwurmes beim Hund XXXIV, 401, 403.
- Polkörperchen, Verhalten bei der Theilung der Samenmutterzelle von Ascaris megalcephala in den Vorstadien bei univalens XXXVI, 29 und bivalens 33, bei der II. Theilung 44.
- Polplasma des Eies von Petromyzon Planeri, Bildung XXXII, 626, Veränderung bei Befruchtung 635.
- der Eier von Tropidonotus natrix XXXIX, 235.
- Polycystidae XXXVIII, 18.
- Polypi, Umstülpung XXXV, 111, Deutung.
- , Mechanik des Trembley'schen

- Umstülpungsversuches XXXVII, 513, Methode.
- Polyspermie bei *Tropidonotus natrix* XXXIX, 271.
- Poromya granulata*, Blut, Farbe und Reaction XXXVII, 34, 44.
- — —, Blut XXXVII, 79.
- Prächordalplatte von *Anguis fragilis* XXXVI, 612, Verhalten der Zelle 614.
- Praemedulla* bei der Maus XXXIII, 120.
- Praeputium*, Bau der Oberhaut XXXVII, 165.
- — —, Anlage beim Menschen XL, 271.
- Prestandreae*, Reductionstheilung XL, 117.
- Primärfollikel des menschlichen Eies XXXI, 364, Entstehung 368, Wachstum 376, *Membrana propria* 384.
- Primordialei beim Menschen XXXI, 359, Entstehung 366, Vermehrung 372, Wachstum 376.
- vom Salamander XXXIV, 89 mit Nucleus und Nucleolus 91.
- beim Menschen XXXIV, 330 und Ursamenzelle 331.
- Pristiurus*, Entwicklung des Excretionssystems XXXIII, 476, *Pronephros* 476, *Ostium abdominale* 479, *Metanephros* 491, Nebenniere 498.
- Pronephros* der Selachier XXXIII, 472, *Scyllium canicula*, *Pristiurus*, Verschmelzen des *Ostium* 476, *Ostium abdominale* 478 bei *Scyllium*, *Pristiurus*, *Raja* 479, *Glomus* 480, Gefäße 481, Vergleich mit andern Cranioten 501, Vergleich mit *Mesonephros* 505.
- — —, Beziehung zur Anlage der Nebenniere beim Huhn XXXVIII, 503.
- Pronephros*gang der Selachier XXXIII, 482, Beziehung zum Ectoderm bei *Scyllium catulus* und *canicula*, *Raja* 485, Beziehung zur Cloake 486, Spaltung in Wolff'schen Körper und Müller'schen Gang 487, Vergleich mit anderen Cranioten 501, Erklärung für die Spaltung beim Männchen 503.
- Pronucleus*, Bildung bei Befruchtung XXXII, 78.
- von *Ascaris marginata*, Bedeutung, Zahl und Bau XXXII, 679.
- von *Ascaris megalocephala*, Bildung bei Befruchtung XXXI, 579, Karyokinese 582.
- der Eizelle des Spulwurmes des Hundes XXXIV, 403, Karyokinese 404.
- Prostata*, erste Anlage beim Menschen XXXVII, 642.
- Proteus anguineus*, Beiträge zur Anatomie XXXIV, 511, Verdauungstractus 511, Litteratur, Methode 514, Mundhöhle, Zunge 516, Epithel, Epithelzelle 518, Becherzelle 519, Gallerröhre 521, Wanderzelle 522 mit Einschlüssen 523, 524, Thränen canal 524, Drüsengänge der Schnauzenspitze 526, Schilddrüse 529, Oesophagus 536, Epithel, Becherzelle 532, Drüsen, secernierende Zelle 533, Muscularis, Magen 534, Muscularis, Epithel 535, Becherzelle, Fundusdrüsen 536, Schleimzellen und Labzelle 537, Mitteldarm 538, Epithel, Drüsen 539, Wanderzelle 540 mit Einschlüssen 541, Pigmentzellen 542, Enddarm, Drüsen, *Pancreas* 545, Körner 546, Ausführungsgang 547, Leber 548, Lymphsystem und Leberzellen 550, 555, Lymphzellen 551, Pigmentzellen 552, Gallencapillaren und Gallengänge 555, Länge 556, Epithelzellen 558, Stimmlade, Tracheobronchialraum, Larynx 561, Epithel 562, Kehlkopfmuskeln 563.
- — —, Beiträge zur Entwicklungsgeschichte XXXV, 121, äussere Formverhältnisse 123.
- — —, Entstehung der karyokinetischen Spindel in den Spermatozoen XXXVII, 583.
- Protoplasma von *Ascaris megalocephala*, Theilung bei Befruchtung XXXI, 588.
- des Dotterorganes bei *Lacerta*, peripherisches XL, 52, 60, und oberflächliches 53, 60.
- des Eies von *Ascaris marginata*, Beziehung zu Richtungskörperchen XXXII, 678.
- des Keimbläschens des menschlichen Eies XXXI, 361.
- von *Petromyzon Planeri*, Bedeutung XXXV, 474.
- der Becherzellen des Dünndarmepithels XXXI, 124.
- der Epithelzellen des Dünndarmepithels XXXI, 142.
- der fixen Zellen der Blutzellenbildenden Organe XXXVIII, 542.
- der Zellen der *Glandula carotica* beim Menschen XL, 312.

- der Protoplasmazellen der Duodenaldrüsen der Maus XL, 348.
 — der Protoplasmazellen der Rectumdrüsen der Maus XL, 326.
 Protoplasmafaserung der Epithelzellen XXXIX, 141 in den Cylinderzellen der Haut, der Epidermis eines Epithelioms 145, Verhalten bei Mitose des Kernes 148.
 Psammobia vespertina, Blut XXXVII, 81.
 Psammodromus, Spermatozoen, Geißel XXXVI, 274, Axenfaden 275.
 Pseudopodien amöboider Zellen im Blute der Mollusken XXXVII, 64.
 Pseudopus Pallasii XXXVIII, 203, Zungenepithel 203, Becherzelle, Anordnung, Bau 204, Kaninchen 205, Bedeutung, Secretbildung 209, Verhalten zu Netzwerk 212, interpapilläre Räume, Bedeutung 215, Literatur 216, Veränderung der Becherzellen nach intensiver Secretion 224 unter Anwendung von Pilocarpin, Veränderung des Kernes, Vacuolenbildung 226, Auftreten runder Zellen, Bedeutung 229.
 Pteropus, Uterusmuskulatur XXXVIII, 78.
 Pterostichus niger als Wirth für Gordius tolosanus Duj. XXXVII, 238.
 — von Ascaris Pterostichi XXXIX, 325.
 Pulpa der Milz, Beziehung zu arteriellen Endigungen XXXVIII, 374, Verhalten zu Malpighi'schen Körperchen 389, Beziehung zu Capillarscheiden 425.
 Punktsubstanz des Centralnervensystemes von Bythotrephes longimanus XXXVIII, 120.
 — des Centralnervensystemes von Leptodera hyalina XXXVIII, 125.
 — der Sehganglien von Sida cristallina XXXVIII, 103.
 Pygaera bucephala, Spermatogenese XXXIII, 199, Mitosen, Bedeutung 199, Spermatide, Lage und Bau, Centrosomen und Mitosomen 200, Verhalten zum Kern, zu Spermatisomen 201.
 Pyramidenbahn des Rückenmarkes der Maus XXXIII, 120.

Querder — Ammocoetes.

Rabe — Corvus.

- Rachentonsille, zur Entwicklung XXXII, 187, Literatur 187, 205, Recessus pharyngeus medius, Bedeutung und Beziehung zum Hypophysengang 193, Ursprung 199, Beziehung zum Ligamentum occipitopharyngeum 200, Vergleich mit Gaumentonsille 206, Verhalten der Blut- und Lymphgefäße 210.
 Räderthiere — Rotatoria.
 Raja, Entwicklung des Excretions-systemes XXXIII, 476, Pronephros, Ostium abdominale 479, Glomerulus 480, Pronephrosengang 485.
 — clavata, Bau der Spermatozoen XXXVI, 229, Kopf 230, Verbindungsstück mit Plasmaanhang 232, Geißel 233.
 Ramus communicans des Rückenmarkes bei Anguis fragilis XXXVIII, 161.
 Rana, Regeneration des Endothels der Hornhaut XXXIII, 155, Membrana Descemetii, Verhalten der Zellen und Kerne 159, Beziehung zur indirekten Kerntheilung 161.
 —, Methylenblautinction der motorischen Nervenendigungen im Muskel XXXV, 317, Beziehung der Nerven zu Muskelspindeln und Muskelknospen 316.
 —, Mucingehalt der Eileiter XXXVI, 351.
 —, Nervensystem des Herzens XXXVI, 491, Bidder'scher Knoten 491, Nervenzelle, Remak'scher und Ludwig'scher Knoten 493, Beziehung zu Nerven 494, Structur, Kern 495, Fortsätze 496, Richtung 498.
 —, Gliazelle des Rückenmarkes, faserartige Zellen XXXVIII, 279.
 — esculenta, Regeneration des Bindegewebes XXXVII, 446, Cutis, Cutislamelle 448, Bildung von Muskelfibrillen 457.
 — fusca, Regeneration der Schwanzspitze und Versuche über funktionelle Anpassung XXXVII, 397.
 —, Regeneration der Epidermis der Schwanzspitze XXXVII, 409, Bildung von Muskelfibrillen 460.
 — temporaria, Urmund, Spina bifida XXXIX, 353.
 Randschicht, lymphatische der Salamandrinleber, Kerntheilung durch indirekte Fragmentierung

- XXXVII, 375, Litteratur, Ringform der Kerne 381, Theilungsvorgang 383, Verhalten des Chromatin 387.
- Raptatores, Spermatozoen XXXII, 439.
- Ratte — *Mus rattus*.
- Wander- — *Mus decumanus*.
- Raubvögel — Raptatores.
- Raum, interpapillärer der Zungenpapillen von *Pseudopus Pallasii* XXXVIII, 215.
- Receptaculum seminis bei *Phylline Hendorffii* XXXIII, 172.
- Recessus pharyngeus medius, Bedeutung und Beziehung zum Hypophysengang XXXII, 193, Ursprung 197, Beziehung zum Ligamentum occipitopharyngeum 200.
- Regeneration der Schwanzspitze von *Rana fusca* und Versuche über funktionelle Anpassung XXXVII, 397.
- der Gewebe, zur — XXXVII, 406, Epidermis der Schwanzspitze bei Froschlaven 409, Triton taeniatus 412, *Rana fusca*, Verhalten der Epithelzellen 413 bei Triton cristatus, Siredon pisciformis, Ursprung 417, indirekte Kerntheilung 419, freie Kernbildung, Verhalten der Wanderzellen 421; — des Rückenmarkes 424 beim Frosch, Tritonenlarven, Erweiterung des Medullarrohrs und Verhalten der Zellen 425, Zerfall von Wanderzellen 427, amöboide Bewegung 426, mitotische Kerntheilung 427; — der Spinalganglien 428 und Nervenfasern 429, der Chorda dorsalis und des Knorpelstabes 430, Verhalten zwischen Epithel- und Chordazellen, Verhalten der Chordascheide, des Chordaepithels 431, Knorpelstab, Beziehung zur Chorda 435 bei Larven von Triton cristatus, Verhalten der Chordazellen 437 bei Triton taeniatus 438, Chordazelle, hyaline Umwandlung 442; — bei Bindegewebe, Cutis und Gefässen von *Rana esculenta*, Mitose der fixen Bindegewebszellen 446, Cutislamellen 447 bei *Rana esculenta*; — Verhalten der Capillaren 448 bei Siredon; — der quergestreiften Muskulatur 449 bei Siredon 451, Sarcoblast, Bedeutung 452, 454, Knospung 452, Umwandlung zu Muskelfasern 455 bei Siredon, Fibrillen, Bildung 456 bei *Rana esculenta* 457, Muskelsegmente, Bildung 458 bei *Rana fusca* 460, vorbereitende Rückbildung 461, blasige Entartung der Muskelfasern 462, Muskelzellenschläuche, Bedeutung 462, Sarcolyten 465, Spaltung der Muskelfasern, Bedeutung 468, Knospung der Muskelfasern 471, Sarcoblasten 472, Bedeutung der mitotischen Kerntheilung 477.
- Regenwurm — *Lumbricus*.
- Regio olfactoria, Schleimhaut beim Menschen XXXIX, 643, Drüse 644, Epithel des Ausführungsganges, Blase der Bowmann'schen Drüse 645, Drüsenepithelzelle 646.
- respiratoria der Nase des Menschen XXXIV, 199.
- Reifung des Eies von *Ascaris marginata* XXXII, 671.
- des Eies von *Petromyzon Planeri* XXXII, 613.
- Reptilia, Nebenkern des Pancreas XXXIII, 182, Form und Zahl 188.
- , Methylenblautinction der motorischen Nervenendigungen im Muskel XXXV, 305, 317.
- , Spermatozoen XXXVI, 271, Kopf 272, Geißel, Verbindungsstück 274, 276, Axenfaden 275, 276.
- , Befruchtung der Eier XXXIX, 215.
- , Drüsen des Zungengrundes, Ausführungsgang XL, 22.
- Reticulum der Lymphdrüsen des Hundes XXXIV, 208.
- Retina, Epithelreste XXXVIII, 24, Litteratur, bei Forellenembryonen 27, Amphibien, Triton taeniatus 29, Hühnerembryo 30, Säugern 32, Ammonoetes 35.
- des Menschen, nervöse Elemente XXXVIII, 317, Neuroepithelschicht (Schicht der Sehzellen), Stäbchen, Zapfen 319, subepitheliale Nervenzelle mit äusserem 320 und innerem Fortsatz 321, innere Körnerschicht 322, Ganglion retinae, grosse, sternförmige Zelle 324 mit äusserem Fortsatze (terminales Nervennetz) 325, innerem Fortsatz und Axencylinderfortsatz 326, kleine, sternförmige Zelle mit Kern, äusserem 328, innerem Fortsatz und Axencylinderfortsatz 329, bipolare Zelle mit äusserem 330 und innerem Fortsatz 332, Ganglion optici 333, Zelle mit Protoplasmafortsatz 334 und Axencylinderfortsatz 336,

- Spongioblastenschicht (mittlere, gangliöse Schicht) 337, grosse Nervenzelle 338 mit Fortsatz und Nervenplexus, kleine Nervenzelle 339.
- des Menschen, nervöse Elemente, II. Mittheilung XL, 29, Nervenfaserschicht, Bau der Axencylinder und Fibrillen, Axoplasma 29, Beziehung zur Fovea centralis 31, Methode 34, subepitheliale Nervenzelle, Verhalten 37.
- von Pecten XXXIII, 393, Entwicklung 396, Stäbchenzelle 393, spindelförmige Zelle, Stäbchen, Verbindung mit Nerv 395, Tapetum 397, Seitenerv 395.
- Rhachis der Eierstocksröhre bei *Ascaris megaloccephala* XXXVI, 52.
- der Hodenröhre von *Ascaris megaloccephala* XXXVI, 9, Anordnung der Rhachislamellen 10.
- Rhachislamellen der Hodenröhre von *Ascaris megaloccephala*, Anordnung XXXVI, 10.
- Richtungskörper des menschlichen Eies XXXI, 410.
- von *Ascaris megaloccephala*, Bildung XXXI, 572.
- , Bildung bei Befruchtung XXXII, 70.
- des Eies von *Petromyzon Plateri* XXXII, 636, 638.
- , Ausstossung bei *Ascaris marginata* XXXII, 675.
- bei Samenbildung der Lepidoptera XXXIII, 194, 195.
- des Eies von *Ascaris megaloccephala* XXXVI, 57.
- , zur Bedeutung der Ersatztheorie von Minot XXXVI, 78, van Beneden 79, Weismann 86; zur Geschichte 117, Theorie des — 126.
- der Gregarinen bei Sporenbildung und Conjugation, *Monocystis magna* und *agilis*, Bildung und Ausstossung XXXVII, 110.
- , Einfluss auf Veränderungen des Eies bei Follikelatresie XXXVII, 208.
- bei Cyclops, Schicksal XXXIX, 573, Beziehung zur A-zelle 574.
- zweiter, Bedeutung und die Parthenogenese XXXVI, 109.
- Richtungsspindel bei Samenbildung der Lepidoptera XXXIII, 194.
- im Ei von *Aulostomum gulo* XXXIII, 204, 212, Verhalten der Centrosomen 217.
- Riechcentrum bei *Sida cristallina* XXXVIII, 119.
- Riechhäärchen beim Menschen XXXIX, 638.
- Riechkolben von *Argulus foliaceus* XXXIII, 17, 39.
- Riechorgan von *Petromyzon Plateri*, Anlage XXXV, 518.
- Riesenschildkröte — *Chelonia midas*.
- Rind, Lymphbahnen der Hornhaut XXXII, 596.
- Rindensubstanz des Haares XXXI, 47.
- der Muskelfasern im Muskel von *Sepiola Rondaletii*, Spiralfasern XXXIX, 295.
- Ringelnatter — *Tropidonotus natrix*.
- Rippenknorpel, Schrumpfungerscheinungen XXXI, 315.
- Rippenquallen — *Ctenophora*.
- Rodentia, zur Entwicklung des Herzens, Lungenvenen, Einmündung XXXIII, 334.
- , Epithel der Harnblase XXXV, 402.
- , Bau der Muskulatur des Uterus XXXVIII, 52.
- , Verbindung zwischen Zahn und Alveole XXXVIII, 149, Alveodentalperiost.
- , zur Entwicklung der Zähne XXXIX, 525.
- , Papilla foliata XL, 18.
- Röhrenknochen des Menschen, über das Wachstum XXXIX, 151.
- Rotatoria XXXVIII, 21.
- Ruderplättchen der *Ctenophora* XL, 182, Cilien bei *Callianira* und *Cestus* 184, Flimmerzellen, Basalpolsterzelle bei *Callianira* 183, Verbindung unter einander durch Flimmerstreifen, Verbindungsfasern bei *Callianira* 185, *Euchlora*, *Hormiphora*, *Beroe* 186, Bedeutung 187.
- Rudimentärzähnen bei *Lepus cuniculus* XXXIX, 534, Schmelzorgan 536 bei *Sciurus* 540, *Cavia cobaya* 547, *Cricetus fumarius*, *Mus musculus* et *decumanus* 548.
- Rückencanal von *Gordius tolosanus* Duj., Verbindung mit Geschlechtsorganen XXXVII, 243.
- Rückenmark, Markscheiden, Entwicklung und Faserverlauf bei der Maus XXXIII, 71, graue Substanz und gelatinöse Formation 74, Rolando'sche Formation, Bedeutung 76,

Zelle 78, Nervenzellengruppe und Fasernetz 80, Myeloidkörner 80, 88 der Vorderhörner 81, Centrallappen 83, Clarke'sche Säule 85, solitäre Nervenzelle der Hinterhörner 87, weisse Substanz im Allgemeinen und Faserkaliber, Grossfaserbündel 89, Vorderwurzeln 94, Vorkommen von Wurzelfasern, vordere Commissur 96, Vorderstrang 98, Seitenstrang 102, Hinterwurzeln 108, mediale Partie 109, laterale Partie 110, Hinterstrang, Burdach'scher Strang 111, Goll'scher Strang und hintere Commissur 113, vorderer 114 und hinterer Theil 115, Beziehung zu sensitiven Nerven der hinteren Extremität 119, Pyramidenbahn, Praemedulla 120, Nuclei funiculi gracilis et cuneati 121.

— der Tritoneu, histologische Untersuchungen XXXIV, 131, Methode 132, Mitose 133, Bildung der Neuroblasten 136, Verhalten zu Dotterkörnern 137, Vacuolenbildung 138, Spongioblasten und Stützsubstanz, Bildung 139, Umbildung, Verhalten zur Limitans int. 140, Ganglienzellen, grosse 143, kleine 144, Hinterzellen 144, 147, Lymphoidzelle, Vorkommen 146, Topographie 147, Centralcanal, Schluss 148, Umwandlung bei erwachsenen Thieren, Veränderung der Zahl der Zellkerne 150, Längenwachsthum, Epithelzelle mit Axencylinder 151.

—, Verlauf der Hinterwurzeln XXXIV, 157, Material, Litteratur 159, mediale Gruppe 163, 165, Einstrahlungszone 165, 166, mittlere Gruppe, laterale Gruppe 163, Burdach'sche Stränge, Verlauf 165, Eintheilung und Beziehung zu Gliasepten- und Markscheidenentwicklung 166, Zeit 172, Endigung in Vorderhörnern 168, Beziehung zu Clarke'schen Säulen 169 und deren Zellen 170, Beziehung zur vorderen Commissur 171, zur hinteren Commissur 172; — bei der Katze 173, Kaninchen, Meerschweinchen 174, Maus, Mensch, Längsbündel 175, Verlauf und Zusammensetzung 177 bei der Katze 180, Kaninchen, Meerschweinchen 181, Hinterhörner 182, Bau, hintere Commissur 189 bei der Maus 185, Stützgewebe 187, 189, Substantia gelatinosa, Zelle 191 bei

Hund, Katze, Meerschweinchen 194, Maus 195.

—, Regeneration XXXVII, 424 bei Frosch- und Tritonenlarven, Erweiterung des Medullarrohres und Verhalten der Zellen 425, mitotische Kerntheilung 427, amöboide Bewegung 426, Zerfall von Wanderzellen 427.

—, vom Aufbau XXXVIII, 264, Histologisches über Neuroglia und Nervensubstanz, Methode 264, Neurogliastützgerüst, Neurogliasubstanz, Structur 271, Rückenmarksgliazelle 272, Verhalten der Fortsätze 273, Zusammenhang mit Gefässen 276, mit Pia und dem Epithel des Centralcanales 277 bei Amphibien 278, Gliazelle, Frosch, faserartige Zelle 279, Nervenzelle und Nerven, Bau und Beziehung, Strichelung 280, Kern, Fortsätze 281, Beziehung zu Kern 283, Nervengewebe, grauer und weisser Theil 284, Nervennetz, graues, Bedeutung, varicöse Fasern 288, Axencylinderscheide oder Axolemma 291.

Rückenmarksfaserung, vergleichend-anatomische Untersuchungen XXXVIII, 157 bei niederen Vertebraten, *Anguis fragilis*, weisse Substanz, graue Substanz 159, Ganglion spinale, Beziehung zu Nervenwurzeln, Ramus communicans anterior et posterior, Vorderwurzeln, Vordercommissur 160, Fasciculus medullae inferior s. ventralis, Hinterwurzeln, mediale und laterale Partie 162; bei Ringelnatter, Hinterwurzel, mediale, mittlere und laterale Partie, Anteroposteriores 164, hintere Commissur 165, Verlauf 166; bei höheren Vertebraten, Kaninchen, Katze, Fledermaus 170, Fasern aus Seitenstrang zum gekreuzten Vorderstrang, aus Hinterwurzeln, Anteroposteriores 171.

Ruminantia, Gesichtsdrüsen XXXI, 514.

—, Papilla vallata XL, 11.

Rumpf der Selachier, Mesodermsegmente und die Entwicklung des Excretionssystemes XXXIII, 461.

Rutililla phoenicura, Spermatozoen XXXII, 422, 423, Kopf 438.

Säule, Clarke'sche im Rückenmark der Maus XXXIII, 85.

— —, Beziehung zum Vorderhorn des Rückenmarkes XXXIV, 169, Zelle 170.

Säugethiere — Mammalia.

Säugethier-Mitose im histologischen Kurs XXXIII, 517, im Amnion der Ratte.

Saftbahnen des Knorpels, zur Kenntniss XXXVII, 492, Verhalten der Knorpelzelle 503.

Saftcanälchen des hyalinen Knorpels XXXI, 324.

Saftlücken der Milz XXXVIII, 394.

Saitenwürmer — Gordiacei.

Salamander, Erd- — Salamandra.

— —, gefleckter — Salamandra atra.

— —, gefleckter — Salamandra maculata.

— Wasser- — Triton cristatus.

Salamanderlarven, Theilung der Wanderzellen der Capillaren, Beziehung zwischen Kern- und Zelltheilung XXXV, 275.

Salamandra, Nebenkern in den Malpighischen Gefäßen XXXIII, 182.

— —, Giftdrüse und Beziehung zur Haut XXXIV, 11, Vorkommen 12, Methode 13.

— —, zur Histologie des Hodens XXXIV, 58, Entwicklung des Mittelstückes und des Flossensaumes der Spermatozoen 61, Verhalten des Kernes, Nebenkörper, Bau und Bedeutung 62, Ursprung 67, Schwanzfaden, Bildung und Ursprung 66, Nebenkern in den Samenzellen 87, Ursprung und Beziehung zum Kern, Vergleich mit Centrosomen 88, Schicksal, Regeneration des Hodens 89, Inhalt der Hodencanälchen, Primordialeier mit Nucleus und Nucleolus, Follikelzelle, Nucleus und Nucleolus 91, indifferente Körnerzelle, Bedeutung 92, Umbildung zu Spermato gonien 95, polymorphe Kerne, Bedeutung 92, Stellung der Spermatozoen in den Hodencanälchen 99.

— —, amitotische Kerntheilung im Blasenepithel XXXIV, 437, durchlöcherter Kerne der Epithelzelle 438, Eigenthümlichkeit der Färbung 442, Zelltheilung 445, Deutung 447.

— —, Pigmentzellen der Larve XXXV, 275, Methode 276, Bau 277, Be-

ziehung zwischen Kern- und Zelltheilung 279.

— —, Spermatozoen, undulierende Membran XXXVI, 363, Endstücke der Geißel.

— —, mitotische Theilung der Leucocyten XXXVII, 253, Kern 257.

— —, Entstehung der karyokinetischen Spindel in den Spermatoocyten XXXVII, 570, Bildung der kleinen Spindel 573, Centralspindel 580.

— —, Attractionssphären und Centralkörper in den Gewebszellen XXXVII, 709.

— —, zur Mechanik der Zelltheilung und über die Entstehung der Kernspindel in Gewebszellen XXXVII, 715, 722, Spaltung der Chromosomen.

— —, Verhalten der Kernmembran in den Spermatoocyten XXXVII, 731, 739.

— —, atra, Beiträge zur Entwicklungsgeschichte XXXVI, 469, Methode, Uterus, Schleimhaut 472, Epithel mit Wimperzellen und Leucocyten 473, rothe Blutzellen 474, Bedeutung als Sauerstoffträger 477.

— —, maculata, weitere Beobachtungen über die Entwicklung der Spermatozomen XXXI, 71, Methode 75, Spermato genese, äussere Erkennungsmöglichkeit 76, Spermatozoenköpfe, Bildung 78, Verhalten der Spermatozidenkerne, Elasticität 79, Verhalten des Chromatin, Scheide aus Kernmembran 81, Mittelstück, Entstehung 82, Schwanzfaden 83, 84, Verhalten zur Kernmembran 83, Köpfe, Verhalten zu Safranin 85, Anordnung in den Cysten 86, Auftreten chromatischer Körner, Cystenwand 87.

— —, kolbenförmige Kernkörperchen in der Magenschleimhaut XXXII, 474.

— —, Theilung rother Blutzellen XXXII, 603, Methode 604, ruhender Kern 605, chromatische Substanz 606, enger Knäuel, loser Knäuel 607, Sternfigur, Längsspaltung der Fäden 608, Verhalten der Zellmembran 609, Metakinesis 610.

— —, Nebenkern des Pancreas XXXIII, 188.

— —, Theilung der verästelten, intraepithelialen Pigmentzellen XXXVI, 404, 407, Verhalten des Pigmentes 408.

- , zur Entwicklungsgeschichte XXXVI, 480.
- Salamandrinen, Kerntheilung durch indirekte Fragmentierung in der lymphatischen Randschicht der Leber XXXVII, 375, Litteratur, Ringform der Kerne 381, Verhalten des Chromatins 387, Theilungsvorgang 383.
- Samenbildung in der Zwitterdrüse von *Limax agrestis* XXXIII, 125.
- bei *Paludina vivipara* und Zelltheilung bei *Helix pomatia* XXXIII, 134.
- der Lepidoptera XXXIII, 192.
- bei *Ascaris megalocephala* XXXVI, 2.
- bei Nematoden, Vergleich mit Eibildung XXXVI, 1, 58, Keimzone 58, Wachstumszone 60, Theilzone 61.
- Samenbläschen beim Menschen, körniges Pigment XXXIV, 466.
- , erste Anlage beim Menschen XXXVII, 641.
- Samenblase von *Bilharzia hämatobia* XXXI, 218, Cuticula 220.
- von *Phylline Hendorffii* XXXIII, 171.
- von *Distomum cylindraceum* Zed. XXXVI, 181.
- Samencanälchen, Anordnung der Spermatozoiden XXXI, 282.
- beim Menschen, Anlage XXXIV, 321.
- Samenfäden bei Spermatogenese von *Gryllotalpa vulgaris* Latr., Bedeutung XL, 105.
- Samenkern der Nematoden, Verhalten zu Eikern bei Befruchtung XXXVI, 100.
- Samenkörperchen von *Gordius tolosanus* Duj. XXXIV, 263.
- , Bau bei *Ascaris megalocephala univalens* et *bivalens* XXXVI, 49.
- Samenleiter bei *Ascaris megalocephala*, Inhalt XXXVI, 47, Samen-zellträger.
- Samentasche bei *Pachydrilus sphagnetorum* Vejdowsky var. *glandulosus* XXXI, 493.
- bei *Argulus foliaceus* XXXIII, 34.
- Samenzellträger bei *Ascaris megalocephala* XXXVI, 47.
- Sammelgefäß des linsenförmigen Gefäßkörpers im Auge der Cyprinoiden XL, 425.
- Sammtmuschel — *Pectunculus*.
- Sarcoblast*, Bedeutung XXXVII, 452, 454, Umwandlung zu Muskelfasern 455 bei *Siredon* 472, mitotische Kerntheilung 477.
- Sarcolemma* der Muskelfasern der Cephalopoden XXXIX, 293.
- der Muskelfasern von *Beroe* XL, 207.
- Sarcolyten*, Bedeutung XXXVII, 465.
- Sarcom*, über granuläre Einschlüsse in Geschwulstzellen XXXIX, 140.
- Sarcoplasma* des Flossenmuskels vom Seepferdchen XXXII, 239.
- quergestreifter Muskelfasern XXXVII, 654.
- der Cephalopoden mit Sarcosomen XXXIX, 305, 306.
- Sarcosomen* der Cephalopoden XXXIX, 306.
- Saugnapf* bei *Distomum cylindraceum* Zed. XXXVI, 176.
- Saugnapffüße* von *Argulus foliaceus* XXXIII, 40, 46.
- Saugscheibe* von *Argulus foliaceus* XXXIII, 3.
- Saugwürmer* — Trematoda.
- Saugwurm* — *Gyrodactylus elegans*.
- Saurii*, Nervensystem des Herzens XXXVI, 501.
- Scansores*, Spermatozoen XXXII, 439.
- Scarabaeus laticollis*, quergestreifte Muskelfasern, Scheibenzerfall XXXVII, 665.
- Sciurus*, zur Entwicklung der Zähne XXXIX, 542, Rudimentärzähnechen, Zahnleiste und Schmelzorgan 544 im Oberkiefer 546.
- Scolopax major*, Farbe der Federn, Körnchengehalt des braunen Pigmentes und Beziehung zu Pigmentzellen XXXV, 70.
- Scopophorus montanus*, Drüsen XXXI, 527.
- *scoparius*, Drüsen XXXI, 527.
- Scrotum*, Bau der Oberhaut XXXVII, 165.
- Scyllium canicula*, Entwicklung des Excretionssystemes XXXIII, 476, 476, Pronephros 476, Ostium abdominale 479.
- *catulus*, Pronephrosang, Beziehung zu Ectoderm XXXIII, 485.
- Secretbildung der Becherzelle der Zungenpapille von *Pseudopus Palasii* XXXVIII, 209, Verhalten zum Netzwerk 212.
- Secretblase der Fermentzelle der

- Mitteldrüse von *Carcinus maenas* XXXIX, 7.
- Secretion der Epithelmuskelzellen von *Hydra fusca* XXXV, 327.
- Secundärknötchen der lymphatischen Organe, Bedeutung XXXVIII, 573.
- Seepferdchen — *Hippocampus*.
- Segmentalbläschen der Selachier XXXVIII, 474.
- Segmentalgang der Selachier XXXIII, 482.
- Segmentalorgan bei *Stercutus niveus* n. sp. XXXI, 485.
- bei *Pachydrilus sphagnetorum* Vajdowsky var. *glandulosus* XXXI, 491.
- Segmentalplatte, Bildung bei *Petromyzon Planeri* XXXV, 500.
- Segmentation bei *Petromyzon Planeri* XXXV, 502.
- Sehcommissuren bei *Sida cristallina* XXXVIII, 104.
- bei *Bythotrephes longimanus* XXXVIII, 122.
- Sehfasern bei *Bythotrephes longimanus* XXXVIII, 120.
- Seitencanalsystem bei *Trichodina* sp. XXXIII, 406, Aufnahme von Lymphzellen 408.
- Seitenstrang des Rückenmarkes der Maus XXXIII, 102.
- des Rückenmarkes höherer Vertebraten, Beziehung zum Vorderstrang XXXVIII, 291.
- Selachii, der Ursprung der mesenchymatischen Gewebe XXXII, 378, Bildungsgewebe 380, Zelle, Entstehung im Rumpfe 382 aus dem Splanchnopleur der Ursegmente 383, Urnierencanälchen, Bildung 385, Extremitätenleisten 388.
- , über die Mesodermsegmente des Rumpfes und die Entwicklung des Excretionssystemes XXXIII, 461, 472, Pronephros 472, Segmentalbläschen 474, Verschmelzen der Ostien 476, Ostium abdominale 478, Glomus, Bedeutung 480, Gefässe 481, Pronephrosgang (Urnierengang, Segmentalgang) 482, Beziehung zu Ectoderm 485, zur Cloake 486, Spaltung in Wolff'schen Körper und Müller'schen Gang 487, Mesonephros (Urnier) 488, Beziehung zur Abschnürung der Myotome 490, Nephrotom, Vermehrung 493 und Entwicklung 496, Nebenniere 498, Verhalten der Spinalnerven 499, interrenales Organ 500, Vergleich mit den übrigen Cranioten, Pronephros und Gang 501, Müller'scher Gang, Entstehung bei Amnioten 502, Vornierengang, Erklärung für Spaltung beim Männchen 503, Mesonephros 504, Vergleich mit Pronephros 505, Urgeschichte des Excretionsorganes der Cranioten 506.
- , Bau der Spermatozoen XXXVI, 225, 226.
- Sepia, Spiralfasern XXXIX, 301.
- Sepiola Rondaletii, Rindensubstanz der Muskelfasern im Mantel XXXIX, 295, Körner 309.
- Septum des Auges von *Pecten* XXXIII, 392.
- pellucidum des Hirnbalkens beim Menschen, Anlage XXXVII, 318.
- spurium des Herzens beim Kaninchen XXXIII, 306, 312, 327.
- Sialia, Farbe der Federn, Blaukehlchentypus XXXV, 78.
- Sialis lutaria, als Wirth für *Gordius tolosanus* Duj. XXXIX, 329, für *Mermis sialidis* 329, *Distomum sialidis* 334.
- Sida cristallina*, centrales Nervensystem XXXVIII, 101, Bauchmark 102, Opticus, Sehganglion, Punktsubstanz 103, Sehcommissuren 104, Umhüllungsmembran 105, Gehirn, Markballen 106, Schlundcommissur, Centralkörper 107, Bedeutung 108, Riechcentrum, Nerven der Antennen 109, retroösophageales Ganglion 110, 113, Oberlippenganglion 110, Mandibelganglion 111, Bauchmark, unterer Theil, Brustnerven 112.
- Simia troglodytes*, Uterusmuskulatur XXXVIII, 83.
- Singvögel — Passeres.
- Sinnesborsten von *Argulus foliaceus* XXXIII, 14, Nervenendigung 16.
- Sinneskörper der Ctenophora XL, 180, Meridianstreifen, Polplatte 180, Otolithen mit Kern bei *Beroë*, *Hormiphora*, *Callianira* 181, Wimperrinne, Epithelzelle bei *Hormiphora* und *Beroë*, Ruderplättchen, Flimmerzelle 182, Basalpolsterzelle bei *Callianira* 183.
- Sinnesorgane von *Argulus foliaceus* XXXIII, 14.
- von *Petromyzon Planeri*, Anlage XXXV, 505.
- Sinus lateralis des Uterus beim

- Hund, Verhalten zum Chorionepithel XXXIII, 433.
 — urogenitalis des Menschen XXXVI, 153.
 — des Menschen, Entwicklung XXXVII, 628.
 — venosus beim Kaninchen, zur Entwicklung XXXIII, 297, 302, 304, 314.
 Sinushaare, zur Lehre vom Bau der — XXXV, 52 bei der Katze 58, Hund, Blutgehalt 59 Kaninchen 59, 60, Gegensatz zwischen Kolben- und Papillenhaar 60.
 Siphonisata, zur Histologie des Blutes XXXVII, 79.
 Siredon pisciformis, Spermatozoen XXXVI, 258, undulierende Membran 261, Endstück der Geißel 263.
 — —, Regeneration der Epidermis der Schwanzspitzen XXXVII, 417, der Capillaren 448, quergestreifte Muskulatur 451, Sarcoblast, Umwandlung zur Muskelfaser 455.
 Sitta, Spermatozoen XXXII, 424, Kopf 438.
 — europea, Spermatozoen XXXII, 426.
 Solemya togata, Blut XXXVII, 82.
 Solen legumen, Blut, Farbe und Reaction XXXVII, 43, farbige Blutkörperchen 47.
 — —, Blut XXXVII, 80.
 — siliqua, Blut XXXVII, 80.
 — vagina, Blut XXXVII, 80.
 Solenocurtus strigillatus, Blut XXXVII, 80.
 Solitärfollikel, fixe Zellen XXXVIII, 544.
 Somateria mollissima, Farbe der Federn, Grünfärbung XXXV, 80.
 Sonnenthierchen — Actinophrys.
 Sorex, Lymphgefäße der Milz XXXVIII, 396.
 Spaces Haversian, Verhalten XXXIX, 188, Resorption 193.
 Spalt, pericithaler des Dotterorganes bei Lacerta, Umgebung XL, 76, 82, Dottersackepithel 80.
 —, subgerminaler des Dotterorganes der Wirbelthiere XL, 40.
 Spaltraum, intercolumnarer der quergestreiften Muskelfasern XXXVII, 682.
 — perivitelliner des menschlichen Eies XXXI, 403.
 Spaltsystem im Knochenmark der Taube XXXVIII, 568.
 Spatium interseptale des Herzens vom Kaninchen XXXIII, 307.
 — intervallulare des Herzens beim Kaninchen XXXIII, 307.
 Specht — Picus.
 — Blau- — Sitta europaea.
 Sperling — Passer.
 Spermakern von Anguis fragilis XXXIX, 223, Conjugation mit weiblichem Vorkern 224.
 — von Tropidonotus natrix XXXIX, 250, Bildung aus Spermatozoenkopf 254.
 Spermakopf von Petromyzon Planeri XXXII, 640 mit Strahlung, Umwandlung 641.
 Spermatiden von Salamandra maculosa, Verhalten des Kernes XXXI, 79, Elasticität, Verhalten des Chromatins, Scheide mit Kernmembran 81, Mittelstück, Entstehung 82, Schwanzfaden 83, 84, Verhalten zur Kernmembran 83, Anordnung in den Cysten 86, Auftreten chromatischer Körner, Cystenwand 87.
 — von Alcyonella fungosa XXXI, 335, Nebenkern und Kern 336, Eindringen in Eizellen 338.
 — von Limax agrestis, Bildung XXXIII, 131, Spitzenknopf, Beziehung zum Nebenkern 132.
 —, Lage und Bau bei Sphinx Euphorbiae und Pygaera bucephala XXXIII, 200.
 — der Maus mit Kern und Nebenkern XXXIV, 79, Umwandlung zu Spermatozoen 81.
 — der Maus im Hoden XXXIV, 436.
 Spermatoblast, Bedeutung XXXI, 244, Beziehung zur Sertolischen Zelle 244, Theilungserscheinungen 253, körnige Ausscheidungen 266, Bildung 270, Stoffanordnung.
 — von Ebners bei der Maus, Kern XXXIV, 69, Kernkörperchen 71.
 Spermatocysten von Alcyonella fungosa, Umbildung aus Spermato gonien XXXI, 335.
 Spermatocyten von Paludina vivipara und Helix pomatia, letzte Theilung XXXIII, 139.
 — im Hoden der Lepidoptera, Theilung XXXIII, 193, Veränderung der Centrosomen 198.
 — der Maus, Bau und Bedeutung XXXIV, 75, Nebenkern 76, Theilung, Verhalten des Kernes 77 nach Heterotypie, Polarkörperchen und

- achromatische Spindel 78, Verhalten bei Degeneration 100.
- von Salamandra, Verhalten der Kernmembran bei Theilung XXXVII, 731, 739.
- , Entstehung der karyokinetischen Spindel bei Salamandra XXXVII, 570, erste Generation, Kern 571, Archoplasma, Centrosom 572, Bildung der kleinen Spindel, Fibrillenbildung 576, Centralspindel 580; bei *Proteus anguineus* 583, Kern, Centrosoma 584.
- Spermatogemme der Maus, Bedeutung XXXIV, 80.
- Spermatogenese bei Salamandra maculosa, äussere Erkennungsmöglichkeit am Hoden XXXI, 76.
- der Säuger XXXI, 236, Literatur und Synonymik, Material, Methode 246, Litteraturübersicht 250.
- der Säuger, Nachtrag XXXI, 424.
- der Zwitterdrüse von *Limax agrestis* XXXIII, 125, 131.
- bei *Pygaera bucephala* und *Sphinx Euphorbiae* XXXIII, 199.
- bei *Gordius tolosanus* Duj. XXXIV, 263.
- bei *Gryllotalpa vulg.* Latr. XL, 102, Methode, Ursamenzelle, Samenmutterzelle, Samentochterzelle, Samenfäden, Wortbedeutung, Idant und Ide, Bedeutung 105, Reductionstheilung, Bedeutung; I. Periode der Theilung der Ursamenzelle (Spermatogonie) 106, Verhalten des Chromatin 107; II. Periode der Ruhe und des Wachsthumes der Samenmutterzelle 109; III. Periode der Reifung und letzten Theilung, Verhalten der Chromosomen 110, Reductionstheilung 112; IV. Periode der Umwandlung der Spermatide in Spermatozoen 114.
- Spermatogonie von *Aleyonella fungosa* XXXI, 335, Umbildung zu Spermatocyten.
- der Maus, Bau und Bedeutung XXXIV, 74, Beziehung zu indifferenten Keimzellen bei Salamander 95.
- von *Astacus fluviatilis*, ruhende XXXIX, 504, Karyokinese 521.
- Spermatologie, Beiträge zur — XXXI, 334 bei *Aleyonella fungosa* 334, Spermatogonie, Umwandlung zu Spermatocyst, Spermatide 335, Nebenkern und Kern 336, Eindringen in Eizellen 338.
- Spermatomerit von *Petromyzon Planeri* XXXII, 641.
- Spermatosom von Salamandra maculosa, Entwicklung XXXI, 71, Methode 75.
- der Lepidoptera, Verhalten zum Kern XXXIII, 201.
- Spermatozoen von Salamandra maculosa, Bildung der Köpfe XXXI, 78, Verhalten zu Safranin 85.
- von *Ascaris megaloccephala*, Verhalten bei Befruchtung XXXI, 576, Pronucleus 579, Karyokinese 582, Theilung des Protoplasma 588.
- , Untersuchungen über die Structur XXXII, 401; — der Vögel, Material 406, Singvögel, *Fringilla caelebs*, Geissel 408, Spiralsaum 411, Axenfaden 413 mit Endknöpfchen und Elementarfibrillen 417; *Ligurinus chloris*, *Muscicapa grisola* 422, 423, *Fringilla cannabina*, *Ruticilla phoeniceura* 422, 423, *Phyllopneuste hypoleis*, *Alauda arvensis*, *Chelidon urbica* 422, *Certhia*, *Sylvia*, *Hirundo*, *Sitta*, *Parus Ammon*, *Emberiza citrinella*, *Sperling*, *Hirundo rustica* 424, *Sylvia atricapella*, *Phyllopneuste sibilatrix* 425, *Sitta europaea*, *Sylvia risoria*, isolierte Spiralen, Bedeutung 426, fibrilläre Structur des Axenfadens bei *Motacilla flava*, *Sylvia hortensis* 427, bei *Oriolus*, *Lanius*, *Corvus* 429, *Corvus frugilegus*, fibrilläre Structur 430 *Caprimulgus europaeus*, Entwicklung 431, Bildung des Spiralsauces 432 bei *Muscicapa grisola*, *Oriolus*, *Lanius* 433 aus Cytoplasma, Structur des Kopfes beim Buchfink 435, *Fringilla cannabina*, *Ligurinus chloris*, *Muscicapa grisola*, *Ruticilla phoeniceura* 437, *Sylvia*, *Sitta*, *Oriolus*, *Lanius*, *Corvus*, *Phyllopneuste* 438, *Natatores*, *Grallatores*, *Gallinacei*, *Columbinae*, *Scansores*, *Raptatores*, *Caprimulgus europaeus*, Geissel 439, Querstreifung des Verbindungsstückes bei *Larus*, *Milvus*, *Cuculus*, *Truthahn* 440, *Ente*, *Vanellus cristatus* 441, *Caprimulgus*, *Picus*, *Gallina* 442, Axenfaden, fibrilläre Structur bei *Tadoma vulpanser*, *Cuculus canorus*, *Truthahn*, *Caprimulgus europaeus* 443, *Haushuhn* 444, *Columba domestica* 446, Bau des Kopfes bei *Laridae*, *Milvus*, *Va-*

- nellus, *Larus canens* 448, *Cuculus*, *Picus*, *Columba*, *Gallus*, *Tadoma*, *Anas* 449, Spitzenstück bei Truthahn, *Picus*, *Cuculus*, Riesenformen bei *Tadoma*, *Larus ridibundus*, Truthahn 451, Bewegung bei *Oriolus*, *Larus*, *Sylvia atricapella*, Buchfink, *Emberiza citrinella*, *Sylvia cinerea et risoria*, *Ligurinus chloris*, *Phyllopneuste hypolais*, *Chelidon urbica*, *Lanius collurio* 452, 455, Haushuhn, *Tadoma*, *Vanellus* 455, Bedeutung des Axenfadens für die Bewegung 456.
- von *Salamandra*, Entwicklung des Mittelstückes und Flossensaumes XXXIV, 61, Verhalten des Kernes, Nebenkörper, Bau und Bedeutung 62, Ursprung 67, Schwanzfaden, Bedeutung und Ursprung, Stellung in den Hodencanälchen 99.
- der Maus, Umbildung aus Spermatide XXXIV, 81, Verhalten des Nucleus und Nucleolus, Kopfkappe, Bildung, Spitzenknopf und Schwanzkappe 81, 82, Verhalten des Nebenkernes 83, Beziehung zu Schwanzfaden 84, Schwanzscheide 86.
- im Hoden der Maus XXXIV, 433.
- , Untersuchungen über die Structur XXXVI, 225, bei Fischen, Amphibien und Reptilien; Fischeu 226, *Selachiern*, *Raja clavata* 229, Kopf 230, Verbindungsstück 231 mit Protoplasmaanhang 232, Geißel 233, *Ganoidei*, Stör 235, Kopf, Verbindungsstück, Geißel 236, Teleostei, Verbindungsstück 237, Geißel 238 bei *Acerina cernua*, *Perca fluviatilis*, *Leuciscus* 239, Plasmasaum 240 bei Hecht 241, Axenfaden, fibrilläre Structur bei Hecht 242, *Perca* und *Leuciscus*, Geißel bei *Zoarces viviparus*, Kopf 243 bei *Perca*, *Acerina*, Hecht, Karpfen, *Zoarces* 244, *Clupea harengus* 248; Amphibien, *Anura*, *Alytes obstetricans*, *Pelobates fuscus* 250, Geißel 251, 254, Kopf 253 *Urodela* 254, *Triton marmoratus*, Kopf 255, 256 *Triton cristatus*, Kopf 257, 258, Verbindungsstück bei Axolotl, *Triton cristatus*, Geißel, Axenfaden 260, Nebenfaden 261, 265 bei *Triton helveticus*, undulierende Membran bei *Salamandra*, Axolotl, *Triton marmoratus* 261, Endstück 262 bei *Salamandra*, Axolotl, Tritonen 263, feiner Bau 265, Axenfaden, feinerer Bau 268, Randfaden, fibrilläre Structur 269; Reptilia 271, Kopf bei *Vipera berus* 272, *Anguis fragilis* 272, Geißel bei *Psammmodromus*, *Anguis*, *Testudo*, *Lacerta*, Verbindungsstück 274, Axenfaden bei *Testudo*, *Lacerta*, *Psammmodromus* 275, Geißel bei *Ophidiern*, *Vipera*, *Coluber*, Verbindungsstück 276 und Axenfaden 278, Geißel bei *Vipera berus* 279, Axenfaden, fibrilläre Structur bei *Lacerta*, *Anguis*, *Testudo mauritanica* 280.
- von *Tropidonotus natrix*, Beziehung zur Bildung des Spermakernes XXXIX, 254, Beziehung zum Nebenspermakern 262, 265.
- Spermatozoid der Säuger, Kopfbildung XXXI, 278, Schwanzfaden, Bildung 276.
- , Eindringen in die Eizelle des Spulwurmes vom Hund XXXIV, 401.
- Sphères attractives*, Bedeutung bei Befruchtung von *Ascaris megalocephala* XXXI, 585.
- , Beziehung zur Befruchtung XXXII, 31.
- Sphinx Euphorbiae*, Spermatogenese XXXIII, 199, Mitosom, Bedeutung 199, Spermatide, Lage und Bau, Centrosom und Mitosom 200, Beziehung zu Kern und Spermatosom 201.
- Spina bifida* und Urmund XXXIX, 353 bei *Rana temporaria*.
- Spindel, achromatische der Spermatoocyten der Maus bei Theilung, Bedeutung XXXIV, 78.
- karyokinetische, zur Lehre von der Entstehung XXXVII, 569 in der Spermatoocyte des Salamanders 570, erste Generation, Kern 571, Archoplasma, Centrosomen 572, Bildung der kleinen Spindel 573, Fibrillenbildung 576, Centralspindel 580 bei *Proteus anguineus*, Spermatoocyten 583, Kern, Centrosom 584.
- Spindelfaser der Hodenzelle von *Paludina vivipara* und *Helix pomatia* XXXIII, 134, 142.
- Spiralfaden der Tentakel der *Ctenophora* XL, 198, Beziehung zu Centralfaden, Bedeutung 202.
- Spiralfaser der Nervenzelle des *Symphicus* der Amphibien XXXV, 410.

- bei Octopus und Sepia XXXIX, 301, Zusammensetzung aus Fibrillen 302, Körnchenstructur 303.
- Spiralsaum der Spermatoocyten der Vögel XXXII, 410, Bildung 432.
- Spirembildung im Hoden der Maus XXXIV, 435.
- Spitzenfortsatz des Stratum radiatum des Cornu Ammonis XXXIX, 617.
- Spitzhornschnecke — Limnaea.
- Spitzmaus — Sorex.
- Planchonpleur von Torpedo ocellata, Beziehung zur Bildung der mesenchymatischen Gewebe XXXII, 383.
- Spongioblasten des Rückenmarkes der Tritonen, XXXIV, 139, Umbildung 140.
- Spongioblastenschicht der Retina des Menschen XXXVIII, 337, grosse Nervenzelle 338 mit Fortsatz und Nervenplexus, kleine Nervenzelle 339.
- Sporen bei Monocystis magna und agilis XXXVII, 114, Clepsidine Blattarium in Epithelzellen 122, Klossia 130.
- Sporenbildung und Conjugation bei Gregarinen XXXVII, 99.
- Sporocysten bei Monocystis magna und agilis XXXVII, 113, bei Klossia 129.
- Sporogonie der Gregarinen, Monocystis magna und agilis XXXVII, 112, mitotische Theilung 113, Klossia 129.
- Sporophor bei Monocystis magna und agilis XXXVII, 113, bei Klossia 130.
- Sporozoea XXXVIII, 17.
- Sprute — Sepia.
- Spulwurm — Ascaris.
- des Hundes — Ascaris marginata.
- der Katze — Ascaris mystax.
- Submucosa des Magens beim Alligator XXXIV, 4 mit Wanderzellen 5.
- des Uterus bei Maus, Existenz XXXVIII, 70.
- Subplacenta der weissen Ratte XXXVII, 352.
- Substanz, graue des Rückenmarkes der Maus XXXIII, 74.
- — des Hirnbalkens, Aenderung XXXVII, 11 bei Affe, Schwein, Kaninchen 13, untere Fläche 14.
- — des Rückenmarkes bei Anguis fragilis XXXVIII, 159.
- weisse des Rückenmarkes der Maus, Faser caliber XXXIII, 89.
- — des Gehirns von Petromyzon Planeri XXXV, 531.
- — des Rückenmarkes bei Anguis fragilis XXXVIII, 158.
- Substantia gelatinosa des Rückenmarkes XXXIV, 191, Zellen 191 bei Hund, Katze, Meerschweinchen 194, Maus 195.
- — Rolandi beim Kaninchen, Entwicklung XXXI, 594, Litteratur, bei Schwein, Tiger 608, Meerschweinchen, Maus 609.
- Sulcus intertubularis des Knochens, Bildung XXXIX, 183.
- Sumpfschildkröte — Emys.
- Sumpfschnecke — Paludina.
- Sumpfvogel — Grattatores.
- Sus, Substantia gelatinosa Rolandi, Entwicklung XXXI, 608.
- , Lymphbahnen der Hornhaut XXXII, 596.
- , Anlage der Sexualdrüse XXXIV, 317.
- , Hardersche Drüsen XXXVI, 197.
- , zur feineren Anatomie des Hirnbalkens XXXVII, 1, Balkenbündel, Auftreten 6, Verhalten der subepithelialen Zellschicht 7, graue Substanz, Aenderung 13.
- , Uterusmuskulatur XXXVIII, 74.
- , Stratum granulosum des Cornu Ammonis, Nervenzelle XXXIX, 622, Axencylinder 623.
- , Papilla foliata XL, 19.
- Sylvia, Spermatozoen XXXII, 424, Kopf 438.
- atricapella, Spermatozoen XXXII, 425, Bewegung 452.
- cinerea, Spermatozoen, Bewegung XXXII, 452.
- hortensis, Spermatozoen, Fibrillen-Bildung des Axenfadens XXXII, 427.
- risoria, Spermatozoen XXXII, 426, isolierte Spirale, Bedeutung, Bewegung 452.
- Syncytium bei Anlage der Placenta der Katze Bildung XXXVII, 363, Bedeutung 370, 376.
- Schaben — Blattidae.
- Schaf — Ovis aries.
- Schalenbildung bei Distomum cylindraceum Zed. XXXVI, 187.
- Schalendrüsenhöhle bei Bilharzia haematobia XXXI, 203, Epithel 210.
- Scheide Henle'sche der Nervenfasern, Verhalten zu Nervenend-

- körperchen der männlichen Harnröhre XXXI, 28.
- , Beziehung zur Kapsel der Spinalganglienzelle beim Pferde XXXI, 227.
- Mauthner'sche der Nerven-faser von Neunauge XXXI, 101.
- Schwann'sche, Verhalten der Kerne bei Nervendegeneration XL, 409 beim Kaninchen, Methode 412, Mitose der Kerne 414.
- Scheidengewölbe beim Menschen, I. Anlage XXXVII, 648.
- Scheltopusik — Pseudopus Pallasii.
- Schicht, epitheliale des Blastoderm von *Torpedo ocellata* XXXIX, 58.
- Henle'sche der inneren Wurzelscheide des Haares, Bedeutung XXXI, 47, 48.
- des Haares, Verhalten nach Epilation XXXVI, 540.
- Huxley'sche des Haares nach Epilation XXXVI, 544.
- mittlere gangliöse der Retina des Menschen XXXVIII, 337.
- Neuroepithel- der Retina des Menschen XXXVIII, 319, Stäbchen und Zapfen 319, subepitheliale Nervenzelle mit äusserem 320 und innerem Fortsatz 321.
- der Sehzelle der Retina des Menschen XXXVIII, 319.
- Subcuticular- bei *Distomum cylindraceum* Zed., Zelle XXXVI, 175.
- Schildkäfer — Cassida.
- Schildkröte — Chelonia.
- Schillerechse — Chamaeleon.
- Schlammpeitzger — *Cobitis barbatula*.
- Schlangen — Ophidii.
- Schleihe — *Tinca vulgaris*.
- Schleimhaut des Dünndarmes, Verbreitung der glatten Muskulatur XXXI, 15, Litteratur 15, Methode 17, Muscularis mucosae 18, Verhalten zu Lieberkühn'schen Drüsen, zu Zellen 19, Epithel 20.
- , besonders die Drüsen der Oberkieferhöhle XXXII, 222, Methode und Material 222, Becherzellen 223, Faltenbildung 224, 225, Bedeutung der Eiweissdrüsen, Epithel 227.
- des Magens von *Salamandra maculata*, kolbenförmige Kernkörperchen XXXII, 474.
- des Magendarmcanales, Beziehung des Epithels zum Epithel der schlauchförmigen Drüsen XXXIII, 216.
- des Uterus vom Hund, Bau XXXIII, 421, Drüsen und Krypten 421, Veränderung durch Gravidität und Beziehung zur Placenta 423, zum foetalen Ectoderm 425, zu Chorionzotten 427.
- der Nase, Schwellkörper XXXIV, 197 beim Menschen, Regio respiratoria, Muskeln 199, elastische Fasern 202, Venen 204, Circulation 205.
- der Nase des Menschen, Mucin-gehalt XXXVI, 348.
- des Uterus von *Salamandra atra*, Bau XXXVI, 472, Epithel mit Wimperzelle und Leucocyten 473, rothe Blutzelle 474, Bedeutung als Sauerstoffträger, Zerreißung des Epithels und Bedeutung 477.
- des Uterus vom Schaf, Pigmentation XXXVI, 507, Litteratur, Karunkel, Färbung 510, Beziehung zum Epithel 511.
- des Uterus der Katze, Veränderungen bei Entwicklung der Placenta XXXVII, 358, Blut zwischen — und Chorion 368.
- der Regio olfactoria beim Menschen XXXIX, 643, Drüsen 644, Epithel des Ausführungsganges 645, Drüsenepithelzelle 646, Blase der Bowman'schen Drüse 645.
- der Papilla vallata mit Drüsenöffnungen beim Pferd XL, 12.
- des Magendarmcanales beim Hund, Beziehung der Drüsenzellen der Rectumdrüse zum Epithel XL, 337.
- des Magendarmcanales, Beziehung des Oberflächenepithels zu dem Epithel der schlauchförmigen Drüsen XL, 325, Verhalten bei Fehlen der Drüsen bei Triton 357, Epithel, Protoplasmazelle und Becherzelle 359, Epithel der Kämme und Fornices, Verhalten der Schleimzellen und des Schleimes 360, Mitose der Kerne 365, Ersatzzelle 366 mit Bildung subepithelialer Sprossen, Beziehung zu Schleimzellen 368, Mitose 369.
- des Darmes, Nervenendigung XL, 390, Verhalten der Nerven 399.
- Schleimschicht der Epidermis von Kröte und Salamander XXXIV, 14, Zelle mit Fortsätzen 15.
- Schlund von *Argulus foliaceus* XXXIII, 23.

- Schlundcommissur von *Sida cristallina* XXXVIII, 107, 109.
 — von *Daphnia sima* XXXVIII, 116.
 — von *Bythotrephes longimanus* XXXVIII, 123.
 Schlundkopf bei *Distomum cylindraceum* Zed. XXXVI, 177.
 Schlundnervensystem von *Mesenchytraeus setosus* nov. sp. XXXI, 496.
 — von *Chalicodoma muraria* XXXV, 148.
 Schlundrohr von *Chalicodoma muraria*, Anlage XXXV, 148.
 Schmelz, Verhalten zur Sternzelle der Pulpa XXXVIII, 472.
 Schmelzleiste beim Menschen, Anlage XXXVIII, 451.
 Schmelzmembran, Beziehung zum Zahnbein XXXVIII, 471.
 Schmelzorgan der Rudimentärzähne von *Lepus cuniculus* XXXIX, 536, *Sciurus* 544.
 — der Edentata, Ausbildung im Embryo und die Persistenz seines Keimrandes beim erwachsenen Thier XL, 133.
 — der Edentata, Rückbildung XL, 141, Dentin 142, Keimrand 144, Persistenz durch Epithelwucherung, Zelle, Verhalten zur Pulpazelle 153, Beziehung zur Dentinbildung 155.
 Schmelzpulpa beim Menschen XXXVIII, 456, Eindringen der Capillaren 459, Beziehung zur Sternzelle 472.
 Schmelzschuppe — *Ganoidea*.
 Schmetterlinge — *Lepidoptera*.
 Schnabelthier — *Ornithorhynchus*.
 Schnauzenspitze von *Proteus anguineus*, Drüsengänge XXXIV, 526.
 Schnecken — *Gasteropoda*.
 Schnepfe — *Scolopax*.
 Schwalbe — *Hirundo*.
 — Rauch- — *Hirundo rustica*.
 Schwanzdarm bei *Rana temporaria* XXXIX, 404.
 Schwanzfaden der Spermatiden von *Salamandramaculata*, Bildung XXXI, 83, 84.
 — der Spermatozoen von *Salamandra*, Bedeutung und Ursprung XXXIV, 66 bei der Maus, Beziehung zum Nebenkern 84.
 Schwanzflosse von *Argulus foliaceus* XXXIII, 45.
 Schwanzkappe bei *Torpedo ocellata* XXXIX, 67, Ausbildung 76, Vereinigung 86.
 Schwanzknopf von *Torpedo ocellata*, Bildung XXXIX, 87.
 Schwanzscheide der Spermatozoen der Maus XXXIV, 86.
 Schwanzspitze von *Rana fusca*, Regeneration, Versuche über functionelle Anpassung XXXVII, 397.
 —, Regeneration der Epidermis bei Froschlärven XXXVII, 409, Triton taeniatus 412, Verhalten der Epithelzelle 413 bei Triton cristatus, Siredon pisciformis, Ursprung, indirekte Kerntheilung der Epithelzelle 419, freie Kernbildung, Fehlen, Wanderzelle, Verhalten 421.
 Schwein — *Sus*.
 Schweinsaffe — *Inuus nemertinus*.
 Schwellkörper der Nasenschleimhaut, zur Anatomie XXXIV, 197 beim Menschen, Regio respiratoria, Muskulatur 199, elastische Fasern 202, Venen 204, Circulation 205.
 — der Glans beim Menschen, Anlage XL, 273.
 Schwimmfüsse von *Argulus foliaceus* XXXIII, 43.
 Schwimmvögel — *Natatores*.
 Stachelroche — *Raja clavata*.
 Stäbchen der Retina von *Pecten* XXXIII, 394, Verbindung mit Nerv 395.
 — der Retina des Menschen XXXVIII, 319.
 — der Neuroepithelzelle des Geruchsorganes vom Neunauge XXXVIII, 8.
 Steckmuschel — *Pinna*.
 Steigbügel, I. Anlage XL, 519, Beziehung zur Labyrinthkapsel 521, zum Reichert'schen Knorpel 523.
 Stelzvögel — *Grallatores*.
Stereocerus niveus nov. sp. XXXI, 483, Borste, Kopporus 484, Segmentalorgan, Blut, Herzkörper 485, Darm 486, Chloragogenzellen, Septaldrüse 487, Geschlechtsorgan 489.
 Stichling — *Gasterosteus aculeatus*.
 Stiel des Auges von *Pecten* XXXIII, 391.
 Stieglitz — *Fringilla carduelis*.
 Stigmen von *Chalicodoma muraria*, Anlage XXXV, 149.
 Stimmlade von *Proteus anguineus* XXXIV, 560.
 Stirnauge von *Argulus foliaceus* XXXIII, 18, bei Larve, Pigment 19.
 Stör — *Acipenser sturio*.
 Stomata der Becherzellen der Zungenpapillen von *Anguis fragilis* XXXVIII, 185.

Strang, Burdach'scher des Rückenmarkes der Maus XXXIII, 111.

— des Rückenmarkes, Verlauf XXXIV, 165, Eintheilung und Beziehung zu Gliasepten 166, Zeit 172.

— Gollischer des Rückenmarkes der Maus, hintere und vordere Commissur XXXIII, 113, 114, Beziehung zu sensiblen Nerven der hinteren Extremität 119.

Stratum corneum der Oberhaut des Menschen, Verhalten bei Verhornung XXXIX, 587, Einwirkung der Verdauung 591.

— granulosum des Cornu Ammonis, Nervenzelle bei Kaninchen und Schwein XXXIX, 622, Fortsätze zur Rindenoberfläche, zu Hilus, Axencylinder bei Kaninchen, Schwein, Verhalten der Fortsätze zum Stratum lucidum Honegger's 623, zur Zona reticularis Honegger's 624.

— intermedium der Zahnpapille der Edentata XL, 140.

— lacunosum des Cornu Ammonis XXXIX, 619.

— lucidum der Oberhaut des Menschen, Verhalten bei Verhornung XXXIX, 587, Einwirkung der Verdauung 591.

— Honeggers, Beziehung zum Stratum granulosum des Cornu Ammonis XXXIX, 623.

— medullare medium des Cornu Ammonis XXXIX, 619.

— moleculare des Cornu Ammonis XXXIX, 619, Nervenzelle mit Fortsätzen 620.

— oriens des Cornu Ammonis XXXIX, 610, Nervenzelle 613, polymorphe mit aufsteigendem Axencylinder 614.

— radiatum des Cornu Ammonis, Spitzenfortsatz XXXIX, 617.

Strix, Fasern in der Medulla oblongata XXXI, 62, 63, Nervus hypoglossus, Commissur.

Stroma, Verbindung mit Dünndarmepithel XXXI, 144, Fehlen der Grenzmembran 145.

— der Keimdrüse des Menschen XXXIV, 275.

Stützfasern des Bindegewebes der Ctenophora, Beroe XL, 216, Callianira 223.

Stützgewebe des Rückenmarkes XXXIV, 189.

Stützlameille von Hydra fusca XXXV, 336, Entoderm 359.

Stützsubstanz des Rückenmarkes bei Tritonen XXXIV, 139, Verhalten zur Limitans interna.

Tadonavulpanser, Spermatozoen XXXII, 443, Kopf 449, Riesenform 451, Axenfaden, Bewegung 455.

Tanagra lutea, Farbe der Federn, Grünfärbung XXXV, 81.

Tapes geographica, Blut XXXVII, 81.

Tapetum der Retina des Auges von Pecten XXXIII, 397.

Tapir, Papilla foliata XL, 19.

Taschenkrebs, kleiner — Carcinus maenas.

Tastorgan von Mermis ingrescens Duj. XL, 506.

Tastpapillen von Cestus, Epithel XL, 171.

Taube — Columba.

Teichhuhn — Gallinula chloropus.

Teichmuschel — Anodonta.

Teleostei, Bau der Spermatozoen XXXVI, 237, Verbindungsstück 237, Geißel 238, Plasmasaum 240, Axenfaden, fibrilläre Structur 242, Geißel, Kopf 243.

—, Terata mesodidyma und katedidyma XXXIX, 413.

—, Beziehung des Urmundes zur Gastrulation XXXIX, 468.

Tellermuschel — Tellina.

Tellerqualle — Aequorea.

Tellina baltica, Blut, Hämkry-stalle XXXVII, 80.

— donacina, Blut XXXVII, 80.

— exigua, Blut XXXVII, 80.

— planeta, Blut, Farbe und Reaction XXXVII, 43, 80.

Teloblast bei Petromyzon Planeri XXXV, 481, 483, Vergleich mit der Sichel der Gnathostomen 496, Telocyten 493.

Telocyten bei Petromyzon Planeri XXXV, 493.

Tendo navalis, Blut XXXVII, 79.

Tensor tympani, Beziehung zur Gaumenaponeurose XXXII, 530.

Tentakel von Sima, Klebzelle XXXIII, 399.

— der Ctenophora XL, 188, Basis bei Hormiphora, Mittelstreifen 189, Veränderung, Nebententakel, Bil-

- dung, Axenstrang des Mittelstreifens, Muskelfasern, Auftreten 190 und Wachstum 191, Mittelstreifen bei Callianira, Muskelanlage 193, Seitenstreifen, Epithel, Drüsenzellen 194, Muskelfasern, Perimysium, Axenstrang 195 bei Callianira, Hormiphora, Nebententakel 196, Tentakelepithel bei Callianira und Hormiphora 197 aus Greifzelle und interstitiellem Gewebe, Spiralfaden 198 und Centrifaden 199, gegenseitige Beziehung, Veränderung der Drüsenzelle der Nebententakel 200, Kern, Spiralfaden, Bildung 201, Greifzellen, Bedeutung, Veränderung des Tentakelepithels bei Hormiphora 202.
- Tentorium von Chalicodoma muraria, Anlage XXXV, 153.
- Terata mesodidyma und katedidyma der Teleostei XXXIX, 413.
- Testudo, Spermatozoen, Geißel XXXVI, 274, Axenfaden 275.
- graeca, Harder'sche Drüse, Vergleich mit Thränendrüsen XXXVI, 195.
- mauritanica, Spermatozoen, Axenfaden XXXVI, 280.
- Theca der Becherzellen des Dünndarmepithels XXXI, 123 mit Nerv, Inhalt 127 bei Maus und Triton 128, Hund, Mensch 129.
- folliculi, Veränderung bei Atrophie XXXVII, 223.
- Theilung der Deckzelle bei Hydra fusca XXXV, 329.
- der Samenmutterzelle von Ascaris megaloccephala, Vorstadien bei univalens XXXVI, 23 und bivalens 30, Verlauf der I. — bei univalens 37, bivalens 40.
- der A-zellen der Copepoden XXXIX, 576.
- amitotische bei Befruchtung XXXII, 38.
- der Leucoblasten XXXVIII, 557.
- im Hoden von Gryllotalpa vulg. Latr. XL, 115, Zelle und Kern, Bedeutung.
- direkte der Epithelzellen der Harnblase XXXI, 398.
- heterotypische der Copepoden XXXIX, 561, 575.
- indirekte der Epithelzellen der Giftdrüse von Kröte und Salamander XXXIV, 45.
- der Leucocyten des Knochenmarkes der Vögel XXXV, 450.
- der Leucoblasten der Milz XXXVIII, 434.
- mitotische der Sporogonien bei Monocystis magna und agilis XXXVII, 113.
- der Leucocyten XXXVII, 249 bei Salamandra 253, Kern 257.
- der fixen Zellen der Blutzellenbildenden Organe XXXVIII, 539.
- der Erythroblasten XXXVIII, 553.
- Reductions- bei Cyclops XXXIX, 564.
- bei Spermatogenese von Gryllotalpa vulg. Latr., Bedeutung XL, 105 bei Copepoden, Eucheta, Calamus 113, Hydrophilus piceus, Dytiscus marginalis, Crustacea, Astacus fluviatilis, Branchipus stagnalis, Heterocope saliens, Canthocamptus, Plectandreae, Calamus gracilis 117, Mollusken, Helix pomatia, Limax cinereo-niger 118.
- Thionin zum Nachweis des Mucins in den thierischen Geweben XXXVI, 310, Einfluss auf hyalinen Knorpel, Gallertgewebe des Nabelstranges 355, Mastzellen 357.
- Thracia papyracea, Blut XXXVII, 79.
- Thränen canal von Proteus anguineus XXXIV, 528.
- Tibia des Huhns, Atrophie der Fettzellen des Knochenmarkes XXXIII, 249.
- Tiger — Felis tigris.
- Tina vulgaris, linsenförmiger Gefäßkörper im Auge, Gefäßverlauf XL, 420.
- Tonsille, Epithelzelle bei Pferd, Schaf, Fischotter XL, 23.
- Torpedo ocellata, Ursprung der mesenchymatischen Gewebe XXXII, 378, Bildungsgewebe 380, Zelle 383, Entstehung im Rumpfe 382, aus Splanchnopleur der Ursegmente 383, Urnierenanalnehen, Bildung 385, Extremitätenleisten, Bildung 388.
- zur Entwicklungsgeschichte XXXIX, 56, Gastrulation 57, epitheliale Schicht des Blastoderm 58, Dotterentoderm, gastrales Entoderm 59, 64, Beziehung zu Dotterzellen der Amphibien 61, Blastocoelblase, Bedeutung 62, Embryonalschild 63, Mesoderm, Ent-

- stehung 63, 65, Mesodermbildungs-
rinne 66, 72, Medullarplatte, Schwanz-
kappe 67, Chorda, Anlage 67, 69,
Ausbildung 67, Darmcanal, Anlage
68, Weiterbildung der Medullar-
platte 70, Schwanzkappe 76, Ver-
einigung 86, Mesoderm, Differentia-
tion 76, Mesodermstreifen 79, Darm-
anlage, Medullarrohr, Schluss, Herz,
erste Anlage, Blastocoelknopf 80,
Canalis neurentericus, After, Anlage
86, Schwanzknopf, Bildung 87, Kopf,
Organanlage, Kiemenspalte, Durch-
bruch, Extremitätenleiste, Schwanz,
Wachstum, Dottergefäße 91, Oeso-
phagus 92.
- Trabeculae carnea* des Herzens
von Kaninchen XXXIII, 322.
- Tracheen von *Chalicodoma muraria*,
Anlage XXXV, 151.
- Tracheobronchialraum von *Pro-
teus anguineus* XXXIV, 561.
- Trematoden XXXIX, 331.
- Trichodina* sp. im Seitencanal von
Cottus gobio XXXIII, 402, Bau,
Haftapparat, Mund 403, Kern 404,
Entoplasma 404, Entoplasma mit
Vacuolen 405, Kernballen, Aufnahme
von Lymphzellen 409, Seitencanal-
system 406, Einwanderung von
Lymphzellen in dasselbe und in die
Epidermis 407, Nahrungsvacuolen
410.
- Trichonymphidae* XXXVIII, 19.
- Trichosoma Bombinatoris* n. sp.
in *Bombinator igneus* XXXIX, 327.
- Trichteranlage der Micronephri-
dien von *Megascolides australis* XL,
558.
- Trigonum Lieutaudii*, Entwickelung
beim Menschen XXXVII, 630.
- Triton, secernierende Zelle des Dün-
ndarmepithels XXXI, 122, Becher-
zelle 122, Inhalt der Theka 128,
Uebergang aus Epithelzelle 132,
Bourrelet, Bedeutung 140, Wander-
zelle im Epithel 142.
- , Rückenmark, histologische Un-
tersuchungen XXXIV, 131, Methode
132, Mitose 133, Bildung der Neuro-
blasten 136, Verhalten zu Dotter-
körnern 137, Vacuolenbildung 138,
Spongioblasten und Stützsubstanz,
Bildung 139, Umbildung, Verhalten
zur *Limitans interna* 140, Ganglien-
zelle, grosse 143, kleine 144, Lym-
phoidzelle, Vorkommen 146, Hinter-
zelle 144, 147, Topographie 147,
Centralkanal, Schluss 148, Umwan-
- delung beim erwachsenen Thier,
Verminderung der Zahl der Zell-
kerne 150, Längenwachsthum, Epi-
thelzelle mit Axencylinder 151.
- , Nervensystem des Herzens
XXXVI, 501.
- , Schleimhaut des Magendarm-
canales, Verhalten bei Fehlen der
Drüsen XL, 357, Epithel, Proto-
plasmazelle, Becherzelle 359, Epi-
thel der Fornices und Kämme 360,
Verhalten der Schleimzellen und
des Schleimes 361, Mitose der Kerne
365, Ersatzzelle 366 mit Bildung
subepithelialer Sprossen, Beziehung
zu Schleimzellen 368, Mitose 369.
- *cristatus*, Spermatozoen, Kopf
XXXVI, 257, 258, Verbindungsstück,
Axenfaden 258, Geißel 260.
- , Nervensystem des Herzens
XXXVI, 501.
- , Regeneration der Epider-
mis der Schwanzspitze XXXVII, 417,
der Chorda dorsalis bei Larven, Ver-
halten der Chordazelle 437, hyaline
Umwandelung 442.
- *helveticus*, Spermatozoen, Ne-
benfaden XXXVI, 261, 265.
- *marmoratus*, Spermatozoen,
Kopf XXXVI, 255 mit Spiess 256,
undulierende Membran 261, End-
stück der Geißeln 263.
- *taeniatus*, Regeneration der
Epidermis der Schwanzspitze
XXXVII, 412, Verhalten der Epi-
thelzellen 413, indirekte Kernthei-
lung der Chorda dorsalis 438, hya-
line Umwandlung der Chordazellen
442.
- , Epithelreste am Opticus
und auf der Retina XXXVIII, 30,
Borgmeister'scher Zapfen.
- Tritonlarven, Regeneration des
Rückenmarkes XXXVII, 424.
- Trogmuschel — *Mactra*.
- Tropidonotus natrix*, Blutbildung
aus dem Entoderm XXXVI, 516,
517, Entodermzelle 518.
- , Rückenmarksfaserung
XXXVIII, 164, Hinterwurzeln, me-
diale, mittlere und laterale Partie,
Anteroposteriores 164, hintere Com-
missur 165, Vergleich mit *Anguis
fragilis* 166.
- , Befruchtung der Eier
XXXIX, 230, Keimscheibe mit Dot-
ter 231, Furchungskern, Bedeutung,
Nebenspermakern 234, Polplasma,
Theilung 235, Grube der Keim-

scheibe mit Kern 237, Kern mit Strahlung 239, Verhalten der Dotterhaut 245, männlicher und weiblicher Vorkern, Spermakern, Bedeutung 250, Bildung aus Spermatozoenkopf 254, Conjugation, Furchungskern 255, 259, Nebenspermakern, Ursprung aus Spermatozoen 267, Polyspermie 271, Nebenspermakern, späteres Schicksal 274.

Truthahn — *Meleagris gallopavo*.
Trutta fario, Embryo, Epithelreste am Opticus und auf der Retina XXXVIII, 27, Borgmeister'scher Zapfen 29.

Tuben, zur Kenntniss der Muskulatur und ihrer Fascien XXXII, 479, Methode 480, Skelett 482, Beziehung zum Fibrocartilago basilaris 484, zur Fossa scaphoidea 488, Muskel 491, *Musculus palatopharyngeus* (*palatosalpingopharyngeus*) 492, *Ligg. salpingopharyngea*, Bedeutung 497, *Ligg. salpingo-palatinum anticum*, *posticum* und *medium* 499, Beziehung zum Muskel 502, *Musculus petrosalpingostaphylinus* 514, Ursprung 515, Verlauf 522, Gaumenaponeurose, Bedeutung 524, Beziehung zum Tensor tympani 530, Fascien 537 des Pharynx 541, Bedeutung 538, interior et exterior 545, Beziehung zur Halsfascie 550, *Lig. laterale pharyngis* 552, inneres Blatt 554, mittleres, Beziehung zur membranösen Tube 560, äusseres Blatt 572, Beziehung zum *Musculus buccinator* 580.

—, Verhalten der Oeffnungen zu der Längs- und Ringmuskulatur des Uterus bei der Maus XXXVIII, 66, Kalb, Schaf 75.

Tubularia larynx, histologische Elemente XXXV, 364, Ganglienzelle 364, Nesselzelle 365.

Tunica propria der Drüsen des Magens vom Alligator XXXIV, 9.

— der Speicheldrüsen XXXIX, 607.

Uebergangsgewebe bei Ossification des Unterkiefers XXXII, 305.

Unke — *Bombinator igneus*.

Unio pictorum, Blut XXXVII, 82.

Unterkiefer, Verknöcherung oder die Metaplasiefrage XXXII, 266,

Historisches 270, beim Frosch 285, Material und Methode 290 beim Schaf, erste Anlage des Gelenk- und Knochenfortsatzes, Meckel'scher Knorpel, erste Anlage 294, Grundsubstanz, Entstehung 296, Verhalten zu Knochenbildungszellen, Aufnahme der Kalksalze, Beziehung der Gefässe zur Ossification 297, Karyokinese 298, weitere Entwicklung beim Embryo von 5½ cm 302, Uebergangsgewebe 305, Knorpelkern; erstes Auftreten im Gelenkfortsatz 309, appositionelles und expansives Wachsthum 311, osteoider Knorpel, Bedeutung 312, Auftreten der Osteoblasten, Knorpelcanäle, Bildung und Bedeutung 313, Knorpelkern im Kronenfortsatz 315, weitere Entwicklung im Gelenkfortsatz 318, weitere Verkalkung 319, Ossificationslinien, Auftreten, Knorpelzelle, Anordnung 321, Schrumpfung 323, chondrogene Schicht, Bedeutung 324, Verknöcherung des Kronenfortsatzes 325, Markhöhle, Bildung 326, Resorption des Knorpels 328, neoplastische Knochenbildung 326, Osteoblasten und Beziehung zu Blutgefässen 327, Ursprung 328, Osteoblasten, Natur und Thätigkeit 335, Bildungszelle, Wesen 336, Polständigkeit der Kerne, Bildung der Knochengrundsubstanz 338, Gelenkfortsatz, Verknöcherung 339 nach perichondralem und enchondralem Typus, Grenzlamelle 341, Ossificationslinie, Auftreten und Bildung 350, Uebergang der Knorpelgrundsubstanz 353, Verhalten der Gefässe, Chondrolyse, Bedeutung 354, Schicksal der Knorpelzelle und Herkunft der Markzelle 360.

Unterlippe von *Argulus foliaceus* XXXIII, 23.

Urdarm bei *Petromyzon Planeri* XXXV, 481.

— bei *Lacerta*, Beziehung zu Lecithoderm des Dotterorganes XL, 57.

Ureier von *Ascaris megaloccephala* XXXVI, 52, Kern 56.

Ureter, Anlage bei *Crocodylus biporcatus* XXXVI, 445, *Chelonia midas* 451.

Urethra, zur Entwicklung beim Menschen XL, 264.

Urhöhle bei *Chalicodoma muraria* XXXV, 143.

Urmund und *Spina bifida* XXXIX,

- 353, Studien bei *Rana temporaria* mit Ueberfruchtung 353, a) Furchungsprozess, Störungen 356, b) monströse Entwicklung von Eiern mit theilweiser Untheilbarkeit des Dotters, Vacuolen im Dotter 358, c) Störungen im Gastrulationsprocess mit mangelhaftem Verschluss des Urmundes 363, α) totale Urmundspalte 364, Schwanzknospen, Verhalten 365, Hemmungsmissbildungen 371, Beziehung zur Anlage des Nervensystemes und Vergleich mit Wirbelthieren 372, β) partielle Urmundspalte in der Rückengegend 375, Verhalten des Schwanzendes 384, 403, Keimring, Bedeutung und Verhalten 385, Beziehung zur Afterbildung 386, Verhalten der Afterrinne 403, Schwanzfaden 404, γ) partielle Urmundspalte in der Aftergegend 409, Vergleich mit Missbildungen anderer Wirbelthierklassen 412, mit *Terata mesodidyma* und *katadidyma* der Knochenfische 413, Verschiedenheit in Folge der verschiedenen Herzanlage und Entwicklung 416 bei Amphibien 418 mit Spaltbildungen bei den drei höheren Wirbelthierklassen, *Spina bifida* 418; Urmundtheorie 424, Entstehung des mittleren Keimblattes 429, Gastrulation bei Amphibien 430, Conrescenztheorie 432, Beziehung zur Urmundtheorie bei *Amphioxus* und Amphibien 437, bei meroblastischen Eiern 442; Schwanz- und Afterbildung der Wirbelthiere 452, Aftermembran, Afterstrang 454, Entodermstrang des Schwanzes 457, Coelomtheorie 459, Chordacanal 462, Urmund, Beziehung zu Missbildungen 464, zur Gastrulation 467 bei Knochenfischen 468, Ursprung mehrerer Anlagen aus einfacher Eizelle 476.
- Urmundspalte, partielle bei *Rana temporaria* XXXIX, 375 in der Rückengegend 375, Aftergegend 409. — totale bei *Rana temporaria* XXXIX, 364, Beziehung zur Anlage des Nervensystemes und Vergleich mit Vertebraten 372.
- Urnenstierchen — *Trichodina*.
- Urnieren des Menschen, Entwicklung XXXIV, 273, 277, 286, Rückbildung 289, Sexualtheil 294, Epithel 273. — des Menschen, zur Entwicklung XXXVI, 138, Litteratur 145, Urnierenleiste 150, *Venae cardinales* 151, Urnierengänge 152, Sinus urogenitalis, Cloake 153, Nierengang, Wolff'scher Gang 154, Verhalten des Ectoderm zum Urnierengang 155, Urnierencanälchen und Malpighi'sche Körperchen 160, Beziehung zur Malpighi'schen Kapsel 161, Glomerulus 162, Urnierenblastem oder intermediäre Zellenmasse 166, Bedeutung des Peritonealepithels 164, Lacunenbildung 168.
- , Anlage und Entwicklung bei Crocodilen und Schildkröten, *Crocodylus biporcatus* XXXVI, 411, 416, 421, *Chelonia midas* 437, Beziehung zur bleibenden Niere 451.
- der Selachier — *Mesonephros*.
- Urnierenblastem beim Menschen XXXVI, 166.
- Urnierenkanälchen bei *Torpedo ocellata*, Bildung XXXII, 385.
- beim Menschen XXXIV, 287, 290, Epithel 296.
- beim Menschen XXXVI, 160, Beziehung zur Malpighi'schen Kapsel 164.
- Urnierengang der Selachier, primärer XXXIII, 482.
- beim Menschen XXXVI, 152, Beziehung zu Ectoderm 156.
- Urnierenleiste beim Menschen XXXIV, 286.
- bei Entwicklung der Urniere des Menschen XXXVI, 150.
- Urogenitalapparat, Entwicklung bei Crocodilen und Schildkröten XXXVI, 410, Vorniere 411 und Urniere 416, Litteratur bei *Crocodylus biporcatus*, Gefäßknäuel oder Glomus 421, Anlage 423, Veränderungen 430, Umbildung zu Glomerulus 432, Rückbildung 436, Peritonealtrichter (Nephrostom), Anlage 421, 426, Drüsenepithel 424, Epithel des Vornierenganges 425, Peritonealtrichter II. Ordnung 430, Vorniere und Urniere bei *Chelonia midas*, Glomus 437, Bildung des Glomerulus 439, Drüseneschläuche 437, Peritonealtrichter 438, bleibende Niere (Metanephros), Litteratur 442 bei *Crocodylus biporcatus*, Nierengang, Anlage 445, Ureter 445, Harnblase 449, *Chelonia midas* 450, Beziehung zur Urniere, Ureter 451, Müller'scher Gang, Litteratur 452, Anlage bei *Crocodylus biporcatus*,

- Ostium abdominale tubae, Anlage 456 bei *Chelonia midas* 458.
- Urogenitalsystem des Menschen, Entwicklung XXXIV, 269, Methode 271.
- des Menschen, Berichtigung XXXV, 104, Beitrag von Janošik, von Nagel 107.
- Ursegmente von *Torpedo ocellata*, Beziehung zur Bildung der mesenchymatischen Gewebe XXXII, 383.
- Uterinmilch bei der Katze, Wesen XXXVII, 367.
- Uterus, Verhalten der Blutgefäße zur Placenta XXXV, 17, der Arterien und Venen 17, 27, 33.
- , zur vergleichenden Anatomie und Entwicklung der Muskulatur XXXVIII, 52, Litteratur, Methode 61 bei Nagern, Kaninchen, Maus, Beziehung zum Ligamentum latum 65, 66, Peritoneum 66, Ringmuskulatur 65, 68, Längsmuskulatur 65, Verhalten an der Tubenöffnung, Lacunen am unteren Ende 67, Submucosa, Existenz 70; bei Carnivoren, Katzen, Verbindungsfasern zwischen Ring- und Längsmuskulatur 72 bei Hufthieren, Schwein 74, bei Kalb und Schaf, Verhalten der Tube 75, der subserösen Muskelschicht 76, Halbaffe, Lemur rubrifrons, Fledermaus, Pteropus 78, Affen, anthropoide und nicht anthropoide, Macacus, Cercopithecus 79, Corpus Uteri 80, Collum 81, Chimpanse 83, Mensch 85, Entwicklung beim Menschen 86, Muskelfasern, Anlage 87, Gefässschicht 89.
- bei *Distomum cylindraceum* Zed. XXXVI, 182.
- von *Gordius tolosanus* Duj. XXXIV, 260.
- vom Hund, Mucosa, Bau XXXIII, 421, Veränderung durch Gravidität, Beziehung zur Placenta 423, zum foetalen Ectoderm 425, zu Chorionzotten 427, Sinus lateralis, Verhalten zum Chorionepithel 433.
- der Katze, Beziehung zur Entwicklung und Anlage der Placenta XXXVII, 357, Veränderungen der Schleimhaut 358, der Drüsenzellen 360, 363, Blut zwischen Chorion und Schleimhaut 368, Verhalten der Gefäße zur Placenta 369.
- des Menschen, Entwicklung XXXVII, 620, Litteratur, Trennung von Vagina 645, Collum, Unterschied von Corpus 650.
- von *Mermis ingrescens* Duj. XL, 508.
- der weissen Ratte, Verhalten der Drüsen zur Placenta XXXVII, 344.
- von *Salamandra atra*, Schleimhaut XXXVI, 472, Epithel mit Wimperzelle und Leucocyten 473, rothe Blutzelle 474, Bedeutung als Sauerstoffträger, Zerreißung des Epithels und Bedeutung 477.
- vom Schaf, Pigmentation der Schleimhaut XXXVI, 507, Litteratur, Karunkeln, Färbung 510, Beziehung zum Epithel 511.
- V**acuolen im Entoplasma von *Trichodina* sp. XXXIII, 405.
- amöboider Zellen im Blute der Mollusken XXXVII, 64.
- im Dotter von *Rana temporaria* XXXIX, 358.
- Vacuolenbildung in den Neuroblasten des Rückenmarkes von Triton XXXIV, 138.
- in den Belegzellen der Magendrüsen im Fundus XXXIV, 230.
- der Kerne der Becherzellen der Zungenpapillen von *Pseudopus Pallasii* bei intensiver Secretion XXXVIII, 226.
- Vagina von *Distomum cylindraceum* Zed. XXXVI, 183.
- des Menschen, Entwicklung XXXVII, 620, Litteratur.
- von *Mermis ingrescens* Duj. XL, 508.
- Valvula Eustachii des Herzens vom Kaninchen XXXIII, 229.
- foraminis ovalis des Herzens bei *Ornithorrhynchus*, *Echidna* XXXIII, 360, *Myomacophaga tri-dactyla* 361.
- Thebesii des Herzens vom Kaninchen XXXIII, 329, 332.
- venosa des Herzens vom Kaninchen XXXIII, 305.
- Vana, Glandula carotica, Vorkommen XL, 291.
- Vanellus cristatus, Spermatozoen XXXII, 441, Kopf 448, Bewegung 455.
- Vas deferens, Epithel XL, 494.
- — bei *Distomum cylindraceum* Zed. XXXVI, 181.

- bei Phylline Hendorffii, XXXIII, 171.
- efferens bei Phylline Hendorffii, Zelle XXXIII, 171.
- Vena cardinalis, Beziehung zur Entwicklung der Urniere des Menschen XXXVI, 151.
- hepatica des Kaninchens XXXIII, 316.
- mesenterica magna, Verhalten zur Arteria mesenterica sup. XL, 461.
- omphalomesenterica, Beziehung zum Lebergewebe XXXIII, 315.
- Venen der Leber, Beziehung zu den Lymphbahnen der Säuger XXXVI, 209.
- der Lunge, Einmündung in das Herz beim Kaninchen XXXIII, 334, bei Menschen, Nagern 334.
- der Milz, Gefäßscheiden XXXVIII, 350, Ableitung der Lymphe 356, Beziehung zu Capillarscheiden 424.
- des Schwellkörpers der Nasenschleimhaut beim Menschen XXXIV, 204.
- des Uterus, Verhalten zur Placenta XXXV, 17, 33.
- Venencapillaren im Knochenmarke der Vögel, Bedeutung als endovasculäres Organ XXXV, *435, 462, Methode 439 beim Huhn, Verhalten zum Parenchym 439, Zellen mit Stäbchen 444, mit Körnchen, grossen und kleinen Leucocyten 445, Erweiterung nach Aderlass 450, Vorkommen von Leucocyten und rothen Blutkörperchen 461.
- Ventrikel des Herzens, definitive Ausbildung beim Kaninchen XXXIII, 336.
- Venus gallina, Blut XXXVII, 81.
- verrucosa, Blut XXXVII, 81.
- Verbindungsfasern zwischen Ring- und Längsmuskulatur des Uterus der Katze XXXVIII, 72.
- der Ruderplättchen der Ctenophora XL, 185, Callianira 185, Euechlora, Hormiphora, Beroë 186, Bedeutung 187.
- Verdauungsorgan von Argulus foliaceus XXXIII, 22.
- Verdauungstractus von Gordius tolosanus Duj., Zellen XXXIV, 258.
- von Proteus anguineus XXXIV, 511, Litteratur, Methode 514.
- Verhornung des Haares nach Epilation XXXVI, 545.
- der Oberhaut des Menschen, Studien XXXIX, 581.
- Vermes XXXVIII, 21.
- Vertebrata, Aequivalent der Zellplatten XXXVII, 690.
- , Rückenmarkfasern bei niederen — XXXVIII, 157, bei höheren — 170, Fasern aus dem Seitenstrang zum gekreuzten Vorderstrang 171, Basis der Hinterwurzeln, Anteroposteriores 171.
- , Vergleich mit Mesodermbildung von Torpedo ocellata XXXIX, 75.
- , Vergleich mit Lumbricus XXXIX, 128, 133, Beziehung der Haut zu sensiblen Nervenfasern.
- , Urmundspalte XXXIX, 372, Beziehung zur Bildung des Nervensystemes.
- , Schwanz- und Afterbildung XXXIX, 452.
- , Dotterorgan, Entwicklung XL, 39.
- Vespertilio murinus, Papilla foliata XL, 19.
- Vesperugo, Uterusmuskulatur XXXVIII, 78.
- , Rückenmarksfaserung XXXVIII, 170.
- Vestibulum vaginae beim Menschen, Pflasterepithel XXXIX, 41.
- Vipera berus, Spermatozoen, Kopf XXXVI, 272, Geissel 274, 279.
- Vögel — Aves.
- Vorderdarm von Chalicodoma muraria, Anlage XXXV, 155.
- Vorderhirn der Amphibien, feinerer Bau XXXV, 380, Körnerschicht 383, keulenförmige Zellen, multipolare Zelle 384, Axencylinderfortsatz 385.
- Vorderhorn des Rückenmarkes der Maus, Myeloidkörner XXXIII, 80, 81.
- des Rückenmarkes, Beziehung zur Clarke'schen Säule XXXIV, 169 und den Zellen 170, zur vorderen Commissur 171, zur hinteren Commissur 172.
- Vorderkiefersegment von Chalicodoma muraria XXXV, 148, 154.
- Vorderkopfsomiten von Anguis fragilis und Kopfhöhlen XXXVI, 603, Litteratur, Methode 607.
- Vorderstrang des Rückenmarkes der Maus XXXIII, 98.
- des Rückenmarkes höherer Vertebraten, Beziehung zum Seitenstrang XXXVIII, 171, zu Hinterwurzeln.
- Vorderwurzeln des Rückenmarkes der Maus XXXIII, 94, Vorkommen von Wurzelfasern 96.

- des Rückenmarkes bei *Anguis fragilis* XXXVIII, 160.
- Vorhofsack beim Kaninchen XXXIII, 296.
- Vorkern bei Befruchtung der Eier von *Petromyzon Planeri* XXXII, 642, 644.
- männlicher bei *Tropidonotus natrix* XXXIX, 250.
- weiblicher bei *Anguis fragilis* XXXIX, 223, Conjugation mit Spermakern 224.
- bei *Tropidonotus natrix* XXXIX, 250.
- Vorniere, Anlage und Entwicklung bei Crocodilen und Schildkröten, *Crocodylus biporcatus* XXXVI, 421, Gefässknäuel oder Glomus 421, Anlage 423, Veränderungen 430, Umbildung zu Glomerulus 432, Rückbildung, Peritonealtrichter 421, 426, 430, Drüsenepithel 424, Epithel des Vornierenganges 425; bei *Chelonias midas*, Glomus 437, Uebergang zu Glomerulus 437, Drüsenschläuche 437, Peritonealtrichter 438.
- Vornierengang bei *Crocodylus biporcatus*, Epithel XXXVI, 425.
- Vorticella XXXVIII, 20.

- W**asserfloh — Cladocera.
 Wasserkäfer — *Hydrophilus piceus*.
 Wassermolch — Triton.
 Weichthiere — Mollusca.
 — kopflose — Mollusca acephala.
 Weinbergschnecke — *Helix pomatia*.
 Wiederkäuer — Ruminantia.
 Wiesenbachstelze — *Motacilla flava*.
 Wimperrinne bei *Beroe*, Epithelborste XL, 164.
 — der *Ctenophora*, Epithelzelle XL, 182, *Hormiphora*, *Beroe*.
 Wirbellose — Avertebrata.
 Wirbelthiere — Vertebrata.
 Würger — *Lanius*.
 — rothrückiger — *Lanius colurio*.
 Würmer — Vermes.
 Wundernetzbildung des linsenförmigen Gefässkörpers im Auge der Cyprinoiden XL, 429.
 Wurzelfasern des Nervus hypoglossus beim Kalb XXXI, 57.

- der Vorderwurzeln des Rückenmarkes der Maus XXXIII, 96.
- Wurzelscheide des Haares, Verhalten der Epithelzelle der Glashaut XXXI, 376.
- äussere des Haares XXXI, 41, Epithel 41, Verhalten zum Bulbus pili 42.
- des Haares nach Epilation XXXVI, 541.
- innere des Haares XXXI, 47, Henle'sche Schicht, Bedeutung 48.
- des Haares nach Epilation XXXVI, 543, 549.

Xennurus gymmurus, Grosshirn XXXV, 166.

- Z**ahn, Verbindung mit Alveole beim Wachsthum XXXVIII, 146 an schmelzfreien und schmelzbedeckten Stellen 147 bei Nagern 149.
- des Menschen, zur Entwicklung XXXVIII, 447, Histiogenese 469.
 - der Edentata, erwachsen, Bau XL, 149, Cement, Dentin 150.
 - Back- des Meerschweinchens, Knorpelcement XXXVIII, 150, 153.
 - —, Anlage bei *Lepus cuniculus* XXXIX, 542.
 - Milch- beim Menschen, Abschnüren XXXVIII, 456.
- Zahnanlage bei Nagethieren, zur Entwicklung XXXIX, 525 bei *Lepus cuniculus* 532, Incisivus, Anlage 533, Rudimentärzähnen im Unterkiefer 534, im Zwischenkiefer 538, Schmelzorgan 536, Zahnleiste im Oberkiefer 539, Epithelleiste 540, Backzahnanlage 542; bei *Sciurus* 542, Rudimentärzähnen, Zahnleiste und Schmelzorgan 544 im Oberkiefer 546; bei *Cavia cobaya* 547, Rudimentärzähnen und Zahnleiste; bei *Cricetus fumarius*, Mus musculus et decumanus, Rudimentärzähnen 548.
- bei Edentaten XL, 138.
- Zahnbein, Beziehung zur Schmelzmembran XXXVIII, 471.
- Zahnentwicklung, zur Kenntniss XXXVIII, 142, Wurzelbildung bei *Mus musculus*, Epithelscheide, Membrana praeformativa 144 beim Men-

- schen in der Jugend, Epithelscheide 145, Verbindung mit Alveolen beim Wachsthum 146 an schmelzfreien und schmelzbedeckten Stellen 147 bei Nagethieren, Alveolodentalperiost, Bedeutung 149, Verbindung zwischen Alveole und Kroncement 150, Knorpelcement und Knochenement 150, Bau 153 an Backzähnen des Meerschweinchens, beim Kaninchen, Verhalten des Schmelzepithels 154.
- Zahnfurche beim Menschen** XXXVIII, 455, 458.
- Zahnleiste beim Menschen** XXXVIII, 451.
- bei *Lepus cuniculus* XXXIX, 535, 539, bei *Sciurus* 544, *Cavia cobaya* 547.
- Zahnpapille beim Menschen, Einstülpung** XXXVIII, 454.
- der Edentata, Epithel XL, 139, inneres 140 und äusseres Schmelzepithel 141, Veränderungen 143, Stratum intermedium 140.
- Zahnrinne der Edentata** XL, 138.
- Zapfen der Retina des Menschen** XXXVIII, 319.
- Borgmeister'scher des Opticus und der Retina bei Forellenembryo XXXIX, 29, Triton taeniatas 30, Ammocoetes 35.
- Zelle, Beziehung zur Befruchtung** XXXII, 13, Theilung 51.
- , zur Kenntniss ihrer Lebenserscheinungen XXXIII, 125.
- , Beiträge zur Kenntniss und ihrer Theilung XXXIII, 180.
- , zur Kenntniss der — XXXVII, 684, Methode 685, Aequivalent der Zellplatte bei Vertebraten, Zwischenkörper, Bedeutung bei Zelltheilung 690, Beziehung zur Structur der Tochterzelle 691, Entstehung 692, Zellkörper, Veränderung während der Mitose 695, Attractionssphären und Centalkörper in thierischen Gewebszellen und Leucocyten 701, in Salamanderzellen 709, Veränderung bei amitotischer Fragmentierung des Kernes mit nachfolgender Abschnürung der Zelle 714 in Kiemen, Zelltheilung, zur Mechanik und über die Entstehung der Kernspindel in Gewebszellen des Salamanders, Litteratur 715, Spindel, erste Anlage und Entwicklung, Längsspaltung der Chromosomen in den Gewebszellen des Salamanders 722, Verhalten der Kernmembran 724 in den Spermatocyten von Salamandra 731, 739, ruhender Kern, Kernsaft, Bedeutung 733, zeitliches Auftreten der Längsspaltung 744.
- A- der Copepoden, Theilung XXXIX, 376.
- — bei Cyclops, heterotypische Theilung XXXIX, 561, Beziehung zum Richtungkörper 574.
- der acinösen Drüse von *Cephalolophus pygmaeus* XXXI, 518.
- des Amnios der weissen Ratte XXXVII, 348.
- amöboide im Epithel der Schleimhaut des Rectum vom Kaninchen XXXIII, 218.
- im Blute der Mollusken XXXVII, 52, Vacuolen, Pseudopodien 64, Plasmahaut, Bedeutung 67, Ursache der Veränderung, Kern 72, Kernhöhle 74, Beziehung zwischen Kern und Zellmembran 75.
- des Blutes von *Mytilus edulis* XXXVII, 84.
- B- bei Cyclops, normale Mitose XXXIX, 565.
- der Bartholinischen Drüse des Menschen XXXIX, 37.
- Basal- der Haarpapillen XXXI, 45.
- Basalpolster- bei *Callianira* XL, 183.
- — der Ruderplättchen der Ctenophora XL, 185.
- Becher- im Epithel des Dünndarmes XXXI, 121 bei Maus und Triton, Einfluss der Ernährung 122, Theka mit Secret 123, Protoplasma und Kern 124, Vergleich mit Cylinderzelle 126, Inhalt der Theka 127 bei Maus und Triton 128, Gerüst 130, Uebergang aus Epithelzelle bei Maus und Triton 132.
- — der Schleimhaut der Oberkieferhöhle XXXII, 223.
- — der Rectumdrüse beim Kaninchen, Bildung XXXIII, 224, der Colondrüse 235.
- — im Magen des Alligator XXXIV, 5, 10.
- — der Hornschicht der Epidermis bei Kröte und Salamander XXXIV, 19, Kern, Bedeutung 22 und Neubildung 24.
- — der Eileiterdrüsen der Amphibien XXXIV, 126.
- — der Mundhöhle von *Proteus anguineus* XXXIV, 519.

- — — des Oesophagus von *Proteus anguineus* XXXIV, 532.
- — — des Magens von *Proteus anguineus* XXXIV, 536.
- — — der *Caruncula lacrimalis* des Menschen XXXVI, 305, Bedeutung 307.
- — —, Mucingehalt XXXVI, 333 im Darmcanal 334.
- — — der Zungenpapille von *Anguis fragilis* XXXVIII, 184, Stomata 185, Form 188, Gestalt, Kern 196, Inhalt 197, Verhalten nach Fütterung 199, Netzwerk, Bedeutung 202, 212.
- — — der Zungenpapillen von *Pseudopus Pallasii* XXXVIII, 203, Anordnung, Bau 204, Körnchen 205, Bedeutung, Secretbildung 209, Verhalten zu Netzwerk 212, Veränderung nach intensiverer Secretion 224 unter Anwendung von *Pilocarpin*, Veränderung des Kernes 226, Vacuolenbildung 229, Zusammenfassung 247.
- — — der Schleimhaut des Magendarmcanales bei Triton XL, 359.
- — — becherförmige der Drüsen des Geruchsorganes von Neunaugen XXXVIII, 11 mit Kern 12, 7.
- — — beerenförmige des Lobus olfactorius von Neunaugen XXXVIII, 13.
- — — Beleg- der Magendrüse, zur Kenntniss XXXIV, 226, des Fundus, Vacuolenbildung 230.
- — — Bildungs- der Zähne des Menschen XXXVIII, 469.
- — — des Bindegewebes von *Torpedo ocellata* XXXII, 383.
- — — Bindegewebs-, Beziehung zu eigenthümlichen Fettzellen bei *Cobitis barbatula* XXXII, 182.
- — — des Haares, Verhalten nach Epilation XXXVI, 534.
- — —, Beziehung zu Leucocyten XXXVII, 261.
- — — bei Beroe, typische XL, 215, bei Cestus 222.
- — — fixe, Mitose bei Regeneration des Bindegewebes von *Rana esculenta* XXXVII, 446.
- — — *Ranvier'sche* im lockeren Bindegewebe der weissen Ratte, Bedeutung XXXII, 142.
- — — bipolare im Verlauf des Nervus olfactorius vom Neunauge XXXVIII, 12.
- — — der inneren Körnerschicht der Retina des Menschen XXXVIII, 330, mit äusserem und innerem Fortsatz 331.
- — — Blasen- der Urniere beim Huhn XXXVIII, 516.
- — — Blut- von *Argulus foliaceus* XXXIII, 30.
- — — der embryonalen Leber, Bildung XXXVIII, 576.
- — — des Krebses, Analogie mit den eosinophilen Zellen des Knochenmarkes des Kaninchens XXXVIII, 617.
- — — rothe, Theilung bei Amphibien XXXII, 603, *Salamandra maculata* 603, Methode 604, ruhender Kern 605, chromatische Substanz 606, enger Knäuel, loser Knäuel 607, Sternfigur, Längsspaltung der Fäden 608, Verhalten der Zellmembran 609, Metakinesis 610.
- — — im Epithel des Uterus von *Salamandra atra* XXXVI, 474, Bedeutung 477.
- — — Blutkörperchenhaltige in den Mesenterialdrüsen des Hundes XXXIV, 222.
- — — Chloragogen- bei *Stercutus niveus* n. sp. XXXI, 487.
- — — Chorda- von *Petromyzon Planeri* XXXV, 487.
- — —, Verhalten bei Regeneration XXXVII, 431, Beziehung zum Epithel 431, Verhalten bei Triton cristatus 437, hyaline Umwandlung 442.
- — — chromatophile in den Colondrüsen des Kaninchens XXXIII, 236, 240, Beziehung zu hellen Zellen 237.
- — — chromophile der sympathischen Ganglien XL, 379.
- — — chromophobe der sympathischen Ganglien XL, 379.
- — — der Clarke'schen Säulen, Beziehung zu Vorderhörnern des Rückenmarkes XXXIV, 170.
- — — Cylinder-, Vergleich mit Becherzellen des Dünndarmepithels XXXI, 126.
- — — des Müller'schen Ganges bei Entwicklung des Menschen XXXVII, 627.
- — — der Haut, Protoplasmafasierung XXXIX, 145.
- — — des Epithels des Ductus Bartholinianus XL, 486, Ductus Whartonianus 487, Ductus Stenonianus 488, des Ausführungsganges der Gallen-

- blase 489, Ductus choledochus 492 und Ductus Wirsungianus 493.
- Cyliinderepithel- des Wolffschen Ganges beim Menschen XXXVII, 639.
- des Darmes von *Argulus foliaceus* XXXIII, 25.
- des Darmepithels von *Ascaris mystax* XXXI, 295, Fortsätze 296, Kern 297 mit Kernkörperchen, Karyosoma 298.
- Decidual- der weissen Ratte XXXVII, 342.
- Deck- von *Hydra fusca* XXXV, 328, Theilung 329, Beziehung zu Nesselzellen 371.
- mit Doppelkern der Mitteldarmdrüse von *Carcinus maenas* XXXIX, 9, Kernkörperchen 10.
- Dotter- im Enddarm von *Petromyzon Planeri* XXXV, 483.
- — der Amphibien, Beziehung zum Dotterentoderm von *Torpedo ocellata* XXXIX, 61.
- — des Dotterorganes bei *Lacerta* in der oberflächlichen Schicht des Dotters XL, 74, 75, 79, im ganzen Dotter 79, in der inneren Dottermasse 80, Herkunft 83.
- — im Dotter bei *Lacerta* XL, 71, Bildung und Beziehung zum Lecithoderm.
- dotterfreie des Dotterorganes bei *Lacerta* XL, 77, 82, runde und platte, Kern 78, Bedeutung 84, Herkunft und Beziehung zu Merozyten 85.
- — des Dotterorganes der Wirbelthiere, Verhalten bei der Furchung an der Bodenschicht XL, 43, Verhalten des Ectoderm 45.
- — bei *Lacerta*, Verhalten zum Randwulst XL, 51.
- Drüsen- der Uterindrüsen des Hundes, Beziehung zur Ernährung des Foetus XXXIII, 429, 434.
- — der Drüsen des Magens vom Alligator XXXIV, 3, 7, Kern 9.
- — der Eileiterdrüse der Amphibien XXXIV, 124.
- — des Entoderm von *Hydra fusca* XXXV, 354.
- — von *Distomum cylindraceum* Zed. XXXVI, 176.
- — des Eileiters bei Frosch und Kröte, Mucingehalt XXXVI, 352.
- — der Drüsen des Geruchsorganes beim Menschen XXXVI, 390.
- — — der Stinkdrüsen von *Forficula auricularia* XXXVI, 568, 569, Vergleich mit der Nesselzelle der Cnidarier 573.
- — — der Mammilla, Verhalten bei der Regeneration XXXVII, 151.
- — — des Uterus der Katze, Veränderung bei Entwicklung der Placenta XXXVII, 360, 363.
- — — der Mitteldarmdrüsen von *Idotea tricuspidata* mit Kern und Kernkörperchen XXXIX, 23.
- — — der Mitteldarmdrüsen der Amphipoden XXXIX, 25, Kern.
- — — der Ctenophora XL, 159, 161 bei Beroe, Stadien der Entwicklung 161, Cestus 169, Euechlora 172, im Magen Hormiphora, Körnchenbildung 173 Euechlora 178.
- — Drüsenepithel- der Regio olfactoria des Menschen XXXVII, 646.
- — — des Drüsenschlauches der Speicheldrüsen XXXIX, 599.
- Ei- von *Alcyonella fungosa*, Eindringen der Spermatiden XXXI, 338.
- — — des Spulwurmes vom Hund XXXIV, 396, Kern und Kernkörperchen 398, Dotterbildung, Karyosom 399, Bildung der Polarkörperchen 401, 403, Eindringen des Spermatozooids 401, safranophile Körnchen 402, Pronucleus 403, karyokinetische Erscheinungen 404.
- — — einfache, Ursprung mehrerer Anlagen XXXIX, 476.
- — — Eimutter- von *Ascaris megalocephala* XXXVI, 52.
- — — Eiweiss- der Speicheldrüsen XXXIX, 602.
- — — Endothel- der Hautkolben von *Petromyzon fluviatilis* XXXIV, 164.
- — — des Embryonallebens XXXVIII, 554.
- — — Entoderm- von *Tropidonotus natrix* mit Kern XXXVI, 518, bei *Lacerta agilis* 524.
- — — eosinophile, Vergleich mit Körnchenzellen der Lymphdrüsen des Hundes XXXIV, 216.
- — — der Milz XXXVIII, 438, Bedeutung der Granula.
- — —, Bedeutung XXXVIII, 597.
- — — des Knochenmarkes von Kaninchen XXXVIII, 613, Analogie mit Granulationen der Blutzellen des Krebses 617.
- — — Epithel- der Wurzelscheide des

- Haares, Beziehung zur Glashaut XXXI, 37, Wurzeln 38.
- — — des Dünndarmepithels, Umwandlung zu Becherzellen bei Maus und Triton XXXI, 132, Protoplasma 142.
- — — der Cornea, Beziehung zu Lymphbahnen XXXII, 600.
- — — der Schleimhaut des Rectum vom Kaninchen XXXIII, 217, Kern 218, des Colon 234.
- — — der Rectumdrüse beim Kaninchen, Mitose XXXIII, 219, der Colondrüse 236, Mitose.
- — — des Darmes XXXIII, 258, Kern 259.
- — — des Blinddarmes vom Kaninchen XXXIII, 265, Gehalt an Leucocyten 266.
- — — des Auges von Arca Noae XXXIII, 387.
- — — des Magens vom Alligator XXXIV, 2.
- — — der Drüsen des Magens vom Alligator XXXIV, 2, 7.
- — — der Giftdrüse von Kröte und Salamander XXXIV, 41, Kern 44, indirekte Theilung 45.
- — — der Haut von Petromyzon fluviatilis XXXIV, 109 mit Kern, Fortsatz und Cuticula 110.
- — — des Rückenmarkes der Tritonen XXXIV, 151, Axencylinder.
- — — der Drüsen des Kropfes der Taube XXXIV, 239.
- — — der Blase vom Salamander, durchlöchernte Kerne XXXIV, 438, Zelltheilung 445.
- — — der Mundhöhle von Proteus anguineus XXXIV, 518.
- — — der Lunge von Proteus anguineus XXXIV, 558.
- — — von Hydra fusca XXXV, 326, des Entoderms 352.
- — — des Epithels der Harnblase XXXV, 392, 400, Kern 393, Canäle 394, direkte Theilung 398, Fortsatz 402, 403.
- — — der Krause'schen Drüsen der Caruncula lacrimalis des Menschen XXXVI, 302.
- — — der Stinkdrüsen bei Forficula auricularia XXXVI, 568, 569.
- — — bei Clepsidine Blattarum mit Sporen XXXVII, 122.
- — — des Chorions der Katze XXXVII, 365, 366, 369.
- — —, Verhalten bei Regeneration der Schwanzspitzen der Froschlär-
- ven XXXVII, 413, indirekte Kerntheilung 417.
- — —, Verhalten zur Chordazelle bei Regeneration der Chorda dorsalis XXXVII, 431.
- — —, Beziehung zur Entwicklung der Ganglien beim Huhn XXXVII, 589.
- — — des Geschlechtsstranges bei Entwicklung des Menschen XXXVII, 634.
- — — der Zungenpapille bei Anguis fragilis XXXVIII, 182, 192.
- — — der Epidermis von Lumbricus XXXIX, 104.
- — —, Protoplasmafaserung XXXIX, 141, Verfahren nach Weigerts Fibrinfärbemethode 142 in der Cylinderzelle der Haut, Basaloder Haftfasern in der Epidermis eines Epithelioms 145, Verhalten bei Mitose des Kernes 148.
- — — des Ausführungsschlauches der Speicheldrüsen XXXIX, 605.
- — — des Hauptausführungsganges der Speicheldrüsen XXXIX, 609.
- — — in den Tonsillen bei Pferd, Schaf, Fischotter XL, 23.
- — — von Callianira mit Pigmentflecken XL, 177.
- — — der Wimperrinne der Ctenophora, Beroe, Hormiphora XL, 181.
- — — bei Entwicklung des Praeputium des Menschen XL, 271.
- — — der Zotten des Darmes, Beziehung zu Nerven XL, 407.
- — — vielkernige, gigantische der Harnblase XXXV, 397.
- — — Epithelmuskel- von Hydra fusca XXXV, 326, Secretion, Kern 327.
- — — des Epithelringes des Schmelzorganes der Edentata, Beziehung zur Pulpazelle XL, 153.
- — — Ersatz- der Haut von Petromyzon fluviatilis XXXIV, 110.
- — — des Geruchsorganes des Menschen XXXVI, 388.
- — — der Schleimhaut des Magendarmcanales bei Tritonen XL, 366 mit Bildung subepithelialer Sprossen, Beziehung zur Schleimzelle 368, Mitose 369.
- — — faserartige des Rückenmarkes beim Frosch XXXVIII, 279.
- — — Ferment- der Mitteldarmdrüse von Carcinus maenas, Kern- und Secretblase XXXIX, 7.

- Fett- von eigenthümlicher Form XXXII, 182 bei *Cobitis barbata*, Beziehung zu Bindegewebszellen.
- des Knochenmarkes, Atrophie XXXIII, 247 in der Tibia des Huhnes 249, bei Säugern 252.
- fetthaltige in den Mitteldarmdrüsen von *Carcinus maenas* mit Kern und Kernkörperchen XXXIX, 17.
- des Fettkörpers von *Argulus foliaceus* XXXIII, 36.
- fixe der Blutbildenden Organe XXXVIII, 530, Kern 538, 542, mitotische Theilung 539, Chromatin 540, Protoplasma 542, Verbreitung und Lagerung 543 in Peyer'schen Plaques, Solitärfollikeln 544, Milz, Knochenmark 545, Beziehung zu Lymphgefäßen 546, Neubildung, Beziehung zu Erythroblasten 547, zu Wanderzellen 595.
- Flimmer- der Eileiterdrüse der Amphibien XXXIV, 126.
- des Geruchsorganes von Neunaugen XXXVIII, 5.
- der Zungendrüsen von *Anguis fragilis* XXXVIII, 184.
- des Epithels von *Beroë* XL, 167.
- der *Ctenophora* XL, 182.
- Flimmerepithel- des Giralde'schen Organes XXXIII, 454.
- Fluorescenz- bei *Cestus*, Bedeutung XL, 169.
- Follikel- im Hoden des Salamanders XXXIV, 91, Nucleus et Nucleolus.
- im Hoden der Maus XXXIV, 432, Veränderung bei Eintritt der Pubertät 434, 435, Kern und Kernkörperchen.
- des Haares, Mitose nach Epilation XXXVI, 533.
- der *Formatio Rolandi* des Rückenmarkes der Maus XXXIII, 78.
- Ganglien- des Rückenmarkes bei Triton XXXIV, 134, grosse und kleine 144.
- von *Hydra fusca* XXXV, 339, Kern, Fortsätze 340, Beziehung zu Muskelzellen 341, Bildungsform 349.
- von *Tubularia larynx* XXXV, 364.
- der Urniere vom Huhn XXXVIII, 509, 518.
- des Bindegewebes der *Papilla vallata* beim Pferd XL, 13.
- grosse von *Leptodera hyalina* mit Vacuolen XXXVIII, 126.
- sympathische, Bau des Chromatins XL, 375, Methode und Material beim Hund, Form der Chromatinkörner 378 beim Kaninchen, Pferd, Gehalt an Pigmentkörnern beim Menschen nach der Entwicklung 380, Gehalt an gelbem Pigment 381, Zerfall mit dem Alter 384, Unterschied zwischen ruhender und gereizter Zelle 385, Veränderung des Kernes, des Zellleibes, des Chromatins 388.
- im *Pancreas* XL, 407.
- des *Ganglion optici* beim Menschen XXXVIII, 333 mit Protoplasmafortsatz 334 und Axencylinderfortsatz 336.
- Genital- bei *Cyclops* XXXIX, 565.
- Geruchs- des Hundes, Verhalten zu Nervenfasern XXXIV, 386.
- Geschlechts- beim Menschen XXXIV, 344.
- Geschwulst-, über granuläre Einschlüsse in — XXXIX, 136 bei Carcinom 138, Fettumwandlung 139, bei Adenosarcom, Sarcom 140.
- Gewebs- des Salamanders, zur Entstehung der Keruspindel XXXVII, 715, Spaltung der Chromosomen 722.
- thierische, Attractionssphären und Centalkörper XXXVII, 701 beim Salamander 709.
- Gift- der Giftdrüsen bei Kröte und Salamander XXXIV, 31, Vergleich mit Schleimzellen.
- von *Beroë* XL, 168.
- *Glia*-des Rückenmarkes XXXVIII, 272, Verhalten der Fortsätze 273, Zusammenhang mit Gefäßen 276, mit dem Epithel des Centralcanales und der Pia 277 beim Frosch 279.
- der Neuroglia des Alveus XXXIX, 624, der *Fascia dentata* 625.
- Glocken- des Geruchsorganes beim Menschen XXXVI, 392.
- der Nasenhöhle des Menschen XXXIX, 641.
- Granulosa- des Eies von *Petromyzon Planeri* XXXII, 623, 625, Veränderung.
- des Eies, Verhalten bei Follikelatresie XXXVII, 203, Ablagerung von Fett 220.

- Greif- der Tentakel der *Ctenophora* XL, 198, Bedeutung 202.
- grosse, lymphoide der Milz der weissen Maus, Theilung XXXI, 548.
- sternförmige der inneren Körnerschicht der Retina beim Menschen XXXVIII, 324 mit äusserem 325, innerem Fortsatz und Axencylinderfortsatz 326.
- Haupt- der Magendrüsen XXXIV, 226, zur Kenntniss.
- der Hautgrübchen von *Petromyzon fluviatilis* XXXIV, 122.
- helle der Rectumdrüsen des Kaninchens XXXIII, 220, Veränderung 223, 226, Umwandlung zu Becherzellen 224, Beziehung zu Schleimzellen 224, 229.
- Henle'sche bei Spermatogenese der Säuger XXXI, 243, indirekte, mitotische Kernteilung 258.
- Hinter- des Rückenmarkes von Triton XXXIV, 144, 147.
- Hoden-, Bau XXXIII, 134 mit Kern und Nebenkern, Centrosoma, Bedeutung der Spindelfasern 136 bei *Paludina vivipara* und *Helix pomatia*.
- von Phylline Hendorffi XXXIII, 170.
- von *Gryllotalpa* vulg. Latr., amitotische Theilung XL, 115 mit Kern, Bedeutung.
- der Hornschicht der Epidermis von Kröte und Salamander XXXIV, 16.
- indifferente von *Hydra fusca* XXXV, 344, 359.
- des Integumentes von *Argulus foliaceus* XXXIII, 5, Kern.
- intermediäre bei *Hydra*, Bedeutung XXXVI, 635.
- Kanten-, dorsale bei *Petromyzon Planeri* XXXV, 513.
- Keim-, indifferente bei Salamandra XXXIV, 92, Bedeutung, Umbildung zu Spermatogonien 95.
- Keimepithel- beim Menschen XXXIV, 274, 305.
- des Kernes des Nervus hypoglossus in der Medulla oblongata beim Kalb XXXI, 57.
- keulenförmige des Vorderhirnes der Amphibien XXXV, 384.
- Kleb- der Tentakel von Sima XXXIII, 399.
- kleine, lymphoide der Milz, Theilung bei der weissen Maus XXXI, 545.
- sternförmige der inneren Körnerschicht der Retina des Menschen XXXVIII, 328 mit Kern, äusserem Fortsatz 328, innerem Fortsatz und Axencylinderfortsatz 329.
- Knochenbildungs- bei Ossification des Unterkiefers XXXII, 297, Verhalten zur Grundsubstanz des Meckel'schen Knorpels, Karyokinese 298, Wesen 336, Kern 338.
- Knorpel-, Verhalten an der Ossificationsgrenze XXXII, 214, Methode 216, Karyokinese 217, Zellsäule 218, Kern, Veränderung, provisorische Verkalkung und Gefässbildung 219.
- , Aenderung bei Ossification des Unterkiefers XXXII, 321, Schrumpfung 323, Schicksal 360.
- des Hyalinknorpels, Betheiligung an Bildung der Inter-cellularsubstanz XXXIV, 421.
- , Verhalten zu den Saftbahnen des Knorpels XXXVII, 503.
- Körnchen- des Dünndarmepithels XXXI, 177, Einfluss von Reagentien 178, Bedeutung der Körnchen 180, Kern 181, Ursprung und Schicksal beim Menschen 182.
- der Lymphdrüsen des Hundes XXXIV, 215, Körnchen, Natur, Vergleich mit eosinophilen Zellen 216.
- mit Körnchen in Venen-capillaren des Knochenmarkes der Vögel XXXV, 445.
- Körner- der Haut von *Petromyzon fluviatilis* XXXIV, 118, Bedeutung, Fortsätze 119.
- Kolben- der Haut von *Petromyzon fluviatilis* XXXIV, 115.
- kolbenförmige des Auges von *Arca Noae* XXXIII, 387.
- in der Epithelialschicht der Haut vom Neunauge XXXVIII, 9, Nervenverlauf 10.
- kugelförmige im lockeren Bindegewebe der weissen Ratte XXXII, 123, Wachsthum 124, Beziehung zu Gefässen 129, Atrophie, Bedeutung 145.
- Lab- des Magens von *Proteus anguineus* XXXIV, 537.
- Leber- von *Proteus anguineus*, Beziehung zu Lymphbahnen XXXIV, 550, 555.

- —, Veränderung bei Rückbildung XXXV, 94, Vermehrung der Kerne 95.
- Lutein- des menschlichen Eies XXXI, 409.
- Lymph-, Aufnahme durch Trichodina sp. XXXIII, 409, Einwanderung in das Seitencanalsystem 408 und die Epidermis 407.
- — der Leber von Proteus anguineus XXXIV, 551.
- — der Lymphdrüsen des Hundes XXXIV, 212 mit kleinem und grossem Protoplasma.
- lymphoide, Verhalten bei Befruchtung XXXII, 41.
- — des Rückenmarkes der Tritonen XXXIV, 146.
- der Magendrüsen, zur Kenntniss XXXIV, 225, Einfluss der Ehrlich-Biondi'schen Flüssigkeit.
- der Malpighi'schen Gefässe von Dytiscus marginalis, Theilung XXXII, 146.
- Mark- der Haarpapillen XXXI, 46.
- — des Unterkiefers, Bildung XXXII, 360.
- der Nebenniere beim Huhn XXXVIII, 519.
- — der Blutzellenbildenden Organe XXXVIII, 560, Kern 562 im Knochenmark, Einwirkung von Platinchlorid 563.
- Mast-, Einfluss von Thionin XXXVI, 357.
- Matrix- der Hüllen des Eierstockes von Argulus foliaceus XXXIII, 33.
- der Membrana Descemetii beim Frosch, indirekte Theilung XXXIII, 159.
- Mesoderm-, Beziehung zur Entwicklung der Ganglien beim Huhn XXXVII, 590.
- — bei Beroe, embryonale Beziehung zur Entstehung der Muskelzellen XL, 213.
- der Micronephridien von Megascolides australis XL, 554.
- Monstre- bei Entwicklung der Placenta der weissen Ratte XXXVII, 342.
- Mucin- der Speicheldrüsen XXXIX, 602, Kern 603.
- multipolare des Vorderhirnes der Amphibien XXXV, 384, Axencylinderfortsatz 385.
- Muskel- von Gordius tolosanus Duj. XXXIV, 256.
- — von Hydra fusca, Beziehung zu Ganglienzellen XXXV, 341, Bildungsformen 349, des Entoderm 352.
- — bei Petromyzon Planeri, Bildung XXXV, 502.
- — bei Beroe, erste Entstehung und Beziehung zu Bindegewebskörperchen XL, 212 und embryonale Mesodermzelle 213.
- — des Darmes, Verbindung mit Nervenfasern XL, 396.
- Muskelspindel- bei Entwicklung der Placenta der weissen Ratte XXXVII, 341.
- Mutter- des Hodens von Phylline Hendorffii XXXIII, 170.
- Nähr- des menschlichen Eies XXXI, 378.
- — des Entoderms von Hydra fusca XXXV, 357 mit Nesselkapsel.
- Nagel-, Verhalten bei Follikelatrie des Eies XXXVII, 212.
- der Nebenniere beim Huhn, Hauptstränge XXXVIII, 514 bei der Taube 514, Kern 515.
- Nerven- der Haut von Petromyzon fluviatilis XXXIV, 110.
- — im Sympathicus der Amphibien, Structur XXXV, 407, Material 407, Methode 408, umstrickendes Nervenetz 409, Spiralfaser, Bedeutung 410, Myelinscheide 412, Verlauf 413, Verbindungsfaden 411, gerade Faser 412, Verlauf 413, Zellennester, Bedeutung 416.
- — des Herzens beim Frosch XXXVI, 493, Beziehung zu Nerven 494, Structur, Kern 495, Fortsätze 496, Richtung 498 bei Emys caspica, Vertheilung 501.
- — des Rückenmarkes, Bau und Beziehung zu Nerven XXXVIII, 280, Strichelung 280, Kern, Fortsätze 281, 283.
- — der Epidermis von Lumbricus XXXIX, 105, 109, Form 110, Fortsatz 111, Bedeutung 113, Nervenfortsatz 115, des Bauchstranges 122.
- — des Stratum oriens des Cornu Ammonis XXXIX, 613, des Stratum moleculare 620, Stratum granulosum bei Kaninchen und Schwein 622.
- — grosse der Spongiablastenschicht der Retina XXXVIII, 338.
- — kleine der Spongioblastenschicht der Retina XXXVIII, 339.

- — polymorphe des Stratum oriens des Cornu Ammonis XXXIX, 614, der Fascia dentata mit Fortsätzen 621.
- — solitäre der Hinterhörner des Rückenmarkes der Maus XXXIII, 87.
- — subepitheliale der Neuroepithelschicht der Retina des Menschen XXXVIII, 320 mit äusserem und innerem Fortsatz 321.
- — der Retina des Menschen XL, 37, Verhalten.
- — sympathische, Beziehung zur Anlage der Urniere beim Huhn XXXVIII, 509.
- Nessel- von *Hydra fusca* XXXV, 332, Beziehung zu Deckzellen 371.
- von *Tubularia larynx* XXXV, 365.
- — der Cnidarier, Vergleich mit den Drüsenzellen der Stinkdrüsen von *Forficula auricularia* XXXVI, 573.
- Nesselkapselbildungs- von *Hydra fusca* XXXV, 345.
- des Neuralstranges bei *Petromyzon Planeri* XXXV, 499.
- Neuroepithel- des Geruchsorganes vom Neunauge XXXVIII, 7, Verbindung mit Nervenfasern, Stäbchen 8.
- cylinderförmige im Geruchsorgan vom Neunauge XXXVIII, 9.
- Nieren- der Niere der Schnecken, Beziehung zur Conjugation und Sporenbildung der Gregarinen XXXVII, 124, Borstenbesatz bei *Helix nemoralis* und *hortensis* 126.
- Nussbaum'sche der Magendrüsen XXXIV, 229.
- der Ovarien von *Phylline Hendorffii* XXXIII, 172.
- des *Pancreas* XXXIII, 182 im Hungerzustande, Bildung der Secrettropfen 183 nach Erschöpfung 186.
- —, Beziehung zu Nervenfasern XL, 406.
- Paneth'sche der Duodenaldrüsen der Maus XL, 350, Beziehung zu Schleimzellen 351.
- Paracopulations- der Daphniden, Vergleich mit *Metanucleus* bei *Aequorea Forskalea* XL, 256.
- der Parenchymmuskeln von *Distomum cylindraceum* Zed. XXXVI, 175.
- Pigment- des Fächerauges von *Arca Noae* XXXIII, 382, 387.
- — der Halsdrüsen des Hundes XXXIV, 221.
- — des Mitteldarmes von *Proteus anguineus* XXXIV, 542, der Leber 552.
- — der Federn, Beziehung zum körnigen Pigment beim Hühnchen, *Gallinula chloropus*, *Scolopax major* XXXV, 70.
- — XXXV, 275 bei Salamanderlarven, Methode 276, Bau 277, Beziehung zwischen Kern- und Zelltheilung 279, 281.
- — des Geruchsorganes des Menschen XXXVI, 390.
- —, über Theilung, speziell der verästelten, intraepithelialen XXXVI, 404 bei *Salamandra maculata*, Bau 406, Kerntheilung 407, Verhalten des Pigmentes bei Theilung 408.
- Plattenepithel- der Zungenpapillen von *Anguis fragilis* XXXVIII, 182, 193.
- Pol- bei *Cyclops*, Beziehung zum Gastrulationsprozess XXXIX, 570.
- der Prächordalplatte von *Anguis fragilis* XXXVI, 614.
- Protoplasma- der Rectumdrüse der Maus XL, 325, Protoplasma 326 beim Hund 331.
- — der Duodenaldrüse beim Hund XL, 339, der Maus, Kern, Protoplasma 348.
- — der Schleimhaut des Magendarmcanales bei *Triton* XL, 359.
- Pulpa- der Edentata, Beziehung zu den Zellen des Epithelringes des Schmelzorganes XL, 153.
- Pylorus- der Magendrüsen XXXIV, 226.
- Pyramiden- des Hirnbalkens, Vorkommen XXXVII, 11.
- —, Schicht der — des Cornu Ammonis XXXIX, 615, Axencylinder 616, der Fascia dentata 621.
- Riech- des Geruchsorganes beim Menschen, Verhalten der Kerne gegen chemische und thermische Einflüsse und Farbstoffe XXXVI, 383, 388.
- — beim Menschen, Endigung der Olfactorienfibrillen XXXIX, 643.
- Riesen- des Giralde'schen Organes XXXIII, 458.
- — der Giftdrüsen von Kröte und Salamander XXXIV, 47.
- — des Rückenmarkes, Verhal-

- ten bei Regeneration bei Frosch- und Tritonenlarven XXXVII, 425, mitotische Theilung 427, amöboide Bewegung 426.
- runde, Auftreten in den Zungenpapillen von *Pseudopus Pallasii* bei intensiver Secretion XXXVIII, 229.
- Samen- der Maus mit Kern und Nebenkern XXXIV, 79.
- von Salamander und Maus, XXXIV, 87, Ursprung, Beziehung zum Kern, Vergleich mit Centrosoma 88, Schicksal 89.
- Kollikers, Bedeutung XXXI, 243, Copulation mit Sertolischen Zellen 270, 279.
- samenbildende bei *Gordius tolosanus* Duj. XXXIV, 263.
- Samenmutter- von *Ascaris megaloccephala*, Kern XXXVI, 18, Veränderung 21, Vorstadien der I. Theilung bei univalens, Kern, Chromatin 23, Nucleolus 28, Polkörperchen 29 bei bivalens 30, 33; Verhalten des Kernes bei der I. Theilung bei univalens 37, 39 und bivalens, Theilung 40, II. Theilung 43.
- bei Spermatogenese von *Gryllotalpa* vulg. Latr., Wortbedeutung XL, 105, Periode der Ruhe und des Wachstumes 109, der Reifung und letzten Theilung, Verhalten der Chromosomen 110, Reductionstheilung 112.
- Samentochter- bei Spermatogenese von *Gryllotalpa* vulg. Latr., Bedeutung XL, 105.
- secernierende des Epithels des Dünndarmes XXXI, 113, Objecte, Methode 113, Metachromasie 114, Safranin 121.
- des Oesophagus von *Proteus anguineus* XXXIV, 533.
- Secret- von *Hydra fusca* XXXV, 330.
- der Segmentalorgane von *Pachydrilus sphagnetorum* Vojdovsky var. *glandulosus* XXXI, 491.
- Seh- des Fächerauges von *Arca Noe* XXXIII, 382, Cuticula mit Kern.
- der Retina des Menschen, Schicht der — XXXVIII, 319.
- der serösen Membran bei Entwicklung der Placenta der weissen Ratte XXXVII, 347.
- Sertolische, Litteratur und Bedeutung XXXI, 240, Beziehung zum Spermatoblast 244, Kern 254, Fettaufnahme 268, Copulation mit Samenzellen 270, 279, Veränderung des Kernes 272.
- Sexual- des Menschen, männlich XXXIV, 305, weiblich 310.
- Sinnes- des Ectoderm von *Hydra fusca* XXXV, 373, des Entoderm 356.
- Sperma- von *Hydra fusca* XXXV, 343, Bildungsform 350.
- Spinalganglien- bei Säugethieren, zur Kenntniss XXXI, 223 beim Pferd, unipolarer Faserknäuel 225, 228, Ursprungsfasern, Methode 225, Grösse, Form und Färbung 226, Kapsel, Endothel, Beziehung zur Henle'schen Scheide 227, Verhalten der Ausläufer bei Zellen mit einfachem und zusammengesetztem Ausläufer 228.
- Spindel- der Giftdrüsen von Kröte und Salamander XXXIV, 38, Beziehung zu contractilen Fasern 37.
- des Hodens von *Gordius tolosanus* Duj. XXXIV, 262.
- spindelförmige der Retina von *Pecten* XXXIII, 395.
- der Fascia dentata Cornu Ammonis XXXIX, 622.
- der Subcuticularschicht bei *Distomum cylindraceum* Zed. XXXVI, 175.
- subepitheliale von *Hydra fusca* XXXV, 339, des Entoderm 358.
- der Substantia gelatinosa des Rückenmarkes XXXIV, 191.
- Schleim- der Rectumdrüse beim Kaninchen XXXIII, 220, Beziehung zu hellen Zellen 229, der Colondrüsen 240.
- der Schleimdrüsen von Kröte und Salamander XXXIV, 31, 50, Vergleich mit Giftzellen.
- des Magens von *Proteus anguineus* XXXIV, 537.
- der Federn der Vögel, Beziehung zur Blaufärbung XXXV, 71, Luftgehalt, Bedeutung 74.
- der Bartholinischen Drüsen des Menschen XXXIX, 37.
- der Cowper'schen Drüsen des Menschen, Umwandlung aus Epithel XXXIX, 48.
- der Epidermis von *Lumbricus* XXXIX, 105, Beziehung zur Cuticula 108.

- — — der Rectumdrüse der Maus, XL, 327, Verhalten des Schleimes 328 beim Hund, Mitose 334.
- — — der Duodenaldrüse beim Hund, Kern XL, 341 bei der Maus 349, Verhalten des Schleimes 350 Beziehung zur Paneth'schen Zelle 351.
- — — der Schleimhaut des Magendarmcanales der Tritonen, Verhalten des Schleimes XL, 361, Mitose der Kerne 365, Beziehung zu Ersatzzellen 368.
- — — der Schleimschicht der Epidermis bei Kröte und Salamander XXXIV, 14 mit Fortsätzen 15.
- — — schmale des Dünndarmepithels, Bedeutung XXXI, 133.
- — — Stäbchen- der Retina von Pecten XXXIII, 393.
- — — mit Stäbchen in Venencapillaren des Knochenmarkes der Vögel XXXV, 444.
- — — Stamm- von Cyclops XXXIX, 559.
- — — Stern- der Capillarscheiden in der Leber der Säuger XXXVI, 216, Beziehung zum Leberstroma 217.
- — — bei Zahnbildung des Menschen XXXVIII, 456, Verhalten zur Pulpa 472.
- — — sternförmige der Capillarscheiden der Leber bei Katzen XXXVI, 213 mit Kern 214.
- — — Stöhr'sche der Magendrüsen, zur Kenntniss XXXIV, 228.
- — — Stroma- der Keimdrüse beim Huhn, Beziehung zum Peritonealepithel XXXVIII, 506.
- — — Stütz- des Fächerauges von Arca Noae XXXIII, 385.
- — — des Geruchsorganes des Menschen, Verhalten der Kerne gegen chemische und thermische Einflüsse und Farbstoffe XXXVI, 383.
- — — des Geruchsorganes vom Neunauge XXVIII, 6.
- — — der Epidermis von Lumbricus XXXIX, 105.
- — — Tochter- des Hodens von Phylline Hendorffii XXXIII, 170.
- — — der tubulösen Drüsen von Cephalophorus pygmaeus XXXI, 516.
- — — Uebergangs- der Urniere beim Huhn XXXVIII, 518.
- — — Urogenital- bei Cyclops XXXIX, 565.
- — — Urmesoderm- bei Cyclops, I. Theilung XXXIX, 557, primäre 565, und secundäre 567.
- — — Ursamen- vom Salamander XXXIV, 95.
- — — , Beziehung zum Primordial-ei XXXIV, 331.
- — — der Hodenröhre von Ascaris megalcephala, Verhalten der Kerne XXXVI, 12, Unterschied zwischen bivalens und univalens.
- — — bei Spermatogenese von Gryllotalpa vulg. Latr., Wortbedeutung XL, 105, I. Periode der Theilung 106, Verhalten des Chromatin 107.
- — — mit vacuolärem Kern bei Entwicklung der Mammilla XXXVII, 156.
- — — vacuolenhaltige bei Cestus, Bedeutung XL, 171.
- — — des Vasefferens von Phylline Hendorffii XXXIII, 171.
- — — verästelte des Epithels von Beroe mit Kern XL, 160.
- — — des Verdauungstractus von Gordius tolosanus Duj. XXXIV, 258.
- — — Wand- der Capillaren, zur Theilung XXXV, 275, 282, Beziehung zwischen Kern- und Zelltheilung bei Salamanderlarven.
- — — Wander- im Dünndarmepithel bei Maus und Triton XXXI, 142.
- — — in der Submucosa des Magens vom Alligator XXXIV, 5.
- — — der Mundhöhle von Proteus anguineus mit Einschlüssen XXXIV, 523, 525.
- — — im Epithel des Mitteldarmes von Proteus anguineus XXXIV, 540 mit Einschlüssen 541.
- — — , Verhalten bei Regeneration der Schwanzspitze von Froschlarven XXXVII, 421.
- — — , Zerfall bei Regeneration des Rückenmarkes bei Frosch- und Tritonenlarven XXXVII, 426.
- — — , Beziehung zu fixen Zellen XXXVIII, 595.
- — — der Wandschicht bei Spermatogenese der Säuger XXXI, 242, indirekte, mitotische Kerntheilung 258, direkte, amitotische Kerntheilung 266.
- — — Wimper- des Epithels des Uterus von Salamandra atra XXXVI, 473.
- — — der Zellballen der Glandula carotica beim Menschen XL, 303, Verhalten zu Capillaren, Bau 306, reticuläres Zwischengewebe 308, Beziehung zu Zellen 309, 313, Protoplasma, Kern 312, Zellgrenze 313 bei Katzen 314.

- Zwillings- der Rectumdrüsen beim Hund XL, 334.
- der Zwischenstränge der Urniere beim Huhn XXXVIII, 517.
- Zwischensubstanz- beim Menschen bei Entwicklung des Urogenitalsystems XXXIV, 312, 330.
- Zellballen der Glandula carotica mit Zellen, Verhalten zu Capillaren XL, 303, Bau der Zellen 306, reticuläres Zwischengewebe, Beziehung zu Zellen 309, 313.
- Zellbrücken glatter Muskelfasern XXXVIII, 38, Methode 39 in dem Darm der Katze 43.
- Zellkörper von *Gordius tolosanus* Duj. XXXIV, 257.
- von *Mermis crassa* XXXIV, 395.
- Zellmembran der rothen Blutzellen von *Salamandra maculata*, Verhalten bei Theilung XXXII, 609.
- amöboider Zellen im Blute der Mollusken, Beziehung zur Kernmembran XXXVII, 75.
- Zellennester im Sympathicus der Amphibien XXXV, 416.
- Zellenschicht, subepitheliale des Hirnbalkens beim Menschen XXXVII, 7.
- Zellenstränge der subepithelialen Höhle des Dotterorgans bei Schlangen XL, 61, Schildkröten 62.
- Zellplatte, Aequivalent bei Vertebraten XXXVII, 690.
- Zellsäulen an der Ossificationsgrenze XXXII, 218.
- der Hodenröhre von *Ascaris megalocephala* XXXVI, 11.
- Zelltheilung im Endothel der entzündeten Hornhaut XXXI, 426.
- in der Milz XXXI, 541 bei der weissen Maus.
- bei Befruchtung XXXII, 51.
- , zur Kenntniss XXXIII, 125.
- in der Zwitterdrüse von *Limax agrestis* XXXIII, 125, Methode 126, Nebenkern, Verhalten 127.
- und Samenbildung bei *Paludina vivipara* und *Helix pomatia* XXXIII, 134, Hodenzelle, Bau 134 mit Kern, Nebenkern und Centrosomen, Bedeutung der Spindelfasern 136, Spermatoocyten, letzte Theilung 139, Nebenkern, Bedeutung 140 und Beziehung zu Spindelfasern bei kleinen Spermatozoen 141, bei grossen 143, Centrosoma, Kopf 142.
- , zur Kenntniss XXXIII, 180.
- im Hoden der Lepidoptera XXXIII, 192.
- im Epithel der Blase von *Salamandra* XXXIV, 445.
- der Wanderzellen der Capillaren bei Salamanderlarven XXXV, 375.
- der Pigmentzellen beim Salamander XXXV, 281, 279.
- , zur Mechanik und über die Entstehung der Kernspindel in Gewebszellen des Salamanders XXXVII, 715.
- Zellvermehrung der Urniere beim Huhn XXXVIII, 515.
- Ziegenmelker — *Caprimulgus europaeus*.
- Zitterroche — *Torpedo*.
- Zoarces viviparus*, Spermatozoen, Geissel XXXVI, 243, Kopf 244.
- Zona fusca* des Haares nach Epilation XXXVI, 548.
- *lucida* des Haares nach Epilation XXXVI, 545.
- *pellucida* des menschlichen Eies XXXI, 400.
- des Auges von *Pecten* XXXIII, 391, Epithel.
- *reticularis* Honeggers, Beziehung zum Stratum granulosum des Cornu Ammonis XXXIX, 624.
- subglanduläre der Placenta der weissen Ratte XXXVII, 353.
- Zotten des Dünndarmes, Verhalten zur Muscularis mucosae XXXI, 19.
- des Dünndarmes, Vergleich des Epithels mit den Lieberkühn'schen Crypten XXXI, 173.
- der Placenta, Epithel, XXXV, 34, 41.
- Zunge von *Proteus anguineus* XXXIV, 516.
- Zungengrund, Drüsen des — XL, 22, Verhalten der Ausführungsgänge 22 bei Reptilien, Alligator, Pferd, Beziehung zwischen Papilla vallata und foliata 23, bei Iltis 26.
- Zungenpapille bei *Anguis fragilis*, Epithel XXXVIII, 182.
- bei *Pseudopus Pallasii* XXXVIII, 182.
- Zwiebelmuschel — *Anomia*. [203.]
- Zwischengewebe, reticuläres der Glandula carotica beim Menschen, Beziehung zu Zellen XL, 309, 313.
- Zwischenkörperchen der Eierstocksröhre von *Ascaris megalocephala* XXXVI, 53, bei univalens.
- Zwischensubstanz, interfibräre der Muskelfasern der Cephalopoden XXXIX, 303.
- Zwitterbildung, innere bei *Astacus fluviatilis* XXXIX, 504.

Universitäts-Buchdruckerei von Carl Georgi in Bonn.

MBL WHOI Library - Serials



5 WHSE 02640

1438

